

## **DODATAK**



## DODATAK UZ I DIO

Ing. Miroslav Gregurić

### Frekventna modulacija

#### Uvod

1. — U nastojanju da se ostvari što kvalitetniji ili vjerniji radio-prijenos, odnosno prijem, pristupilo se primjeni frekventne modulacije. Kvalitetan prijem traži da tonfrekventni opseg obuhvati cijelo tonfrekventno područje od 30 do 15.000 Hz. Kvaliteta prijema ovisi također o odnosu korisnog signala prema šumu. Što je veći omjer signal-šum, dinamika prijema je bolja. Amplitudno moduliranim odašiljačima, te prijemnicima za amplitudnu modulaciju, nije se mogao postići dovoljno kvalitetan prijenos, odnosno prijem. Usljed gusto raspoređenih amplitudno moduliranih odašiljača na srednjem valu s razmakom frekvencija od 9 kHz ograničava se u prijemniku tonfrekventni opseg na 4,5 kHz. Zbog velikog utjecaja smetnji na prijem, u amplitudnoj modulaciji potrebno je da prijemni signal bude vrlo jak. Taj se zahtjev može ostvariti samo izgradnjom odašiljača velike snage. Posljedica je toga da i međusobno vrlo udaljeni odašiljači na istom valu ometaju prijem.

Prednost je frekventne modulacije, primijenjene na ultrakratkovalnom području, u tome što ispunjava sve postavljene zahtjeve za kvalitetan prijem. Tonfrekventno područje frekventne modulacije obuhvaća cijelo čujno područje od 30 do 15.000 Hz. Smetnje mnogo manje utječu na prijem. U frekventnoj modulaciji koja se primjenjuje u radio-difuziji potrebno je da amplituda signala bude samo dva puta veća od nivoa smetnji, a da omjer signal-šum nakon detekcije bude isti kao kod amplitudne modulacije s omjerom signala i smetnji 50 : 1. Frekventna modulacija isto tako mnogo bolje potiskuje smetnje od frekventno moduliranih odašiljača na istom valu. Sve to omogućuje veliku dinamiku prijema koja bitno pridonosi kvaliteti.

Osim navedenih prednosti frekventne modulacije, postoje i prednosti u konstrukciji frekventno moduliranih odašiljača. Odašiljač, moduliran ili nemoduliran, predaje anteni konstantnu snagu. To omogućuje veći stepen djelovanja i ekonomičniju konstrukciju odašiljača. Snage frekventno moduliranih odašiljača općenito su manje, jer dovoljan je i mali omjer signala prema smetnjama da se ostvari kvalitetan prijem.

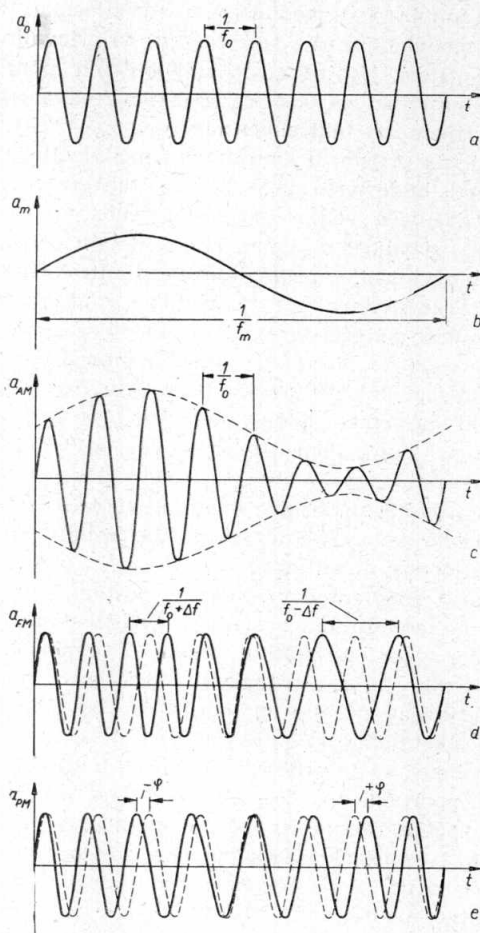
Frekventna modulacija ima i svoje nedostatke. Ona je upotrebljiva samo u ultrakratkovalnom području jer traži kanal širine 300 kHz. Ultrakratki val, zbog svog načina širenja omogućuje kvalitetan prijem samo na manju udaljenost. I konstrukcija prijemnika za frekventnu modulaciju nešto je komplikiranija. Gore navedeni nedostaci uklonjeni su gustom mrežom frekventno moduliranih odašiljača koji omogućuju na svakom mjestu kvalitetan prijem nekoliko najbližih odašiljača. Uz

frekventnu modulaciju zadržala je svoje mjesto i amplitudna modulacija, jer amplitudno modulirani odašiljači na srednjem i kratkom valu omogućuju prijem i na veliku udaljenost.

2. — Modulacija je »utiskivanje« titraja modulacionog signala niže frekvencije u visokofrekventne titraje odašiljača. Nemodulirani titraj odašiljača sinusoidnog je oblika i definiran je jednadžbom:

$$a = A_0 \sin(\omega_0 t + \varphi_0) \quad . . . . . \quad (1)$$

Sa  $A_0$  je označena amplituda,  $\omega_0$  je kružna frekvencija, a  $(\omega_0 t + \varphi_0)$  je kut. Postupak modulacije sastoji se u tome da se električkom titraju sinusoidnog oblika mijenja ili amplituda  $A_0$  ili fazni kut  $(\omega_0 t + \varphi_0)$  u ovisnosti o amplitudi modulacionog signala. Fazni kut može se mijenjati bilo promjenom pomaka faze  $\varphi_0$  bilo promjenom kružne frekvencije  $\omega_0$ . Ako se mijenja amplituda  $A_0$ , onda imamo amplitudnu modulaciju. Kod fazne modulacije mijenja se pomak faze  $\varphi_0$ , dok se promjenom frekvencije odašiljača  $f_0$  vrši frekventna modulacija. Sve tri navedene vrsti modulacije prikazane su na slici 1.



Sl. 1.

Modulirani visokofrekventni titraji: a) titraj nemoduliranog odašiljača frekvencije  $f_0$ ; b) titraj modulacionog signala frekvencije  $f_m$ ; c) titraj amplitudno moduliranog odašiljača; d) titraj frekventno moduliranog odašiljača; e) titraj fazno moduliranog odašiljača.

U frekventnoj modulaciji vrši se prijenos modulacionih signala promjenom frekvencije odašiljača. Pri tome je promjena frekvencije odašiljača ovisna o amplitudi modulacionog signala. Na slici 1d, koja prikazuje frekventno modulirane titraje, vidi se da se za vrijeme porasta momentanih vrijednosti pozitivnog poluvala modulacionog signala povećava frekvencija odašiljača. Kod tjemene vrijednosti pozitivnog poluvala frekvencija odašiljača je najviša. U dalnjem se toku frekvencija odašiljača smanjuje proporcionalno opadanju momentane vrijednosti pozitivnog poluvala, odnosno porastu momentanih vrijednosti negativnog poluvala modulacionog signala. Kod tjemene vrijednosti negativnog poluvala modulacionog signala frekvencija odašiljača je najniža. Na kraju modulacione periode frekvencija odašiljača je ista kao i na početku, jer je momentani iznos modulacionog signala jednak nuli.

Iz navedenog proizlazi da se frekvencija odašiljača mijenja kod frekventne modulacije unutar područja  $f_0 + \Delta f$  i  $f_0 - \Delta f$ . Sa  $\Delta f$  definiran je razmah frekvencije odašiljača, a sa  $f_0$  frekvencija nemoduliranog odašiljača. Razmah frekvencije odašiljača proporcionalan je amplitudi modulacionog signala  $A_m$ :

$$\boxed{\Delta f = k \cdot A_m} \quad \dots \dots \dots \quad (2)$$

gdje je  $k$  faktor koji ovisi o konstrukciji odašiljača. U slučaju kad je modulacioni signal sinusoidni titraj:  $a_m = A_m \cos \omega_m t$ , momentana je frekvencija odašiljača:

$$\boxed{f = f_0 + \Delta f \cos \omega_m t} \quad \dots \dots \dots \quad (3)$$

Uvrstivši jednadžbu (2) u jednadžbu (3) izlazi da je momentana frekvencija frekventno moduliranog odašiljača:

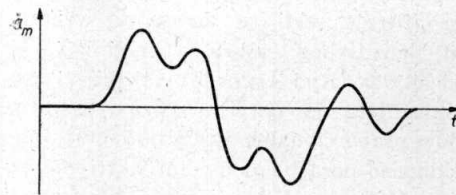
$$\boxed{f = f_0 + k A_m \cos \omega_m t} \quad \dots \dots \dots \quad (4)$$

Kod frekventno moduliranog odašiljača razmah momentane frekvencije proporcionalan je momentanom iznosu amplitude modulacionog signala. Na slici 2a prikazan je nesinusoidan modulacioni signal, a na slici 2b vidi se tok promjene frekvencije odašiljača.

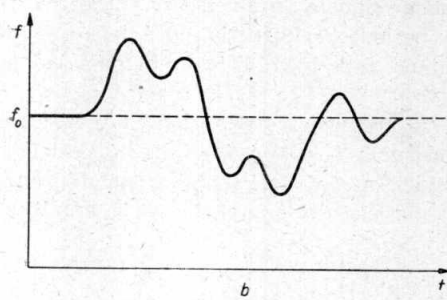
Da bismo mogli napisati jednadžbu frekventno moduliranog titraja potrebno je odrediti njegov trenutni fazni kut. Jednadžba kojom je određen fazni kut kod sinusoidnog titraja nemoduliranog odašiljača jest:  $\varphi = \omega_0 t + \varphi_0$ . Grafički prikaz te jednadžbe dat na slici 3, iz koje vidimo da uz konstantnu kružnu frekvenciju fazni kut raste linearno s vremenom. U tom je slučaju kružna frekvencija  $\omega_0$  definirana promjenom faznog kuta u jedinici vremena. Kod frekventne modulacije nije frekvencija stalna, nego se mijenja prema jednadžbi (4). U tom je slučaju trenutna kružna frekvencija frekventno moduliranog titraja definirana promjenom faznog kuta  $\Delta\varphi$  unutar vrlo kratkog vremena  $\Delta t$ :

$$\boxed{\omega = \frac{\Delta\varphi}{\Delta t}} \quad \dots \dots \dots \quad (5)$$

U frekventnoj modulaciji određena je trenutna frekvencija trenutnom amplitudom modulacionog signala. Do trenutnog faznog kuta dolazimo tako da promatramo porast faznog kuta u malim vremenskim razmacima.



a



b

Sl. 2.

Ovisnost frekvencije frekventno moduliranog odašiljača o modulacionom signalu: a) modulacioni signal; b) frekvencija frekventno moduliranog odašiljača.

Porast faznog kuta u pojediniom kratkom vremenskom intervalu jednak je produktu trenutne kružne frekvencije i vremenskog intervala. Tako dobiveni trenutni kut iznosi:

$$\boxed{\varphi = \omega_0 t + \frac{\Delta f}{f_m} \sin \omega_m t} \quad \dots \dots \dots \quad (6)$$

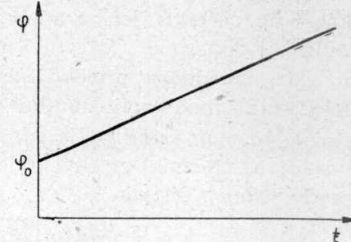
Označimo li sa  $A_0$  amplitudu titraja nemoduliranog odašiljača i korišteci jednadžbu (6), dobivamo osnovnu jednadžbu frekventno moduliranog titraja odašiljača:

$$\boxed{a_{FM} = A_0 \sin (\omega_0 t + \frac{\Delta f}{f_m} \sin \omega_m t)} \quad \dots \dots \dots \quad (7)$$

Iz gornje jednadžbe vidimo da u frekventnoj modulaciji postoji i razmah faze koji iznosi:

$$\boxed{\delta = \frac{\Delta f}{f_m}} \quad \dots \dots \dots \quad (8)$$

Gornji izraz za razmah faze zove se indeksom modulacije. Indeks modulacije obrnuto je proporcionalan frekvenciji modulacionog signala.



Sl. 3.

Ovisnost porasta faznog kuta nemoduliranog titraja odašiljača o vremenu.

Kod frekventno moduliranih odašiljača maksimalni razmah je normiran. Za kvalitetan prijenos govora i glazbe maksimalan razmah iznosi:

$$d = \pm 75 \text{ kHz}$$

a za prijenos govora sa suženim frekventnim područjem, na primjer za telefonske potrebe dovoljan je razmah od  $\pm 15 \text{ kHz}$ . Iz gornjeg izlazi da je odašiljač moduliran stopostotno kad razmah iznosi  $\pm 75 \text{ kHz}$ . Prema tome je stepen modulacije  $m$  definiran sa:

$$m = \frac{\Delta f}{d} \quad . . . . . \quad (9)$$

3. — Iz osnovne jednadžbe frekventno moduliranog titraja, a i sa slike 1d, vidi se da kod frekventno moduliranog titraja nastaje i modulacija faznog kuta. Ta modulacija faznog kuta definirana je, kako je već napomenuto, razmahom faze  $\delta$ . Prema tome slijedi da kod frekventne modulacije nastaje i fazna modulacija. Vrijedi također i obrnuto, to jest kod fazne modulacije nastaje i frekventna modulacija. To je vidljivo iz slike 1e koja prikazuje faznu modulaciju. Na toj se slici vidi da je promjena faznog pomaka proporcionalna amplitudi modulacionog signala. Međutim uslijed faznog pomaka dolazi do međusobnog približavanja i udaljavanja titraja, što uzrokuje promjenu frekvencije, to jest frekventnu modulaciju.

Kod fazne modulacije razmah faze  $\Delta\varphi$  proporcionalan je samo amplitudi modulacionog signala:

$$\boxed{\Delta\varphi = k A_m} \quad . . . . . \quad (10)$$

U slučaju kad je modulacioni signal sinusoidni titraj oblika:

$$\boxed{a_m = A_m \sin \omega_m t} \quad . . . . . \quad (11)$$

momentana faza titraja iznosi:

$$\boxed{\varphi = \varphi_0 + \Delta\varphi \sin \omega_m t} \quad . . . . . \quad (12)$$

Jednadžba fazno moduliranog (PM) titraja je:

$$\boxed{a_{PM} = A_0 \sin (\omega_0 t + \Delta\varphi \sin \omega_m t)} \quad . . . . . \quad (13)$$

Uspoređujući ovu jednadžbu s jednadžbom (7) frekventno moduliranog titraja vidi se da je jedina razlika u razmahu faze, koji iznosi kod frekventne modulacije:

$$\delta = \frac{\Delta f}{f_m} = \frac{k \cdot A_m}{f_m},$$

a kod fazne modulacije:

$$\Delta\varphi = k \cdot A_m$$

Fazni razmah prouzrokuje i razmah frekvencije kod fazne modulacije:

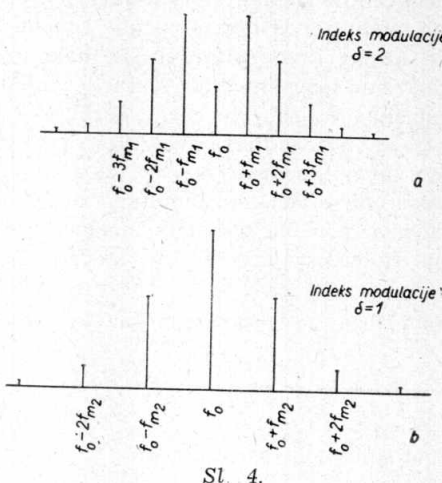
$$\boxed{\Delta f = k \cdot A_m \cdot f_m = f_m \Delta\varphi} \quad \dots \quad (14)$$

Iz gornje jednadžbe slijedi da iz fazne modulacije možemo dobiti frekventnu modulaciju tako da amplitudu modulacionog signala smanjujemo proporcionalno njegovoj frekvenciji.

4. — Budući da se frekvencija i faza frekventno moduliranog odašiljača svakog trenutka mijenjaju u ovisnosti o amplitudi modulacionog signala, ovdje se uz val nosilac pojavljuje niz gornjih i donjih bočnih titraja. Frekvencija odašiljača proći će sve frekvencije unutar područja

razmaha, ali ne u obliku sinusoidnih titraja, Svaka frekvencija javlja se samo u vrlo kratkom vremenu, tako da se mijenja trenutna frekvencija i trenutna faza i u samom vremenu jednog titraja. To više nije čisti sinusoidni titraj nego fazno pomaknuti titraj složen od više sinusoidnih titraja.

Na slici 4a i 4b vidimo spektar dvaju frekventno moduliranih titraja s istim razmahom frekvencije, ali različitim modulacionim frekvencijama, kojih je omjer 1 : 2. Amplitude obaju modulacionih signala jednake su. Iz slike spektra može se zaključiti da postoji čitav niz gornjih i donjih bočnih titraja s frekvencijama  $f_0 \pm f_m$ ,  $f_0 \pm 2f_m$ ,  $f_0 \pm 3f_m$



Sl. 4.

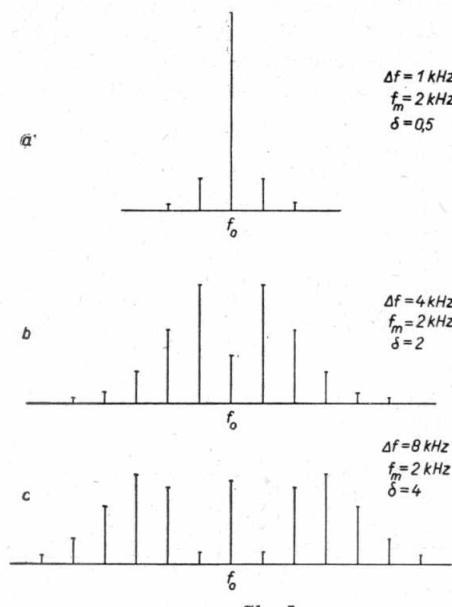
Spektar frekventno moduliranih titraja istog razmaha a različitih frekvencija modulacionog signala: a) modulaciona frekvencija  $f_m = 0.5 \Delta f$ ; b)  $f_m = \Delta f$ .

itd., sve dok amplituda bočnih titraja ne padne na zanemarivu veličinu. Amplituda vala nosioca i bočnih titraja ovisna je jedino o modulacionom

indeksu  $\delta = \frac{\Delta f}{f_m}$ . Zato na slici 4a i 4b usprkos istom razmahu  $\Delta f$  amplitude nisu iste, jer su različite frekvencije modulacionog signala, a uslijed toga je različit i indeks modulacije.

Slike 5a,b,c prikazuju spektar frekventno moduliranog titraja, s modulacionim signalom iste frekvencije, ali različite amplitude. Uslijed toga je razmah različit, a isto tako je različit i indeks modulacije. Vidimo da se uz veći indeks modulacije, dakle, u ovom slučaju uz veće amplitude modulacionog signala, pojavljuje mnogo više bočnih titraja.

Širina pojasa frekventno moduliranih titraja bila bi teoretski neizmerno velika, ali zanemarivanjem titraja čija je amplituda manja od 1%, amplitude nemoduliranog nosioca dobiva se manje širok pojaz. Tako suženi spektar frekventno moduliranih titraja prouzrokuje još dopustivo izobličenje prijenosa.



Sl. 5.

Spektar frekventno moduliranih titraja s različitim razmahom, dok je frekvencija modulacionog signala ista.

Širina pojasa ovisi o indeksu modulacije i o modulacionoj frekvenciji. Indeks modulacije ograničen je stepenom modulacije, to jest razmahom i frekvencijom modulacionog signala. Uzmimo da je amplituda niskofrekventnog modulacionog signala takva da je odašiljač 100%-tno moduliran, to jest da razmah iznosi  $\pm 75 \text{ kHz}$ , tada uz frekvenciju modulacionog signala od 30 Hz iznosi indeks modulacije:

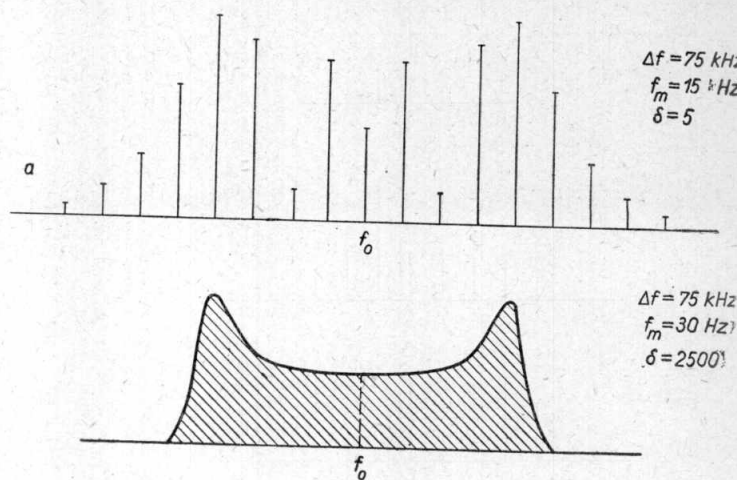
$$\delta = \frac{75.000}{30} = 2500,$$

a kod frekvencije od 15 kHz:

$$\delta = \frac{75.000}{15.000} = 5$$

Iz toga slijedi da kod niskih modulacionih frekvencija imademo veliki indeks modulacije, a to daje spektralnu sliku s velikim brojem bočnih

komponenata s uskim međusobnim razmacima. Kod više je frekvencije indeks modulacije manji i uslijed toga je manje bočnih titraja, ali s većim međusobnim razmacima. Kako se iz slike 6 vidi širinu pojasa praktički određuje indeks modulacije u ovisnosti o najvišoj modulacionoj frekvenciji. Pri prijenosu govora i glazbe amplituda najviših tonskih frekvencija malena je. Zbog tog je malen i stepen modulacije, tako da je malen razmah, a time i indeks modulacije. Za kvalitetan prijenos dovoljan je pojas širine 240 kHz. Tim pojasom obuhvaćena je pri 100%-tnej modulaciji s frekvencijom od 15 kHz i osma bočna frekvencija, čija amplituda iznosi još 2% amplitude nemoduliranog odašiljača.



Sl. 6.

Spektar 100%-tne frekventne moduliranog radio-difuznog odašiljača: a) modulaciona frekvencija  $f_m = 15 \text{ kHz}$ ; b)  $f_m = 30 \text{ Hz}$ .

Budući se kod frekventne modulacije amplituda vala odašiljača ne mijenja, snaga odašiljača neovisna je o modulacionom signalu, to jest snaga odašiljača je konstantna. Kako bočni titraji pridonose snazi odašiljača, smanjuje se snaga i amplituda vala nosioca, tako da je ukupna suma snaga konstantna. Za indekse modulacije veće od 2 skoro je sva energija odašiljača u bočnim pojasevima, a vrlo je mala energija vala nosioca.

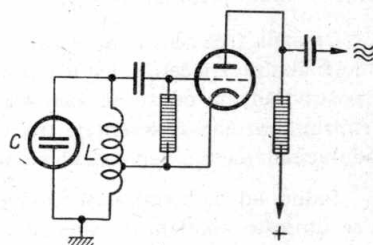
### Pitanja

1. Što je modulacija?
2. Nabroji vrsti modulacije!
3. Čime je karakterizirana frekventna modulacija?
4. O čemu ovisi razmah frekvencije odašiljača?
5. Što je indeks modulacije?
6. Čime je definiran stepen frekventne modulacije?
7. Koja je razlika između fazne i frekventne modulacije?

8. Kakav je spektar frekventno moduliranih titraja?
9. O čemu ovisi širina pojasa frekventno moduliranih titraja?
10. O čemu ovise amplitude bočnih titraja i vala nosioca?
11. Zašto je frekventna modulacija primijenjena na ultrakratkovremenom području?
12. Nabroji prednosti frekvetne modulacije prema amplitudnoj modulaciji!

### Frekventni modulatori

5. — Najjednostavniji frekventni modulator prikazan je na slici 7. To je Hartleyov oscilator u sklopu nazvanom ECO (prema engleskom »elektronski vezani oscilator«). Titrajni krug oscilatora sastoji se od zavojnice induktiviteta  $L$  i kondenzatorskog mikrofona kapaciteta  $C$ . Ovaj sklop omogućuje da se zvučnim titrajima direktno frekventno modulira oscilator. Uzmimo za primjer da se radi o sinusoidnom zvučnom titraju frekvencije  $\omega_m$ . Tada je kapacitet kondenzatorskog mikrofona dan izrazom:



Sl. 7.

ECO-oscilator s kondenzatorskim mikrofonom kao elementom titrajanog kruga.

$$C = C_0 + \Delta C \sin \omega_m t \quad \dots \quad (15)$$

Trenutna kružna frekvencija titrajanog kruga je:

$$\omega = \sqrt{\frac{1}{LC} \left(1 - \frac{\Delta C}{C} \sin \omega_m t\right)} \quad \dots \quad (16)$$

Kad nema zvučnih titraja frekvencija oscilatora je:

$$\omega_0 = \sqrt{\frac{1}{LC}} \quad \dots \quad (17)$$

Uvrstivši  $\omega_0$  u jednadžbu (16) dobivamo:

$$\omega = \omega_0 \sqrt{1 - \frac{\Delta C}{C} \sin \omega_m t} \quad \dots \quad (18)$$

Budući da je promjena kapaciteta uslijed titranja membrane  $\Delta C$  mnogo manja od kapaciteta mikrofona  $C$ , možemo jednadžbu (18) pojednostaviti:

$$\omega = \omega_0 \left(1 - \frac{1}{2} \frac{\Delta C}{C} \sin \omega_m t\right) \quad \dots \quad (19)$$

Iz gornje jednadžbe izlazi da se frekvencija oscilatora mijenja u ovisnosti o amplitudi zvučnog titraja, o čemu ovisi amplituda titraja membrane koja prouzrokuje promjenu kapaciteta  $\Delta C$ . Time je dokazano da je oscilator frekventno moduliran. Omjer  $\frac{C}{\Delta C}$  možemo pisati i u obliku:

$$\frac{\Delta C}{C} = 2 \frac{\omega_0 - \omega}{\omega_0} = -2 \frac{\Delta \omega}{\omega_0} \quad \dots \quad (20)$$

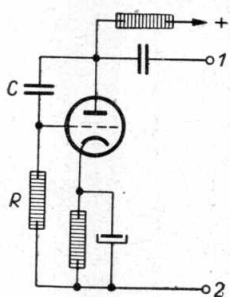
tako da uvrstivši jednadžbu (20) u jednadžbu (19) dobivamo:

$$\omega = \omega_0 + \Delta \omega \sin \omega_m t \quad \dots \quad (21)$$

što je jednako jednadžbi (3).

Opisani frekventni modulator s kondenzatorskim mikrofonom ima samo fizikalno značenje, jer u tehničkom smislu ne ispunjava uvjete koji su postavljeni na odašiljač, kao što su na primjer stabilnost frekvencije, normirani razmah frekvencije itd. Osim toga se odašiljaču uvijek dovodi modulacioni napon, jer tonski su uređaji odijeljeni od odašiljača.

Jedno od zadovoljavajućih rješenja frekventnog modulatora je to da se umjesto kondenzatorskog mikrofona uključi u titrajni krug oscilatora odašiljača reaktantna elektronka. Reaktantnom elektronkom naziva se elektronka koja ima od anode na rešetku povratnu vezu koja zakreće fazu. Takvih sklopova ima mnogo, jedan od njih je prikazan na slici 8.

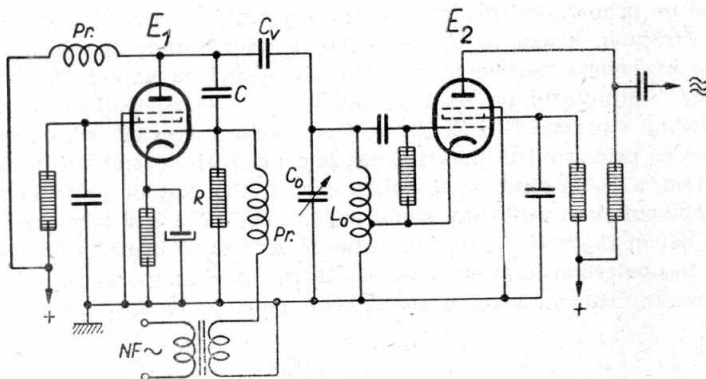


Sl. 8.

Reaktantna elektronka.

Ako na priključnice 1 i 2 priključimo visokofrekventni napon, a C i R su tako odabrani da je kapacitivni otpor kondenzatora mnogo veći od otpora R, dobivamo na rešetki pobudni napon koji je za  $+90^\circ$  fazno zakrenut prema naponu na stezaljkama 1 i 2. U istoj fazi s pobudnim naponom mijenja se anodna struja i ona je fazno za  $90^\circ$  pomaknuta ispred anodnog napona na stezaljkama 1 i 2. Izvor priključen na stezaljke 1 i 2 opterećen je elektronkom kroz koju teče struja fazno pomaknuta za  $90^\circ$  ispred napona, a to je svojstvo kondenzatora. Primjenom istosmjernog prednapona mijenja se strmina, a time kod stalne pobude i anodna visokofrekventna struja, što uzrokuje promjenu kapaciteta koji elektronka u sklopu prema slici 8. Anodna struja može se osim prednaponom mijenjati i modulacionim signalom dovedenim na rešetku. Na taj način možemo vršiti promjenu kapaciteta reaktantne cijevi modulacionim naponom. Na slici 9 prikazan je modulator s reaktantnom elektronkom. Elektronka E<sub>2</sub> u spoju je već spomenutog ECO-oscilatora. Titrajnom krugu L<sub>0</sub>—C<sub>0</sub> paralelno je priključena reaktantna elektronka E<sub>1</sub> u sklopu kao kapacitet. Niskofrekventni modulacioni signal dovodi se u rešetkin krug i njime se mijenja kapacitet

reaktantne elektronke. Prigušnica u anodnom krugu reaktantne elektronke je zaporna prigušnica, a  $C_V$  odjeljuje istosmjerni napon od titrajnog kruga. Povratna veza od anode na rešetku postignuta je kapacitetom  $C$  i otporom  $R$ .



Sl. 9.

Modulator s reaktantnom elektronkom.

### Pitanja

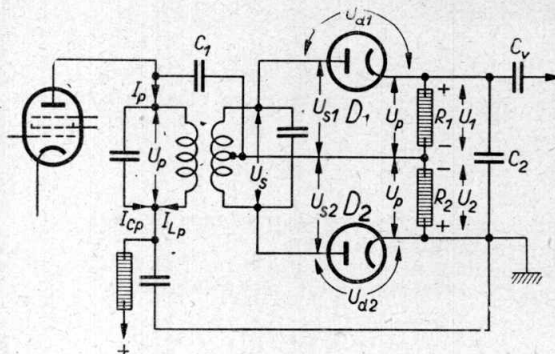
1. Prikaži i opiši sklop frekventnog modulatora!
2. Što je reaktantna elektronka?
3. Kako modulacioni signal utječe na frekvenciju oscilatora frekventnog modulatora s reaktantnom elektronkom?

### Detekcija frekventno moduliranih titraja

6. — Skloovi demodulatora za amplitudno modulirane titraje nisu upotrebljivi za detekciju frekventno moduliranih titraja. Detekcija amplitudno moduliranih titraja vrši se ispravljanjem. Međutim ispravljanjem frekventno moduliranih titraja dobiva se samo istosmjerna komponenta, jer je amplituda frekventno moduliranih titraja konstantna.

Da bi se mogla izvršiti detekcija frekventno moduliranih titraja potrebno ih je prethodno amplitudno modulirati, a zatim ispravljati. Detekcija frekventno moduliranih titraja vrši se sklopovima koji se zovu *diskriminatori*. U diskriminatoru se frekventno moduliranim titrajima mijenja amplituda proporcionalno razmahu frekvencije, a zatim se vrši ispravljanje, da bi se dobio modulacioni signal. Diskriminatora ima više vrsti; jedan od mnogo upotrebljavanih je *fazni diskriminator* prikazan na slici 10. Dio sklopa faznog diskriminatora sačinjavaju dva međufrekventna titrajna kruga. Titrajni krugovi su međusobno induktivno vezani. Sekundarni titrajni krug ima na sredini odvojak na koji se pre-

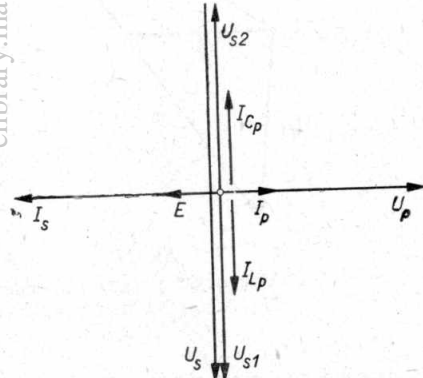
nosi napon s primarnog titrajnog kruga preko kondenzatora  $C_1$ . Funkcija je međufrekventnih titrajnih krugova u tome što mijenjaju amplitudu frekventno moduliranih titraja u ovisnosti o promjeni frekvencije. Objasnjenje toga procesa izvršit ćemo postepeno. Najprije promatrajmo napone koji vladaju na titrajnim krugovima kod nemoduliranog titraja. Napon na primarnom titrajnem krugu označen je sa  $U_p$ , a na sekundarnom titrajnem krugu je  $U_s$ . Od odvojka sekundarnog titrajnog kruga prema krajevima postoje naponi  $U_{s1}$  i  $U_{s2}$ . Ovi su naponi međusobno jednaki i protufazni pa se može pisati:  $U_{s1} = -U_{s2}$ . Napon  $U_p$  vlasti također na otporima  $R_1$  i  $R_2$ , jer su i oni preko  $C_1$  vezani jednim svojim krajem na primarni titrajni krug, dok je drugi kraj otpornika  $R_1$  preko  $C_2$  uzemljen, a  $R_2$  je direktno uzemljen. Napon  $U_{d1}$ , koji je priveden diodi  $D_1$ , dobivamo kao vektorsku sumu napona  $U_{s1}$  i  $U_p$ . Isto tako dobivamo da je napon  $U_{d2} = U_{s2} + U_p$ . Da bismo mogli vektorski prikazati napone  $U_{d1}$  i  $U_{d2}$  potrebno je proučiti fazne odnose između napona  $U_p$  i  $U_s$ . Kad je primarni titrajni krug u rezonanciji, onda je on čisti radni otpor.



Sl. 10.  
Fazni diskriminator.

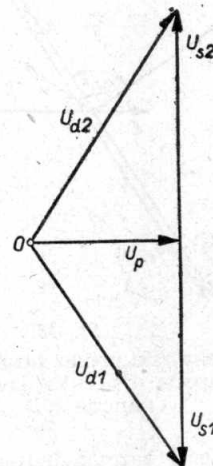
Prema tome će napon  $U_p$  i anodna struja  $I_p$  biti u fazi. Kroz induktivitet  $L_p$  teče struja  $I_{Lp}$  koja zaostaje za  $90^\circ$ , a kroz kondenzator  $C_p$  teče struja koja je za  $90^\circ$  ispred struje  $I_p$ . U zavojnici sekundarnog titrajnog kruga inducira se elektromotorna sila  $E$  koja je u protufazi s naponom  $U_p$ . Elektromotorna sila  $E$  zaostaje za  $90^\circ$  iza struje  $I_{Lp}$ . Sekundarni titrajni krug također je u rezonanciji, tako da će elektromotorna sila  $E$  protjerati kroz serijski spoj induktiviteta  $L_s$  i kapaciteta  $C_s$  struju  $I_s$  koja je u fazi sa  $E$ . Struja  $I_s$  stvara na zavojnici  $L_s$  pad naponu  $U_s$ . Usljed rezonancije bit će napon  $U_s$  mnogo veći od elektromotorne sile  $E$ . Napon  $U_s$  je za  $90^\circ$  pomaknut prema struci  $I_s$ . Spomenuto je da se napon  $U_s$  sastoji od dva jednakna protufazna napona  $U_{s1}$  i  $U_{s2}$ . Napon  $U_{s1}$  prethodi struci  $I_s$ , a napon  $U_{s2}$ , budući da je protufazan zaostaje za  $90^\circ$  za strujom  $I_s$ . Iz vektorskog prikaza na slici 11 vidi se da između napona  $U_p$  i  $U_{s1}$  te  $U_p$  i  $U_{s2}$  postoji fazni kut od  $90^\circ$ . Na slici 12 vidimo vektorski prikaz

naponu  $U_{d1}$  i  $U_{d2}$  koji su vektorska suma napona  $U_{s1}$  i  $U_p$ , odnosno  $U_{s2}$  i  $U_p$ . Kod nemoduliranog titraja naponi  $U_{d1}$  i  $U_{d2}$  su jednaki. Ispravljanjem napona  $U_{d1}$  i  $U_{d2}$  pomoću dioda  $D_1$  i  $D_2$  dobivamo na otpornicima  $R_1$  i  $R_2$  istosmjerne napone  $U_1$  i  $U_2$  koji su jednaki. Budući su ti naponi suprotno polarizirani i jednaki, napon između tačaka  $A$  i  $B$  jednak je nuli.



Sl. 11.

Vektorski prikaz faznih odnosa na naponu  $U_p$  i  $U_s$  kod rezonancije.

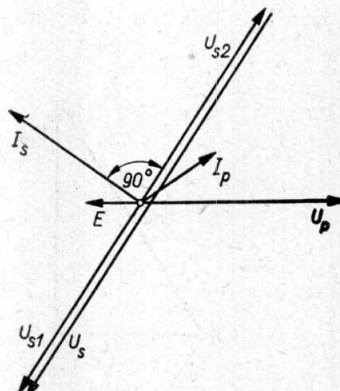


Sl. 12.

Vektorski prikaz napona  $U_{d1}$  i  $U_{d2}$  kod rezonancije.

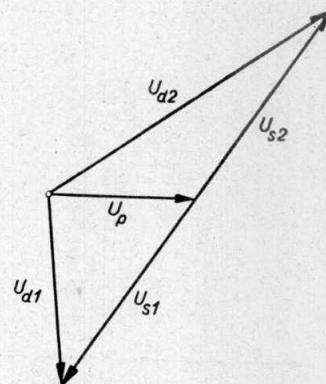
Posve je drugačija slika kod detekcije frekventnog moduliranog titraja. Pogledajmo vektorski prikaz napona  $U_{d1}$  i  $U_{d2}$  u trenutku kad se frekvencija odašiljača promjenila uslijed modulacije. Tada titrajni kruge nisu više u rezonanciji. Na slici 13 dan je vektorski prikaz gdje je frekvencija viša od rezonantne frekvencije. U tom je slučaju struja kroz primarni titrajni krug  $I_p$  kapacitivna i fazno je pomaknuta ispred napona  $U_p$ . I u ovom se slučaju inducira u zavojnici  $L_s$  elektromotorna sila  $E$  koja je u protufazi s naponom  $U_p$ . Samo sada serijska veza induktiviteta  $L_s$  i kapaciteta  $C_s$  daje induktivni otpor i uslijed toga struja  $I_s$  fazno zaostaje za naponom  $E$ . Struja  $I_s$  opet stvara na zavojnici  $L_s$  pad napona  $U_s$  koji je za  $90^\circ$  pomaknut ispred struje  $I_s$ . Fazni pomak između napona  $U_p$  i  $U_s$  sada je različit od  $90^\circ$ . I u ovom su slučaju naponi  $U_{s1}$  i  $U_{s2}$  jednaki i protufazni. Na slici 14 prikazani su vektorski naponi  $U_{d1}$  i  $U_{d2}$ . Ti naponi više nisu po veličini jednaki. Visokofrekventni naponi  $U_{d1}$  i  $U_{d2}$  nakon ispravljanja pomoću diode  $D_1$  i  $D_2$  stvaraju istosmjerne napone  $U_1$  i  $U_2$  na otporima  $R_1$  i  $R_2$ . Ovi istosmjerni naponi približno su jednaki tijemoj vrijednosti napona  $U_{d1}$  i  $U_{d2}$ . Promjena istosmjernih napona  $U_1$  i  $U_2$  linearno je ovisna o promjeni amplituda napona  $U_{d1}$  i  $U_{d2}$ . Sada

suma suprotno polariziranih istosmjernih napona  $U_1$  i  $U_2$  nije više nula, nego se između tačaka A i B pojavljuje napon koji je jednak njihovoj razlici. Razlika napona  $U_1$  i  $U_2$  to je veća što je veći razmah frekvencije.



Sl. 13.

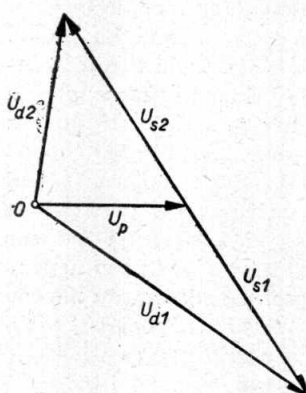
Vektorski prikaz faznih odnosa napona  $U_p$  i  $U_s$  izvan rezonancije ( $f > f_0$ ).



Sl. 14.

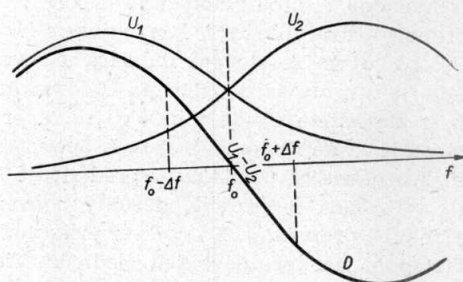
Vektorski prikaz napona  $U_{d1}$  i  $U_{d2}$  izvan rezonancije ( $f > f_0$ ).

Kako je razmah ovisan o amplitudi modulacionog signala, to će napon koji nastaje između tačaka A i B biti proporcionalan modulacionom signalu. Preko kondenzatora  $C_v$  odvodimo detektirani modulacioni signal. Kondenzator  $C_2$  malog je kapaciteta, tako da ne odvodi na masu ton-frekventni signal. Slika 15 daje vektorski prikaz napona  $U_{d1}$  i  $U_{d2}$  kad je frekvencija frekventno moduliranog odašiljača niža od frekvencije



Sl. 15.

Vektorski prikaz napona  $U_{d1}$  i  $U_{d2}$  izvan rezonancije ( $f < f_0$ ).



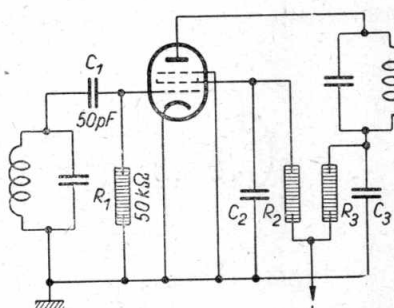
Sl. 16.

Karakteristika detekcije faznog diskriminatora.

nemoduliranog odašiljača. Na slikama 14 i 15 vidimo da se naponi  $U_{d1}$  i  $U_{d2}$  mijenjaju u ovisnosti o frekvenciji odašiljača. Slika 16 prikazuje ovisnost napona  $U_1$  i  $U_2$  o frekvenciji odašiljača. Razlika napona  $U_1$  i  $U_2$  prikazana je krivuljom  $D$ . Vidimo da je na rezonantnoj frekvenciji razlika jednak nuli. Drugim riječima, između tačaka  $A$  i  $B$  nema napona. Promjenom frekvencije odašiljača javlja se između tačaka  $A$  i  $B$  napon proporcionalan naponu koji prikazuje krivulja  $D$ . Krivulja  $D$  je prema tome karakteristika detekcije faznog diskriminatora. Radi što manjeg izobljeđenja detekcija se vrši na linearном dijelu krivulje  $D$ . Krivulja  $D$  mora da bude linearna u području razmaha frekvencije odašiljača  $f_e \pm \Delta f$ .

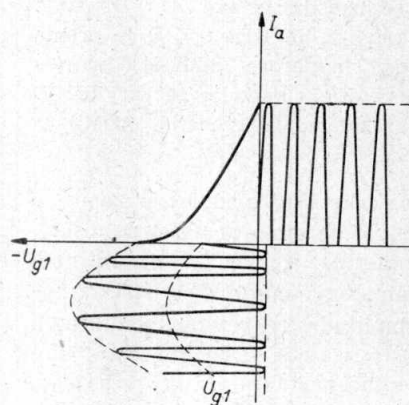
7. — Kako je u uvodu napomenuto, frekventna modulacija smanjuje smetnje kod prijema. Ta se prednost ostvaruje samo uz uvjet da diskriminator ne reagira na promjenu amplituda frekventno moduliranih titraja. Međutim kod faznog diskriminatora amplituda detektiranog modulacionog signala ovisna je i o amplitudi frekventno moduliranih titraja. Uzrok ovom nepoželjnog svojstvu faznog diskriminatora je u tome što se promjenom aplituda frekventno moduliranih titraja mijenja proporcionalno i napon  $U_1$  i  $U_2$  uzrokuje i promjenu njihove razlike,  $U_2$  uzrokuje i promjenu njihove razlike, koja je detektirani modulacioni signal. Uslijed toga bi svaka promjena amplituda frekventno moduliranih titraja, koja može nastati na primjer na putu od odašiljača do prijemnika, od antenskog ulaza do diskriminatora, kvarila kvalitetu prijema. Da bismo imali kvalitetan prijem potrebno je spriječiti da promjene amplituda frekventno moduliranih titraja dopru do faznog diskriminatora. U tu svrhu stavlja se ispred diskriminatora sklop koji dovodi diskriminatoru frekventno modulirane titraje konstantne amplitude. Takav se sklop zove ograničivač (limiter).

Najjednostavniji sklop ograničivača je audion s pentodom koja ima snižene napone na anodi i zaštitnoj rešetki. Sklop takvog ograničivača prikazan je na slici 17. Elektronka nema poseban izvor za prednapon, nego se on stvara ispravljanjem dovedenog signala na rešetku. Otporima  $R_2$  i  $R_3$  snižava se anodni napon i napon zaštitne rešetke, na kojih 50 V. Time se postiže malo pobudno područje elektronke. Pobudno područje ograničeno je pozitivnim naponom na prvoj rešetki koji prouzrokuje struju rešetke, a posljedica je da ulazni otpor, kojim elektronka optereće izvor, postaje vrlo malen. Drugi kraj uzbudnog područja određen je negativnim



Sl. 17.  
Ograničavač frekventno moduliranog signala.

naponom na prvoj rešetki kod kojeg prestaje teći anodna struja. Smanjenjem napona zaštitne rešetke i anode već kod malog prednapona od  $-2$  V do  $-3$  V prestaje teći anodna struja. Ograničavanje nastupa u slučaju kad je amplituda frekventno modulirane titrira-

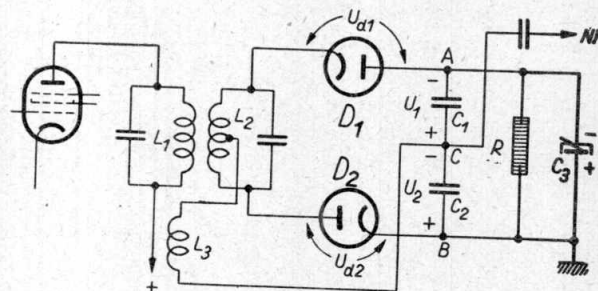


Sl. 18.

mora da ima malu vremensku konstantu (2 do  $10 \mu$  sek) da bi i pri kratkotrajnim impulsima ograničavanje bilo uspješno. Pojačanje sklopa ograničivača je maleno, a to traži veće pojačanje međufrekventnih stupnjeva ispred njega. To je mana faznog diskriminatora, jer time se komplificira konstrukcija aparata. Zbog toga su razvijeni sklopovi diskriminatora koji ne reagiraju na kolebanja amplituda frekventno moduliranih signala.

8. — Konstruktivno rješenje diskriminatora, koji ima tražena svojstva, predstavlja »ratio-detektor«. Taj engleski naziv usvojen je u svjetskoj stručnoj literaturi, pa je prihvaćen i u našoj. Shema ratio-detektora prikazana je na slici 19. Osnovna razlika između ratio-detektora i faznog

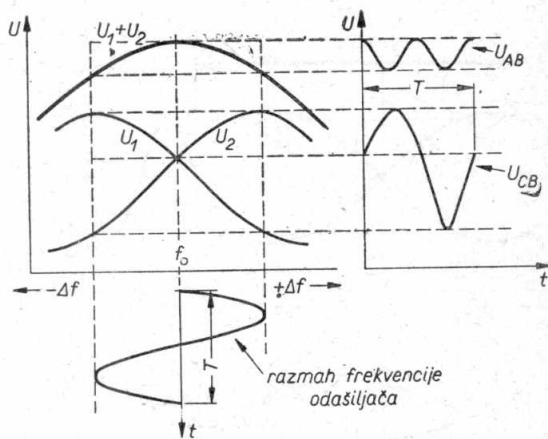
u preduključku podračuju. U tu svrhu dovodimo na ulaz u ograničavač frekventno moduliran signal s takom velikom amplitudom da i pri nastalim kolebanjima amplituda elektronika bude uvijek potpuno pobuđena (vidi sliku 18). Struja rešetke ograničava pozitivnu amplitudu frekventno moduliranog signala na rešetki, dok djelovanje negativne amplitude signala na anodnu struju prestaje ispod donjeg koljena  $I_a$  —  $U_g$  karakteristike. Uslijed toga dolazi do izobličenja u anodnom krugu. Nastali viši harmonički ne smetaju, jer se u anodnom krugu nalazi titrajni krug ugoden na osnovni harmonik. Član  $R_1$  —  $C_1$  u krugu rešetke



Sl. 19.  
Ratio-detektor

diskriminatora je u tome što su diode spojene tako da su im smjerovi propuštanja suprotni. Umjesto kapacitivne veze između primarnog titrajanog kruga i sredine zavojnice sekundarnog kruga preko kondenzatora  $C_1$  (slika 10), postoji kod ratio-detektora veza pomoću zavojnice  $L_3$ , koja je induktivno vezana samo sa zavojnicom primarnog titrajanog kruga. Primarni i sekundarni titrajni krug u ova su diskriminatora međusobno induktivno vezani. Djelovanje visokofrekventnog dijela ratio-detektora isto je kao i faznog diskriminatora. Amplituda visokofrekventnih napona na diodama  $U_{d1}$  i  $U_{d2}$  ovisna je i ovdje o razmahu frekvencije, kao i kod faznog diskriminatora.

Vektorski prikazi visokofrekventnih napona i struja na slikama 11, 12, 13, i 14 vrijede i za ratio-detektor. Visokofrekventni signali dovede se diodama preko kondenzatora  $C_1$  i  $C_2$ . Ispravljanjem visokofrekventnih napona  $U_{d1}$  i  $U_{d2}$  nastaju na kondenzatorima  $C_1$  i  $C_2$  isto-

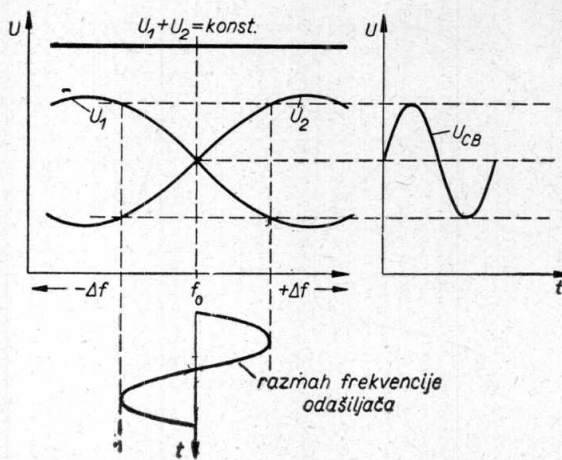


Sl. 20.

Karakteristika detekcije ratio-detektora bez kondenzatora  $C_3$ .

smjerni naponi  $U_1$  i  $U_2$  koji su približno jednaki tjemoj vrijednosti visokofrekventnih napona  $U_{d1}$  i  $U_{d2}$ . Uslijed toga što su diode  $D_1$  i  $D_2$  ovdje spojene tako da su im smjerovi propuštanja suprotni, istosmjerni su naponi na kondenzatorima  $C_1$  i  $C_2$ ,  $U_1$  i  $U_2$  polarizirani u istom smjeru. Prema tome između tačaka  $A$  i  $B$  imamo sumu napona  $U_1$  i  $U_2$ , a ne razliku kao kod faznog diskriminatora. Kad ne bi bio priključen kondenzator  $C_3$  imali bismo između tačaka  $A$  i  $B$  napon koji bi se mijenjao u ovisnosti o razmahu frekvencije. Na slici 20 prikazan je dijagram sume napona  $U_1$  i  $U_2$  u ovisnosti o razmahu frekvencije. Ta krivulja potpuno je neprikladna za detekciju, jer detektirani niskofrekventni signal ima dvostruku frekvenciju moduliranog signala. Slika 20 prikazuje nam još i napon između tačaka  $A$  i  $C$ . To je napon proporcionalan naponu  $U_2$ . Vidimo da i ta krivulja ne zadovoljava, jer je detekti-

rani signal jako izobličen. Sva ova razmatranja provedena su bez kondenzatora  $C_3$ . Sada uključimo kondenzator  $C_3$ . To je kondenzator kapaciteta od 2 do 5  $\mu\text{F}$ . Kondenzator  $C_3$  i otpor  $R$  imaju vremensku konstantu od 0,1 do 0,25 sek. Kondenzator  $C_3$  nabije se na srednju vrijednost sume napona  $U_1$  i  $U_2$  koji vladaju na kondenzatorima  $C_1$  i  $C_2$ . Uslijed velike vremenske konstante napon na kondenzatoru  $C_3$  nije kadar slijediti promjene napona između tačaka  $A$  i  $B$  koje su vrlo brze i u ritmu frekvencije modulacionog signala. Djelovanje kondenzatora  $C_3$  pri promjenama koje su brže od vremenske konstante takvo je kao da je umjesto njega priključena baterija istog napona koji vlada u kondenzatoru  $C_3$ . Kako je unutarnji otpor baterije malen, ona jače opterećuje ispravljački sklop kad je suma napona  $U_1$  i  $U_2$  veća od napona baterije. Nasuprot tome kad je suma napona  $U_1$  i  $U_2$  manja od napona baterije onda baterija ne opterećuje ispravljački sklop, a dodatno nabija kondenzator  $C_1$  i  $C_2$ , tako da je suma tih napona uvijek jednaka



Sl. 21.  
Karakteristika detekcije ratio-detektora.

naponu baterije. Uslijed toga što kondenzator  $C_3$  poput baterije različito opterećuje ispravljački sklop, suma je istosmjernih napona  $U_1$  i  $U_2$  na kondenzatorima  $C_1$  i  $C_2$  konstantna. Zbog toga istosmjerni napon između tačaka  $A$  i  $B$  ne koleba u ritmu modulacionog signala.

Sada treba promatrati kako djeluje priključak kondenzatora  $C_3$  na napone  $U_1$  i  $U_2$ . Naponi  $U_1$  i  $U_2$  približno su jednakim vrijednostima visokofrekventnog napona  $U_{d1}$  i  $U_{d2}$ . Uslijed djelovanja kondenzatora  $C_3$  dolazi do različitog opterećenja sklopa ispravljača, a i titrajnog kruga, što uzrokuje odgovarajuću promjenu amplituda napona  $U_{d1}$  i  $U_{d2}$ , tako da im je suma uvijek konstantna. Krivulje napona  $U_1$  i  $U_2$ , koje prikazuju ovisnost napona o promjeni frekvencije, razlikuju se kad je uključen kondenzator  $C_3$  od onih bez kondenzatora  $C_3$ . Te

krivulje u ovisnosti o razmahu frekvencije prikazane su na slici 21, gdje se jasno vidi da je promjena napona bilo na kondenzatoru  $C_1$  bilo na  $C_2$  proporcionalna modulacionom signalu. Time što je kod ratio-detektora suma napona  $U_1$  i  $U_2$  konstantna, postignuta je linearna krijučka detekcije. U ratio-detektoru onemogućeno je djelovanje brzih promjena amplituda frekventno moduliranih titraja koje nastaju uslijed parazitne amplitudne modulacije koju prouzrokuju kratkotrajni impulsi smetnja na detektirani niskofrekventni signal. Nasuprot polaganju promjena amplituda frekventno moduliranih titraja, koje nastaju uslijed promjene jakosti polja, uzrokuju polagane promjene napona na kondenzatoru  $C_3$ , ali te su promjene nečujne za uho. Vrlo dobro potiskivanje smetnji u detektiranom niskofrekventnom signalu dobiva se kombinacijom sklopa ograničavača i ratio-detektora. Postoji mnogo različitih sklopova ratio-detektora, ali je svima principijelno djelovanje isto kao opisanog.

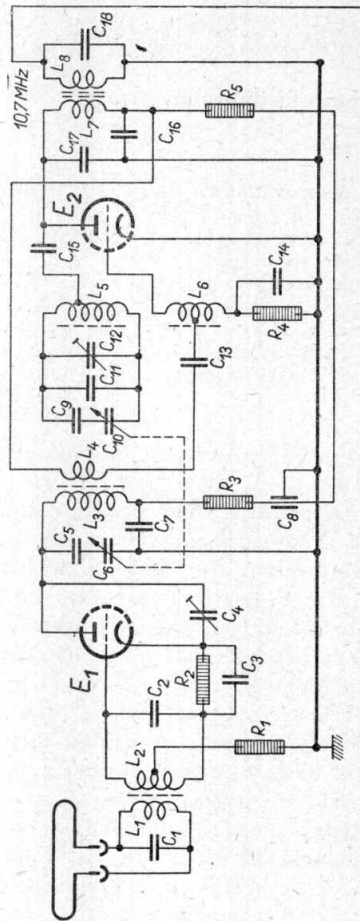
### Pitanja

1. Kako se vrši detekcija frekventno moduliranih titraja?
2. Što je diskriminatore?
3. Koja su svojstva diskriminatore?
4. Opiši sklop faznog diskriminatore!
5. Na koji način dolazi u sklopu diskriminatora do promjene amplitude frekventno moduliranog titraja?
6. Kako je dobivena karakteristika detekcije faznog diskriminatora?
7. Što je u čemu služi ograničavač?
8. Opiši sklop ograničavača i njegovo djelovanje!
9. Opiši sklop ratio-detektora!
10. Koja su svojstva ratio-detektora?
11. Opiši karakteristiku detekcije ratio-detektora!
12. U čemu je razlika između faznog diskriminatora i ratio-detektora?

### Opis ultrakratkovalnog prijemnika za frekventnu modulaciju

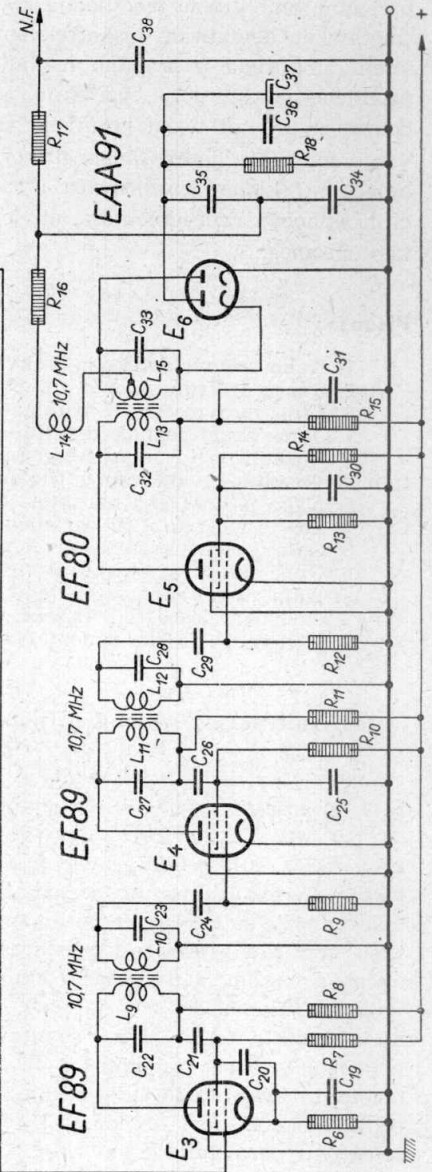
9. — Na slici 22 prikazana je shema ultrakratkovalnog prijemnika za frekventnu modulaciju. Prijemnik je konstruiran za područje od 87 do 100 MHz. Visokofrekventni signal prenosi se iz antene na titrajni krug  $L_2 C_2$ , koji pobuđuje triodu  $E_1$ . Ta je elektronka spojena kao selektivno visokofrekventno pretpojačalo. Za ultrakratkovalni predstupanj upotrebljava se trioda jer ima manji šum od pentode i time omogućuje veću graničnu osjetljivost prijemnika. Pobuda triode  $E_1$  vrši se djelomično rešetkom, a djelomično katodom, jer je zavojnica  $L_2$  preko odvojka uzemljena. Taj spoj daje vrlo povoljan odnos signal—šum. Mijenjanjem induktivitet  $L_2$  ugodi se titrajni krug  $L_2 C_2$  na sredinu područja prijema. Antenska zavojnica  $L_1$  u čvrstoj je induktivnoj vezi sa zavojnicom  $L_2$  tako da je taj titrajni krug jako prigušen uslijed opterećenja niskoosmiskom antenom. U anodnom krugu triode  $E_1$  nalazi se selektivni paralelni titrajni krug. Da bi se s triodom postiglo što veće pojačanje i spriječilo osciliranje uslijed parazitnog djelovanja kapaci-

ECC85



SL. 22.

Shema ultrakratkovremenog prijemnika za frekventnu modulaciju.  $C_1 = 33 \text{ pF}$ ,  $C_2 = 12 \text{ pF}$ ,  $C_3 = 2 \text{ nF}$ ,  $C_4 = 2 \text{ pF}$ ,  $C_5 = 60 \text{ pF}$ ,  $C_6 = 20 \text{ pF}$ ,  $C_7 = 2 \text{nF}$ ,  $C_8 = 5 \text{nF}$ ,  $C_9 = 40 \text{ pF}$ ,  $C_{10} = 20 \text{ pF}$ ,  $C_{11} = 8 \text{ pF}$ ,  $C_{12} = 2 \text{ pF}$ ,  $C_{13} = 50 \text{ pF}$ ,  $C_{14} = 11 \text{ pF}$ ,  $C_{15} = 20 \text{ pF}$ ,  $C_{16} = 600 \text{ pF}$ ,  $C_{17} = 10 \text{ pF}$ ,  $C_{18} = 40 \text{ pF}$ ,  $C_{19} = 50 \text{ nF}$ ,  $C_{20} = 5 \text{ nF}$ ,  $C_{21} = 10 \text{ nF}$ ,  $C_{22} = C_{23} = C_{24} = 50 \text{ pF}$ ,  $C_{25} = 5 \text{ nF}$ ,  $C_{26} = 10 \text{ nF}$ ,  $C_{27} = C_{28} = C_{29} = 50 \text{ pF}$ ,  $C_{30} = C_{31} = 10 \text{ nF}$ ,  $C_{32} = 15 \text{ pF}$ ,  $C_{33} = 50 \text{ pF}$ ,  $C_{34} = C_{35} = 400 \text{ pF}$ ,



$R_{16} = R_{17} = 50 \text{ k}\Omega$ .

$R_{18} = 40 \text{ k}\Omega$ .

$R_{13} = 100 \text{ k}\Omega$ ,

$R_{14} = 100 \text{ k}\Omega$ ,

$R_{15} = 27 \text{ k}\Omega$ ,

$R_{16} = R_{17} = 50 \text{ k}\Omega$ ,

$R_{18} = 40 \text{ k}\Omega$ .

$R_1 = 15 \text{ }\Omega$ ,

$R_2 = 180 \text{ }\Omega$ ,

$R_3 = 2 \text{ k}\Omega$ ,

$R_4 = 1 \text{ M}\Omega$ ,

$R_5 = 10 \text{ k}\Omega$ ,

$R_6 = 160 \text{ }\Omega$ ,

$R_7 = 68 \text{ k}\Omega$ ,

$R_8 = 2 \text{ k}\Omega$ ,

$R_9 = R_{10} = 100 \text{ k}\Omega$ ,

$R_{11} = 2 \text{ k}\Omega$ ,

$R_{12} = 100 \text{ k}\Omega$ ,

$R_{13} = 50 \text{ k}\Omega$ ,

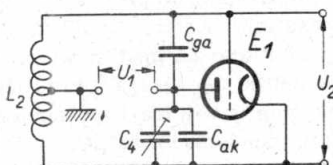
$R_{14} = 100 \text{ k}\Omega$ ,

$R_{15} = 27 \text{ k}\Omega$ ,

$R_{16} = R_{17} = 50 \text{ k}\Omega$ ,

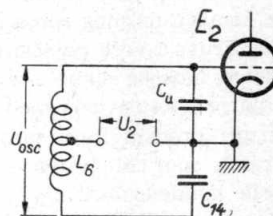
$R_{18} = 40 \text{ k}\Omega$ .

teta anoda—rešetka, potrebno je provesti neutralizaciju. Ovdje je neutralizacija izvedena pomoću polupromjenljivog kondenzatora  $C_4$ , čime je ostvaren izbalansirani mosni spoj prikazan na slici 23. Jednu granu mosta čine dio zamjenice  $L_2$  i kapacitet anoda—rešetka triode, a druga je grana mosta drugi dio zavojnice  $L_2$  i paralelni spoj kondenzatora  $C_4$  i kapaciteta anoda—katoda triode. Most se napaja anodnim visokofrekventnim naponom  $U_1$ . Pri ravnoteži mosta napon  $U_2$  koji vlada između rešetke i katode jednak je nuli. U tom se slučaju visokofrekventni napon iz anodnog kruga ne prenosi u krug rešetka—katoda.



Sl. 23.

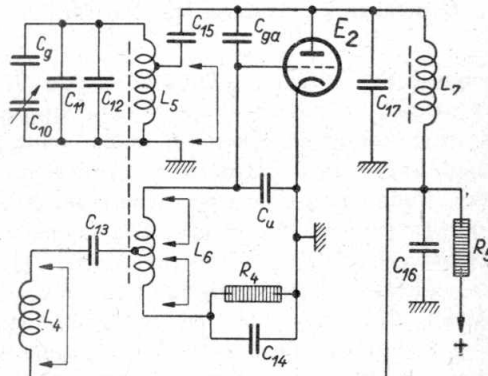
Neutralizacija ulaznog stupnja visokofrekventnog pojačala.



Sl. 24.

Mosni spoj stupnja za miješanje kojim se odjeljuje oscilator od ulaznog stupnja.

Drugi stupanj je trioda  $E_2$  u spoju oscilatora i sklopa za miješanje. Pojačani signal s prvog stupnja dovodi se na drugi stupanj pomoću zavojnice  $L_4$  koja je jednim krajem uzemljena preko kondenzatora  $C_{10}$ , a drugim je krajem spojena na sredinu reakcione zavojnice  $L_6$ . Na toj tački nema napona oscilatora, jer obje polovice zavojnice  $L_6$  čine s ulaznim kapacitetom  $C_u$  i kondenzatorom  $C_{14}$  uravnotežen mosni spoj, prikazan na slici 24. Tim mostom izbjegнута je veza između titrajnog

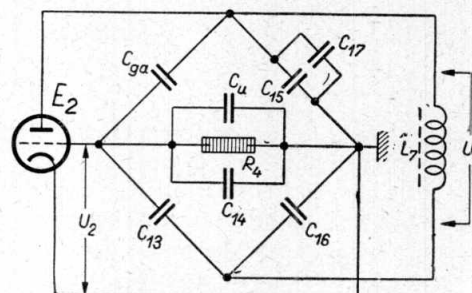


Sl. 25.

Upotpunjena shema stupnja za miješanje.

kruga u anodi triode  $E_1$  i titrajnog kruga oscilatora. Na taj je način potisnuto prigušenje što ga vrši jedan titrajni krug na drugi, te povlačenje frekvencije oscilatora u ovisnosti o titrajanom krugu predstupnja. Spriječen je i prijelaz energije oscilatora na antenski krug. Trioda  $E_2$  spojena je kao Meissnerov oscilator. Oscilatorski krug čine zavojnice  $L_5$  s paralelnim kapacitetima  $C_9$  do  $C_{12}$ . Kako na rešetku triode  $E_2$  dolaze dva visokofrekventna napona, ulazni i oscilatorski, nastaje aditivno miješanje.

U anodnom krugu nalazi se međufrekventni titrajni krug. I ovdje je pomoću mosnog spoja postignuto smanjenje prigušenja međufrekventnog kruga i veće pojačanje. Sa sheme na slici 22 teško je prepoznati elemente mosnog spoja i zato je posebno prikazana trioda  $E_2$  na slici 25, koja je upotpunjena međuelektrodnim kapacitetima. Za međufrekventnu struju predstavljaju visokofrekventne zavojnice  $L_4$ ,  $L_5$  i  $L_6$  praktički kratak spoj. Međufrekventni titrajni krug čine zavojnice  $L_7$  i serijska veza kondenzatora  $C_{16}$  s paralelno vezanim kondenzatorima  $C_{17}$  i  $C_{15}$ . Mosni spoj prikazan na slici 26 također je za međufrekvenciju sklop



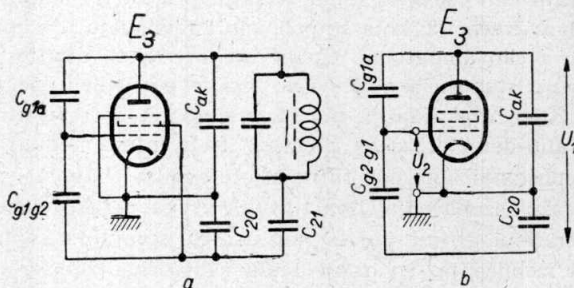
Sl. 26.  
Neutralizacija stupnja za miješanje.

s reakcijom pomoću kapacitivnog djelitelja napona. Kad je most u ravnoteži, kompenzirano je povratno djelovanje kapaciteta  $C_{ga}$ , ali je međufrekventni krug još uvijek opterećen malim unutarnjim otporom triode. Smanjenjem kapaciteta kondenzatora  $C_{16}$  most nije više uravnotežen i na rešetku triode dolazi napon pozitivne reakcije. Kapacitet kondenzatora  $C_{16}$  odabire se tako da se praktički kompenzira prigušenje međufrekventnog kruga unutarnjim otporom triode. Trioda ima sada uslijed naponske pozitivne reakcije velik unutarnji otpor, a time i pojačanje poput pentode. Taj sklop mora da ima veliku stabilnost da ne nastupe oscilacija. Stabilnost sklopa postignuta je time što trioda radi istovremeno i kao oscilator, tako da je srednja strmina triode vrlo konstantna i neovisna o promjeni istosmjernih napona i starenju elektronke.

10. — Međufrekventni titrajni krugovi podešeni su na frekvenciju od 10,7 MHz. Ovako visoka međufrekvencija odabrana je zato da se što bolje potisnu smetnje koje izazivaju zrcalne frekvencije. Širina pojasa prijemnika, a time i međufrekventnog pojačala, potrebna za kvalitetan prijem, iznosi 240 kHz. Radi bolje selektivnosti prijemnika smanjuje se širina pojasa na iznos koji je 2,5 puta veći od maksimalnog razmaha, u ovom slučaju oko 190 kHz. Time nastaju prigušenja amplituda udaljenih bočnih frekvencija, koja se ponovno izravnavaju u stupnju ograničavača. No svako amplitudno izobličenje ove vrsti, usprkos tome što je eliminirano u stupnju ograničavača, ima za posljedicu dodatnu faznu modulaciju. Kako svaka fazna modulacija izaziva i frekventnu modulaciju, na ratio-detektor stiže izobličen frekventno moduliran signal. Krivulja propuštanja pojasnog filtra utječe svojim oblikom i na amplitudna i na fazna izobličenja. Dva titrajna kruga vezana iznad kritične veze daju traženu širinu pojasa, ali uslijed stvaranja sedla nastaju velika fazna izobličenja. Stvaranje sedla uslijed nadkritičke veze može se izbjegći prigušenjem titrajnih krugova, čime se i veza smanjuje na kritičnu, ili još manju. Širina takvog prigušenog pojasnog filtra samo je malo veća od širine neprigušenog pojasnog filtra. Prigušenje titrajnih krugova može se postići bilo uključivanjem paralelnog otpora bilo izvođenjem induktiviteta s malim faktorom dobrote. Ako želimo izbjegći izobličenja u pojasmom filtru, onda nastali fazni pomak mora da bude proporcionalan razmahu frekvencije. U tom slučaju izaziva frekventna modulacija jednu faznu modulaciju koja ima za posljedicu opet frekventnu modulaciju u kojoj nema izobličenja. Ako je nastali fazni pomak u pojasmom filtru proporcionalan razmahu frekvencije, onda je vremensko zakašnjenje za sve frekvencije isto. Posljedica je da na izlazu iz pojasnog filtra imademo isti frekventno modulirani signal kao i na ulazu, ali samo vremenski pomaknut. S obzirom na faznu distorziju najpovoljniji je zvonolik oblik krivulje propuštanja pojasnog filtra.

Međufrekventno pojačalo je trostepeno. Prvi stepen čini pentoda  $E_3$  u spoju koji se ne razlikuje od uobičajenog sklopa za međufrekventno pojačalo amplitudno moduliranog prijemnika, osim što nema automatske regulacije fejdinga koja je nepotrebna kod frekventne modulacije, i što je neutralizacija provedena preko zaštitne rešetke. Slike 27a i 27b prikazuju mosni spoj kojim je provedena neutralizacija. Kondenzatorom C 21 doveden je dio protufaznog anodnog signala na zaštitnu rešetku koja preko kapaciteta zaštitne rečetke i prve rešetke  $C_{g2-g1}$  dovodi taj signal na prvu rešetku i time kompenzira djelovanje anode na prvu rešetku preko kapaciteta  $C_{g1-a}$ . Istim takovim spojem neutraliziran je i drugi stupanj s pentodom  $E_4$ . Posljednji, treći stepen, radi kao ograničavač. On potiskuje amplitudnu modulaciju nastalu uslijed linearnih izobličenja u međufrekventnom pojačalu, kao i onu koju su uzrokovale vanjske smetnje. Ako je amplituda međufrekventnog signala na rešetki ograničavača vrlo velika dolazi do smanjenja međufrekventnog signala na ratio-detektoru. Uslijed velikog pobudnog signala teče struja kroz elektronku samo u kratkom dijelu periode međufrekventnog signala,

a u preostalom vremenu elektronka je zakočena. U anodnom krugu imamo jako izobličen signal, tako da usprkos istoj amplitudi anodnog signala osnovni harmonik međufrekventnog signala opada. Na taj se način pogoršava omjer signal—šum, što omogućava prodor smetnji u niskofrekventni dio prijemnika. Da bismo spriječili preveliku pobudu stupnja za ograničavanje potrebno je da i drugi stupanj počinje ogr-



Sl. 27.

Neutralizacija međufrekventnog pojačala: a) shema sklopa; b) shema mosnog spoja neutralizacije.

ničavati kod većeg ulaznog signala na prijemniku. Drugi stupanj za male signale uobičajeno je međufrekventno pojačalo, a prednapon dobiva ispravljanjem signala na prvoj rešetki. Ograničavanje nastupa istom pri većem signalu kako bi se spriječila prevelika pobuda trećeg stupnja. Vremenske konstante  $R-C$  elemenata u rešetkinom krugu drugog i trećeg stupnja odabране su tako da i pri vrlo kratkotrajnoj smetnji nastupa ograničenje amplitudne.

Na međufrekventno pojačalo priključen je ratio-detektor s duodiodom (elektronka  $E_6$ ). Funkcija ovog diskriminatora već je detaljno opisana, a jedina je razlika u tome što je u odvodu niske frekvencije uključen korekcionni član  $R_{17} - C_{38}$ . Taj član prigušuje više tonske frekvencije koje su izdigruće u pojačalu modulacionog signala odašiljača. Na taj se način postiže još bolji omjer korisnog signala prema šumu ili smetnjama. Niskofrekventno pojačalo nije ucrtano, jer to može biti svako kvalitetno niskofrekventno pojačalo s izlaznom snagom prema potrebi. U kućnim radio-aparatima za amplitudnu i frekventnu modulaciju izvedeno je međufrekventno pojačalo zajednički za obje vrsti međufrekvencije, to jest za 468 kHz i 10,7 MHz, a odijeljeni su stupnjevi za visokofrekventno prepojačanje, miješanje i detekciju.

Ing. Branko Somek

## Fizikalne osnove tranzistora

### Poluvodiči

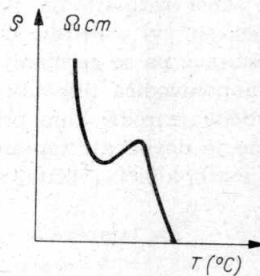
1. — Vodiči su takvi materijali kojih je veza između elektrona u vanjskoj ljudsci — valentnih elektrona — i jezgre slaba, tako da se valentni elektroni lako oslobođaju i postaju slobodni elektroni. Izolatori su naprotiv materijali u kojima su elektroni u vanjskoj ljudsci čvrsto vezani s jezgrom. Između tih dviju vrsti materijala nalazi se treća, nazvana poluvodičima.

Sada ćemo promatrati poluvodiče kao materijale koji nas zanimaju pri izradi tranzistora. Veličina otpora poluvodiča nalazi se u granicama između otpora vodiča i izolatora. Na primjer, specifični otpor poluvodiča germanija iznosi na sobnoj temperaturi od  $25^\circ\text{C}$   $60 \text{ oma} \cdot \text{cm}$ , bakra kao predstavnika dobrih vodiča  $1,7 \cdot 10^{-6} \text{ oma} \cdot \text{cm}$ , a izolatora kvarca  $10^{17} \text{ oma} \cdot \text{cm}$ .

Važno je uočiti kako se otpor poluvodiča mijenja s promjenama temperature.

U vodičima, proporcionalno povišenju temperature, raste i otpor, dok se izolatori pri takvu stanju vladaju sasvim drugačije. Povišenjem temperature otpor materijala se ne mijenja, sve dok se ne postigne izvjesna temperatura na kojoj dolazi do naglog smanjenja otpora. O toj temperaturi ovisi i kvalitet izolatora.

Dijagram na sl. 1 prikazuje ovisnost otpora poluvodiča o temperaturi. Početni dio krivulje pokazuje da se materijal vlasti slično izolatoru, zatim dobiva svojstva slična vodičima, a na višim temperaturama ponaša se opet kao izolator, samo s tom razlikom što je temperatura uz koju dolazi do naglog smanjenja otpora znatno niža nego kod izolatora. Na slici lako zamjećujemo da je otpor poluvodiča u vrlo velikoj mjeri ovisan o temperaturi, i da su to materijali s negativnim temperaturnim koeficijentom, što znači da im se s povećanjem temperature otpor smanjuje.

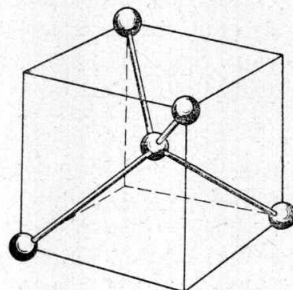


Slika 1.  
Ovisnost otpora poluvodiča o temperaturi

## Kristalna struktura

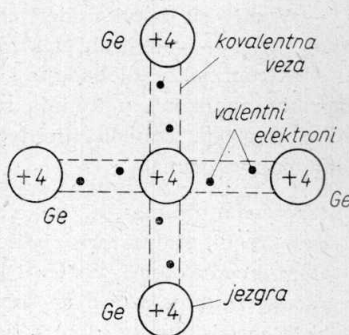
2. — Germanij i silicij materijali su koji se najviše upotrebljavaju u proizvodnji tranzistora i dioda.

Raspored atoma u kristalnoj rešetki monokristalnog germanija, odnosno silicija, prikazan je na sl. 2. Svaki je atom vezan sa četiri susjedna atoma, tako da su razmaci između njih jednaki. Germanijev se atom sastoji od jezgre i 32 elektrona. Jezgra i 28 elektrona u popunjenoj ljudskama čine inertnu jezgru, koja ne utječe na kemijska i električka svojstva materijala. Preostala 4 elektrona u vanjskoj ljudsci



Slika 2.

Raspored atoma u kristalnoj rešetki monokristalnog germanija. Spojnicama su označene kovalentne veze



Slika 3.

Pojednostavljeni prikaz atoma germanija u kristalnoj rešetki.

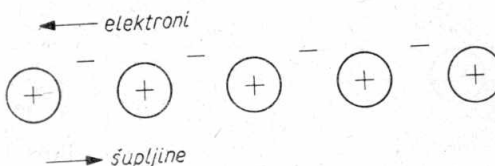
valentni su elektroni. O njima ovise kemijska i električka svojstva materijala. Zbog toga se atom može prikazati i na jednostavniji način, (sl. 3). Po dva valentna elektrona iz susjednih atoma vežu se u parove i čine tzv. kovalentnu vezu, koja drži atome u kristalnoj rešetki.

Ova razmatranja vrijede samo za savršenu kristalnu rešetku u kojoj su svi valentni elektroni vezani, to jest kad nema slobodnih elektrona, pa se germanij ponaša kao izolator. Međutim kristalna struktura poluvodiča nije nikada posve savršena. Javljaju se nesavršenosti različite prirode, koje predstavljaju izvore slobodnih elektrona. Uzrok tome je dovođenje toplinske, odnosno svjetlosne energije, ili dodavanje izvjesnih količina primjesa čistom germaniju.

3. — Na temperaturi pri absolutnoj nuli elektroni miruju. Ali već na sobnoj temperaturi, uslijed molekularnih vibracija nastalih od toplotnog titranja kristalne rešetke, pojedini valentni elektroni povećavaju svoju energiju, pa dolazi do raskidanja pojedinih kovalentnih veza. Rezultat toga je nastajanje slobodnih elektrona. Oslobađanjem

elektrona ostala je nepotpunjena jedna veza; kaže se da je nastala šupljina. U stvari šupljina ne postoji, to je samo odsutnost elektrona. Atom, koji je prije gubitka elektrona bio električki neutralan, postaje pozitivno nabijen. Tu pak šupljinu sada popunjava drugi elektron iz susjedne veze i tako nastaje nova, koja se kreće od atoma do atoma. Šupljinu možemo promatrati kao pozitivno nabijenu česticu čiji je naboј jednak naboju elektrona, dok je pokretljivost šupljine kroz kristal manja od one kod elektrona. To dolazi odатle što je elektron potpuno neovisna čestica, dok se šupljina može kretati samo onda kad je popuni elektron iz susjedna atoma.

Promotrimo kretanje elektrona u odnosu na šupljinu (sl. 4). Elektron izbačen iz veze stvorio je šupljinu, a atom želi popuniti tu prekinutu valentnu vezu. Taj atom privlači drugi elektron i šupljina se pojavljuje na drugom mjestu. Budući da se pojavila na mjestu gdje



*Slika 4.*  
Međusobno kretanje šupljina i elektrona

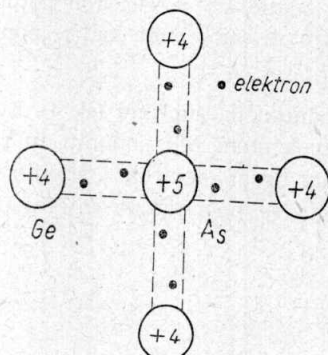
je elektron izbačen iz veze, šupljine se i elektroni gibaju u međusobno suprotnim smjerovima. Tako pod utjecajem električkog polja šupljine putuju prema negativnom polu baterije, a elektroni prema pozitivnom. Koncentracija šupljina i elektrona ovisi o temperaturi. Povišenjem temperature povećava se i koncentracija šupljina i elektrona. Srednja duljina trajanja određenog para elektron—šupljina silicija i germanija iznosi oko  $100 \mu\text{s}$ .

### Dodavanje kemijskih primjesa, N-germanij, P-germanij

4. — Čisti germanij nije podesan za izradu tranzistora, budući da su šupljine i elektroni zastupani u istom broju. Praktična primjena moguća je tek dodavanjem izvjesnih primjesa. Već male količine primjesa,  $1 : 10^7$ , znatno mijenjaju koncentraciju elektrona i šupljina.

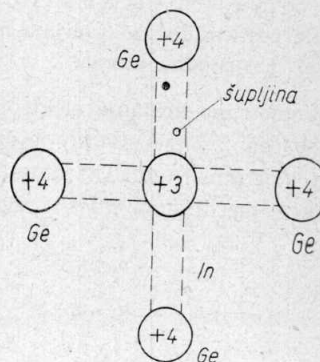
Postoje dvije vrsti primjesa: jedne stvaraju slobodne elektrone, a druge šupljine. Prvu grupu sačinjavaju peterovalentni elementi kao arsen i vanadij, dok drugu grupu sačinjavaju trovalentni elementi kao aluminij, indij, itd. Promotrimo slučaj kada je u kristalnoj rešetki zamjenjen atom germanija ili silicija sa peterovalentnim atomom, na primer arsenom, (sl. 5). Četiri valentna elektrona datog elementa formirat će kovalentne veze s valentnim elektronima susjednih germanijevih

atoma, a peti će elektron ostati slobodan nosilac struje. Za ovaj tip primjese uobičajen je naziv *donor* (davalac), a germanij je nazvan *N-tipom*, jer su ovdje slobodni nosioci elektriciteta negativno nabijene čestice-elektroni. Donorski atom postaje gubitkom elektrona pozitivno nabijen, i čvrsto je vezan u kristalnoj rešetki. Priklučujući pozitivni potencijal na kristal N-tipa elektroni će se kretati prema pozitivnom



Slika 5.

Simbolički prikaz kristalne strukture N-germanija



Slika 6.

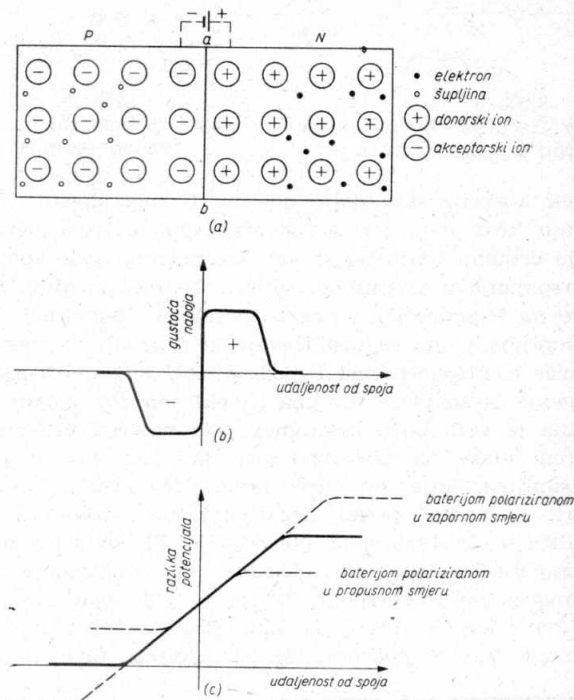
Simbolički prikaz kristalne strukture P-germanija

polu. Dodavanjem trovalentnog elementa (indija) atomi primjese bit će okruženi četverovalentnim germanijevim atomima, (sl. 6). Svaki takav atom zamjenjuje atome germanija i tvori kovalentne veze sa tri susjedna atoma. Da bi kompletirao i četvrtu vezu atom primjese »posuđuje« elektron iz obližnjeg germanijevog atoma. Oduzimanjem elektrona iz obližnje grupe na tom je mjestu nastala šupljina. Taj tip primjese zove se *akceptör* (primalac), a njegov atom u kristalnoj rešetki postaje negativan. Germanij sa akceptorskom primjesom zove se *P-tipom*, jer su ovdje slobodni nosioci elektriciteta pozitivni naboji — šupljine. I kod N-tipa i kod P-tipa nisu elektroni, odnosno šupljine, jedini nosioci elektriciteta. U jednom i drugom postoje i elektroni i šupljine, samo što je kod N-vrsti materijala koncentracija elektrona mnogo veća i one su glavni nosioci elektriciteta, a šupljine su sporedne, dok je kod P-tipa upravo obrnuto: glavni nosioci su šupljine, a sporedni elektroni. Koncentracija slobodnih nosilaca ne mijenja se priključenjem baterije, i u električkom pogledu poluvodič je neutralan.

### PN-spoj

5. — I P-germanij i N-germanij vode struju u oba smjera. To znači da se promjenom polariteta baterije mijenja samo smjer struje, dok jačina ostaje ista. Spajanjem P-tipa i N-tipa germanija na način koji je pri-

kazan na sl. 7 dobit ćemo ispravljački element. Spoj označen slovima *ab* nazvan je PN-spojem. Znakovi o i • na slici označavaju šupljine i elektrone, a znakovi  $\oplus$  i  $\ominus$  predstavljaju donorske i akceptorske atome. Na prvi se pogled čini da će šupljine iz P-područja prijeći u N-područje, a elektroni iz N-područja u P-područje, i da će na taj način doći do uništenja PN-spoja. Međutim to nije tačno; elektroni i šupljine koncentriraju se uzduž spoja i sprečavaju dalju difuziju. To je stanje uzrokovano čvrstom položajem donorskih i akceptorskih atoma u kristalnoj rešetki u odnosu na šupljine i elektrone. Donorski atomi odbijaju šupljine slijede u dijagramu na sl. 7, a akceptorski atomi odbijaju elektrone

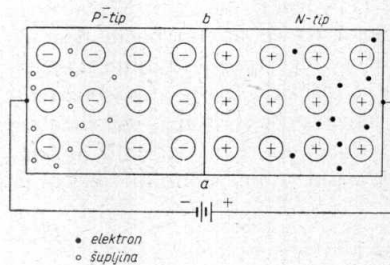


Slika 7.  
 PN-spoj: a) struktura b) raspodjele naboja  
 c) raspodjele potencijala

udesno. Barijera nastala koncentracijom šupljina i elektrona zove se *potencijalnom barijerom*, čije se djelovanje može usporediti s baterijom koja je negativnim polom priključena na P-područje, a pozitivnim krajem na N-područje. Raspodjela potencijala i naboja dana je u dijagramima na sl. 7b i 7c. Tek spajanjem vanjskog izvora napona može se PN-spoj koristiti kao ispravljački.

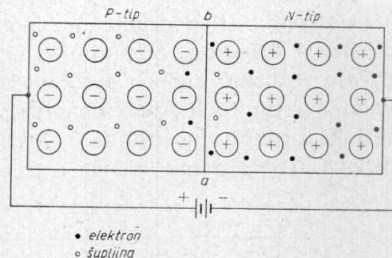
6. — *Polarizacija u zapornom i propusnom smjeru.* Priključenjem vanjskog izvora napona na način prikazan na sl. 8, tj. priključenjem

P-područja na negativni pol izvora, a N-područja na pozitivni, dobivena je polarizacija u zapornom smjeru. Negativni pol privlači šupljine koje se koncentriraju dalje ulijevo, dok se pod utjecajem pozitivnog



Slika 8.

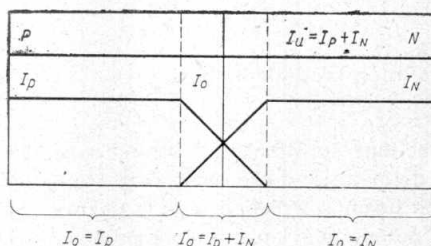
Dijagram protjecanja struje kroz PN-spoj polariziran u propusnom smjeru



Slika 9.

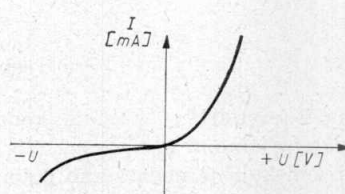
PN-spoj polariziran u protufaznom smjeru

pola elektroni koncentriraju dalje udesno. U tom slučaju nema protjecanja struje kroz spoj, jer se povećala potencijalna barijera (pogledaj gornju crtalu liniju na sl. 7c). Razmotrimo sada spoj na sl. 9. To je način spajanja u propusnom smjeru. Naime, pozitivni pol izvora priključen je na P-područje, a negativni pol na N-područje. Pozitivni pol odbija šupljine i one se približavaju N-području, a negativni pol baterije pomiče elektrone prema P-području. U blizini PN-spoja dolazi do *rekombinacije* — spajanja šupljina i elektrona. Pri svakoj kombinaciji kovalentna je veza blizu pozitivnog pola baterije prekinuta i slobodni elektroni ulaze na pozitivnu stezaljku. Na taj je način nastala nova šupljina, koja se kreće prema N-području. Istovremeno elektron ulazi u kristal preko negativnog pola izvora i kreće se prema P-području. Posljedica je polarizacije PN-spoja u propusnom smjeru smanjenje potencijalne razlike u prijelaznom području spoja, tj. smanjenje potencijalne barijere (vidi donju vrtkanu liniju na sl. 7c). Ukupna struja  $I_0$  koja protjeće kroz kristal sadrži struju elektrona  $I_n$  u N-području, struju šupljina  $I_p$  u P-području, i



Slika 10.

Dijagram protjecanja struje kroz spoj polariziran u propusnom smjeru



Slika 11.

Ispravljačko djelovanje  
PN-spoja

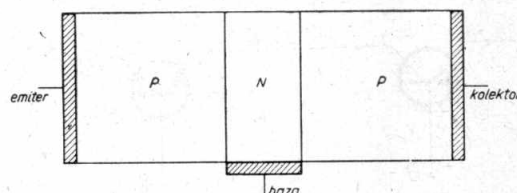
elibrary.mathf.bg.ac.rs

njihove kombinacije u području blizu spoja. Spoj polariziran u propusnom smjeru smanjuje potencijalnu barijeru koja u tom slučaju ne može sprječiti kretanje šupljina iz P-područja u N-područje i kretanje elektrona u obratnom smjeru (sl. 10). Dijagram koji pokazuje odnos napona i struje za zaporni i propusni smjer, iz kojeg se može vidjeti ispravljачko svojstvo spoja, dan je na sl. 11.

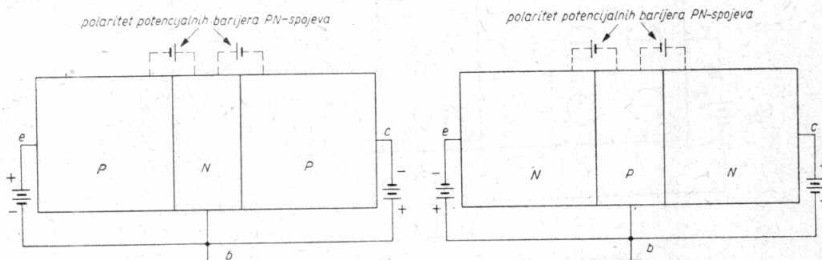
### Slojni tranzistor. Tranzistorsko djelovanje

7. — Pri promatranoj djelovanja PN-spoja upoznali smo njegove karakteristike, a sada ćemo pobliže razmotriti rad slojnog tranzistora. Slojni\* tranzistor sastoji se od kristala poluvodiča koji ima dva PN-spoja (sl. 12). Znači da sva proučavanja PN-spoja možemo primjeniti i na tranzistor. Prema tome da li je srednje područje tranzistora *baza* poluvodič N-tipa ili P-tipa, razlikujemo PNP-tranzistore i NPN-tranzistore. Bilo da se radi o PNP-tipu ili NPN-tipu, svojstva su i djelovanje tranzistora potpuno isti za obje vrsti. Jedina je razlika u načinu priključivanja vanjskog napona, i nosiocima struje. Kod PNP-tipa glavni su nosioci struje šupljine, a kod NPN-tipa elektroni. Vanjski sloj polariziran u odnosu na bazu u propusnom smjeru jest *emiter*, dok je sloj polariziran u zapornom smjeru u odnosu na bazu nazvan *kolektorom*.

Na sl. 13 i 14 prikazani su načini spajanja PNP-tranzistora i NPN-tranzistora. Diode emiter-baza jednog i drugog tranzistora polarizirane su u propusnom smjeru, a diode kolektor-baza u zapornom. Kod PNP-tranzistora napon je emitera za nekoliko desetinki volta pozitivniji, dok



Slika 12.  
PNP-slojni tranzistor — prikaz



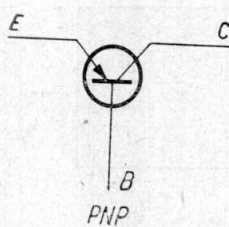
Slika 13.  
Polariziranje PNP-tranzistora

Slika 14.  
Polariziranje NPN-tranzistora

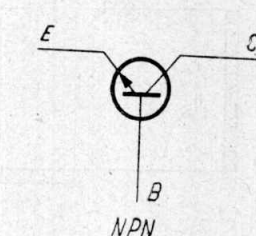
\* Pored slojnog tranzistora postoji tačkasti tranzistor koji se zbog osjetljivosti prema mehaničkim i električnim opterećenjima više ne proizvodi. Izvedeni je od pločice baze koju na udaljenosti od  $40\mu$  dodiruju šiljatim vršcima dvije tanke žice.

je napon kolektora za nekoliko volta negativniji od napona baze. Kod NPN-tranzistora napon emitera je negativan, a kolektora pozitivan, u odnosu na napon baze.

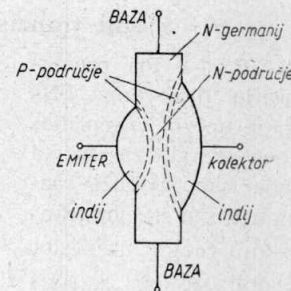
Na sl. 15 i 16 označeni su simboli za PNP-tranzistor i NPN-tranzistor. Slovo *E* označuje emiter, *B* bazu, a *C* kolektor. Smjer strelice označava o kojoj se vrsti tranzistora radi.



Slika 15.  
Simboličko označi-  
vanje PNP-tranzi-  
stora



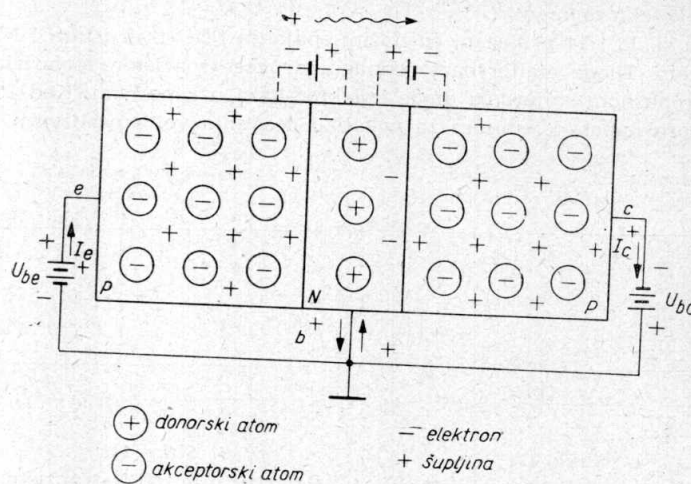
Slika 16.  
Simboličko označi-  
vanje NPN-tranzi-  
stora



Slika 17.  
Konstrukcija slojnog  
PNP-tranzistora do-  
bivenog postupkom  
legiranja

8. — Budući da se zbog tehnoloških razloga najviše proizvode PNP-tranzistori, bit će u daljem izlaganju govora samo o njima.

Konstrukcija takvog tranzistora prikazana je na sl. 17. Baza je srednja, vrlo tanka pločica N-germanija. Utaljivanjem zrnaca indija dobili smo P-germanij. Veće zrnce označava kolektor, a manje emiter,



Slika 18.  
Princip rada PNP-tranzistora

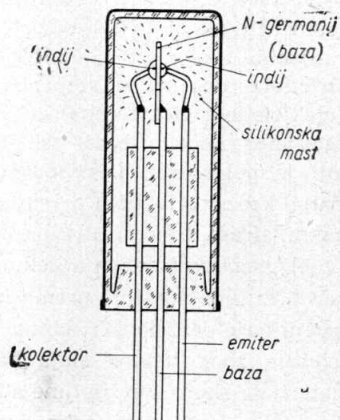
čiji je sloj mnogo jače dotiran. U razgovoru o vrstama germanija upoznali smo bit provođenja struje i vrst nosilaca elektriciteta u njima. Prema onome što smo vidjeli možemo zaključiti da u PNP-tranzistoru teče u biti struja šupljina, jer su u vanjskim P-slojevima, emiteru i kolektoru, šupljine glavni nosioci elektriciteta, dok su u sloju baze, koji je od N-materijala, glavni nosioci elektriciteta elektroni. Pozitivne šupljine iz emitera, pod utjecajem negativnog napona baze, (sl. 18), prelaze PN-spoj (dioda emiter-baza) koji je polariziran u propusnom smjeru i ulaze u sloj baze, gdje se dalje kreću difuzijom u smjeru manjih koncentracija i prema kolektorskoj strani baze. Kako na zapornom sloju baza-kolektor leži gotovo cijeli negativni napon kolektora, nastaje jako električko polje koje privlači pozitivne šupljine prema kolektoru. Izgledalo bi logično da će u području baze doći do rekombinacije šupljina sa slobodnim elektronima. Međutim zbog tankog sloja baze (oko 10 mikrona) i slabije dotiranog N-materijala skoro sve šupljine stižu do kolektorskog spoja, a samo se malen dio rekombinira, tako da je struja kolektora samo za 1—5% manja od struje emitera.

### Tehnološki postupak dobivanja tranzistora

9. — Iako su već izloženi osnovni fizikalni procesi i pojmovi, ipak ćemo se pozabaviti tehničkom gradnjom i proizvodnjom tranzistora. U pogledu načina proizvodnje postoje dvije metode dobivanja tranzistora; postupak *legiranja* i postupak *izvlačenja*. Osnovna sirovina za proizvodnju tranzistora, bilo jednim ili drugim putem, jest čisti germanij ili silicij.

*Postupak legiranja.* Pri postupku legiranja dodaju se rastopljenom germaniju peterovalentne ili trovalentne primjese, ovisno o željenoj vrsti germanija. Poslije toga se germanij reže u vrlo tanke pločice, čija debljina nakon površinske obrade iznosi oko  $120\text{ }\mu$ . Zatim se na obje strane pločice, ako se radi o N-germaniju, utale kuglice nekog trovalentnog elementa, npr. indija. Određenim postupkom zagrijavanja takvog kristala na oko  $500^{\circ}\text{C}$  stvaraju se PN-spojevi.

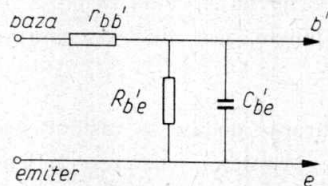
*Postupak izvlačenja.* Čist germanij topi se u atmosferi zaštitna plina i u talinu se unosi monokristalan germanij, koji služi kao jezgra. Temperatura taline se pomalo spušta, a kristal germanija se polako izvlači. U talinu se izmjenično dodaju peterovalentne i trovalentne primjese, tako da po redu dobivamo P-germanij ili N-germanij. Iz kristala se izrađuju štapići koji imaju tri sloja. Taj postupak je vrlo skup, a služi uglavnom za dobivanje NPN-tranzistora.



Slika 19.  
Presjek slojnog tranzistora

Na sl. 19 vidimo unutarnju građu slojnog tranzistora. Tranzistorski element sastoji se od pločice germanija dobivene na gore opisan način, s utaljenim zrncima indija. Na gotov i ispitani kristal zaleme se izvodi od žica za pojedine elektrode, sve se ugradi u hermetički zatvoren stakleni ili metalni balon, koji štiti germanij od utjecaja vlage, svjetla i mehaničkog oštećenja. Stakleni balon ili metalna čahura napunjeni su silikonskom masti koja odvodi toplinu nastalu u tranzistoru, osigurava čvrstoću konstrukcije i štiti tranzistorski element od nečistoće.

10. — Jedan od osnovnih problema koji je trebalo riješiti u razvoju tranzistorske tehnike jest relativno niska gornja granična frekvencija slojnih tranzistora. Glavni faktori koji utječu na to jesu debljina sloja baze, o čemu ovisi otpor baze i vrijeme prolaza nosilaca struje kroz sloj baze, te kapacitet kolektor—baza. Otpor baze  $r_{bb'}$  čini s ulaznim kapacitetom frekventno ovisan djelitelj napona. Veličine otpora i kapaciteta nisu zanemarive i njihove se vrijednosti kreću oko  $100 \Omega$  i  $10 \text{ pF}$ . Na sl. 20 dana je ekivalentna shema ulaznog kruga tranzistora u spoju sa zajedničkim emiterom.



Slika 20.

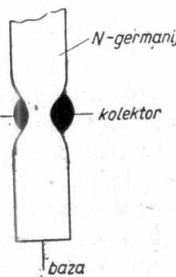
Nadomjesna shema ulaznog kruga tranzistora u spoju sa zajedničkim emiterom

rine baze, pored tehnoloških teškoća koje se pri tom javljaju, ograničava se veličina kolektorskog napona, a povećava omski otpor baze i unutarnji kapacitet.

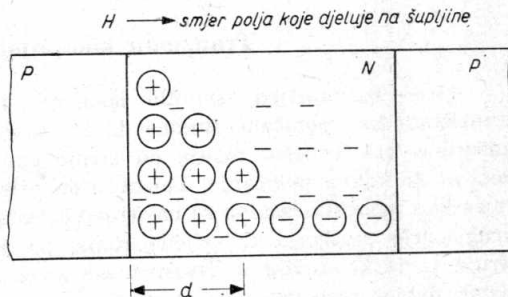
Danas je taj problem uglavnom riješen konstruktivnim i tehnološkim postupkom.

Na sl. 21 prikazana je izvedba tranzistora s površinskom barijerom, kod kojeg je povišenje granične frekvencije postignuto smanjenjem sloja baze.

Pločica koja služi kao baza stanjuje se tako da se jetkanjem izdube na obje strane. Kod ovog tranzistora postiže se debljina baze  $10 \mu$ , a granična frekvencija iznosi do 50 MHz.



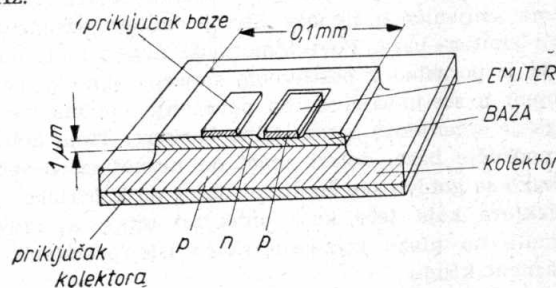
Slika 21.  
Slojni tranzistor  
s površinskom  
barijerom



Slika 22.  
Drift-tranzistor — shematski prikaz

Znatnije poboljšanje ostvareno je međutim *drift-tranzistorima*, gdje je specijalnim postupkom postignuto da se koncentracija primjesa u sloju baze eksponencijalno smanjuje od emitera prema kolektoru. Sl. 22 ilustrira ovu raspodjelu. Na taj se način u sloju baze stvara dobitno električko polje koje ubrzava kretanje nosilaca u sloju baze.

Na ovom su principu izvedeni uglavnom svi tranzistori za više frekvencije (OC170, OC171, OC614, OC615), kojih granična frekvencija iznosi preko 100 MHz.



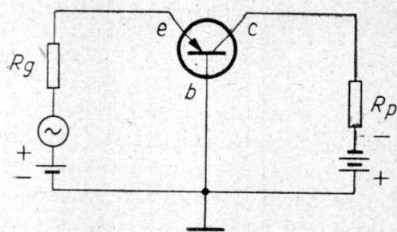
Slika 23.  
Konstrukcije germanijeva PNP-Messa-  
tranzistora

Na *Messa-principu* proizvedeni su tranzistori koji rade i do 1000 MHz. Male debljine baze postignute su novim tehnološkim postupcima, difuzijom čvrstih tijela i isparavanjem tankih metalnih slojeva u visokom vakuumu. Sl. 23 daje shematisiran prikaz germanijeva PNP-messa-tranzistora. Tranzistor je napravljen od pločice P-materijala koji se zagrijava na određenu temperaturu od oko  $700^{\circ}\text{C}$  u atmosferi koja sadrži neku N-tip primjesu, npr. arsen ili antimona. Ispareni atomi dolaze na površinu i difuzijom prodiru u materijal i na taj se način stvara  $1\text{--}2 \mu$  debeli N-sloj baze. Na sloj

baze u visokom vakuumu ispari se i ulegira pogodnim kalupom pločica emitera (aluminij) i kontaktne pločice baze (zlato-antimon). Kolektor je P-materijal, a na bazu i emiter ulemljeni su dvostruki zlatni priključci.

### Tranzistor kao pojačalo

11. — Iz naprijed iznijetih izlaganja još uvijek nije jasan rad tranzistora kao pojačala. Budući da je, kako je već spomenuto, struja kolektora čak i nešto manja od struje emitera, čini se da ne može doći ni do kakva pojačanja. To međutim nije tačno. Naime, rad tranzistora kao pojačala zasniva se na činjenici da se otpori ulaznog i izlaznog kruga vrlo razlikuju u vrijednostima, pa je to u stvari prenošenje struje iz niskoomskog u visokoomski krug (po čemu je i sam tranzistor dobio ime: transfer-resistor).



Slika 24.

Spoj tranzistora kao pojačala

jednica elektroda ulaznog i izlaznog kruga. Razmotrimo slučaj kada nema izmjeničnog signala. Struja emitera određena je isključivo naponom emiter–baza. Povećajmo sada napon i promotrimo ga u trenutku spojeni u seriju doći će do povećanja napona emiter–baza, posljedica čega je smanjenje potencijalne barijere. Time dolazi veći broj šupljina u područje baze, dolazi znači do neznatnog povećanja struje emitera, a kako se gotovo sve šupljine sabiru na kolektoru, povećat će se i struja kolektora koja teče kroz opteretni otpor  $R_p$ . Prema tome promjene signala na ulazu izazivaju skoro iste promjene struje u ulaznom i izlaznom krugu.

Kako je dioda emiter–baza polarizirana u propusnom smjeru i male će promjene napona na emiteru izazvati znatnu promjenu protoka struje kroz emiterski krug, a one će se skoro iste pojaviti i u kolektorskem krugu. Međutim na relativno velikom opteretnom otporu  $R_p$  te promjene struje izazivaju znatne promjene napona. Dakle, postignuto je pojačanje napona.

12. — Pretpostavimo sada pri kvantitativnom tretiranju tog problema da se napon signala povećao za  $\Delta U_u$ . Ta će promjena napona u

Jednostavan primjer djelovanja PNP-tranzistora kao pojačala prikazan je na sl. 24. Generator izmjeničnog signala spojen je u seriji s istosmjernom baterijom emiter–baza. Opteretni otpor  $R_p$  vezan je pak u seriju s baterijom koja služi za dovođenje istosmjernog napona kolektoru. Spoj je izведен tako da je baza za-

niskoomskom emiterском krugu, čiji je otpor  $r_e$ , izazvati odgovarajuću promjenu struje

$$\Delta I_e = \frac{\Delta U_u}{r_e}.$$

Medusobna ovisnost struje kolektora i struje emitera dana je faktorom strujnog pojačanja  $\alpha_b$ , koji je definiran odnosom promjene struje kolektora prema promjeni struje emitera, uz konstantan napon kolektora

$$\alpha_b = \frac{\Delta I_c}{\Delta U_u} \quad (\text{uz } U_c = \text{konst.})$$

Uslijed rekombinacije, kako smo već ustanovili, taj je faktor nešto manji od 1 i kreće se u području  $0,95 - 0,99$ , ovisno o tipu tranzistora. Dakle, promjena struje kolektora jest  $\Delta I_c = \alpha_b \Delta I_e$ . Ova promjena kolektorske struje proizvodi odgovarajuću promjenu napona na opteretnom otporu  $R_p$

$$\Delta U_c = \alpha_b \Delta I_e R_p.$$

Pojačanje napona određeno je odnosom promjene izlaznog i ulaznog napona. Stoga je  $V_u = \frac{\Delta U_i}{\Delta U_u}$ , ili izraženo veličinom ulaznog i opteretnog otpora  $V_u = \alpha_b \frac{R_p}{r_e}$ .

Za  $\alpha_b$  znamo da je približno jednak jedinici, pa su za pojačanje napona uglavnom bitne veličine ulaznog i izlaznog otpora. Odaberemo li na primjer tranzistor čiji je opteretni otpor 4000 om, a otpor emitera 40 om, naponsko će pojačanje biti približno  $4000/40 = 100$ . Odmah ćemo uočiti da je postignuto i pojačanje snage. Izlazna snaga nastala uslijed promjene kolektorske struje  $\Delta I_c$  na opteretnom otporu bit će  $N_i = \Delta I_c^2 R_p = \alpha_b^2 \Delta I_e^2 R_p$ , dok je ulazna snaga nastala promjenom struje emitera  $N_u = \Delta I_e^2 r_e$ . Kako je pojačanje snage dato odnosom  $\frac{N_i}{N_u}$ , bit će postignuto pojačanje snage čija je veličina jednaka  $V_s = \alpha_b^2 \frac{R_p}{r_e}$ .

## Tranzistorske karakteristike

### Uvod

13. — Promatrajući tranzistor kao element sklopa, odmah uočavamo da je njegovo ponašanje složenije od ponašanja elektronki zbog njegova načina pobuđivanja i bilateralnog karaktera, koji se očituje u utjecaju izlaznog kruga na ulazni krug.

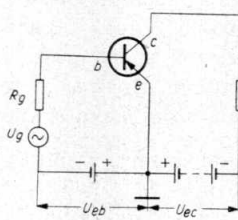
Svojstva tranzistora mogu se predočiti pomoću karakteristika dobivenih mjerenjima, nadomjesnom shemom i matematski, gledajući tranzistor kao četveropol. Karakteristike su pogodne za proučavanje sklopova kod kojih moramo voditi računa o izlaznoj snazi, nelinearnostima,

ukratko o graničnim vrijednostima tranzistora, dakle one će se koristiti kod velikih signala.

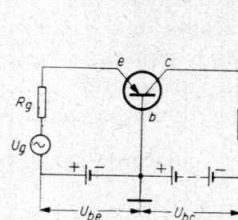
Parametri dobiveni računom matrica, u koji nećemo zalažiti, mogu se koristiti samo onda, ako su u pitanju linearni odnosi, znači kod malih signala.

— 14. — Budući da tranzistor ima tri elektrode — emiter, kolektor i bazu — njegova su svojstva određena poznavanjem napona i struje na tim elektrodama, znači poznavanjem međusobne ovisnosti triju napona i triju struja. To su struja baze  $I_b$ , struja emitera  $I_e$ , struja kolektora  $I_c$ , napon između baze i emitera  $U_{be}$  napon između kolektora i baze  $U_{cb}$  i napon između kolektora i emitera  $U_{ce}$ . Kako je napon  $U_{be}$  znatno manji od napona  $U_{cb}$  i  $U_{ce}$ , a isto je tako i struja baze znatno manja od struje  $I_c$  i  $I_e$ , nećemo mnogo pogriješiti ako pretpostavimo da je  $I_c = I_e$  i  $U_{bc} = U_{ce} = U_c$ . Na taj se način broj parametara smanjio na četiri, dva napona i dvije struje.

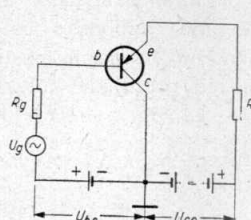
U spoju se tranzistor uvijek priključuje tako da jedna elektroda predstavlja ulaznu, a druga izlaznu stezaljku, dok je treća zajednička za izlazni i ulazni krug. Prema tome koja je elektroda zajednička, razlikujemo tranzistorski spoj sa **zajedničkim emiterom**, **zajedničkom bazom** i **zajedničkim kolektorom**. Tim spojevima odgovaraju spojevi sa zajedničkom katodom, zajedničkom rešetkom i zajedničkom anodom kod triode (sl. 25, 26 i 27).



Slika 25.  
Tranzistor u spoju  
sa zajedničkim  
emiterom



Slika 26.  
Tranzistor u spoju  
sa zajedničkom  
bazom

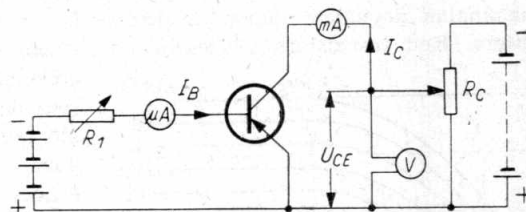


Slika 27.  
Tranzistor u spoju  
sa zajedničkim  
kolektorom

U svakom od navedenih slučajeva potrebno je poznavati ovisnost napona i struje u ulaznom i izlaznom krugu.

### Izlazne karakteristike tranzistora

15. — Ponašanje tranzistora uz razne napone kolektora (prema zajedničkoj elektrodi) i razne ulazne struje ( $I_b$  i  $I_e$ ), ovisno o vrsti spoja, dade se prikazati izlaznom karakteristikom. Načinimo u tu svrhu

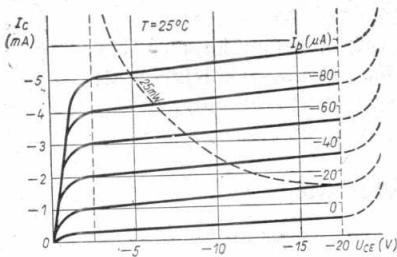


Slika 28.

Sklop za mjerjenje izlaznih karakteristika

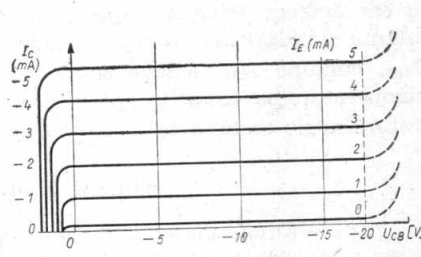
uredaj za mjerjenje, (sl. 28). Kako vidimo na sl. 25, kod tranzistora možemo razlikovati dva strujna kruga: ulazni i izlazni. Oba kruga imaju zajedničku tačku prema kojoj se mjere svi naponi. Struja baze mjerena mikroampermrom  $\mu A$  određuje se visokoomskim promjenljivim otpornikom  $R_1$ , voltmetrom  $V$  mjeri se napon kolektora, a miliampermrom  $mA$  u kolektorskem krugu struja kolektora. Važno je napomenuti da je mjerjenje potrebno vršiti uz konstantnu temperaturu okoline, zbog velike osjetljivosti tranzistora na promjenu temperature, o čemu će kasnije biti govora. Vrijednosti elemenata u shemi ovise o vrsti i tipu tranzistora.

16. — Polje izlaznih karakteristika pokaže medusobnu ovisnost struje kolektora  $I_c$  i napona kolektora  $U_c$  uz konstantnu ulaznu struju ( $I_c$  odnosno  $I_e$ ). Na sl. 29 i 30 prikazane su izlazne karakteristike slojnog tranzistora u spoju sa zajedničkim emiterom i zajedničkom bazom, gdje su parametri struje baze  $I_b$ , odnosno struje emitera  $I_e$ . U početnom dijelu izlazne karakteristike kod tranzistora u emiterskom spoju vidimo da će i uz neznatno povećanje napona kolektora doći do znatnog porasta kolek-



Slika 29.

Izlazne karakteristike tranzistora u spoju sa zajedničkim emiterom

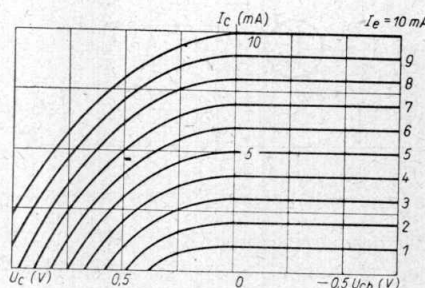


Slika 30.

Izlazne karakteristike tranzistora u spoju sa zajedničkom bazom

torske struje  $I_c$ . Kod većine tranzistora to se područje nalazi unutar granice od 0,3 V. Poslije toga dolazi linearни dio karakteristike u kojem se i uz veću promjenu napona kolektora struja  $I_c$  vrlo malo mijenja. Međutim daljnjim povećanjem kolektorskog napona iznad neke određene vrijednosti dolazi do naglog porasta struje, uslijed čega može doći i do uništenja tranzistora. Zbog toga proizvodač tranzistora propisuje

maksimalan dopušteni napon kolektora  $U_c$ , uz određenu struju baze i emitera. Kod tranzistora s uzemljenom bazom struja kolektora teče i



Slika 31.

Izlazne karakteristike tranzistora u spoju baze pri malim naponima kolektora

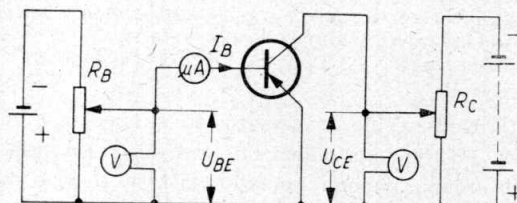
onda kada je napon kolektora jednak nuli. To dolazi odatle što između priključka i sloja baze postoji omski otpor na kojem se stvara prednapon za kolektorskiju diodu. Na sl. 31, gdje su dane izlazne karakteristike tranzistora u spoju sa zajedničkom bazom za male kolektorske napone, vidí se da i uz pozitivne napone kolektora još uvijek teče struja kolektora  $I_c$ .

17. — Crtkano izvučena krivulja na sl. 29 granična je krivulja za maksimalnu dopustivu kolektorskiju struju. Ako je naime kolektorska struja prevelika pri danom kolektorskom naponu, doći će zbog porasta struje kolektora do uništenja tranzistora. Za svaki su, dakle, tranzistor zbog toga propisani maksimalni dopustivi gubici kolektora  $N_c = U_c \cdot I_c$  (W).

Usporedivanjem izlaznih karakteristika jednog i drugog spoja odmah uočavamo da su karakteristike u spoju sa zajedničkom bazom položenije nego u spoju sa zajedničkim emiterom. Iz toga slijedi da je izlazni otpor tranzistora u spoju sa zajedničkom bazom veći od onoga u emiterском. Prve krivulje na sl. 29 i 30 pokazuju da i uz otvorene ulazne stezaljke teće struja u kolektorskom krugu koja se označuje sa  $I_{ceo}$ , odnosno  $I_{cbo}$ , i zove se preostalom strujom kolektora. Na nižim temperaturama iznos te struje dosta je malen, ali povišenjem temperature naglo raste, o čemu će kasnije biti govora.

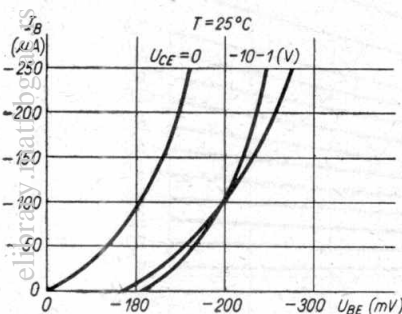
### Ulagane karakteristike

18. — Druge po važnosti, potrebne za poznavanje rada tranzistora, jesu ulagane karakteristike. One pokazuju ovisnost ulagane struje i ulaznog



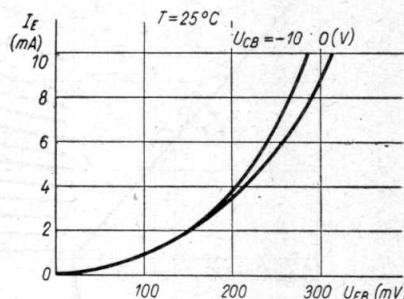
Slika 32.  
Sklop za mjerjenje ulaganih karakteristika tranzistora

naponu uz konstantan napon kolektora. Sl. 32 pokazuje sklop koji omogućuje snimanje ulaznih karakteristika tranzistora u emiterskom spoju. Za spoj sa zajedničkim emitером vrijedi  $I_B = U_{BE}$  karakteristika uz  $U_{CE} = \text{konst}$ , a za spoj sa zajedničkom bazom  $I_E = U_{EB}$  uz  $U_{CB} = \text{konst}$ , (sl. 33 i 34). Jasno je vidljivo da je utjecaj izlaznog napona na ulazne



Slika 33.

Ulagne karakteristike tranzistora u spoju sa zajedničkim emitером



Slika 34.

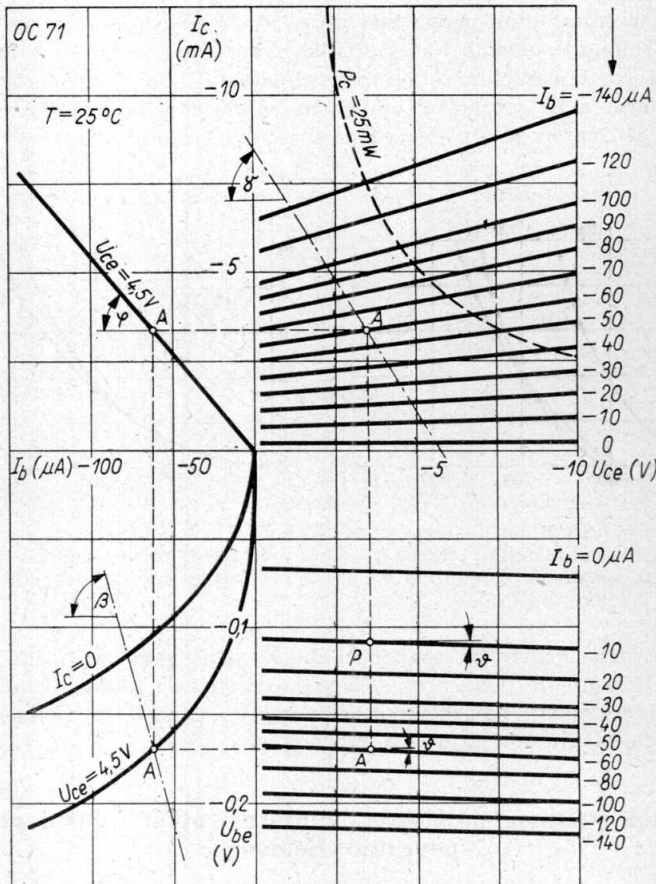
Ulagne karakteristike tranzistora u spoju sa zajedničkom bazom

karakteristike malen, pa se podaci daju obično samo za jedan izlazni napon. Krivulja je nelinearna (slična karakteristici germanijeve diode), pa pri konstrukciji pojačala moramo voditi računa o toj nelinearnosti, budući da na nju znatno utječe impedancija izvora.

### Faktor strujnog pojačanja, unutarnji otpor, ulazni otpor, povratno djelovanje

19. — U podacima o tranzistorima daju se karakteristike smještene u četiri kvadranta koordinatnog sistema (sl. 35 i 36). Karakteristike u prvom kvadrantu već su opisane izlazne karakteristike, i njima su dani odnosi u izlaznom krugu. Karakteristike prikazane u drugom kvadrantu daju međusobnu ovisnost izlazne struje  $I_C$  i ulazne struje  $I_B$ , odnosno  $I_E$ , uz napon kolektora kao parametar. U trećem se kvadrantu nalaze ulazne karakteristike (vidi odsjek 18), i njima su dani odnosi u ulaznom krugu. Polje karakteristika u četvrtom kvadrantu pokazuje međusobnu ovisnost ulaznih i izlaznih napona uz ulaznu struju kao parametar ( $I_B$ , odnosno  $I_E$ ). Iz navedenih karakteristika mogu se dobiti veličine koje određuju odnos tranzistora u spoju.

20. — Važna veličina koja određuje djelovanje tranzistora jest faktor strujnog pojačanja  $\alpha$ . Razlikujemo dva faktora strujnog pojačanja: kod izmjenične struje malog signala i izmjenične struje velikog signala. Pod faktorom strujnog pojačanja malog signala podrazumijevamo odnos promjene izlazne struje, struje kolektora  $\Delta I_C$ , prema pro-



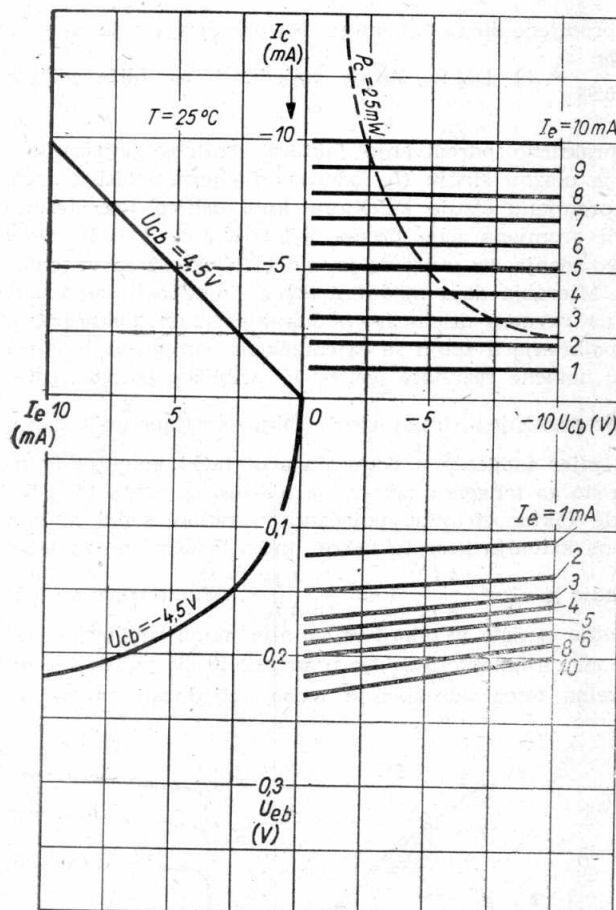
Slika 35.  
Karakteristike tranzistora OC 71 u spoju sa zajedničkim emiterom

mjeni ulazne struje ( $\Delta I_b$ , odnosno  $\Delta I_e$ ) uz stalan napon kolektora  $U_c$ , dakle odnos

$$\alpha_e = \frac{\Delta I_c}{\Delta I_b} = \frac{\text{promjena struje kolektora}}{\text{promjena struje baze}} \quad (\text{uz } U_c = \text{konst.}) \quad (1)$$

$$\alpha_b = \frac{\Delta I_c}{\Delta I_e} = \frac{\text{promjena struje kolektora}}{\text{promjena struje emitera}} \quad (\text{uz } U_c = \text{konst.}) \quad (2)$$

Sa  $\alpha_e$  označen je faktor strujnog pojačanja u spoju sa zajedničkim emiterom, a sa  $\alpha_b$  u spoju sa zajedničkom bazom. Uz kratkospojeni izlaz,



Slika 36.

Karakteristike tranzistora OC 71 u spoju sa zajedničkom bazom

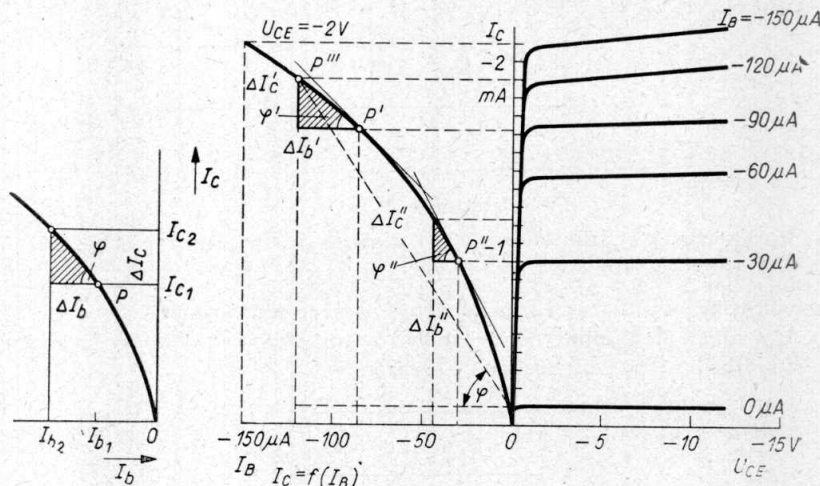
ovisnost između ulazne i izlazne struje dana je jednadžbama  $i_e = -\alpha_b i_b$  i  $i_c = \alpha_e i_b$ . Međusobni odnos ovih dviju veličina dobiven pomoću jednadžbe  $i_c + i_b + i_e = 0$  dan je izrazom.

$$\boxed{\alpha_e = \alpha_b / (1 - \alpha_b)} \quad \dots \quad (3)$$

Dok je vrijednost  $\alpha_b$  kod slojnih tranzistora uvijek manja od jedan, vrijednost  $\alpha_e$  kreće se u području od 10 do 100. Ove visoke vrijednosti za  $\alpha_e$  proizlaze iz činjenice da je vrijednost struje  $I_b$  vrlo mala (razlika između  $I_e$  i  $I_c$ ), i da male promjene te struje uzrokuju

značajne promjene struje kolektora. Na primjer, ako je  $\alpha_b = 0,98$ , bit će  $\alpha_e = \frac{0,98}{1 - 0,98} = 49$ . Dakle, što je vrijednost  $\alpha_b$  bliža jedinici, bit će i  $\alpha_e$  veći.

Za praktično određivanje faktora strujnog pojačanja  $\alpha_e$  i  $\alpha_b$  potrebno je ulaznu struju ( $I_b$ , odnosno  $I_e$ ) promijeniti za neki iznos i izmjeriti promjenu struje kolektora, koja uslijed toga nastaje. Odnos ovih dviju promjena daje prema jednadžbama (1 i 2) traženi faktor strujnog pojačanja, uz uvjet da je napon kolektora za vrijeme mjerjenja ostao isti. Mjerena daju međutim tačne vrijednosti samo onda ako su izvedena na ravnom dijelu  $I_c - I_b$  karakteristike. (Određivanje faktora strujnog pojačanja u spoju sa zajedničkom bazom  $\alpha_b$  iz karakteristika daje dosta netačne rezultate jer je  $\alpha_b$  približno jednak jedinici, pa se stoga ne preporučuje.) Strogo uvezši, faktor strujnog pojačanja  $\alpha_e = \frac{\Delta I_c}{\Delta I_b}$  određuje smjer tangente u odgovarajućoj tački krivulje  $P$ , dakle tangens kuta što ga tangenta zatvara sa  $I_b$  — osi  $\alpha_e = \tan \varphi$  (sl. 37). Da odredimo dakle faktor strujnog pojačanja u radnoj tački moramo povući tangentu na krivulju kroz tu tačku, kako je učinjeno za tačke  $P'$  i  $P''$  na sl. 38, gdje je  $\alpha_e' = \frac{\Delta I_c'}{\Delta I_b'}$  i  $\alpha_e'' = \frac{\Delta I_c''}{\Delta I_b''}$ . Odavde izlazi da faktor strujnog pojačanja  $\alpha_e$  (isto je tako i sa  $\alpha_b$ ) nije stalna veličina, jer se krivulja kod većih struja kolektora savija prema dolje, pa je i  $\alpha_e$  u tom području manji. Prema tome određivanje tačne vrijednosti za  $\alpha_e$  kod malih



Slika 37.  
Određivanje faktora strujnog pojačanja

Slika 38.  
Ovisnost strujnog pojačanja o položaju radne tačke

signala ima smisla samo onda ako se istodobno naznači za koju tačku to vrijedi. Na sl. 39 naznačene su dvije tačke za tranzistor OC72, iz kojih se vidi da se  $\alpha_e$  mijenja ovisno o izabranoj tački. Ako je radna tačka  $P_1$  faktor strujnog pojačanja iznosi  $\alpha_1 = AB/P_1A = 20/0,4 = 50$ , dok je u radnoj tački  $P_2$  manji  $\alpha_2 = A'B'/P_2A' = 12,5/0,4 = 31,5$ .

Faktor strujnog pojačanja kod velikih signala označen je sa  $\bar{\alpha}$  i određen je odnosom između istosmjerne izlazne struje  $I_c$  i ulazne struje ( $I_b$ , odnosno  $I_e$ ) uz konstantan izlazni napon, s time da se struji kolektora  $I_c$  oduzme preostala struja kolektora koja teče i uz otvoren ulaz. U polju izlaznih karakteristika ta je struja prikazana najdonjom krivuljom, a označena je sa  $I_{ceo}$  u spoju sa uzemljenim emiterom, a sa  $I_{cbo}$  u spoju sa zajedničkom bazom. Međusobno ovisnost ulazne i izlazne struje dana je jednadžbom  $I_c = \bar{\alpha}_e I_b + I_{ceo}$  za zajednički emiter i sa  $I_c = -\bar{\alpha}_b I_e + I_{cbo}$  za zajedničku bazu. Iz gornje jednadžbe za zajednički emiter prema tome izlazi da je

$$\bar{\alpha}_e = \frac{I_c - I_{ceo}}{I_b} \quad . . \quad (4)$$

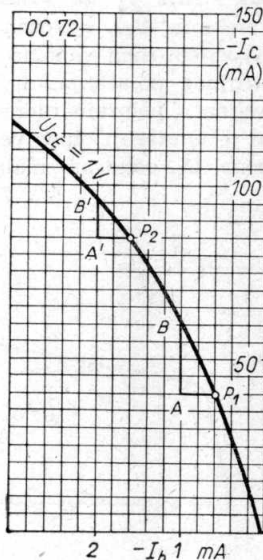
Da bismo odredili  $\alpha_e$  u radnoj tački  $P''$ , (sl. 38), moramo očitati  $I_b$  i  $I_c$  i od očitane vrijednosti  $I_c$  oduzeti veličinu struje  $I_{ceo}$ . Tako faktor strujnog pojačanja velikog signala  $\bar{\alpha}_3$  za karakteristiku u radnoj tački  $P'''$  iznosi uz  $U_{ce} = -2V$  i  $I_b = -120 \mu A$ , gdje je  $I_{ceo} = -0,1 \text{ mA}$  i  $I_c = -1,9 \text{ mA}$ .  $\bar{\alpha}_3 = (-1,9 + 0,1) / (-0,12) = 15$ .

Uspoređujući  $\alpha_e$  i  $\bar{\alpha}_e$  vidimo da je  $\alpha_e$  manji od  $\bar{\alpha}_e$ .

21. — Drugi osnovni pojam koji se dobiva iz tranzistorskih karakteristika jest *unutarnji otpor*. Pod *unutarnjim otporom* razumijevamo odnos promjene kolektorskog napona  $\Delta U_c$  prema promjeni kolektorske struje  $\Delta I_c$  uz stalnu ulaznu struju ( $I_b$ , odnosno  $I_e$ ), dakle odnos:

$$R_{ie} = \frac{\Delta U_{ce}}{\Delta I_c} = \frac{\text{promjena kolektorskog napona}}{\text{promjena kolektorske struje}} \quad (\text{uz } I_b = \text{konst.}, \text{ za emiterski spoj}) \quad (5)$$

$$R_{ib} = \frac{\Delta U_{cb}}{\Delta I_c} = \frac{\text{promjena kolektorskog napona}}{\text{promjena kolektorske struje}} \quad (\text{uz } I_e = \text{konst.}, \text{ za spoj baze}) \quad (6)$$

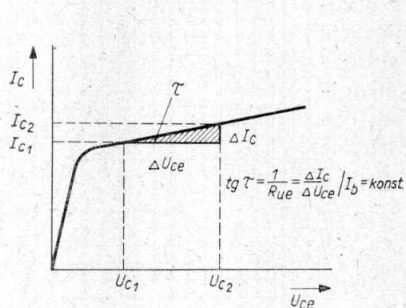


Slika 39.

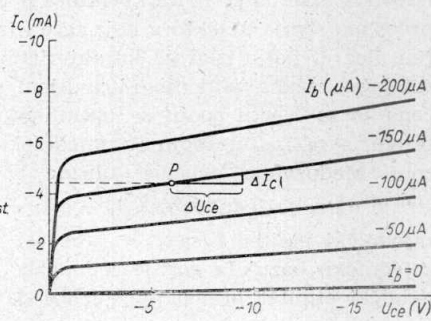
Veličina faktora strujnog pojačanja u tačkama  $P_1$  i  $P_2$  za tranzistor OC 72

Unutarnji otpor najlakše se dobiva iz izlaznih karakteristika  $U_c - I_c$ , kako se to vidi na sl. 40.

Pri određivanju  $R_i$  moramo izmjeriti za koliko se mijenja kolektorska struja  $I_c$  uz stalnu ulaznu struju ( $I_b$  odnosno  $I_e$ ), ako se napon kolektora  $U_{ce}$ , odnosno  $U_{cb}$ , promijeni za neku stacionarnu vrijednost. Kvocijent ovih veličina daje traženi unutarnji otpor. Isto kao ni faktor strujnog pojačanja, ni unutarnji otpor nije stalna vrijednost, već je ovisna o položaju radne tačke. Što su  $I_c - U_c$  karakteristike položitije, to je unutarnji otpor veći, jer u tom slučaju promjeni kolektorskog napona  $U_c$  odgovara mala promjena kolektorske struje  $I_c$ .



Slika 40.  
Izlazna karakteristika; određivanje unutarnjeg otpora



Slika 41.  
Unutarnji otpor pri malom i velikom signalu

Usporedi izlazne karakteristike u spoju sa zajedničkom bazom i zajedničkim emiterom!

Unutarnji otpor  $R_i$  ne smijemo ni u kom slučaju zamijeniti s otporom za istosmjernu struju  $R$ , jer to nije otpor koji dobijemo mjerjenjem napona između kolektora i baze, odnosno kolektora i emitera i kolektorske struje. Usporedi s unutarnjim otporom elektronke (vidi odsjek 269, I dio).

Na primjer, unutarnji otpor na sl. 41, u radnoj tački  $P$ , za tranzistor u spoju sa zajedničkim emiterom iznosi

$$R_{ie} = \frac{\Delta U_{ce}}{\Delta I_c} \quad I_b = 150 \mu A = \frac{(9,5 - 5,5)}{(4,8 - 4,4) \cdot 10^{-3}} = \frac{4 \cdot 10^3}{0,4} = 10 \text{ k}\Omega.$$

Za otpor velikog signala imali bismo međutim  $R = \frac{5,5 \text{ V}}{4,4 \text{ mA}} = 1,25 \text{ k}\Omega$ .

Očito je, dakle, da su to dva sasvim različita otpora. Uspoređujući veličine unutarnjih otpora kod spoja sa zajedničkom bazom i zajedničkim emiterom (sl. 35 i 36), vidimo da je u prvom slučaju unutarnji otpor veći, što je i jasno jer su  $I_c - U_c$  karakteristike položitije. Tangenta povučena kroz radnu tačku zatvara sa  $U_{cb}$ -osi kut  $\tau$ , čiji tangens pred-

stavlja u stvari unutarnju vodljivost tranzistora uz konstantnu ulaznu struju. Kako je iz karakteristika vidljivo, kod većih kolektorskih struja bit će taj kut veći, a isto tako i unutarnja vodljivost.

22. — Iz ulaznih karakteristika u trećem kvadrantu može se odrediti ulazni otpor tranzistora. I ovdje razlikujemo ulazni otpor malog velikog signala. Pod *ulaznim otporom malog signala razumijevamo odnos promjene ulaznog napona ( $\Delta U_{be}$ , odnosno  $\Delta U_{eb}$ ), prema ulaznoj struci ( $\Delta I_b$ , odnosno  $\Delta I_e$ ) uz stalni napon na kolektoru ( $U_{cb}$ , odnosno  $U_{ce}$ ),* dakle odnos

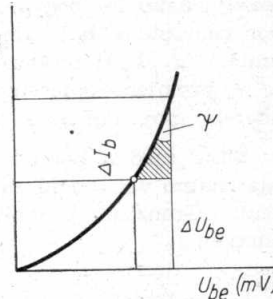
$$R_{ue} = \frac{\Delta U_{be}}{\Delta I_b} = \frac{\text{promjena ulaznog napona}}{\text{promjena struje baze}} \quad (\text{uz } U_{ce} = \text{konst.}) \quad (7)$$

$$R_{ub} = \frac{\Delta U_{eb}}{\Delta I_e} = \frac{\text{promjena ulaznog napona}}{\text{promjena struje emitera}} \quad (\text{uz } U_{cb} = \text{konst.}) \quad (8)$$

$R_{ue}$  je ulazni otpor u spoju sa zajedničkim emiterom, a  $R_{ub}$  u spoju sa zajedničkom bazom. Ulazni se otpor najlakše dobiva iz ulazne karakteristike, kako se to vidi na sl. 42. Tu je  $R_{ub} = \frac{\Delta U_{eb}}{\Delta I_e} = \tan \psi$  u spoju

baze, odnosno  $R_{ue} = \frac{\Delta U_{be}}{\Delta I_b} = \tan \psi$  u spoju emitera, gdje je  $\psi$  kut što ga čini tangenta povučena kroz radnu tačku prema  $I_e$ , odnosno  $I_b$ -osi. Pri određivanju veličine  $R_u$  mjerimo koliko se mijenja ulazna struja uz stalni napon na kolektoru, ako se napon na ulazu promjeni za neku određenu vrijednost. Kvocient tih dviju vrijednosti daje traženi ulazni otpor. Krivulja ulaznog otpora osjetljivo je zakrivljena pa ulazni otpor, kao ni ostale dvije vrijednosti, nije stalna veličina već je ovisan o položaju radne tačke.

23. — Četvrti osnovni pojam, »povratno djelovanje«, može se dobiti iz krivulje u četvrtom kvadrantu. *Povratno djelovanje definirano je kao odnos promjena napona kolektora  $\Delta U_{ce}$ , odnosno  $\Delta U_{cb}$ , prema promjeni ulaznog napona  $\Delta U_{be}$ , odnosno  $\Delta U_{eb}$ , uz konstantnu ulaznu struju ( $I_b$ , odnosno  $I_e$ ).*

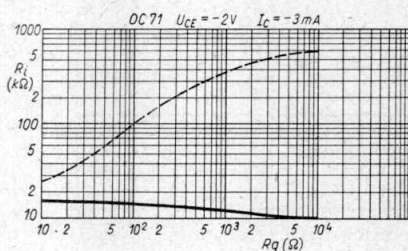


Slika 42.  
Određivanje ulaznog  
otpora

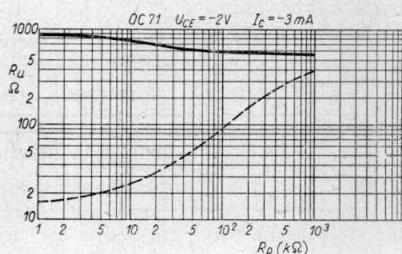
$$\tan \theta_e = \frac{\Delta U_{ce}}{\Delta U_{be}} = \frac{\text{promjena izlaznog napona}}{\text{promjena ulaznog napona}} \quad (\text{uz } I_b = \text{konst.}) \quad (9)$$

$$\tan \theta_b = \frac{\Delta U_{cb}}{\Delta U_{eb}} = \frac{\text{promjena izlaznog napona}}{\text{promjena ulaznog napona}} \quad (\text{uz } I_e = \text{konst.}) \quad (10)$$

Na sl. 35, u tački  $P$ , na krivulji u četvrtom kvadrantu, povratno djelovanje određeno je tangensom kuta  $\vartheta$ , gdje je  $\vartheta$  kut što ga zatvara tangentu povučen tom tačkom sa  $U_{ce}$ -osi. Veličinu  $\operatorname{tg}\vartheta$  dobijamo mjeranjem promjene ulaznog napona uz stalnu ulaznu struju, ako se napon kolektora promjeni za neku vrijednost. Uspoređujući karakteristike  $U_{ce} - U_{be}$  za spoj s uzemljenim emiterom i  $U_{cb} - U_{eb}$  za spoj s uzemljrenom bazom uočavamo da su u spoju baze karakteristike strmije, što znači da je u tom slučaju i povratno djelovanje veće. Bolji uvid u



Slika 43.  
Ovisnost izlaznog otpora  $R_i$   
o otporu generatora  $R_g$



Slika 44.  
Ovisnost ulaznog otpora  $R_u$   
o otporu potrošača  $R_p$

prilike koje vladaju između izlaznog i ulaznog kruga pružaju dijagrami na sl. 43 i 44, mjereni za tranzistor OC 71. Dijagrami na sl. 43 pokazuju kako se zbog promjene otpora generatora  $R_g$  mijenja izlazni otpor tranzistora  $R_{ie}$ , odnosno  $R_{ib}$ , za određenu radnu tačku, a dijagramima na sl. 44 prikazana je ovisnost ulaznog otpora  $R_{ub}$ , odnosno  $R_{ue}$ , o promjeni opteretnog otpora  $R_p$ . Crtkane krivulje vrijede za emiterski spoj, a pune za spoj baze.

Slike ujedno potvrđuju činjenicu da je ulazni otpor emiterskog spoja znatno veći od ulaznog otpora baze, dok za izlazne otpore vrijedi obrnuto. Tranzistor u spoju baze ima veliki izlazni otpor u odnosu na emiterski.

24. — Budući da su u gotovo svim tvorničkim podacima za tranzistore dane krivulje u četiri kvadranta, na sl. 35 za tranzistor OC 71 odredit ćemo sve već prije navedene veličine u danoj radnoj tački P. Radni pravac ucrtan u prvom kvadrantu u polju izlaznih karakteristika određen je kutom  $\gamma$

$$\operatorname{tg}\gamma = \frac{1}{R_p}$$

Tangens kuta  $\beta$  u trećem kvadrantu predstavlja otpor u ulaznom krugu

$$\operatorname{tg}\beta = R_g$$

Otpori  $R_p$  i  $R_g$  su otpori za istosmjernu struju; s njima i naponima  $-U_o$  i  $-U_g$  određena je radna tačka P, a prema tome i struja u

ulaznom i izlaznom krugu. Ako se iz tačke  $P$  povuku pravci paralelni s koordinatnim osima dobijemo radne tačke u ostalim kvadrantima.

Označeni kutovi predstavljaju ove veličine:

Veličina tangensa kuta u I kvadrantu

$$\operatorname{tg}\tau = \frac{\Delta I_c}{\Delta U_{ce}} = \frac{1}{R_{ie}} = g_{ie} \text{ uz } I_b = \text{konst.}$$

unutarnja je vodljivost tranzistora.

U II kvadrantu

$$\operatorname{tg}\varphi = \frac{\Delta I_c}{\Delta I_b} = \alpha_e \text{ uz } U_{ce} = \text{konst.}$$

predstavlja faktor strujnog pojačanja.

U III kvadrantu

$$\operatorname{tg}\psi = \frac{\Delta U_{be}}{\Delta I_b} = R_{ue} \text{ uz } U_{ce} = \text{konst.}$$

određeni ulazni otpor.

U IV kvadrantu kut  $\theta$  predstavlja povratno djelovanje

$$\operatorname{tg}\theta = \frac{\Delta U_{be}}{\Delta U_{ce}} \text{ uz } I_b = \text{konst.}$$

## Nadomjesne sheme i parametri tranzistora

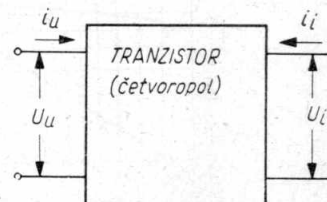
### **h — parametri**

25. — Pored karakteristika, u podacima za tranzistore daju se i druge veličine. Bez dubljeg upuštanja u način dobivanja ovih parametara dat ćemo njihove definicije, kako bi se mogli pravilno koristiti podaci koje daje proizvođač.

Tranzistor možemo promatrati kao aktivvan četveropol. Pod četveropolom podrazumijevamo električnu mrežu sa dvije ulazne i dvije izlazne stezaljke (sl. 45). Aktivni je četveropol karakteriziran sa četiri koeficijenta. Kod promatranja tranzistora pri niskim frekvencijama i malim signalima obično se koriste hibridni (mješoviti) h-parametri, jer su vrlo pogodni za mjerjenje. To su  $h_i$ ,  $h_o$ ,  $h_r$  i  $h_f$ .

Oni su definirani u odnosu na sl. 45.:

$h_i$  ( $h_{11}$ ) ulazni je otpor tranzistora uz kratkospojene izlazne stezaljke



Slika 45.  
Prikaz tranzistora kao  
četveropola

$$h_i = \left. \frac{u_u}{i_u} \right|_{i_i = 0} \quad u_i = 0 \text{ } (\Omega)$$

$h_0$  ( $h_{22}$ ) izlazna je vodljivost tranzistora pri otvorenim ulaznim stezalkama

$$h_0 = \frac{i_i}{u_i} \quad | \quad i_u = 0 \quad (1/\Omega)$$

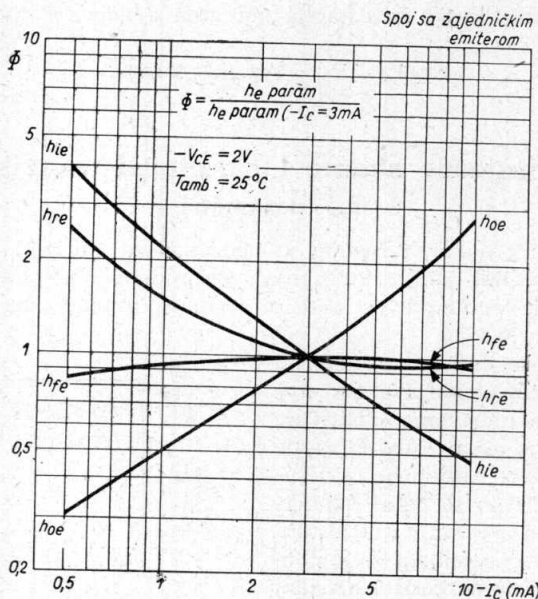
$h_r$  ( $h_{12}$ ) označava povratno djelovanje izlaznog kruga na ulazni, a dan je odnosom napona, uz otvorene ulazne stezaljke

$$h_r = \frac{u_i}{u_u} \quad | \quad i_u = 0$$

$h_f$  ( $h_{21}$ ) faktor je strujnog pojačanja pri kratkospojenom izlazu

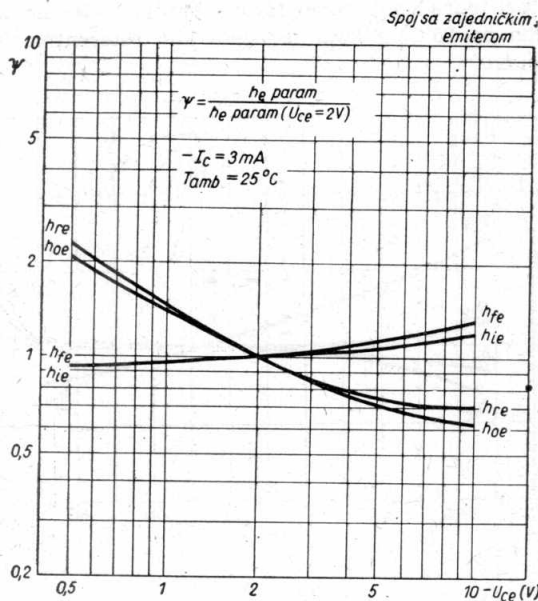
$$h_f = \frac{i_i}{i_u} \quad | \quad u_i = 0$$

Vrijednosti parametara ovise o radnoj tački tranzistora i o načinu na koji je spojen. Isto se tako te veličine mijenjaju i s promjenama temperature.



Slika 46.  
Relativne promjene h-parametara, ovisne o istosmjernom naponu

Parametri su prema vrsti spoja označeni indeksima e, b, c, što znači da je tranzistor u spoju s uzemljenim emiterom, uzemljenom bazom, odnosno uzemljenim kolektorom. Parametri označeni sa  $h_{ie}$ ,  $h_{oe}$  i  $h_{re}$  pokazuju da se radi o emiterskom spoju. Na sl. 46 i 47 dana je



Slika 47.

Relativne promjene h-parametara, ovisne o istosmjernej struci kolektora

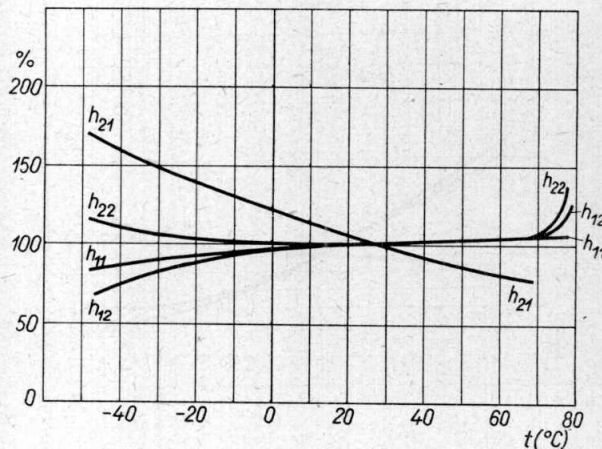
ovisnost  $h$ -parametara o veličini istosmjerne struje kolektora i napona kolektora, uz referentnu struju 3 mA i referentni napon 2V, dok se u tablici 1 vidi razlika između njihovih vrijednosti u spoju baze

Tablica 1

Tranzistor OC 75	$U_{ce} = -2\text{V};$ $I_c = -3\text{mA}$	$U_{ce} = -2\text{V};$ $I_c = -3\text{mA}$
	zajednička baza	zajednički emiter
Ulagi otpor uz kratkospojeni izlaz Izlagna vodljivost uz otvoren ulaz Strujno pojačanje kod kratkospojenog izlaza	$h_{ib} = 14\Omega$ $h_{ob} = 1,4 \mu\text{A/V}$ $-h_{fb} = 0,989$	$h_{ie} = 1,3\text{k}\Omega$ $h_{oe} = 125\mu\text{A/V}$ $h_{fe} = 90$

i emitera. U spoju emitera za tranzistor OC 75  $h_i$ ,  $h_o$  i  $h_f$  znatno su veći nego u spoju baze. Promjena  $h$ -parametara s temperaturom prikazana je dijagramom na sl. 48. Iz slike se vidi da se koeficijent strujnog pojačanja  $h_f$  najmanje mijenja s promjenom temperature. Ova relativna promjena nešto je veća u spoju sa zajedničkim emiterom nego u spoju sa zajedničkom bazom. Na ordinatu su nanijeti odnosi

parametara pri određenoj temperaturi prema vrijednosti koju ovaj parametar ima na  $25^{\circ}\text{C}$ , a koja je uzeta kao referentna. Taj je odnos dan u postocima.

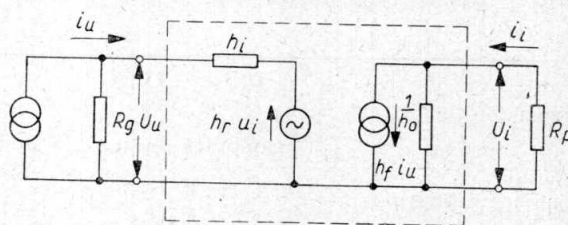


Slika 48.  
Promjene h-parametara s temperaturom

Hibridni parametri mogu biti dobiveni i iz karakteristika prikazanih na sl. 35, gdje su

$$\operatorname{tg}\varphi = h_{fe}, \quad \operatorname{tg}\psi = h_{ie}, \quad \operatorname{tg}\tau = h_{oe}, \quad \operatorname{tg}\theta = h_{re}.$$

Na sl. 49. dana je ekvivalentna shema sa  $h$ -parametrima.



Slika 49.  
Ekvivalentna shema tranzistora s  $h$ -parametrima. Vrijedi za sva tri spoja, samo treba uvrstiti odgovarajuće parametre

### Y-parametri

26. — Za promatranje tranzistora pri visokim frekvencijama najviše se koriste Y-parametri, koji se obično daju u spoju sa zajedničkim emiterom. U obzir su uzete i reaktivne komponente (interelektrodni

kapaciteti), tako da su Y-parametri kompleksne veličine, što znači da se sastoje od realnog i imaginarnog dijela. Definirani su prema sl. 45

$$Y_{ie} = \frac{i_u}{u_i} \quad \left| \begin{array}{l} u_i = 0 \\ u_u = 0 \end{array} \right. \quad (1/\Omega),$$

gdje je  $Y_{ie}$  ( $Y_{11}$ ) ulazna vodljivost pri kratkospojenom izlazu;

$$Y_{oe} = \frac{i_u}{u_i} \quad \left| \begin{array}{l} u_u = 0 \\ u_i = 0 \end{array} \right. \quad (1/\Omega),$$

gdje je  $Y_{oe}$  ( $Y_{22}$ ) izlazna vodljivost pri kratkospojenom ulazu;

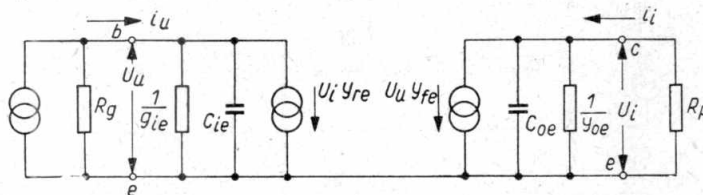
$$Y_{re} = \frac{i_u}{u_i} \quad \left| \begin{array}{l} u_u = 0 \\ u_i = 0 \end{array} \right. \quad (1/\Omega),$$

gdje je  $Y_{re}$  ( $Y_{12}$ ) prijenosna vodljivost\* uz kratkospojene ulazne stezaljke, promatrana prema ulaznoj strani.

$$Y_{fe} = \frac{i_u}{u_u} \quad \left| \begin{array}{l} u_i = 0 \\ u_e = 0 \end{array} \right. \quad (1/\Omega),$$

gdje je  $Y_{fe}$  ( $Y_{21}$ ) prijenosna vodljivost uz kratkospojene izlazne stezaljke, promatrana prema izlaznoj strani.

Konstante  $Y_{ie}$  i  $Y_{oe}$  jasne su već prema definiciji. Zadržat ćemo se na  $Y_{re}$  i  $Y_{fe}$ .  $Y_{fe}$  je strmina tranzistora u smjeru pojačanja, analogno strmini elektronke. U nadomjesnoj shemi apsolutni iznos te strmine određuje, zajedno s ulaznim naponom, iznos strujnog izvora aktivnog četveropola.  $Y_{re}$  je mjeru povratnog djelovanja izlaza na ulaz — povratnog djelovanja kolektora na bazu — slično povratnom djelovanju anoda-rešetka kod triode.



Slika 50.

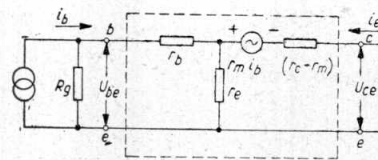
Ekvivalentna shema s Y-parametrima za tranzistor u spoju sa zajedničkim emiterom

Ekvivalentna shema sa Y-parametrima dana je na sl. 50 za tranzistor u spoju sa zajedničkim emiterom.

27. — Osim nadomjesnih shema koje su bazirane na h-matricama i y-matricama, koriste se i nadomjesne sheme izvedene na osnovi fizikalnih tumačenja. Od mnogih shema ( $R$ ,  $Z$ ,  $T$ ) koje su zadržane

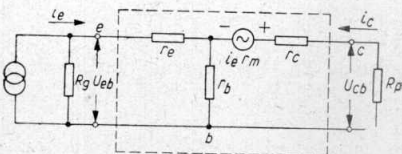
\* Transfer admitanca

uobičajena je upotreba  $T$ -ekvivalentne sheme pri niskim frekvencijama, u kojoj  $r_e$ ,  $r_c$ ,  $r_b$  i  $r_m$  predstavljaju dinamičke otpore emitera, kolektora, baze, te prijenosni otpor. Na sl. 51 i 52 prikazane su  $T$ -nadomjesne



Slika 51.

$T$ -nadomjesna shema u spoju sa zajedničkim emiterom



Slika 52.

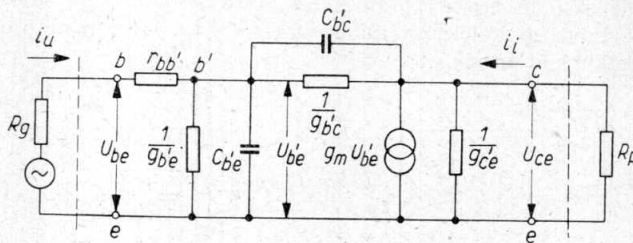
$T$ -nadomjesna shema u spoju sa zajedničkom bazom

sheme u spoju sa zajedničkim emiterom i bazom. Vrijednosti otpora  $r_e$ ,  $r_c$ ,  $r_b$  i  $r_m$  jednake su za oba spoja, a njihove veličine približno iznose:

$$r_e = 25 \Omega, \quad r_b = 550 \Omega, \quad r_c = 1,5 \text{ M}\Omega, \quad r_m = 1,4 \text{ M}\Omega.$$

### Nadomjesna shema tranzistora pri visokim frekvencijama

28. — Pri visokim frekvencijama nadomjesna shema mnogo je složenija, kao što se vidi na sl. 53, gdje je izvedena za tranzistor u emiterском споју.



Slika 53.

Nadomjesna shema tranzistora pri visokim frekvencijama za spoj sa zajedničkim emiterom

Dok smo u niskofrekventnim primjenama mogli elemente u nadomjesnim shemama tranzistora promatrati kao realne veličine, počevši od izvjesne frekvencije, ovisno o vrsti tranzistora, ove vrijednosti postaju kompleksne, jer više nisu zanemarivi međuelektrodni kapaciteti, vrijeme prolaza nosilaca kroz granični sloj, veličina otpora baze  $r_{bb'}$ , itd. Shema je izvedena u  $\pi$ -spoju. Omski otpor  $r_{bb'}$  predstavlja otpor između priključka i sloja baze,  $C_{be'}$  ulazni kapacitet između emitera i baze (difuzni kapacitet),  $\frac{1}{g_{be'}}$  emiterски otpor,  $C_{bb'}$  kapacitet kolektor-

skog spoja,  $\frac{1}{g_{b'e}}$  otpor kolektora,  $\frac{1}{g_{c'e}}$  otpor kolektor-emiter, dok je  $g_m U_b'$  strujni generator a uz to moramo uzeti u obzir i štetne kapacitete dovoda  $C_{bc}$  i  $C_{ce}$ .

Elemente u nadomjesnoj shemi možemo podijeliti na ulazne, izlazne elemente povratnog djelovanja. Ulazne elemente sačinjavaju otpor priključka baze  $r_{bb'}$ , ulazni otpor (otpor malog signala)  $\frac{1}{g_{b'e}}$ , te difuzni kapacitet  $C_{b'e}$ . Ulazni otpor obrnuto je proporcionalan struji emitera, dok je veličina difuznog kapaciteta direktno proporcionalna toj struji, pa je produkt  $\frac{1}{g_{b'e}}$ .  $C_{b'e}$  skoro neovisan o struji emitera. Paralelna kombinacija ulaznog kapaciteta i otpora  $\frac{1}{g_{b'e}}$  predstavlja u stvari potrebno vrijeme prolaza šupljina kroz sloj baze.

Izlazni su elementi otpor između emitera i kolektora  $\frac{1}{g_{c'e}}$ , koji izražava djelovanje napona kolektora na struju kolektora (promjenom  $U_{ce}$  mijenja se debljina zapornog sloja, a time i struja kolektora), i strujni generator  $U_{b'e} \cdot g_m = i_b \cdot a_e$ .

$g_m$  je strmina tranzistora jednaka  $a_e / r_{b'e}$ . Ona odgovara strmini elektronke.

Granična frekvencija u tvorničkim katalozima obično se daje za spoj sa zajedničkom bazom, a označuje se prema jednoj od niže navedenih definicija usvojenih u tranzistorskoj tehnici sa  $f_a$  ili  $f_1$ .

Granična frekvencija označena sa  $f_a$  ona je frekvencija, kod koje strujno pojačanje padne za  $1/\sqrt{2}$ -ti dio, odnosno za  $3 \text{ dB}^*$  od vrijednosti strujnog pojačanja za istosmjernu struju, dok je  $f_1$  ona frekvencija kod koje faktor strujnog pojačanja padne na jedinicu. Granična frekvencija za tranzistor u spoju baze znatno je viša nego u spoju sa zajedničkim emiterom. Za njihov međusobni odnos vrijedi približno

$$\boxed{\frac{f_{ab}}{f_{ae}} = \frac{a_b}{a_e} \approx a_e} \quad \dots \quad (11)$$

Indeksi  $b$  i  $e$  iza  $a$  označavaju o kojem se spoju radi.

Na graničnu frekvenciju djeluju ovi elementi: otpor  $r_{bb'}$  spojen u seriju s paralelnom kombinacijom  $C_{b'e}$  i  $\frac{1}{g_{b'e}}$ , kao što je jasno iz slike, predstavlja frekventno ovisan djelitelj napona; aktivni napon  $U_{b'e}$  pada

\* Svojstva pojačala mogu biti numerički izražena u decibelima. Logaritam iz odnosa snaga izražava se u belima u čast A. G. Bella. Iz praktičnih je razloga pogodnije upotrebljavati jedinicu 10 puta manju od bela, a to je decibel (dB).

Ako su  $N_1$  i  $N_2$  snage, a  $n$  broj decibela koji naznačuje njihov odnos, možemo pisati

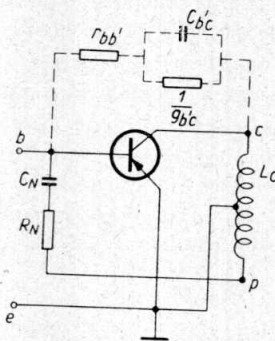
$$n = 10 \log \frac{N_1}{N_2} \text{ (dB).}$$

Kako je snaga razmjerna kvadratu struje, odnosno kvadratu napona možemo dobiti broj decibela (uz  $R_1 = R_2$ ) i u tom slučaju prema formuli

$$n = 20 \log \frac{U_1}{U_2} = 20 \log \frac{I_1}{I_2} \text{ (dB)}$$

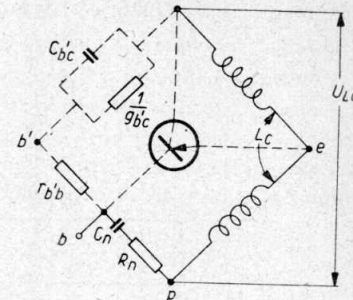
s porastom frekvencije prema ulaznom naponu a, naravno, time i pojačanje. Ako je riječ o spoju sa zajedničkom bazom, otpor  $r_{bb}'$  predstavlja otpor negativne reakcije, analogan nepremoštenom katodnom otporu kod elektronke.

29. — Paralelna kombinacija otpora  $\frac{1}{g_{bc}}$  i kondenzatora  $C_{bc}$  prikazuje povratno djelovanje izlaznog kruga na ulazni krug. Najvažniji je član povratnog djelovanja kapacitet  $C_{bc}$ , dok je otpor kolektorskog spoja općenito vrlo velik, pa se obično ne uzima u račun. Iz nadomjesne sheme na sl. 53 vidimo da odnos izlaznog i ulaznog napona  $u_{ce}/u_{be}$  nije ovisan isključivo o elementima povratnog djelovanja, već i o veličinama  $\frac{1}{g_{bc}} = C_{bc} - r_{bb}'$  otporu generatora  $R_g$  i otporu potrošača  $R_p$ . Kod nižih frekvencija utjecaji  $C_{bc}$  i  $C_N$  mogu biti zanemareni, ali povišenjem frekvencije njihov utjecaj raste, krivulja pojačanja se izobličuje, sve dok ne dođe do oscilacija. Oscilacije pri visokim frekvencijama mogu biti sprječene pravilnim izborom ulazne i izlazne impedancije. Drugi pak način stabiliziranja pojačala postiže se primjenom *neutralizacije*. Praktičko rješenje analogno je kompenzaciji kapaciteta anoda — rešetka kod triode: vraćanje izlaznog napona na ulaz iste veličine, ali fazno obrnutog za  $180^\circ$ .



Slika 54.

Stupanj pojačala s provedenom neutralizacijom



Slika 55.

Stupanj pojačala s provedenom neutralizacijom prikazan u mosnom spoju

Na sl. 54 shematski je prikazan neutralizirani stupanj pojačala u kojem su  $C_{bc} = 1/g_{bc}$  i  $r_{bb}'$  elementi povratnog djelovanja, a  $C_N$  i  $R_N$  kapacitet i otpor neutralizacije. Zbog jasnoće takav je stupanj prikazan i u mosnom spoju, (sl. 55). Kompenzacija povratnog djelovanja postignuta je vraćanjem kolektorskog napona fazno okrenutog za  $180^\circ$  preko elemenata neutralizacije  $C_N$  i  $R_N$  na bazu tranzistora. Uz ispravno dimenzionirane vrijednosti  $C_N$  i  $R_N$  most b' e nalazi se u ravnoteži i tako izlazni napon  $U_{LC}$  ne utječe na ulaznu struju između baze i emitera.

Valja naglasiti da je zbog odstupanja u karakteristikama tranzistora potpuna neutralizacija moguća samo onda ako su elementi stabilizacije promjenljivi.

Da titrajni krug u kolektoru ne bi bio jako prigušen s elementima neutralizacije, uzima se napon neutralizacije s odvojka na zavojnici. Uvjet neutralizacije ispunjen je uz

$$Y_n = \frac{n_1}{n_2} Y_{b'e} \quad \dots \quad (12)$$

odakle se mogu izračunati i elementi neutralizacije. Serijski spoj neutralizacije ima praktičku prednost zbog galvanskog odvajanja izlaznog kruga od ulaznog. Neutralizacija može biti uspješno provedena samo u užem frekventnom području, budući da je impedancija povratnog djelovanja frekventno ovisna. Zbog tih je razloga mnogo teže stabilizirati stupanj s većim prijenosnim područjem nego međufrekventno pojačalo.

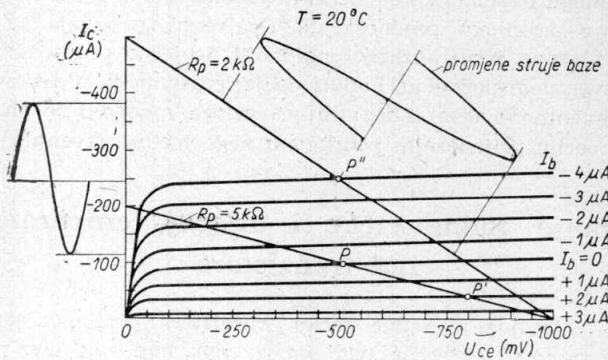
### Određivanje radne tačke i utjecaj temperature na rad tranzistora

30. — Određivanje radne tačke tranzistora postupak je, iako u biti isti kao kod elektronki (vidi odsjek 60), koji zahtijeva pažljivije prilaženje tom problemu. Parametri tranzistora mijenjaju se s promjenama temperature, a uz to postoji i velika razlika u karakteristikama tranzistora istoga tipa, koje nastaju zbog neujednačene proizvodnje. Ova odstupanja prilično su velika i uzrokuju pomicanje radne tačke. Na primjer, faktor strujnog pojačanja  $\alpha_e$  mijenja se za istu vrstu tranzistora u granicama od 30 do 80. Posljedice pomicanja radne tačke su neliniarna izobličenja i preveliko zagrijavanje tranzistora, što može dovesti do njegova uništenja. Pri određivanju radne tačke potrebno je odrediti ove podatke: napon izvora, radni otpor za istosmjeru i izmjeničnu struju, način pobudivanja (strujno, naponsko), gubitke u kolektoru, dopuštena izobličenja i način stabilizacije. Radna tačka odabire se obično u polju izlaznih karakteristika.

31. — O utjecaju temperature na rad tranzistora već je bilo govora. Poznato je da su eletkrička svojstva tranzistora ovisna o temperaturi kristala koja je određena električkim gubicima u tranzistoru, temperaturom ambijenta i toplinskim odvodom. Na primjer, uslijed disipacije povišuje se temperatura kolektorskog spoja, koja uzrokuje porast kolektorske struje, a prema tome i disipaciju. Time se opet povećava razvijanje topline, raste temperatura kristala, koja nanovo izaziva porast struje itd., što konačno dovodi do uništenja tranzistora ili pomicanja radne tačke u područje koljena karakteristike, gdje tranzistor praktički više ne pojačava, tj. gdje se promjenom struje baze struja kolektora skoro ne mijenja. Tako nastala termička nestabilnost nazvana

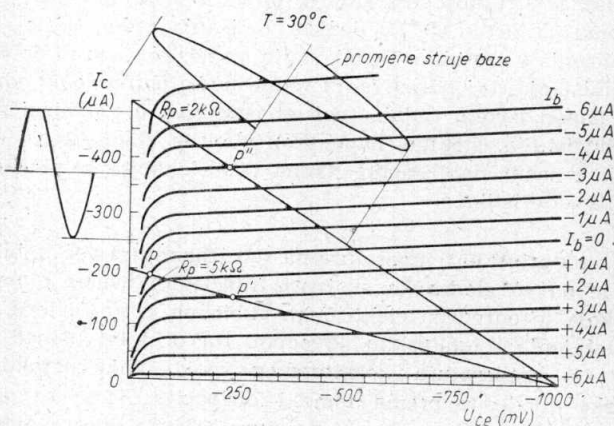
je temperaturnom povratnom reakcijom. Njoj su naročito podložni tranzistori s većom disipacijom — izlazni tranzistori — koji rade na granici dopuštene snage.

Bolji uvid o utjecaju temperature na rad tranzistora dobit ćemo iz primjera pokazanih na sl. 56, 57 i 58. Najprije obratimo pažnju na sl. 56 i 57, koje pokazuju izlazne karakteristike istog tranzistora OC 70, snimljene na dvjema različitim temperaturama okoline. Krivulje na sl. 56 odgovaraju temperaturi ambijenta od  $20^\circ\text{C}$ , a na sl. 57 mjerene su na temperaturi od  $30^\circ\text{C}$ . Karakteristike se odnose na emiterški spoj i vrijede za vrlo male struje baze i kolektora, pa i uz pozitivnu struju baze,



Slika 56.

Izlazne karakteristike tranzistora OC 71 snimljene na temperaturi  $20^\circ\text{C}$  za veoma male struje baze i struje kolektora. Povučeni su radni pravci i na njima odabrane radne tačke



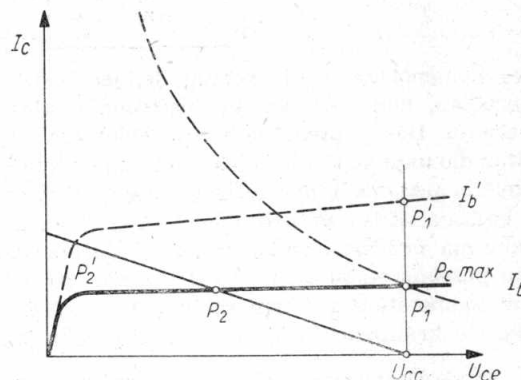
Slika 57.

Izlazne karakteristike tranzistora OC 70 snimljene uz iste uvjete kao i na sl. 56 samo na temperaturi  $30^\circ\text{C}$ . Usljed povišenja temperature dolazi do pomaka karakteristike i radnih tačaka u područje malog pojačanja i velikog izobličenja

jer su i u tom području karakteristike linearne (pojačala malih signala). Odabrana radna tačka  $P$  na sl. 56 određena je sa  $U_{ce} = 0,5$  V i  $I_b = 0$  i kroz nju je povučen pravac opteretnog otpora  $R_p = 5$  k $\Omega$ . Poslije zagrijavanja na  $30^\circ\text{C}$  krivulje su pomaknute prema gore, ali je radni pravac ostao na istom mjestu. Radna tačka  $P$  sada je pala u zakriviljeni dio karakteristike u područje malog pojačanja i velikog izobličenja, (sl. 57). Utjecaj promjena temperature može se ublažiti ili smanjenjem opteretnog otpora  $R_p$  ili smanjenjem struje baze.

Promotrimo to isto za radnu tačku  $P'$  na opteretnom otporu  $R_p = 2$  k $\Omega$  za jednu i drugu temperaturu, i tačku  $P''$  na opteretnom otporu 5 k $\Omega$ .

Sl. 58 pokazuje do čega može doći uslijed termičke nestabilnosti ako tranzistor radi na granici disipacije, ili ako je temperatura okoline povišena. Povučena su dva radna pravca i na njima odabrane radne tačke  $P_1$  i  $P_2$ . Uslijed zagrijavanja karakteristika se pomiče paralelno prema gore (crtkana krivulja) i radna tačka može pasti ili u koljeno karakteristike  $P'_2$  ili iznad parabole snage  $P'_1$ .



Slika 58.  
Izlazne karakteristike sa prikazanim slučajem kada tranzistor radi sa graničnim vrijednostima

### Ovisnost tranzistorских spojeva o temperaturi

32. — Od veličina koje utječu na struju kolektora značajne su preostala struja kolektora i faktor strujnog pojačanja. Temperatura, međutim, naročito jako djeluje na preostalu struju kolektora, koja raste s temperaturom približno po eksponencijalnom zakonu. Razmotrit ćemo ovisnost pojedinih spojeva tranzistora o promjeni temperature, budući da se oni u pogledu stabilnosti radne tačke ponašaju različito.

Pogledajmo najprije spoj sa zajedničkom bazom. Faktor strujnog pojačanja  $\alpha_b$  određen je izrazom

$$\alpha_b = \frac{\Delta I_c}{\Delta I_e} \text{ uz } I_b = \text{konst.}$$

i kreće se između 0,95 i 0,99. Na sobnoj temperaturi ( $20^\circ\text{C}$ ) preostala struja kolektora  $I_{cbo}$  iznosi samo nekoliko mikroamperra i zanemariva je

u odnosu na mnogo veću kolektorskiju struju. Ona je, međutim, jako ovisna o temperaturi, i već uz povišenje temperature za  $10^{\circ}\text{C}$  vrijednost te struje poraste približno dvostruko. Ako je na primjer vrijednost  $I_{\text{cbo}} = 5 \mu\text{A}$  na temperaturi od  $20^{\circ}\text{C}$ , na temperaturi od  $50^{\circ}\text{C}$  ona će porasti na  $50 \mu\text{A}$  i više, dok će kod  $100^{\circ}\text{C}$  iznositi oko  $500 \mu\text{A}$ . Prema tome termičko povećanje sporednih nosilaca u dijelu baze »vidi« i kolektor, pa se struja kolektora sastoji od dviju komponenata

$$I_c = \alpha_b I_e + I_{\text{cbo}} \quad \dots \quad (13)$$

Prva komponenta  $\alpha_b \cdot I_e$  korisna je, jer je u njoj sadržano pojačanje tranzistora, dok  $I_{\text{cbo}}$ , potpuno neovisna o ulaznoj struci, ne pridonosi pojačanju. Dakle, preostala struja kolektora  $I_{\text{cbo}}$  predstavlja samo neznatan dio ukupne struje kolektora (koja u radnoj tački iznosi za ovaj spoj nekoliko mA), pa i njena temperaturna zavisnost ne dolazi tako jako do izražaja. Kako vidimo, spoj sa zajedničkom bazom u izvjesnim je granicama prilično stabilan u temperaturnom pogledu, pa ne zahtijeva neku posebnu stabilizaciju. Ipak je potrebno naglasiti da većim povišenjem temperature i u tom spoju može doći do znatnog pomaka radne tačke i u krajnjem slučaju do uništenja tranzistora.

33. — U spoju sa zajedničkim emiterom prilike su sasvim drugačije. Utjecaj preostale struje  $I_{\text{ceo}}$  na ukupnu struju mnogo je veći nego u spoju sa zajedničkom bazom. To će djelovanje biti jasno iz slijedećih razmatranja.  $I_{\text{cbo}}$  u bilo kojem spoju teče kroz zaporni sloj kolektor—baza. Budući da je krug baze otvoren, jednaka struja treba da teče i u obrnutom smjeru — od emitera prema bazi. Ako se  $I_{\text{cbo}}$  mijenja na taj se način znači i struja baze mijenja s preostalom strujom  $I_{\text{cbo}}$ . Budući da njena promjena djeluje kao ulazna struja, ona će u kolektorskom krugu izazvati promjene, povećane za faktor strujnog pojačanja  $\alpha_e = \frac{\alpha_b}{1 - \alpha_b}$ . No preostala struja u emiterском spoju ne teče samo u krugu baze, već i u kolektoru. Stoga se ukupna preostala struja  $I_{\text{ceo}}$  sastoji od dva člana: veličine  $I_{\text{cbo}}$  koja teče u bazi, i struje  $\alpha_e \cdot I_{\text{cbo}}$ , i iznosi

$$I_{\text{ceo}} = I_{\text{cbo}} + \alpha_e I_{\text{cbo}} = (1 + \alpha_e) I_{\text{cbo}} \quad \dots \quad (14)$$

Ovdje odmah pada u oči da i veličina  $\alpha_e$  znatno utječe na preostalu struju, a prema tome i na pomicanje radne tačke tranzistora. Struja kolektora u ovom spoju određena je izrazom

$$I_c = \alpha_e I_b + I_{\text{ceo}} \quad \dots \quad (15)$$

Gornja jednadžba pokazuje da struja kolektora sadrži, osim korisne komponente, i komponentu  $I_{\text{ceo}}$ . Kako je  $I_{\text{cbo}}$  povećana za  $\alpha_e$  u kolektorskom krugu, taj je spoj mnogo osjetljiviji na promjenu temperature od

spoja sa zajedničkom bazom. Ako je, na primjer,  $\alpha_e = 50$  i  $I_{cbo} = 5 \mu\text{A}$ , struja  $I_{ceo}$  iznosi na sobnoj temperaturi oko  $200 \mu\text{A}$ , a već kod  $50^\circ\text{C}$  poraste na  $2,5 \text{ mA}$  i više; znači porast će 50 puta.

Faktor  $\alpha_e$  zavisi i od položaja radne tačke i od promjena temperature, ali te su promjene male u odnosu na one koje nastaju zbog neujednačene proizvodnje, pa ih možemo zanemariti. Ako se  $\alpha_e$  kod istog tipa tranzistora kreće od 50 do 80, vidimo da će se preostala struja kolektora mijenjati između  $2,5 \text{ mA}$  i  $3,2 \text{ mA}$ . Zbog toga je u spoju sa zajedničkim emiterom potrebno stabilizirati radnu tačku.

Iz dijagrama na sl. 59 vidi se kako struje  $I_{cbo}$  i  $I_{ceo}$  ovise o temperaturi.

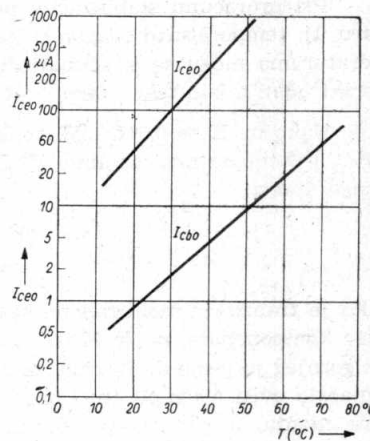
34. — Utjecaj temperature najviše osjeća kolektorski PN-spoj. Kolektorska snaga dana izrazom  $N_c = I_c \cdot U_c$  predstavlja gotovo svu snagu koja se u tranzistoru razvija u toplinu, pa je kristal, dakle, stalan izvor topline, i on se zagrijava. Temperatura krištala odredena je toplinom koja se razvija u kristalu i toplinom koja se odvodi,  $N_o$ . Dok veličina prve ovisi isključivo o električnoj snazi, druga je ovisna o stupnju hlađenja i temperaturi okoline. Veličina odvoda topline  $N_o$  ovisi i o toplinskem otporu materijala kroz koji se toplina prenosi na okolinu. Toplinski otpor, dimenzije ( $^\circ\text{C}/\text{W}$ ), obično označen sa  $K$ , ovisi o konstrukciji tranzistora.

Da bismo povećali izlaznu snagu potrebno je primijeniti bolje hlađenje, dakle smanjiti toplinski otpor bilo upotrebom krilca za hlađenje, bilo spajanjem kolektora na balon ili nečim drugim. Uvjet za stabilan rad tranzistora jest da snaga  $N_c$  bude manja ili najviše jednakna snazi  $N_o$ , koju tranzistor predaje okolini. Ako sa  $T_s$  ( $^\circ\text{C}$ ) označimo temperaturu spoja, sa  $T_{ok}$  ( $^\circ\text{C}$ ) temperaturu okoline, a sa  $K$  ( $^\circ\text{C}/\text{W}$ ) toplinski otpor, za snagu  $N_o$  vrijedi jednadžba

$$N_o = \frac{T_s - T_{ok}}{K} \quad \dots \quad (16)$$

Budući da je  $N_o$  proporcionalan  $N_c$ , a za uvjet termičke ravnoteže vrijedi  $N_o = N_c$ , može se pisati

$$N_c = \frac{T_s - T_{ok}}{K} \quad \dots \quad (17)$$



Slika 59.

Ovisnost preostale struje kolektora  $I_{ceo}$  i  $I_{cbo}$  germanijeva tranzistora o temperaturi

Kad je termička ravnoteža uspostavljena, temperatura kristala toliko je viša od temperature okoline da je snaga koja se razvija u tranzistoru u sekundi jednaka upravo onoj snazi, koju tranzistor svake sekunde predaje okolini.

Pri proračunu stabilizacije predviđamo najnižu i najvišu temperaturu, tj. temperaturni raspon u kojem se traži stabilan rad. S tim temperaturama mogu se izračunati gubici, tj. maksimalan dopušteni kolektorski učin, a isto tako i temperatura kristala.

Tako uz  $K = 0,6^\circ\text{C}/\text{mW}$ , maksimalnu dopuštenu temperaturu spoja  $80^\circ\text{C}$  i temperaturu okoline  $25^\circ\text{C}$ , maksimalno dopuštena kolektorska snaga iznosi

$$N_{cmax} = \frac{80 - 25}{0,6} = 91,6 \text{ mW}$$

Ako je tranzistor montiran na šasiju, onda se toplinski otpor sastoji od više komponenata, pa je  $K$  jednak sumi svih otpora,  $K = K_1 + K_2 + K_3$ . Iz gornjeg je jasno da izlazna snaga koju možemo dobiti iz tranzistorskog pojačala ovisi o temperaturi okoline i hlađenju; što je temperatura okoline manja, to je korisna izlazna snaga veća. Kod tranzistora za veće snage, gdje je itekako važno voditi računa o temperaturi, daje se jednadžba (17) i u obliku dijagrama.

## Stabilizacija radne tačke

### Faktor stabilizacije

35. — Pri gradnji tranzistorskih uređaja treba da se postigne što manja ovisnost tranzistorskih veličina, a naročito pojačanja, o temperaturi i odstupanjima koja nastaju zbog neujednačene proizvodnje. Potrebno je znači provesti stabilizaciju radne tačke. Stabilizacija se odnosi na smanjenje utjecaja temperaturnih promjena okoline i onih nastalih u samom tranzistoru, kao i na odstupanje u karakteristikama. Ona ujedno smanjuje utjecaj promjena napona baterije.

Pri proračunu spoja sa stabiliziranim radnom tačkom stupanj postignute stabilnosti obično se izražava faktorom stabilizacije  $S$ . Ovaj je faktor definiran odnosom promjene struje kolektora u stabiliziranom krugu i promjenom struje kolektora u nestabiliziranom krugu

$$S = \frac{\Delta I_{cs}}{\Delta I_c} = \frac{\text{promjena struje kolektora u stabiliziranom krugu}}{\text{promjena struje kolektora u nestabiliziranom krugu}} \quad (18)$$

Uz pretpostavku da faktor strujnog pojačanja  $\alpha_e$  ne ovisi o temperaturi, i korisna komponenta struje kolektora  $I_b \cdot \alpha_e$  (jednadžba 15) neće ovisiti o promjenama temperature. Dakle čitava promjena struje kolektora  $I_c$

bit će jednaka promjeni preostale struje kolektora  $I_{ceo}$ . Prema tome faktor stabilizacije možemo pisati u obliku

$$S = \frac{\Delta I_c}{\Delta I_{ceo}} \quad . . . . . \quad (19)$$

U nestabiliziranom krugu faktor stabilizacije jednak je 1 ( $S = 1$ ), jer je  $\Delta I_c = \Delta I_{ceo}$ , dok je u stabiliziranom krugu  $\Delta I_c$  manji od  $\Delta I_{ceo}$ , pa je isto tako i  $S$  manji od 1.

Što je bolja stabilizacija i faktor je stabilizacije manji, pa je  $S$  mjerilo kvalitete postignute stabilnosti. U praktičkim slučajevima nije teško postići faktor stabilizacije manji od 0,1, što znači da će uz iste temperaturne promjene i  $S = 0,1$  promjena struje kolektora biti deset puta manja u stabiliziranom stanju od one u nestabiliziranom.

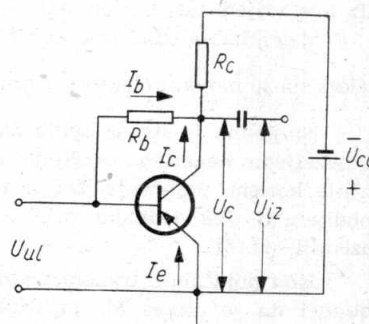
Stabilizacija radne tačke postiže se linearnim elementima kao što su otpori, ili pak nelinearnim elementima kao što su termistori — otpori s negativnim temperaturnim koeficijentom, diode (Si, Ge), Zenerove diode itd. Stabilizacija se u stvari odnosi na smanjenje kolektorske struje, a može se postići na načine koje ćemo opisati.

### Stabilizacija naponskom reakcijom — otpornikom između kolektora i baze

36. — Principijelna shema spoja prikazana je na sl. 60. Stabilizacija se osniva na naponskoj negativnoj reakciji preko otpornika  $R_b$ . Taj se način obično primjenjuje u slučaju kada se u kolektorskem krugu nalazi omski otpor kao potrošač. Ukoliko uslijed povišenja temperature ili kojeg drugog razloga poraste struja kolektora, istovremeno će i na otporniku  $R_e$  nastati veći pad napona. Posljedica je toga smanjenje napona kolektor-emiter i kolektor-baza, iz čega slijedi i smanjenje struje baze, koja je približno jednaka  $U_e/R_b$ . To smanjenje struje baze provozruje opet smanjenje struje kolektora koja, iako nešto veća od one na prvobitnoj temperaturi, ipak je znatno manja, nego što bi bila u nestabiliziranu stanju.

Faktor stabilizacije za ovakav spoj iznosi

$$S = \frac{1}{1 + \alpha_e \frac{R_e}{R_b}} \quad . . . . . \quad (20)$$



*Slika 60.*  
Stabilizacija struje kolektora otpornikom između emitera i baze  $R_b$

Faktor stabilizacije bit će dakle to manji, a prema tome će i stabilizacija radne tačke biti bolja, što su veći  $\alpha_e$  i  $R_c$ , a predotpor baze  $R_b$  manji. Na žalost, te se veličine ne mogu po volji birati; veličina  $\alpha_e$  određena je samim tranzistorom, otpor  $R_c$  ne možemo povećati jer je njegova veličina uvjetovana naponom baterije  $U_{cc}$  i kolektorskom strujom  $I_c$ , a kako otpor  $R_b$  određuje radnu tačku, određena je i njegova veličina.

Promotrimo na praktičnom primjeru način određivanja elemenata stabilizacije. Na primjer, neka je radna tačka određena sa  $U_c = 3V$ ,  $I_c = 2 \text{ mA}$ ,  $\alpha_e = 50$ , a napon baterije  $U_{cc} = 6V$ .

Struja baze približno je jednaka

$$I_b = \frac{I_c}{\alpha_e} = \frac{2 \cdot 10^{-3}}{50} = 40 \mu\text{A}$$

Otpor baze određuje se kao

$$R_b = \frac{U_c}{I_b} = \frac{3}{40 \cdot 10^{-6}} = 75 \text{ k}\Omega$$

uz uvjet, da je  $U_c$  znatno veći od  $U_{be}$ , što i zadovoljava, jer je  $U_{be} = 100 \text{ mV}$ .

Veličinu otpora  $R_c$  dobijemo iz jednadžbe

$$U_b = U_c + R_c \cdot (I_b + I_c)$$

$$R_c = \frac{U_{cc} - U_c}{I_b + I_c} = \frac{3}{2 \cdot 10^{-3}} = 1,5 \text{ k}\Omega$$

Uz ove vrijednosti faktor stabilizacije iznosi 0,5.

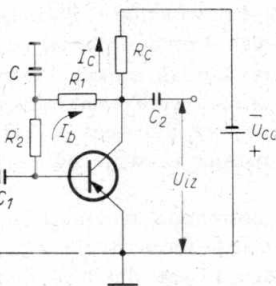
Maksimalna stabilizacija bit će postignuta ako je kolektorska struja takva da je napon kolektora jednak polovini napona baterije  $U_c = \frac{1}{2} U_{cc}$ .

Nezgodna je strana spoja na sl. 60 što osim za istosmjernu, postoji i neželjena negativna reakcija za izmjeničnu komponentu, koja smanjuje korisno pojačanje. Da se ublaži taj utjecaj treba da se otpor  $R_b$  podijeli u dva jednakih dijela, a srednja tačka preko kondenzatora uzemlji, (sl. 61).

Kod pojačala s transformatorskim ulazom taj je problem izbjegnut, budući da se otpor  $R_b$  priključuje na donji odvojak transformatora, kako je prikazano na sl. 62.

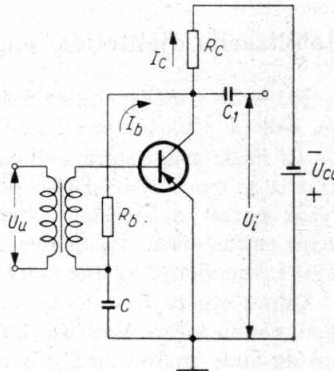
### **Stabilizacija strujnom negativnom reakcijom — otpornikom u emiteru**

37. — Stabilizacija radne tačke strujnom negativnom reakcijom, prikazana na sl. 63, nešto je bolja od gornje, a osniva se na činjenici da su struje kolektora i emitera uglavnom jednake, pa stabilizacija jedne održava konstantnom drugu. Povećanjem struje kolektora raste i struja



Slika 61.

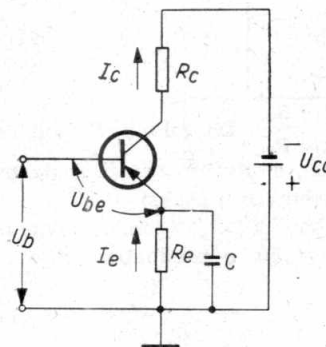
Stabilizacija struje kolektora naponskom negativnom reakcijom. Kapacitetom  $C$  izbjegнута je negativna reakcija za izmjeničnu struju



Slika 62.

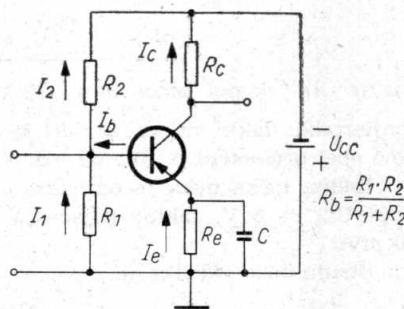
Stabilizacija radne tačke naponskom negativnom reakcijom kod pojačala sa transformatorskim ulazom

je smanjenje struje baze. Na kraju dolazi do stanja u kojem je struja kolektora nešto veća od prijašnje, ali ipak manja nego u nestabiliziranu spoju. Kao i kod elektronke, gdje se katodni otpor premoštava kondenzatorom da bi se izbjeglo smanjenje izmjeničnog signala, treba da se zbog istih razloga i emiterski otpor prenosti kondenzatorom. Veličina kondenzatora u visokofrekventnim sklopovima iznosi oko  $0,1 \mu\text{F}$ , a u



Slika 63.

Stabilizacija kolektorske struje otpornikom u emiteru.



Slika 64.

Stabilizacija radne tačke djeliteljem napona baze i otpornikom u emiteru

niskofrekventnim stupnjevima kreće se u granicama između 10 i 100  $\mu\text{F}$ . Dobra će stabilizacija biti u slučaju da je napon na emiterском otporu  $R_e$  velik prema  $U_{be}$ . Dovoljno je da njegova veličina iznosi oko 1 V.

### Stabilizacija djeliteljem napona baze i otpornikom u emiteru

38. — Za stabilizaciju se najviše upotrebljava sklop s djeliteljem napona baze i otpornikom u emiteru (sl. 64). Preko otpornog djelitelja  $R_1 - R_2$  baza tranzistora dobiva praktički stabilan napon. Princip stabilizacije je ovaj: Ako uslijed povećanja temperature kolektorska struja poraste, porast će također i struja emitera, rezultat čega je smanjenje napona emiter-baza. Posljedica toga je smanjenje struje baze, što opet uvjetuje smanjenje struje kolektora.

Odnos otpora  $R_1 - R_2$  bira se prema potrebnom naponu baze za određenu radnu tačku. Radi što bolje stabilizacije mora struja u poprečnoj grani da bude znatno veća u odnosu na struju baze, dakle ukupan otpor djelitelja mora da bude što manji. Međutim, otpori  $R_1$  i  $R_2$  priključeni su paralelno na ulaz i zato njihove vrijednosti ne smiju biti pre malene, jer uz mali  $R_1$  i  $R_2$  teče velika struja kroz djelitelj napona, što uvjetuje veliku potrošnju struje, a to bi uveliko pogoršalo stupanj djelovanja pojačala, što je za prijenosne uređaje naročito nepoželjno. Osim toga mali  $R_b$  smanjuje i ulazni otpor tranzistora, dakle i pojačanje.

Veličina otpora  $R_b$  ( $R_b = \frac{R_1 \cdot R_2}{R_1 + R_2}$ ) zbog navedenih je razloga određena kompromisno, između malog potroška struje i velikog pojačanja s jedne strane, i dopuštenog odstupanja radne tačke s druge strane. Otpor  $R_e$  treba da se premosti kondenzatorom, kako bi se spriječilo smanjenje pojačanja izmjenične komponente. Faktor stabilizacije tog sklopa iznosi

$$S = \frac{1}{1 + \frac{\alpha_e \cdot R_e}{R_e + R_b}} \quad \dots \quad (21)$$

gdje je  $R_b$  ukupni otpor baze,  $R_b = \frac{R_1 \cdot R_2}{R_1 + R_2}$ . Da faktor  $S$  bude što manji treba, dakle, da su  $\alpha_e$  i  $R_e$  što veći, a  $R_b$  što manji. Sada možemo opet promotriti prilike na jednom primjeru u praksi.

Radna tačka neka je određena sa:  $U_c = 2\text{V}$ ,  $I_c = 3\text{mA}$ , napon baterije  $U_{cc} = 6\text{V}$ , faktor pojačanja  $\alpha_e = 50$ , a prednapon baze oko 100 mV.

Struja baze jednaka je

$$I_b = \frac{I_c}{\alpha_e} = \frac{3 \cdot 10^{-3}}{50} = 60 \mu\text{A}$$

Stabilizacija radne tačke bit će to bolja što je veći pad napona na emiterском otporu u odnosu na napon baze. Dovoljno je da napon na

emiterском otporu bude barem deset puta veći od napona baze. Dakle, uz  $U_b = 0,1$  V treba da  $U_e$  iznosi:  $U_e = 10 \cdot U_b = 1$  V. Odatle možemo izračunati otpor  $R_e$

$$R_e = \frac{U_e}{I_e} = \frac{1}{3 \cdot 10^{-3}} = 330 \Omega$$

Djelitelj napona  $R_1 - R_2$  dimenzioniran je prema već prije navedenom uvjetu da struja koja teče kroz otpore mora da bude što veća u odnosu na struju baze  $I_b$ . Zadovoljavajući rezultati postižu se ako je ta struja barem deset puta veća od struje baze. U našem slučaju struja baze iznosi  $60 \mu\text{A}$ , pa je dakle struja

$$I_1 = 600 \mu\text{A}$$

a struja

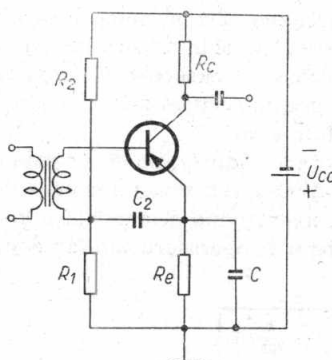
$$I_2 = I_1 + I_b = 600 + 60 = 660 \mu\text{A}$$

Zanemarivši napon  $U_{be}$ , napon na otporu  $R_2$  približno je jednak  $U_{cc} - U_e$ . Odatle dobivamo vrijednost  $R_2$

$$R_2 = \frac{U_{cc} - U_e}{I_2} = \frac{6 - 1}{0,66 \cdot 10^{-3}} = 7,6 \text{ k}\Omega \text{ i } R_1 = \frac{U_e}{I_1} = \frac{1}{0,6 \cdot 10^{-3}} = 1,67 \text{ k}\Omega$$

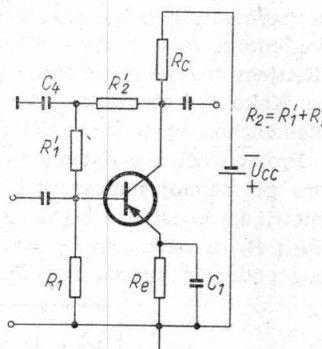
S ovim podacima izračunati faktor stabilizacije iznosi oko 0,1.

Kod pojačala s transformatorskim ulazom utjecaj  $R_1$  i  $R_2$  izbjegnut je spajanjem na način prikazan na sl. 65.



Slika 65.

Utjecaj  $R_1$  i  $R_2$  za stabilizaciju, kao i na sl. 64 izbjegnut je kod pojačala sa transformatorskim ulazom



Slika 66.

Kombinirana stabilizacija radne tačke. Strujna reakcija postignuta je otpornikom  $R_e$ , a naponska otpornicima  $R'_1$  i  $R'_2$ . Kondenzatorima  $C_1$  i  $C_4$  izbjegнута је негативна реакција за изменjenу струју

## Stabilizacija strujnom i naponskom negativnom reakcijom

39. — Ovaj spoj, (sl. 66), naročito je pogodan u slučaju kad postoji visok napon napajanja. Tu je stabilizacija izvedena pomoću strujne i naponske reakcije. Strujna reakcija postignuta je otporom u emiteru  $R_e$ , a naponska, koja ima veće značenje, preko otpora  $R_2$  ( $R_2 = R_1' + R_2'$ ). Kondenzatori  $C_1$  i  $C_4$  sprečavaju negativnu reakciju za izmjeničnu struju. U praktičnom primjeru, uz poznatu radnu tačku, dimenziomirat ćemo elemente prema ovom kriteriju: otpor  $R_2$  treba da je dva puta veći od  $R_1$  ( $R_2 = 2R_1$ ), dok je  $R_1 = 10R_e$ . Otpor  $R_e$  određuje se, kako je već prije navedeno, prema uvjetu da napon na emiterском otporu bude deset puta veći od napona baze. Do navedenih kriterija došlo se na osnovu praktičkih iskustava i oni sasvim zadovoljavaju u praksi. Koji je od navedenih načina za stabilizaciju radne tačke najpovoljniji ovisi najviše o načinu veze između stupnjeva. Međutim najviše se primjenjuje stabilizacija s otporom u emiteru i djeliteljem napona baze.

## Stabilizacija radne tačke nelinearnim elementima

40. — Stabilizacija radne tačke izvedena prije opisanim načinima ne zadovoljava u svim slučajevima. To naročito vrijedi za izlazna pojачala (koja rade na granici disipacije i podložna su termičkoj nestabilnosti) i za sklopove u kojima se traži velika temperaturna stabilnost.

Da bismo postigli što bolju stabilizaciju radne tačke potrebno je uzeti što veći otpor u emiterском krugu  $R_e$  i što manji napon napajanja. Stavljanje emiterskog otpora nije međutim poželjno zbog znatnog gubitka korisne snage koja se troši na njemu. U takvim se slučajevima stabilizacija provodi nelinearnim elementima, prvenstveno NTC - otporima (termistorima) — otporima s velikim negativnim temperaturnim koeficijentom od  $-2$  do  $-6\%/\text{ }^{\circ}\text{C}$ . Svojstva su ovih otpornika da im povišenjem temperature otpor pada približno po eksponencijalnom zakonu. Kako se i struja kolektora mijenja prema sličnom zakonu, takvim je elementima moguće postići dobru stabilizaciju.

Proizvođači u podacima za NTC-otpornike daju većinom vrijednost otpora pri sobnoj temperaturi od  $20$  ili  $25\text{ }^{\circ}\text{C}$  i vrijednost materijalno-geometrijske konstante  $b$  ( $^{\circ}\text{K}$ ). Iz poznate materijalno-geometrijske konstante i  $R_{25}$  izračuna se  $R_T$  za svaku željenu temperaturu unutar dopuštenog područja, prema formuli

$$R_T = R_{25} e^{b \left( \frac{1}{273 + t} - \frac{1}{298} \right)}$$

gdje je

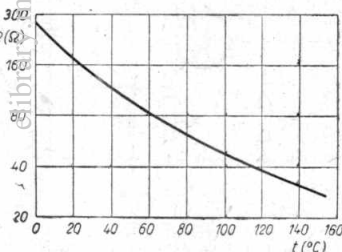
$R_T$  — otpor na određenoj temperaturi

$R_{25}$  — otpor na temperaturi od  $25\text{ }^{\circ}\text{C}$

$e$  —  $2,718$

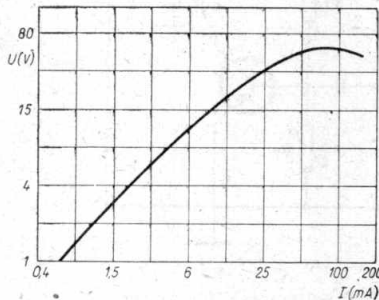
$b$  — materijalno-geometrijska konstanta u  $^{\circ}\text{K}$

$t$  — temperatura u  $^{\circ}\text{C}$



Slika 67.

Dijagram pokazuje promjenu otpora NTC otpornika sa temperaturom



Slika 68.

Strujno-naponska karakteristika NTC-otpornika. Na stalom strujnom toplinom uz konstantnu temperaturu okoline dolazi do promjene otpora

otpora nastalu strujnom toplinom uz konstantnu temperaturu okoline, (sl. 68). Iz  $R_T$ -krivulje za jedno temperaturno područje možemo izračunati vrijednost  $b$  prema formuli

$$b = 2,303 \frac{\lg R_1 - \lg R_2}{\frac{1}{T_1} - \frac{1}{T_2}} \quad (23)$$

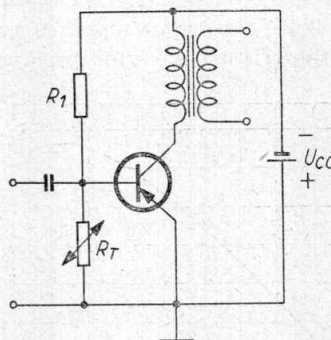
U gornjem izrazu  $R_1$  je otpor pri temperaturi  $T_1$ , a  $R_2$  pri temperaturi  $T_2$ .

41. — Najobičniji je način stabilizacije spajanje NTC-otpornika u djelitelj napona između baze i emitera, (sl. 69). Uslijed povišenja temperature smanjuje se otpor termistora, a stoga i napon između baze i emitera; rezultat toga je smanjenje struje baze, što opet sprečava porast struje kolektora.

Drugi sklop stabilizacije radne tačke s termistorom prikazan je na sl. 70. Ovdje je stabilizacija izvedena djeliteljem napona  $R_e - R_T$ . Djelovanjem temperature smanjuje se otpor  $R_T$ , dakle napon na emitterskom otporu  $R_e$  raste. Rezultat toga je smanjenje napona baze i stabi-

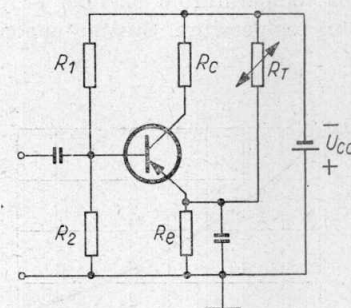
lizacija kolektorske struje. Ovaj spoj ima izvjesnu prednost, budući da elementi stabilizacije ne utječu na izmjeničnu komponentu.

U sklopovima iz prakse NTC-otpornici se ne vežu na način prikazan u primjerima na sl. 69, 70, nego u kombinacijama s linearnim otpornicama. To ćemo najbolje shvatiti razmatrajući praktički primer. Na



Slika 69.

NTC-otpornik  $R_T$  spojen u donju granu djelitelja napona kompenzira promjene radne tačke nastale pri različitim temperaturama okoline



Slika 70.

Stabilizacija otpornicima  $R_T$  i  $R_e$ . Povišenjem temperature vrijednost otpora  $R_T$  pada. Raste napon na otporniku  $R_e$ , znači smanjuje se struja kolektora

sobnoj temperaturi otpor termistora iznosi  $R_{25} = 2.000 \Omega$ , a temperaturni koeficijent  $\alpha_T = -0,04$ . Uz povišenje temperature od  $1^\circ\text{C}$  možemo koristiti formulu

$$R_T = R_{25} (1 - \alpha_T \cdot \Delta T) = 2.000 (1 - 0,04) = 2.000 - 80 (\Omega)$$

Ako je struja koja teče kroz termistor  $1 \text{ mA}$ , na otporu  $R_T$  dolazi do pada napona

$$I \cdot R_T = 2.000 \cdot 10^{-3} - 80 \cdot 10^{-3} (\text{V})$$

Budući da je otpor u praktičnom sklopu priključen između baze i emitera, pri promjeni temperature od  $1^\circ\text{C}$  napon baze promjenio bi se za  $80 \text{ mV}$ . To je vrlo mnogo u poređenju s promjenama ulaznog napona tranzistora s temperaturom. Ta se promjena kreće od  $1,5$  do  $2,5 \text{ mV}^\circ\text{C}$ , ovisno o vrsti tranzistora.

Struja koja teče kroz termistor, potrebna za kompenzaciju ulaznog napona koji nastaje s promjenama temperature (na primjer  $2,4 \text{ mV}^\circ\text{C}$ ), iznosi

$$I_T = \frac{\Delta U}{\Delta R} = \frac{2,4 \cdot 10^{-3}}{80} = 30 \mu\text{A}$$

Ova struja stvara na otporniku  $R_T$  pad napona

$$U_T = I_T R_T = 30 \cdot 10^{-6} (2000 - 80) = 60 \cdot 2,4 = 57,6 \text{ mV}$$

Pogledamo li pažljivije vidjet ćemo da je to u isti mah i napon između baze i emitera. Kako sad na bazi vlada napon samo od 57,6 mV to je očigledno premalo, budući da nam je za radnu tačku potreban napon barem 100 mV.

Problem ćemo riješiti kombinirajući NTC-otpor s linearnim otporima spajajući ih serijski, paralelno, ili načinom prikazanim na sl. 71. U našem slučaju vrijednost potrebnog serijskog otpora za  $U_b = 150$  mV iznosi

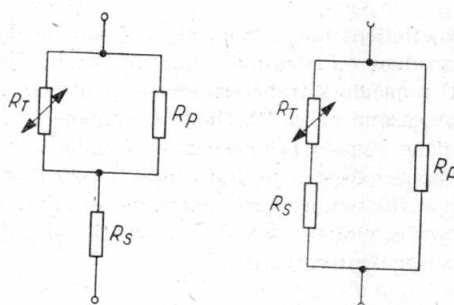
$$R_S = \frac{U_b - U_{TO}}{I_T} = \frac{(150 - 60) \cdot 10^{-3}}{30 \cdot 10^{-6}} = 3 \text{ k}\Omega$$

Budući da su upotreboj termistora kompenzirane samo promjene nastale variranjem temperature okoline, pokazalo se da je i uz tu stabilizaciju potreban emiterski otpor  $R_e$ , kako bi se izbjegao porast struje kolektora, koji nastaje uslijed vlastitog zagrijavanja tranzistora. Kod zlaznih stupnjeva on iznosi samo 3 do 5 Ω.

Montažom NTC-otpora na tranzistor prenosi se temperatura spoja na otpor i tako su istovremeno kompenzirane promjene temperature nastale zagrijavanjem tranzistora.

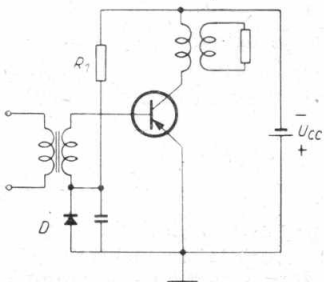
Pravilnim izborom elemenata moguće je u tom sklopu postići potpunu stabilizaciju.

*Stabilizacija radne tačke diodom.* Stabilizacija radne tačke diodom od poluvodiča vrlo je pogodna, jer diode imaju skoro isti temperaturni



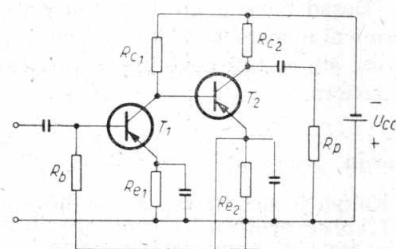
Slika 71.

Kombiniranjem NTC-otpornika sa linearnim otporima dobiva se povoljnija temperaturna karakteristika



Slika 72.

Umjesto otpornika  $R_T$ , sl. 69 može se koristiti diode građene od sličnog materijala, kao i tranzistor



Slika 73.

Bolja stabilizacija postiže se negativnom reakcijom preko više stupnjeva. Na slici prikazana je negativnom reakcijom preko dva stupnja

koeficijent kao i tranzistori. Jasno je da ovdje treba upotrijebiti diodu izrađenu od istog materijala ili što sličnjeg onome od kojeg su tranzistori. U počalu s transformatorskim ulazom može se upotrijebiti stabilizacija prikazana na sl. 72. Dioda  $D$  spojena je u propusnom smjeru, i za izmjenične signale premoštena je kondenzatorom. Na diodi vlada istosmjerni napon, određen unutarnjim otporom diode i veličinom otpora  $R_1$ . Uslijed porasta temperature smanjuje se otpor diode, pa će se i napon između baze i emitera također smanjiti, tako da će struja kolektora praktički ostati nepromijenjena.

### Negativna reakcija istosmjerne struje preko nekoliko stupnjeva pojačala

42. — U dosad opisanim načinima postignuta je stabilizacija radne tačke negativnom reakcijom za istosmjernu struju, tj. vraćanjem promjena kolektorskog napona i struje emitera, nastalih uslijed variranja temperature na ulaz. Takva negativna reakcija može biti provedena i preko dva ili više stupnjeva, pa je u tom slučaju stabilizacija mnogo efikasnija nego unutar samo jednog tranzistora.

Direktnu vezu između tranzistora lako je postići, budući da oni rade s vrlo niskim kolektorskim naponima. Jedan takav sklop prikazan je na sl. 73. Struja baze prvog tranzistora  $T_1$  određena je strujom emitera i emiterskim otporom tranzistora  $T_2$ , dok je struja baze tranzistora  $T_2$  određena prvim tranzistorom i padom napona na kolektorskom otporu  $R_{C1}$ . Ako se zbog povećanja temperature poveća struja kolektora tranzistora  $T_2$ , povisit će se i struja emitera koja na emiterskom otporu stvara veći pad napona. To povišenje izaziva povećanje struje baze prvog tranzistora, što opet uzrokuje povećanje kolektorske struje i smanjenje struje baze tranzistora  $T_2$ , koje se protivi prvobitnom djelovanju. Rezultat toga je dobra stabilizacija.

Dosad navedenim načinima stabilizacije uglavnom smo se upoznali s osnovnim metodama kompenzacije utjecaja temperature na rad tranzistora, što će biti dovoljno za proučavanje daljnjih primjena i sklopa tranzistora.

### Pitanja

1. Kakva je razlika između vodiča, poluvodiča i izolatora?
2. Iako se elektroni i šupljine giblju pod utjecajem električkog polja u suprotnim smjerovima, zašto je rezultat takvog gibanja istosmjerna struja?
3. Šta se događa kad se šupljina sudari sa slobodnim elektronom?
4. Definiraj: kovalentnu vezu, šupljinu, akcepter, donor i potencijalnu barijeru!
5. Opiši proces koji se zbiva kada se P-tip i N-tip germanij spoje zajedno!
6. Protumači utjecaj napona polariziranog u propusnom smjeru na PN-spoj!

7. Ekvivalentni napon PN-spoja u ravnoteži iznosi 0,3 V. Napon od 1 V polariziran u propusnom smjeru proizvodi struju 100 mA. Koja je efektivna vrijednost otpora u propusnom smjeru?
8. Kolika će struja teći stezaljkama PN-spoja sa ekvivalentnim naponom potencijalne barijere 0,3 V uz kratkospojene stezaljke?
9. Koje su dvije glavne vrste tranzistora?  
Definiraj simbole  $E$ ,  $B$  i  $C$ !
10. Zašto je baza kod slojnog tranzistora znatno tanja od emitera i kolektora?
11. Zašto je efektivna širina baze uža kada je na kolektorski spoj priključen napon polariziran u zapornom smjeru, nego bez priključenog napona?
12. Na koji se način povisuje gornja granična frekvencija tranzistora sa površinskom barijerom? Do koje granice je to moguće postići?
13. Što je kapacitet PN-spoja i kako nastaje?
14. Skiciraj PNP-slojni tranzistor sa priključnim baterijama. Opiši način rada tranzistora!
15. Koje strujne krugove razlikujemo kod tranzistora? Da li u ulaznom krugu teče struja?
16. Koja su tri spoja sa elektronkama ekvivalentna tranzistorskim spojevima sa uzemljenim emiterom, uzemljenom bazom i uzemljenim kolektorom? Navedi glavne karakteristike ovih spojeva!
17. Koje su osnovne električke razlike između tranzistora i elektronke?
18. Koje su najvažnije karakteristike tranzistora?
19. Opiši metode za mjerjenje ulaznih i izlaznih karakteristika!
20. Na koji je način moguće promatranjem izlaznih karakteristika uočiti razliku između unutarnjeg otpora tranzistora u spoju sa zajedničkom bazom i spoju sa zajedničkim emiterom?
21. Kako se određuje ulazni otpor, izlazni otpor, faktor strujnog pojačanja i povratno djelovanje tranzistora?
22. Navedi jednadžbe za faktor strujnog pojačanja, povratno djelovanje, ulazni i unutarnji otpor tranzistora! Zašto navedene veličine nisu konstantne?
23. U spoju sa zajedničkom bazom faktor strujnog pojačanja određenog tipa tranzistora kreće se od 0,9 do 0,99. U kojim se granicama nalazi strujno pojačanje u spoju sa zajedničkim emiterom i u spoju sa zajedničkim kolektorom?
24. Navedi razliku između parametara malih signala i parametara velikih signala?
25. Nabroji parametre koji se koriste kod tranzistora!
26. Da li je kod tranzistornih spojeva upotrebljenih u visokofrekventnom području potrebno izvršiti neutralizaciju?
27. Kako je definirana gornja granična frekvencija?
28. Kako dolazi do temperaturne povratne reakcije? Što je to termička nestabilnost?
29. Što označava toplinski otpor? Maksimalna kolektorska dispozicija tranzistora je 30 mW kod 40°C i 400 mW kod 20°C. Nadji efektivni toplinski otpor? Kakva smije biti disipacija uz maksimalnu temperaturu 30°C?
30. O čemu ovisi maksimalno dopustiva kolektorska snaga?
31. Kako je definiran faktor stabilizacije? U kojim se granicama kreće njegova vrijednost (numerički)?
32. Navedi načine stabilizacije radne tačke i koji su od njih najpogodniji?
33. Kakva se prednost postiže ako je stabilizacija izvedena nelinearnim elementima?
34. Zašto je preostala struja kolektora znatno veći problem u spoju sa zajedničkim emiterom, nego u spoju sa zajedničkom bazom?



## DODATAK UZ II DIO

Eng. Branko Somek

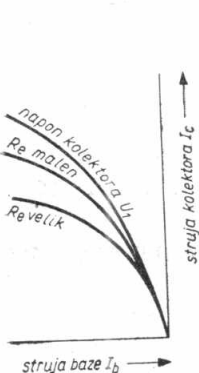
### Niskofrekventna tranzistorska pojačala

## Radna karakteristika

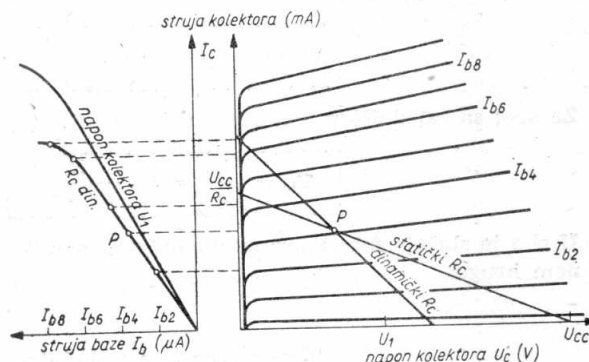
43. — Kako nam je poznato, pomoću struje baze moguće je mijenjati struju kolektora praktički bez tromosti. Za razliku od elektronki, u kojima se anodna struja mijenja bez utroška energije, kod tranzistora je potrebna izvjesna energija na ulazu, da se dobije promjena kolektorske struje na izlazu. U dosadašnjim razmatranjima bio je kolektorski krug uvek kratko spojen, što znači da je kolektor bio spojen direktno na materiju. Da bi se djelovanje tranzistora kao pojačala moglo iskoristiti, potrebno je međutim da u krugu kolektora bude potrošač. Uslijed tog opterećenja nastupaju zнатне promjene pogonskih odnosa.

Imamo li u kolektorskom krugu omski otpor  $R_c$ , neće kolektor biti na punom naponu baterije  $U_{cc}$ , jer će kolektorska struja stvarati na kolektorskom otporu  $R_c$  pad napona  $I_c R_c$ . Kolektorski napon bit će dakle samo  $U_c = U_{cc} - I_c R_c$ . Što je veći kolektorski otpor  $R_c$ , to će manji biti kolektorski napon  $U_c$ .

Kolektorski napon bit će, usprkos stalnom naponu baterije, promjenljiv i ovisan o jakosti kolektorske struje. Na taj način prelazi statička karakteristika tranzistora u dinamičku ili radnu karakteristiku. Kao što vidimo na sl. 74, dinamičke su karakteristike niže što je veći kolektorski otpor. To znači da će dinamički faktor strujnog pojačanja biti



Slika 74.  
Statička i dinamička karakteristika tranzistora



Slika 75.

manji od dosada nam poznatog statickog faktora strujnog pojačanja kratkog spoja.

Kod neznatnih kolektorskih struja postaje i pad napona  $I_c R_c \approx 0$ , dokle kolektorski je napon jednak naponu baterije, pa početak dinamičke karakteristike pada u istu tačku s početkom staticke karakteristike, uz dani napon baterije  $U_{cc}$ . Dinamička karakteristika može se snimiti mjenjenjem, a isto se tako može dobiti i iz statickih karakteristika crtanjem i računom. Dinamička karakteristika faktora strujnog pojačanja može

se konstruirati iz izlaznih karakteristika, ako je zadana veličina kolektorskog otpora i napona baterije. Na sl. 75 vidimo staticku i dinamičku karakteristiku, dobivene iz izlaznih karakteristika. Što je veći kolektorski otpor, to će ova krivulja biti niža i jače zakrivljena, pa će i faktor strujnog pojačanja biti manji. Kako je prikazano na sl. 76, gdje su dani odsječci izlaznih karakteristika u spoju sa zajedničkom bazom; i ucr-

dati slučaj kad je na ulaz doveden izmjenični signal. To stanje možemo ostvariti spojem kao na sl. 77, koja prikazuje spoj pojačala PNP-transistora s uzemljenim emiterom. Na ulaznim priključnicama u krugu baze nalazi se niskofrekventni generator izmjeničnog napona. Radna tačka može biti određena sa  $I_b$  i  $U_c$ , sa  $I_b$  i  $I_c$ , ili sa  $I_c$  i  $U_c$ . U našem je slučaju međutim radnu tačku najlakše odrediti sa  $I_b$  i  $U_c$ . Veličina otpora  $R_b$  i napon baterije  $U_{bb}$  određuju struju baze, koja približno iznosi  $\frac{U_{bb}}{R_b}$ , budući da je napon  $U_{be}$  zanemarivo malen. Kolektorska struja direktno je proporcionalna struci baze; relacija između ovih dviju, već prije zabilježena, iznosi

$$I_c = \alpha_e I_b + I_{ceo}$$

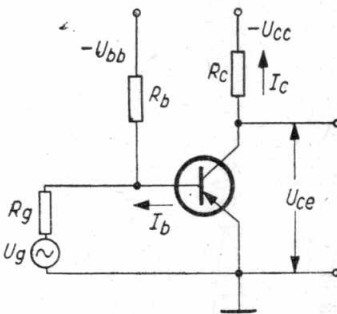
Napon  $U_c$  ovisan je o struci  $I_c$ , otporu  $R_c$  i naponu baterije  $U_{cc}$  prema relaciji

$$U_{ce} = U_{cc} - I_c R_c$$

Znači, radnu tačku možemo u našem slučaju mijenjati elementima  $R_b$ ,  $R_c$ ,  $U_{bb}$  i  $U_{cc}$ . Baterije  $U_{bb}$  i  $U_{cc}$  predstavljaju za izmjeničnu komponentu kratak spoj.

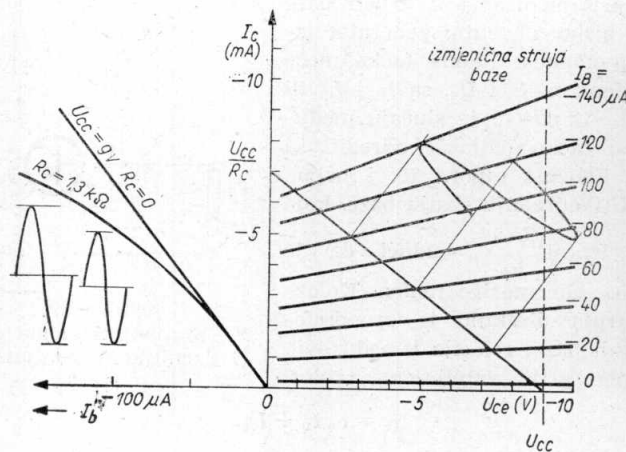
U prvi mah uzmimo da je kolektorski otpor  $R_c$  kratko spojen, da je dakle  $R_c = 0$ . Neka je u ovom slučaju struja mirovanja baze  $I_b = -60 \mu A$ . Izmjenična struja superponirana strui baze neka ima amplitudu  $40 \mu A$ . Kao posljedica te izmjenične struje nastat će promjene kolektorske struje, koje se dadu lako odrediti iz izlazne karakteristike  $U_c - I_c$ . Kako se vidi iz primjera na sl. 78, kolektorska struja mirovanja za danu struju baze iznosi  $3,15 \text{ mA}$ . Ako sada struja baze varira za  $40 \mu A$ , dakle između  $-20 \mu A$  i  $-100 \mu A$ , nastupit će odgovarajuće promjene kolektorske struje, koje iznose  $\pm 2,2 \text{ mA}$ . Kolektorska izmjenična struja superponirana strui mirovanja, izazvana izmjeničnom strujom baze u ulaznom krugu, ima isti oblik kao i ova posljednja, što znači da se proces vrši bez izobličenja.

45. — Imamo li u kolektorskem krugu omski otpor  $R_c$ , moramo kao osnovu našeg razmatranja uzeti dinamičku karakteristiku. U polju izlaznih karakteristika (sl. 78), ucrtan je radni pravac i izvedena dinamička karakteristika. Radni pravac određen je tačkom  $U_{cc}$  — naponom baterije na  $U_{ce}$ -osi i tačkom  $I_c = \frac{U_{cc}}{R_c}$  na  $I_c$ -osi. Radna tačka na pravcu određena je strujom baze  $I_b$ . Promjena kolektorske struje bit će sada, usprkos jednakom naponu na bazi, znatno manja nego uz  $R_c = 0$ ,



Slika 77.  
Stupanj pojačala sa  
uzemljenim emiterom

pa iznosi na primjer  $\pm 1,8 \text{ mA}$ , prema  $\pm 2,2 \text{ mA}$ , kako je bilo prije uz  $R_c = 0$ . Kolektorska struja mijenja se između vrijednosti 1,1 i 4,9 mA. Kako smo već vidjeli u odsjeku 43, napon kolektora  $U_c$  kod opterećenog



Slika 78.

Izazne i radne karakteristike tranzistora OC 66 u spoju sa zajedničkim emiterom. Uz  $R_c > 0$  iako je napon baze jednak kao i za  $R_c = 0$  promjene struje kolektora bit će manje

tranzistora ovisan je o kolektorskoj struci. Izmjenična struja koja teče u kolektorskem krugu stvara na kolektorskem otporu izmjenični pad napona. Pretpostavimo da generator daje u promatranom momentu u krugu baze mali pozitivni napon  $u_{be}$  (promatramo spoj sa zajedničkim emiterom!). Tada će ovaj napon smanjiti napon  $U_{be}$  koji je, kako je poznato, negativan, i struja baze postaje manja za iznos  $u_{be}/R_{ue}$ .

Smanjenje ulazne struje  $I_b$  za iznos  $u_{be}/(R_{ue} + R_g)$  smanjuje pak kolektorsku struju približno za  $V_i u_{be}/R_{ue}$ . Usljed smanjenja izmjenične struje koja teče u kolektorskem krugu smanjiti će se izmjenični pad napona na opteretnom otporu ( $V_i e \cdot u_{be} \cdot R_g/R_{ue}$ ). Zbog toga će nastati odgovarajuća promjena napona i na kolektoru, pa će i on biti negativniji što je manji pad napona na kolektorskem otporu  $R_c$ . Na kolektoru imamo dakle, osim istosmjernog napona, i superponirani izmjenični napon. Izmjenični napon kolektora iste je veličine kao i pad napona na kolektorskem otporu  $R_c$ , samo protivnog smjera. Za spoj sa zajedničkim emiterom izlazni napon ima fazni pomak od  $180^\circ$  prema ulaznom naponu.

46. — Promotrimo sada spoj sa zajedničkom bazom. Pretpostavimo opet da generator u promatranom momentu daje mali pozitivni napon  $u_{eb}$ . Ovaj napon izaziva u ulaznom krugu povećanje emiterske struje za  $u_{eb}/R_{ub}$ , što daje povećanje struje za  $u_{eb} \cdot u_{eb}/R_{ub}$ . Povećanje struje

kolektora stvara na opteretnom otporu  $R_c$  pad napona, koji na kolektor-skoj strani otpora  $R_c$  postaje pozitivniji približno za iznos  $\alpha_{eb} R_c / R_{ub}$ . Promjene napona u spoju sa zajedničkom bazom idu u istom smjeru, znači, one su u fazi.

### Pojačanje napona i snage

47. — U posljednjim poglavljima upoznali smo se na nekoliko primjera s grafičkim prikazom izmjeničnih odnosa koji se dešavaju u tranzistoru, ako radi kao pojačalo. Sad ćemo pogledati pojačanje napona i snage u tim stupnjevima i međusobno ih usporediti.

Izraz  $V_u = \frac{U_i}{U_{ub}}$  (izlazni izmjenični napon prema ulaznom izmjeničnom naponu) naziva se *naponskim pojačanjem*. Za spoj sa *zajedničkom bazom* ono iznosi

$$\boxed{V_{ub} = \frac{U_{cb}}{U_{eb}} = -V_{ib} \cdot \frac{R_c}{R_{ub}}} \quad \dots \quad (26)$$

U ovom slučaju predznak minus pred izrazom označava da su promjene ulaznog i izlaznog napona u fazi, budući da je  $V_{ib}$  negativan. U jednadžbama moramo uvijek za  $R_i$  i  $R_u$  uvrstiti aktivni izlazni i ulazni otpor koji je, kako znamo, ovisan o radnoj tački.

Za spoj s *zajedničkim emiterom* pojačanje napona izmjeničnog signala jest:

$$\boxed{V_{ue} = \frac{U_{ce}}{U_{be}} = -V_{ie} \cdot \frac{R_c}{R_{ue}}} \quad \dots \quad (27)$$

U gornjoj jednadžbi, s obzirom na to da je  $V_{ie}$  pozitivan, predznak minus označava postojanje faznog pomaka za  $180^\circ$  između ulaznog i izlaznog napona.

48. — Kako su tranzistori u biti pojačala snage, izračunat ćemo i *pojačanje snage*.

Pod *pojačanjem snage*  $V_s$  podrazumijeva se odnos snage dobivene na potrošaču i ulazne snage privredene tranzistoru. U spoju sa zajedničkom bazom dobivena izmjenična snaga iznosi  $i_e^2 \cdot R_c$ , dok je privredena snaga  $i_e^2 R_{ub}$ .

Za pojačanje snage u spoju baze vrijedi izraz

$$\boxed{V_{sb} = \frac{i_e^2 R_c}{i_e^2 R_{ub}} = V_{ib}^2 \cdot \frac{R_c}{R_{ub}} = -V_{ib} \cdot V_{ub}} \quad \dots \quad (28)$$

Za emiterски spoj dobije se međutim

$$\boxed{V_{se} = V_{ie}^2 \cdot \frac{R_c}{R_{ue}} = -V_{ie} \cdot V_{ue}} \quad \dots \quad (29)$$

Iz prednjih jednadžbi izlazi da produkt pojačanja napona i pojačanja struje daje pojačanje snage. Ako je opteretni otpor  $R_c$  malen, jednadžbe (28 i 29) dobivaju jednostavniji oblik

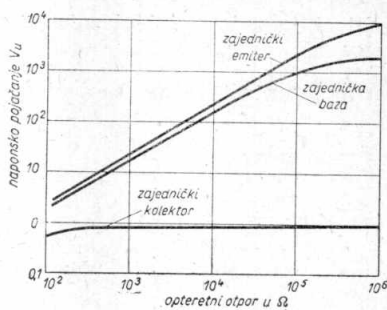
$$V_{sb} = \alpha_b \cdot V_{ub}$$

$$i \quad V_{se} = -\alpha_e \cdot V_{ue}$$

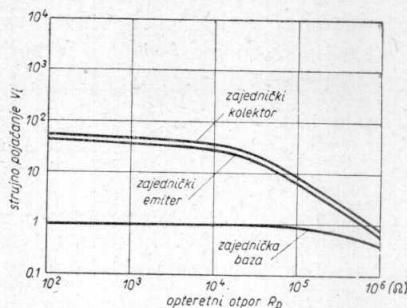
### Uspoređenje tranzistorskih spojeva

49. — U daljim izlaganjima o primjenama tranzistora bit će uglavnom govora o spoju sa zajedničkim emiterom, koji se najviše koristi. Potrebno je međutim utvrditi razloge toj činjenici, uspoređujući ovaj spoj s drugim načinima spajanja: uzemljenom bazom i uzemljenim kolektorom.

*Naponsko pojačanje.* Spojevi sa zajedničkim emiterom i zajedničkom bazom imaju, uz jednake opteretne otpore, uglavnom isto pojačanje napona, kao što se vidi u dijagramu, (sl. 79). Međutim u spoju sa zajedničkim kolektorom naponsko pojačanje nikad nije veće od jedinice. Tek s velikim opteretnim otporom približno je jednako jedan.



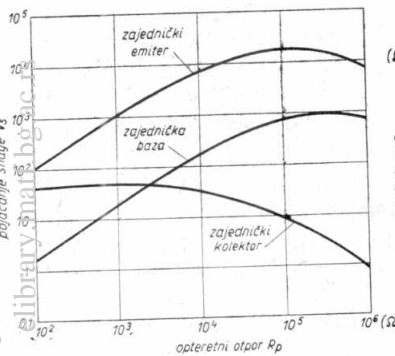
Slika 79.  
Dijagrami pokazuju promjene naponskog pojačanja sa opterećenjem



Slika 80.  
Ovisnost strujnog pojačanja o opteretnom otporu. Strujno pojačanje za spoj sa zajedničkim emiterom i zajedničkim kolektorom uglavnom su jednakia. Pri većem  $R_p$  opada. U spoju sa zajedničkom bazom iznosi približno jedan

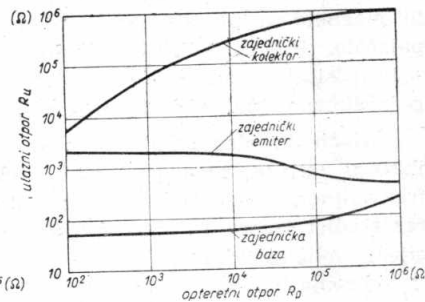
*Strujno pojačanje.* Spojevi sa zajedničkim emiterom i zajedničkim kolektorom imaju približno isto pojačanje struje; ono obično pada s većim vrijednostima opteretnog otpora  $R_p$ . U spoju sa zajedničkom bazom faktor strujnog pojačanja uvijek je manji od jedan, (sl. 80).

*Pojačanje snage.* Produkt strujnog i naponskog pojačanja daje krivulju pojačanja snage na sl. 81, koja pokazuje da spoj sa zajednič-



Slika 81.

Pojačanje snage mijenja se sa otporom potrošača. U spoju sa zajedničkim emiterom ono je najveće



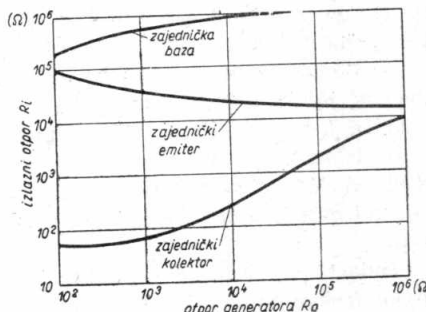
Slika 82.

Ovisnost ulaznog otpora o opteretnom otporu

**Ulagani otpor.** Krivulje na sl. 82 označavaju ulagani otpor za različite spojeve. Najveću vrijednost ima ulagani otpor u spoju sa zajedničkim kolektorom (koja se kreće iznad  $20 \text{ k}\Omega$ ), ulagani otpor u spoju sa zajedničkim emiterom malen je, iznosi između  $400 \Omega$  i  $2000 \Omega$ , dok je u spoju sa zajedničkom bazom još manji i iznosi oko  $50 \Omega$ , tako da je u tom spoju teško postići prilagođenje tranzistora na slijedeći stupanj.

**Izlazni otpor.** Izlazni otpor nije funkcija opterećenja  $R_p$ , već je ovisan o otporu generatora  $R_g$ . Na sl. 83 dana je ovisnost izlaznog otpora o otporu generatora. Izlazni otpor u spoju sa zajedničkim kolektorom malen je, a već prije smo vidjeli da taj spoj ima velik ulazni otpor, pa uglavnom služi za transformiranje otpora. Tranzistor u ovom slučaju ne unosi fazni pomak u pojačanje.

Spoj sa zajedničkom bazom temperaturno je stabilan, dok je u spojevima sa zajedničkim emiterom i zajedničkim kolektorom potrebno provesti posebnu temperaturnu stabilizaciju.



Slika 83.

Promjena otpora generatora izaziva primjene izlaznog otpora

## Niskofrekventna pojačala malih signala

50. — Niskofrekventno pojačalo s tranzistorima sastavljeno je, kao i kod elektronki, od prepojačala i izlaznog pojačala. U prepojačalu se slabi izmjenični naponi iz demodulatora, mikrofona, zvučnika ili magnetofonskih glava pojačavaju toliko da mogu pobuditi izlazno pojačalo. Prema veličini pobudnog signala niskofrekventna pojačala s tranzistorima nazivaju se pojačalima malih signala (prepojačala) i pojačalima velikih signala (izlazna pojačala).

Način izvođenja pojačala ovisi o ovim zahtjevima: potrebnom pojačanju (struje, napona, snage), veličini ulaznog i izlaznog signala, frekventnom području, ulaznom otporu, području temperature, karakteristici izvora i opterećenja, napajanju, dopuštenom izobličenju, cijeni, veličini itd.

Prema načinu na koji su niskofrekventna pojačala međusobno povezana, razlikujemo pojačala sa *RC-vezom*, pojačala s *transformatorskom vezom* i *direktno vezana* pojačala. Promotrit ćemo posebno pojačalo malih signala, a posebno pojačalo velikih signala, tj. pojačalo snage. Ta je podjela važna, budući da o veličini pobudnog signala ovisi način određivanja radne tačke, kao i mjere za provođenje njene stabilizacije.

51. — Osnovni uvjeti koje pojačala malih signala moraju da ispunjavaju su ovi:

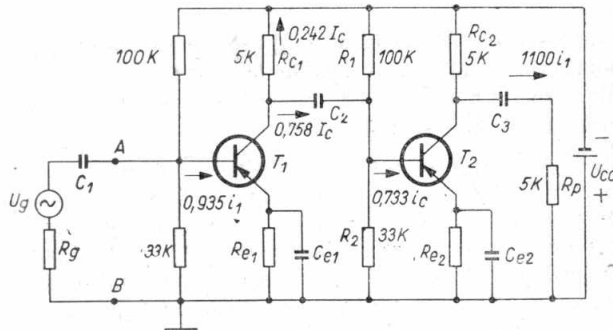
— Pobudni signal mora da bude dovoljno malen, tako da unutar frekventnog područja za koje je pojačalo predviđeno ne nastaje izobličeni tj. da zakriviljenost karakteristike ne dolazi do izražaja, pa se takvo pojačalo može smatrati linearnim elementom.

— Gornja granična frekvencija signala, koji će još biti pojačan, treba da je dovoljno niska, kako bismo mogli koristiti nadomjesne sheme sa *h*-parametrima i *T*-parametrima.

— Izlazna snaga tih pojačala takva je da svaki stupanj koji se sastoji od jednostepenog pojačala malog signala radi u klasi *A*, gdje struja mirovanja mora da bude veća od tjemene vrijednosti izmjeničnog signala.

Podaci potrebni za određivanje svojstva pojačala i u tom su slučaju frekventno područje, opteretni otpor, izlazna snaga, veličina ulaznog signala i unutarnji otpor generatora. Ako je traženo pojačanje snage premalo s obzirom na ono koje daje pojedini stupanj, potrebno je upotrijebiti dva ili više stupnjeva.

52. — Za povezivanje dva stupnjeva pojačala malih signala koristimo RC-vezu (sl. 84) ili transformatorsku vezu. U cijevnom pojačalu danas se međustepeni transformator jedva još upotrebljava, budući da je elektronka, na primjer, kao obrtač faze za protufazni izlazni stupanj jeftinija i ima bolje karakteristike. U tranzistoru je u tom slučaju moguće postići veliko pojačanje, pa je radi pobudnog transformatora upotreba manjeg pogonskog tranzistora česta.



Slika 84.  
Dvostepeno niskofrekventno RC-vezano pojačalo  
malih signala

transformator dobre kvalitete relativno je skup, težak i zbog velikih dimenzija zauzima veći prostor, što je za tranzistorске uređaje naročito nepogodno, a osim toga unosi u pojačalo linearno i nelinearno izobličenje. Transformator kao element veze nije pogodan za šire frekventno područje, jer za pojačanje niskih frekvencija mora da ima visok primarni induktivitet. Donja granična frekvencija transformatora, kod koje napon padne za  $1/\sqrt{2}$ -ti dio prema naponu frekvencije od 1000 Hz, izražena je jednadžbom

$$f_d = \frac{1}{2\pi L_1} \cdot \frac{R_i \cdot R_p \cdot n^2}{R_i + R_p \cdot n^2}$$

gdje je  $R_i$  unutarnji otpor tranzistora,  $R_p$  opteretni otpor,  $n$  prijenosni odnos zavoja ( $z_1/z_2$ ), a  $L_1$  primarni induktivitet. U slučaju prilagođenja uz  $R_p = \frac{1}{n^2} R_i$  dobivamo za  $L_1$

$$L_1 = \frac{1}{4\pi f_d} \cdot R_i$$

Neka je, na primjer, izlazni otpor tranzistora  $12 \text{ k}\Omega$ , a donja granična frekvencija  $30 \text{ Hz}$ . U tom je slučaju  $L_1 = 32 \text{ H}$ . Transformator ovakva induktiviteta bio bi veoma velikih dimenzija u odnosu na elemente tranzistorskog pojačala, a pored toga bi imao i velik vlastiti kapacitet i rasipni induktivitet, koji uzrokuju slabljenje visokih frekvencija. Zbog ovih se razloga transformatori motaju bifilarno.

Bolje prilagođenje  $RC$ -vezanog pojačala postiže se povezivanjem stupnja sa zajedničkim emiterom sa stupnjem sa zajedničkim kolektorom. Manje pojačanje  $RC$ -vezanih stupnjeva može biti kompenzirano dodavanjem još jednog stupnja. Četverostepeno  $RC$ -vezano pojačalo ima otpri-like isto pojačanje kao trostupeno pojačalo s transformatorskom vezom.

### Otporno niskofrekventno pojačalo

53. — Prema odsjeku 49 jasno je da se s emiterским spojem postiže najveće pojačanje i najbolje prilagođenje između slijedećeg i prethodnog stupnja. Zbog tih se razloga u niskofrekventnim pojačalima upotrebljava isključivo spoj sa zajedničkim emiterom.

Na sl. 84 vidimo potpunu shemu niskofrekventnog otpornog pojačala. Ovdje se radi o dva stupnja pojačala s uzemljenim emiterom, međusobno povezana  $RC$ -spojem. Radna tačka tranzistora  $T_1$  određena je djeliteljem napona baze i otporom u emiteru. Emiterski otpor premošten je kondenzatorom. U krug baze tranzistora  $T_1$ , na priključnice  $A-B$ , dovodi se izmjenični signal. U kolektorskom krugu nastaje pojačana izmjenična struja, koja se preko veznog kondenzatora  $C_v$  prenosi na bazu slijedećeg tranzistora. Radna tačka i ovog tranzistora stabilizirana je djeliteljem napona i otpornikom u emiteru. Kondenzatorom za vezu odjeljuju se različiti naponi  $U_c$  i  $U_{h2}$ , i kroz njega teče samo izmjenična struja. Otpor za izmjeničnu struju, kojim se opterećuje tranzistor  $T_1$  sastoji se od paralelnog spoja, otpora kolektora  $R_c$ , izlaznog otpora tranzistora, ulaznog otpora slijedećeg tranzistora  $T_2$  i paralelne kombinacije

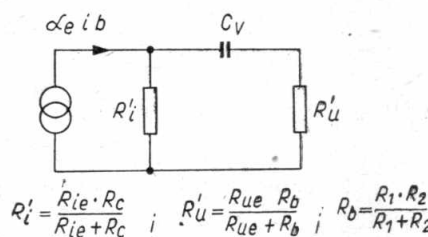
$R_1$  i  $R_2$  ( $R_b = \frac{R_1 \cdot R_2}{R_1 + R_2}$ ). Kako vidimo, vrijednost je ovog otpora mala i stoga se može računati približno s ulaznim otporom kratkog spoja  $R_{ue}$  i strujnim pojačanjem  $\alpha_e$ . Za tranzistor  $T_2$  vrijede isti odnosi. Znači, kolektorska struja prvog tranzistora iznosi približno  $i_{c1} = i_{b1} \cdot \alpha_{e1}$  i teče kroz otpore  $R_i$ ,  $R_c$ ,  $R_b$  i  $R_u$ . S obzirom na to da je potrebno postići što veće pojačanje struje  $i_{b2}/i_{b1}$ , treba da su  $R_i$ ,  $R_c$  i  $R_b$  što veći nasuprot ulaznom otporu  $R_{ub}$  tranzistora  $T_2$ . U idealnom slučaju čitava bi kolektorska struja tranzistora  $T_1$  tekla u bazu tranzistora  $T_2$ , pa bi maksimalno strujno pojačanje bilo jednak faktoru strujnog pojačanja  $\alpha_{e1}$ .

54. — Promotrimo na praktičnom primjeru odnose struja. Vrijednosti elemenata unesene u shemu uobičajene su u primjeni. Vrijednost potrošača tranzistora  $T_2$  jest  $5\text{ k}\Omega$ , ali za izmjeničnu komponentu iznosi  $2,5\text{ k}\Omega$ , dok je vrijednost njegova ulaznog otpora oko  $1,6\text{ k}\Omega$ . Otpor za izmjeničnu struju tranzistora  $T_1$ , sastavljen od paralelnog spoja kolektorskog otpora  $5\text{ k}\Omega$ , ulaznog otpora tranzistora  $T_2$   $1,6\text{ k}\Omega$  i paralelne kombinacije djelitelja napona baze od  $100\text{ k}\Omega$  i  $33\text{ k}\Omega$ , iznosi približno  $1150\text{ }\Omega$ . Međutim samo struja koja teče kroz ulazni otpor od  $1,6\text{ k}\Omega$  predstavlja korisno prenesenu struju. Pretpostavimo da je veličina faktora strujnog pojačanja  $\alpha_{e1} = \alpha_{e2} = 55$ . Na sl. 84 se vidi da  $93,5\%$  struje gene-

ratora ulazi u bazu tranzistora  $T_1$ , 73,30% kolektorske struje prvog tranzistora u bazu tranzistora  $T_2$ , a 50% ukupne kolektorske struje teče kroz potrošač, tako da ukupno pojačanje struje iznosi oko 1100. Tako i neprilagođeno pojačalo daje dosta veliko pojačanje oko 35% od teoretskog.

### Frekventna karakteristika

55. — U  $RC$ -vezanom pojačalu pojačanje se povećava sa povećanjem frekvencije, a smanjuje se zbog povećanja kapacitivnog otpora kondenzatora za vezu  $C_V$  i emiter-skog kondenzatora  $C_e$ . Utjecaj veznog kondenzatora možemo vidjeti u nadomjesnoj shemi (sl. 85), izvedenoj na osnovi prijašnjih razmatranja.  $R'_i$  je paralelna kombinacija kolektorskog i izlaznog otpora prethodnog tranzistora, a  $R'_u$  paralelan spoj ulaznog otpora slijedećeg tranzistora i djelitelja napona baze  $R_b$ . U otpornom je pojačalu donja granična frekvencija jednaka frekvenciji kod koje je kapacitivni otpor kondenzatora za vezu jednak ukupnom otporu. Prema tome se mora zahtijevati da za najnižu prenesenu frekvenciju\*  $C_V$  bude



Slika 85.

Nadomjesna shema pojačala vezanog  $RC$ -članom

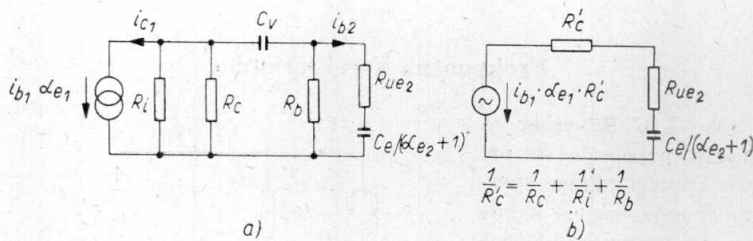
$$C_V = \frac{1}{2\pi f_d (R'_i + R'_u)} \quad . . . . . \quad (30)$$

U pojačalima se mnogo upotrebljavaju tranzistori OC 70 i OC 71. Izračunat ćemo vrijednost veznog kapaciteta takvog sklopa. Radna tačka tranzistora OC 70 određena je sa  $I_c = -1 \text{ mA}$  i  $U_c = -2 \text{ V}$ , a za tranzistor OC 71 sa  $I_c = -3 \text{ mA}$  i  $U_c = -2 \text{ V}$ . U toj je tački ulazni otpor tranzistora OC 71  $R_{u2} = 0,8 \text{ k}\Omega$ , a  $a_e = 47$ . Za otpornike su pretpostavljene ove vrijednosti:  $R_c = 5,6 \text{ k}\Omega$  i  $R_b = 10 \text{ k}\Omega$ . Uz te vrijednosti i donju graničnu frekvenciju od 30 Hz vezni kapacitet mora da bude  $C_V = 1 \mu\text{F}$ .

56. — Zapostavljanje niskih frekvencija može biti prouzrokovano i premalenim emiterškim kondenzatorom  $C_e$ . Emiterškim otporom teče naime, osim istosmjerne, i izmjenična struja koja stvara na njemu izmjenični pad napona, što djeluje protiv napona signala i smanjuje napon baze. Radi se dakle o strujnoj negativnoj reakciji. Nadomjesna shema, (sl. 86a), pokazuje utjecaj emiterškog kondenzatora. Ulazni otpor tranzis-

\* Ako pojačalo ima više stupnjeva, za donju graničnu frekvenciju vrijedi formula  $\omega_d = \frac{\omega_1}{\sqrt{2^{1/n} - 1}} \approx 1,2 \omega_1 \sqrt{n}$ , gdje je  $\omega_1$  donja granična frekvencija jednog stupnja, a  $n$  broj stupnjeva.

stora  $T_2$  spojen je serijski s emiterškim kapacitetom umanjenim za iznos  $(\alpha_{e2} + 1)$ , dakle  $C_e/(\alpha_{e2} + 1)$ , što je i tačno, jer kroz njega teče struja baze  $i_{b2}$  koja stvara isti pad napona kao i struja emitera  $I_{e2}$  na kondenzator  $C_e$ .



Slika 86.

Nadomjesna shema  $RC$ -vezanog pojačala sa otporom i kondenzatorom u emiteru

a) potpuna shema, b) izostavljen vezni kondenzator  $C_V$

zatoru  $C_e$ . Nadomjesnu shemu možemo pojednostaviti ako za vezni kapacitet uzmememo veću vrijednost, (sl. 86b). U tom slučaju nije donja granična frekvencija određena veznim kondenzatorom, već samo emiterškim kondenzatorom, čiju veličinu dobivamo iz formule

$$C_e = \frac{(\alpha_{e2} + 1)}{2\pi f_d (R'_c + R_{ue2})} \quad \dots \dots \dots \quad (31)$$

Emiterški kondenzator, koji ima zadatak da odvodi izmjeničnu struju, mora u poređenju sa  $R_e$  da ima što manji kapacitivni otpor. Njegova vrijednost iznosi u našem primjeru iz odsjeka 56, 60  $\mu F$ .

57. — Gornja granična frekvencija otpornog pojačala određena je samim tranzistorom. Vrijednost izlaznog kapaciteta u spoju sa zajedničkom bazom  $C_{ib}$  kreće se između 10 pF i 50 pF, dok je u spoju sa zajedničkim emiterom veća i iznosi od 200 pF do 2000 pF, naime  $C_{ie} = C_{ib}/1 - \alpha_b$ . Budući da je emiterški otpor  $r_e$  vrlo malen, taj kapacitet u stvari premostava potrošač, pa će pojačanje pasti za 3db, odnosno za  $1/\sqrt{2}$ -ti dio od strujnog pojačanja u srednjefrekventnom području (1000 Hz), kada je

$$\frac{1 - \alpha_b}{2\pi f_g C_{ib}} = R_p$$

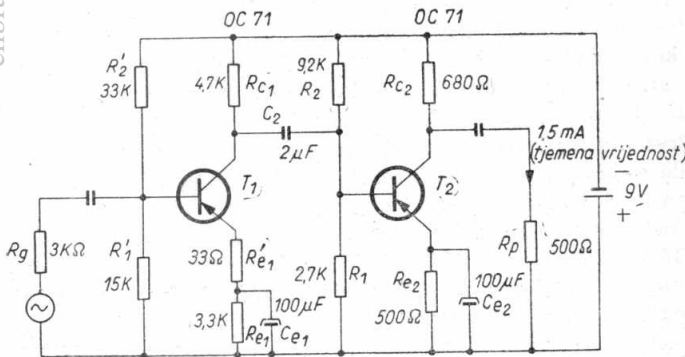
Kako tranzistor u našem slučaju radi skoro sa strujnom uzbudom, kratkospojenim izlazom, možemo računati sa  $\alpha_f$ , tj. faktorom strujnog pojačanja sa gornjom graničnom frekvencijom danom u tvorničkim podacima. Nadalje s povišenjem frekvencije pada i faktor strujnog pojačanja.

58. — Da bismo bolje prikazali faktore opisane u prijašnjim odjelicima, proračunat ćemo i proučiti način konstrukcije jednostavnog tranzistorskog pojačala malog signala (sl. 87).

Frekventno područje takvog pojačala treba da je od 50 Hz do 15 kHz, ulazni otpor 3 kΩ, tjemena vrijednost ulaznog napona 6 mV, uz

zanemarivo unutarnji otpor generatora, potrošač  $500\ \Omega$ , tjemena vrijednost napona na potrošaču  $0,75\text{ V}$  i napon baterije  $9\text{ V}$ .

Odaberimo otporno pojačalo! Broj stupnjeva dobit ćemo iz vršnih vrijednosti struja i napona. Izmjenična struja koja teče kroz potrošač treba da je, dakle,  $1,5\text{ mA}$ . Dopushtajući gubitke  $40\%$  do  $50\%$ , kolektorska struja tranzistora iznosiće  $2,5\text{ mA}$  do  $3\text{ mA}$ . Ako je faktor strujnog pojačanja  $a_e \approx 50$ , struja baze iznosi  $50\ \mu\text{A}$  do  $60\ \mu\text{A}$ . Budući da generator stvara na opteretnom otporu od  $3\text{ k}\Omega$  struju jačine  $2\ \mu\text{A}$ , moramo dodati još jedan stupanj pojačanja. Uz pretpostavku da je stupanj djelovanja  $50\%$ , kolektorska struja treba da bude između  $100\ \mu\text{A}$  i  $120\ \mu\text{A}$ , što znači da taj stupanj može raditi s malom strujom mirovanja. Upotrijebimo transistore OC 71.



Slika 87.  
Predpojačalo sa tranzistorima OC 71

Transistor OC 71 za oba stupnja pojačala. Ukupna struja kolektora tranzistora  $T_2$  iznosi približno  $3\text{ mA}$ , pa struja mirovanja tog stupnja mora da bude veća od tjemene vrijednosti izmjenične struje. Uzmimo da ona iznosi  $4\text{ mA}$ . Maksimalno pojačanje struje može se u tom slučaju postići uz uvjet  $R_{c2} = R_p \sqrt{2}$ , što se može i računski dokazati. U našem slučaju  $R_{c2}$  treba da iznosi oko  $700\ \Omega$ , pa je najbliža odabrana normirana vrijednost  $680\ \Omega$ . Struja jačine  $4\text{ mA}$ , koja teče kroz kolektorski otpor  $R_{c2}$ , izaziva na njemu pad napona približno  $-2,7\text{ V}$ , tako da je sada kolektorski napon  $-6,3\text{ V}$ . Stabilizacija radne tačke provedena je djeliteljem napona baze i otporom u emiteru prema kriteriju u odsjeku 38. Pad napona neka je  $R_e I_e = 2\text{ V}$ . Otpor  $R_e$ , izračunat iz tog uvjeta, iznosi  $500\ \Omega$ , a vrijednost kolektorskog napona sada je  $-4,3\text{ V}$ . Radni pravac ucrtan u izlaznim karakteristikama pokazuje da li je radna tačka A dobro izabrana. Otpor izmjenične struje, sastavljen od paralelnog spoja otpora  $R_p$  i  $R_{c2}$ , iznosi  $290\ \Omega$  i prolazi istom radnom tačkom. Da bi potrošačem tekla struja jačine  $1,5\text{ mA}$ , ukupna struja kolektora mora da varira između  $\pm 2,6\text{ mA}$ . U našem je primjeru tjemena vrijednost struje kolektorskog napona ne prelazi u područje napona zasićenja, dakle radna

je tačka dobro odabrana. Kad ne bi bili ispunjeni ovi zahtjevi morala bi se odabrat i nova radna tačka ili drugi radni pravac. Otpori djelitelja napona dimenzionirani su prema načinu opisanom u odsjeku 38. i njihove već odabране, normirane vrijednosti iznose  $R_1 = 2,7 \text{ k}\Omega$  i  $R_2 = 9,2 \text{ k}\Omega$ .

Otpori  $R_1$  i  $R_2$  spojeni su za izmjenični signal paralelno i premostavaju sa  $2,12 \text{ k}\Omega$  ulaz tranzistora  $T_2$ . Prema tvorničkim podacima koji su dani uz struju  $3 \text{ mA}$ , vrijednost ulaznog otpora  $h_{11e}$  iznosi za tranzistor OC 71  $800 \Omega$ . Vrijednosti ulaznih otpora za struje drugih veličina daje proizvođač u dijagramu, ili se dobivaju iz karakteristika. Uz struju  $4 \text{ mA}$  vrijednost ulaznog otpora iznosi  $640 \Omega$ . U stvari ulazni je otpor uglavnom obrnuto proporcionalan emiterskoj struci. Kako je vrijednost izmjeničnog otpora mala prema vrijednosti istosmjernog otpora, možemo računati sa  $h_{11e}$ . Uz  $\alpha_e = 50$  izlazna struja od  $2,6 \text{ mA}$  izazvana je strujom baze jačine  $52 \mu\text{A}$ , koja na ulaznom otporu stvara izmjenični pad napona  $33 \text{ mV}$ . Dodatakući struji baze struju  $15 \mu\text{A}$  koja teče kroz otpor  $R_b$ , dobivamo ukupnu ulaznu struju  $67 \mu\text{A}$ .

Prvi stupanj izvodi se na sličan način. Ukupna struja signala mora da bude najmanje  $67 \mu\text{A}$ . Odaberimo za taj stupanj kolektorsku struju mirovanja od  $1 \text{ mA}$ . Emitterski otpor potreban za temperaturnu stabilizaciju neka bude  $3,3 \text{ k}\Omega$ , a izračunati otpori djelitelja napona baze jesu  $R_1 = 15 \text{ k}\Omega$  i  $R_2 = 33 \text{ k}\Omega$ . Izmjenični kolektorski napon jednak je ulaznom naponu sljedećeg stupnja, znači  $33 \text{ mV}$ . Mali napon na kolektoru omogućuje upotrebu velikog kolektorskog otpora, bez bojazni da se dođe do napona zasićenja. Pad napona na kolektorskem otporu bit će  $9 \text{ V} - 3,3 \text{ V} - 0,5 \text{ V} = 5,2 \text{ V}$ , gdje je  $0,5 \text{ V}$  napon zasićenja, a  $3,3 \text{ V}$  pad napona na emitterskom otporu. Odatle izlazi da je vrijednost kolektorskog otpora  $R_{c1} = 5,2 \text{ k}\Omega$ , a odabrana normirana vrijednost jest  $4,7 \text{ k}\Omega$ . Ulazni otpor tranzistora  $T_1$ , koji iznosi  $1600 \Omega$ , moramo povisiti kako je traženo, na  $3000 \Omega$ . To se može postići dodavanjem serijskog otpora, ili još bolje stavljanjem nepremoštenog emitterskog otpora. Formula kojom se može približno izračunati ulazni otpor u ovom slučaju glasi

$$R_u' = h_{11e} + (1 + \alpha_e) R_{e1}' \quad \dots \quad (32)$$

gdje je  $R_u'$  povećani ulazni otpor, a  $R_{e1}'$  dio nepremoštenog emitterskog otpora.

Prema formuli dobijemo da se uz  $R_{e1}' = 33 \Omega$  ulazni otpor  $R_u'$  poveća na  $3 \text{ k}\Omega$ .

Vezne kondenzatore dimenzionirati ćemo prema odsjeku 55. Na primjer, za donju graničnu frekvenciju  $20 \text{ Hz}$  bit će  $C_2 = 1,5 \mu\text{F}$ , a emitterski kondenzator  $C_e = 100 \mu\text{F}$ .

Pri konstrukciji pojačala treba da računamo s najnepovoljnijim stanjem (temperatura, odstupanje karakteristika, itd.), da bismo osigurali tražene zahtjeve.

59. — Na kraju navedimo nekoliko formula pomoću kojih se može proračunati stupanj pojačala, koristeći  $h$ -parametre i  $T$ -parametre.

Tablica 2

	zajednički emiter	zajednička baza	zajednički kolektor
Pojačanje napona $V_u$	$\frac{\alpha_b R_p}{r_e + r_b (1 - \alpha_b)}$	$\frac{\alpha_b R_p}{r_e + r_b (1 - \alpha_b)}$	$\frac{1}{1 - \alpha_b}$
Pojačanje struje $V_i$	$\frac{\alpha_b}{1 - \alpha_b} = \alpha_e$	$\alpha_b$	$\frac{1}{1 - \alpha_b}$
Pojačanje snage $V_s$	$\frac{\alpha_b^2 R_p}{(1 - \alpha_b) [r_e + r_b (1 - \alpha_b)]}$	$\frac{\alpha_b^2 R_p}{r_e + r_b (1 - \alpha_b)}$	$\frac{1}{1 - \alpha_b}$
Ulagani otpor $R_u$	$\frac{r_b (1 - \alpha_b) + r_e}{1 - \alpha_b}$	$r_e + r_b (1 - \alpha_b)$	$\frac{R_p}{1 - \alpha_b}$
Izlazni otpor $R_i$	$\frac{R_g r_c (1 - \alpha_b) + r_e r_c}{R_g + r_b + r_e}$	$\frac{r_c [R_g + r_b (1 - \alpha_b) + r_e]}{R_g + r_b + r_e}$	$r_e + (1 - \alpha_b) (R_g + r_b)$

Približne formule za izračunavanje veličina tranzistora pomoću T parametara

Približne formule označene u tablici izvedene iz kompletnih formula mnogo su jednostavnije i dovoljno tačne za praksu. Pri nijihovom izvođenju predpostavljeno je da je  $r_c \gg r_b$ ,  $r_c \gg R_p$ ,  $R_c (1 - \alpha_b) \gg R_p$ . Da je to tačno možemo vidjeti ako uzmemmo izmjerene parametre jednog tipičnog tranzistora:  $r_b = 500 \Omega$ ,  $r_e = 30 \Omega$ ,  $r_c = 1,5 M\Omega$  i  $\alpha = 0,98$ .

Pojačanje struje:

$$V_i = \frac{i_2}{i_1} = \frac{h_{21}}{1 + h_{22} R_p}$$

Pojačanje napona:

$$V_u = \frac{u_2}{u_1} = \frac{-h_{21} R_p}{h_{11} + \Delta h \cdot R_p}$$

Pojačanje snage:

$$V_s = V_i \cdot V_u = \frac{h_{21}^2 R_p}{(1 + h_{22} R_p)(h_{11} + \Delta h R_p)}$$

Ulagani otpor:

$$R_u = \frac{u_1}{i_1} = \frac{h_{11} + \Delta h R_p}{1 + h_{22} R_p}$$

Izlazni otpor:

$$R_i = \frac{u_2}{i_2} = \frac{h_{11} + R_g}{\Delta h + h_{22} R_g}$$

Pri tome je  $\Delta h = h_{11} \cdot h_{22} - h_{12} \cdot h_{21}$ , a  $R_p$  i  $R_g$  su otpor potrošača i otpor generatora.

Vrijednost otpora  $R_p$  za optimalno pojačanje snage iznosi

$$R_p = \sqrt{\frac{h_{22} \Delta h}{h_{11}}}$$

Ove formule vrijede samo za pojačala malih signala, a mogu se koristiti jedino ako su poznati parametri u radnoj tački. Pri izračunavanju navedenih vrijednosti svejedno je radi li se o spoju sa zajedničkom bazom, emiterom ili kolektorom, jedino je potrebno uvrstiti odgovarajuće parametre. U tablici 2 dane su približne formule prema kojima se mogu izračunati karakteristične veličine pojačala sa  $T$ -parametrima.

### Niskofrekventna izlazna pojačala

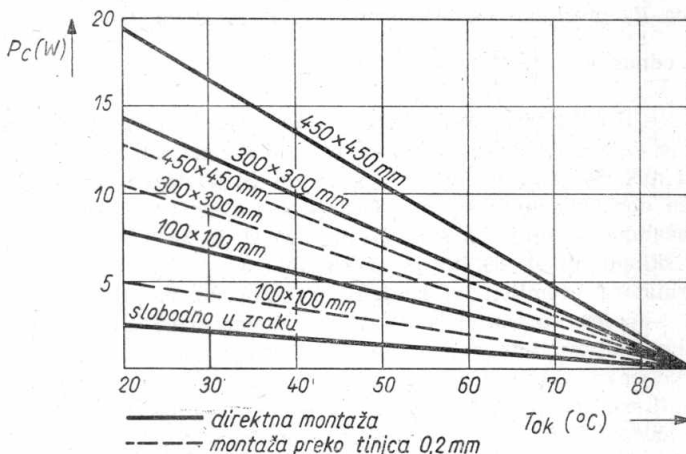
60. — Zadatak je dosada opisanih pojačala da male izmjenične signale pojačaju na vrijednost dovoljnu za pobuđivanje pojačala velikog signala — izlaznog pojačala — koje mora davati određenu snagu potrošaču.

Kod pojačala malih signala težili smo za što većim pojačanjem struje ili napona, dok se u izlaznim pojačalima mora postići što veća izlazna snaga, uz najbolji stupanj djelovanja. Osnovna su ograničenja u dobivanju snage maksimalni dopustivi gubici kolektora, maksimalna struja, maksimalan napon, napon zasićenja i preostala struja kolektora.

Maksimalna disipacija određena je hiperbolom snage ucrtane u polju izlaznih karakteristika, koja vrijedi samo za jednu određenu temperaturu spoja kolektor-baza. Disipacija ovisi o uvjetima u kojima će tranzistor biti upotrebljen. Odvođenje topline iz spoja kolektor-baza mora da bude provedeno u svim vrstama tranzistora, ali se posebna pažnja tome mora posvetiti kod izlaznih tranzistora. Neke posebne mjeru u tu svrhu, ako se radi o tranzistorima male snage (do 200 mW), nije potrebno provoditi. Tranzistori većih snaga (iznad 500 mW) imaju međutim krilca za hlađenje, ili su pričvršćeni na metalne ploče, kako bi se

poboljšali uvjeti odvođenja topline. Ako tranzistor treba da bude izoliran od metalne ploče stavlja se između njih pločica tinjca, iako je u tom slučaju zbog povećanja termičkog otpora odvođenje topline nešto lošije.

Za tranzistore većih snaga proizvođač daje dijagram, (sl. 88), u kojem se vidi ovisnost maksimalno dopustivih gubitaka kolektora o rashladnim površinama aluminijskih pločica. Pune linije vrijede za direktnu montažu, a crtežane kod izolacije pločicom tinjca debljine 0,2 mm.



Slika 88.

Ovisnost maksimalno dozvoljenih gubitaka kolektora o temperaturi okoline uz razne rashladne površine za tranzistor 2N257. Debljina aluminijskog lima 2 mm

I maksimalni kolektorski napon predstavlja ograničenje, jer iznad njegove vrijednosti struja kolektora naglo poraste, što dovodi do uništenja tranzistora. Povećanje struje iznad  $I_{c\max}$  ograničeno je, budući da se pri velikim strujama strujno pojačanje smanjuje. Napon zasićenja ograničuje područje pobuđivanja pri velikim strujama i malim naponima, dok preostala struja kolektora predstavlja ograničenje pri malim strujama.

### A-pojačalo

61. — Izlazno pojačalo sa jednim tranzistorom treba da radi u klasi A. Položaj radne tačke može se dobiti pomoću kolektorskih karakteristika kada su poznati maksimalni gubici kolektora, maksimalna kolektorska struja i maksimalan kolektorski napon. Radna tačka treba da se odabere na hiperboli snage, tako da istosmjerni napon kolektora bude jednak polovici maksimadnog inverznog napona kolektora ili manji od njega. Nagib pravca položenog tako odabranom tačkom označuje dinamički otpor pojačala, a povučen je tako da ga tačka dijeli na dvije

jednake polovine. I uz maksimalnu pobudu kolektorski napon ne smije prijeći napon zasićenja, niti smije kolektorska struja pasti ispod preostale struje kolektora. Najveći mogući stupanj djelovanja takvog pojačala jeste 50%, ali zbog gubitaka u transformatoru, napona zasićenja  $U_{ceo}$  i preostale struje kolektora  $I_{ceo}$  iznosi 25% do 48%. Dinamički otpor, određen sa  $R_d = \frac{U_{cm}}{I_{cm}}$ , gdje su  $U_{cm}$  i  $I_{cm}$  tjemene vrijednosti kolektorskog napona i kolektorske struje, u stvari je otpor potrošača  $R_p$  preslikan na primarnu stranu transformatora, čiji je prijenosni odnos  $n = \sqrt{\frac{R_d}{R_p}}$ .

62. — U izlaznim stupnjevima s jednim tranzistorom struja emitera znatno je veća od struje emitera u prepojačalima, na primjer 20 mA prema 1 mA. Stoga se u emiterski krug ne smije staviti prevelik otpor, da ne bi došlo do gubitaka u pojačanju (od  $1000 \Omega$  — koliko iznosi u prepojačalima — smije se staviti svega  $20 \Omega$  do  $30 \Omega$ ).

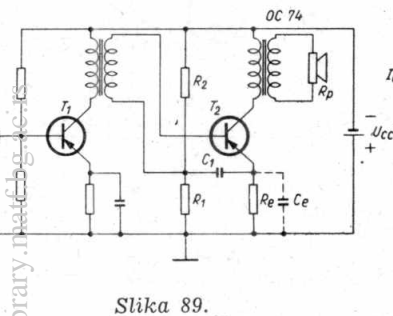
U sklopu na sl. 89. to je izbjegnuto, jer je sekundar pobudnog transformatora uzemljen za izmjeničnu komponentu preko kondenzatora  $C_1$  i spojen na emiter, tako da su izbjegnuti gubici pojačanja na emiterskom otporu i otporima djelitelja napona baze. Ovi su otpori u stvari dio opteretnog otpora izlaznog stupnja. Ovaj se način može primjenjivati sve dok je otpor emitera malen prema otporu potrošača. Ako to nije slučaj, onda se  $R_e$  premoštava kondenzatorom koji ne djeluje na donju graničnu frekvenciju, već samo smanjuje optereni otpor. Kondenzator se tako dimenzionira da je njegov kapacitivni otpor na donjoj graničnoj frekvenciji manji od otpora potrošača.

Frekventno područje takva pojačala ovisi na niskim frekvencijama o induktivitetu transformatora i njemu priključenim otporima. Uz pravilno izvedeno prilagođenje induktivitet sekundara tako je dimenzioniran, da je njegov induktivni otpor pri donjoj graničnoj frekvenciji jednak otporu potrošača. Teče li kroz transformator istosmjerna struja, on mora da ima zračni raspored. Uz više frekvencije frekventnu karakteristiku ne određuje samo tranzistor, već i rasipni induktivitet transformatora. Da se taj utjecaj ublaži, oba su sekundarna namotaja motana bifilarno.

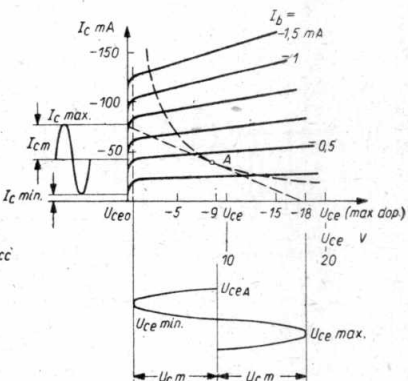
63. — Za primjer proračuna stupnja pojačala uzet ćemo sklop na sl 89, gdje je upotrebljen izlazni tranzistor OC 74, čije su izlazne karakteristike prikazane na sl. 90. Prema tvorničkim podacima maksimalni dopušteni kolektorski gubici jesu  $N_{c\max} = 330 \text{ mW}$ , maksimalna temperatura spoja uz te gubitke  $T_{os} = 75^\circ \text{C}$ , toplinski otpor  $K = 0,09^\circ \text{C/mW}$ , maksimalna temperatura okoline  $T_{ok} = 45^\circ \text{C}$ , a napon napajanja neka bude 9 V.

Istosmjerni radni pravac određen je naponom baterije 9 V i otporom\* za istosmjernu struju koji iznosi  $15 \Omega$ . Za maksimalnu izlaznu snagu radna tačka treba da leži na hiperboli snage. Ta je tačka određena

\* Otpor za istosmjernu struju sastoji se od  $R_e = 10 \Omega$  otpora u emiteru i  $R_c = 5 \Omega$  omskog otpora namotaja transformatora.



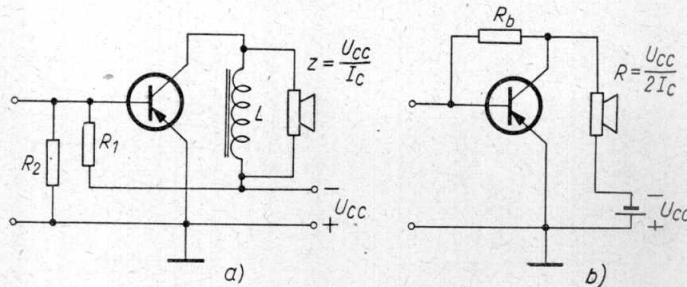
Slika 89.  
Izlazno A-pojačalo



Slika 90.  
Dimenzioniranje izlaznog  
stupnja sa tranzistorom OC 74  
vrši se pomoću prikazanih  
izlaznih karakteristika

naponom kolektora  $U_c = -8,7$  V i strujom  $I_c = -36$  mA. Tangenta položena na hiperbolu snage u radnoj tački predstavlja otpor potrošača preslikanog na primarnu stranu, pa je  $R_d = \frac{U_{cm}}{I_{cm}} \approx 240 \Omega$ . Ukoliko je potrošač zvučnik impedancije  $5 \Omega$ , prijenosni odnos transformatora iznosi  $n = \sqrt{\frac{240}{5}} \approx 7$ . U našem je slučaju  $U_{ce\ max} - U_{ceA} = U_{ceA} - U_{ceo}$ , odnosno  $U_{ce\ max} = 2 U_{cm} - U_{ceo}$  dok je zanemarivši preostalu struju kolektora,  $I_{c\ max} - I_{c\ min} = I_{c\ max} - I_{ceo} = 2 I_{cm}$ . Uz  $U_{ceo} = -0,3$  V maksimalni je kolektorski napon  $U_{ce\ max} = 17,1$  V, a struja kolektora  $I_{c\ max} = 72$  mA. Grafične vrijednosti ovih veličina jesu  $20$  V i  $300$  mA, dakle dobivene se vrijednosti nalaze u dopuštenim granicama. Korisna izlazna snaga pri punoj pobudi iznosi  $N_k = \frac{U_{cm} \cdot I_{cm}}{2} \approx 150$  mW. Kako je istosmjerna snaga  $N_{cc} = U_{cc} \cdot I_c = 325$  mW, stupanj djelovanja pri punoj pobudi jest  $\eta = \frac{N_k \max}{N_{cc}} = 46,5\%$ , što je vrlo blizu idealnom stupnju djelovanja.

64. — Bolji stupanj djelovanja možemo postići upotrijebimo li umjesto transformatora prigušnicu s visokoomskim zvučnikom, (sl. 91a), gdje gubici nastaju samo u omskom otporu prigušnice, a izbjegnuti su gubici korisne snage u transformatoru. Najpovoljniji je slučaj uz impedanciju zvučnika  $U_{cc}/I_c$ . Slijedeća varijanta izlaznog pojačala prikazana je spojem na sl. 91b, u kojem se zvučnik nalazi direktno u kolektorskog krugu. Zvučnik upotrebljen u tu svrhu treba da zbog temperaturne stabilizacije ima takav omski otpor da je pad napona na njemu jednak tačno polovici napona baterije. Ispravno prilagođenje postiže se uz impedanciju zvučnika  $U_{cc}/2I_c$ . Iako je stupanj djelovanja u tom spoju malen, svega  $25\%$ , ipak on ima izvjesne prednosti: dobru temperaturnu stabilizaciju i, zbog ispuštenog transformatora, bolju frekventnu karakteristiku.



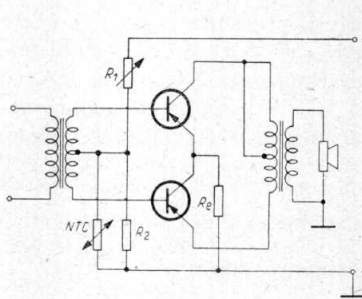
Slika 91.

Načini priključivanja zvučnika a) prigušnice i visokoomski zvučnik b) visokoomski zvučnik

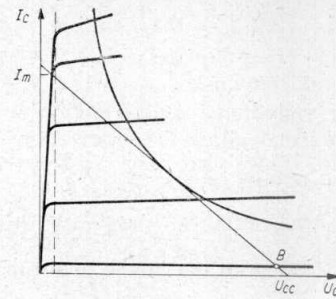
### B-pojačalo

65. — Najviše upotrebljavani spoj u izlaznim stupnjevima s tranzistorima jest protufazno B-pojačalo.

Primjena B-pojačala u izlaznim stupnjevima ima slične prednosti kao kod elektronskih cijevi: veći stupanj djelovanja nego u klasi A, znatno veću korisnu snagu, te neznatno opterećenje izvora napajanja u slučaju kada nema signala, što je upravo kod prijenosnih uređaja od izvanredna značenja. Pri analizi takva spoja obično se promatra samo jedan tranzistor, budući da oba rade u istim uvjetima. Takav stupanj s transformatorskom vezom, prikazan na sl. 92, ima veoma veliku pri-



Slika 92.  
Protufazni izlazni stupanj



Slika 93.  
Položaj radne točke pojačala u B - klasi

mjenju. Istosmjerni naponi kolektora, dobiveni preko srednjeg izvoda transformatora, gotovo su jednaki naponu baterije, jer u kvalitetnim transformatorima možemo zanemariti omski otpor namotaja. Na sl. 93 prikazana je radna tačka tranzistora u klasi B. Otpor za izmjeničnu struju između kolektora iznosi  $R_{CC} = 4R_d^*$ , jer svaki tranzistor djeluje na polovinu primarnog namotaja samo za vrijeme jedne poluperiode.

\*  $R_d$  je dinamički otpor u kolektorskem krugu  $R_d = \frac{R_p}{4n^2}$ , gdje je  $R_p$  otpor potrošača, a  $n$  prijenosni odnos transformatora.

Maksimalna izlazna snaga koja se može postići tranzistorima određena tipa ograničena je, kao i u A-pojačalu, dopuštenim kolektorskim naponom i strujom, gubicima snage i dopuštenim izobličenjima, a dana je formulom

$$\boxed{N_k = \frac{U_{ce}^2}{2 R_d} = \frac{U_{cm} \cdot I_{cm}}{2}} \quad \dots \dots \quad (33)$$

Najveći izmjenični napon kolektora nastaje pri punoj pobudi i približno je jednak dvostrukom iznosu napona izvora. Time je i napon baterije ograničen prema gore.

Tjemena vrijednost struje ovisna je o veličini otpora potrošača  $R_d$ , a iznosi  $i_{cm} = \frac{U_{cm}}{R_d}$ , gdje je  $U_{cm} = U_{ce} - U_{ceo}$  tjemena vrijednost izmjeničnog napona koji vlada na pojedinom tranzistoru, uz dopušteno izobličenje. Ako je dopuštena struja kolektora označena sa  $I_{c max}$ , mora  $R_d$  da bude veći od  $\frac{U_{ce}}{I_{c max}}$ . Pri maksimalnoj vrijednosti pobude istosmjerna snaga dobivena iz baterije jednaka je produktu napona napajanja i srednje vrijednosti struje obaju tranzistora

$$\boxed{N_{cc} = 2 U_{cm} \frac{I_{cm}}{\pi} = U_{ce} \frac{I_{cm}}{\pi}}, \quad \dots \quad (34)$$

gdje je  $\frac{I_{cm}}{\pi}$  srednja vrijednost kolektorske struje. Stupanj djelovanja\* dan odnosom tih snaga sada iznosi  $\eta = \frac{N_k}{N_{cc}} = \frac{\pi}{4} = 0,78$  ili 78%, a nešto je manji, budući da nisu uzeti u obzir  $U_{ceo}$  i  $I_{ceo}$ , te gubici koji nastaju u elementima za stabilizaciju.

Gubici u tranzistoru mijenjaju se sa stupnjem pobude i najveći su uz  $m = 0,65$ . Korisna snaga  $N_k$ , istosmjerna privredna snaga  $N_{cc}$  i stupanj djelovanja  $\eta$  dani su formulama

$$P_k = \frac{1}{2} m^2 U_{cm} \cdot I_{cm}$$

$$N_{cc} = (-U_{ce}) (-I_c) + \frac{2}{\pi} \cdot m [(-I_{c max}) - (-I_c) \cdot (-U_{ce})]$$

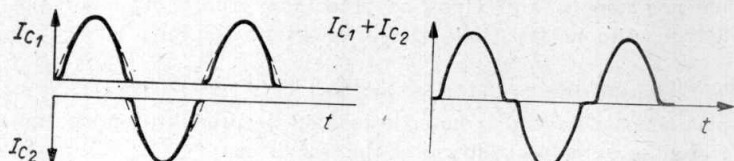
$$\eta = \frac{N_k}{N_{cc}} \approx \frac{\pi}{4} \cdot \frac{m \cdot U_{cm}}{(-U_{ce})}$$

66. — Otpor  $R_1$  predstavlja, zajedno s otporom  $R_2$ , djelitelj napona baze promjenljiv je i njime je moguće mijenjati kolektorsku struju mijenjanjem.  $R_e$  služi i ovdje za stabilizaciju radne tačke. Otpor u krugu emitera ne smije se premostiti kondenzatorom, jer bi zbog nabijanja kondenzatora došlo do pomicanja radne tačke, što bi dovelo do izobličenja signala. Razlozi su u tome što je ulazni krug B-pojačala zapravo poluvalni ispravljač koji na otporu  $R_e$  stvara istosmjeran pad napona.

\* Uzimajući u obzir  $U_{ceo}$  i  $I_{ceo}$   $\eta = \frac{\pi}{4} \left( 1 - \frac{U_{ceo}}{U_{ce}} \right)$

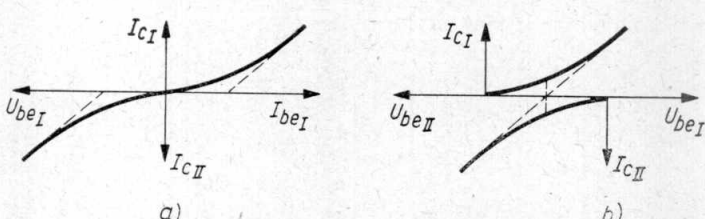
Ako je spojen kondenzator  $C_e$ , on će se nabiti na napon koji je jednak tjemenoj vrijednosti signala, pa će radna tačka pasti u C-klasu, gdje su velika izobličenja. Zbog toga se otpor  $R_e$  ne može premostiti kondenzatorom, a budući da na njemu nastaju gubici snage, njegova vrijednost, ukoliko se ne može izostaviti, mora da bude što manja. Stoga je dobru stabilizaciju moguće postići samo umetanjem NTC-otpornika u djelitelj napona baze (odsjek 41).

67. — U izlaznim B-pojačalima lako nastaju znatna nelinearna izobličenja. Čisto B-pojačalo, ako bi radilo linearno, pojačavalo bi tačno jedan poluval signala. To međutim nije slučaj. Izobličenje koje može nastati radi li pojačalo uz struju  $i_c = 0$  ( $U_b = 0$ ), prikazano na sl. 94,



Slika 94.  
Izobličenje nastalo zbog nelinearnih ulaznih karakteristika tranzistora.

uzrokovano je nelinearnim ulaznim karakteristikama tranzistora u emitorskom spoju. Pri malim signalima postaje ulazni otpor tako velik da gotovo ne teče pobudna struja, dakle ni struja kolektora. Budući da tranzistor sada radi s naponskom pobudom (vidi odsjek 70), nastat će i izobličenja koja se u takvim slučajevima pojavljuju. Ona se mogu sma-



Slika 95.  
Sastavljanje prijenosnih karakteristika kod protufaznog pojačala a) čisti B-klasa b) AB-klasa; u stanju mirovanja teče mala kolektorska struja

njiti postavljanjem pojačala u AB-klasu, gdje teče mala struja mirovanja. Sl. 95 pokazuje sastavljanje prijenosnih karakteristika tranzistora I i II u stvarnu radnu karakteristiku. Na sl. 95a dana je ta karakteristika za tranzistor uz struju mirovanja jednaku nuli (čista B-klasa), a sl. 95b prikazuje slučaj kad je napon baze tako odabran da teče mala

struja mirovanja. Prva ulazna karakteristika jako je zakriviljena u blizini radne tačke, pa nastaju znatna izobličenja, dok je druga, označena crtkano, linearna, pa je izobličenje izbjegnuto. Iz ovog slijedi da u protufaznim B-pojačalima može već pri malim izmjeničnim signalima doći do jakog nelinearnog izobličenja, dok su pri većim izmjeničnim signalima ova izobličenja manja, jer je karakteristika u dalnjem toku linearija. Ipak i kod većih kolektorskih struja može zbog smanjenja strujnog pojačanja doći do izobličenja. Taj se utjecaj može ublažiti samo negativnom reakcijom.

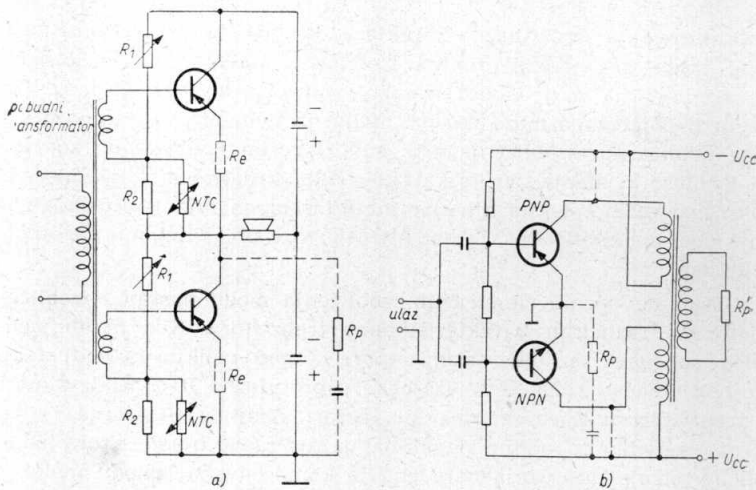
Osim navedenih simetričnih izobličenja mogu nastati i izobličenja uvjetovana različitim karakteristikama tranzistora. Kod malih signala razlog su tome različiti ulazni otpori, a kod velikih različiti faktori strujnog pojačanja. Da se to izbjegne u protufazna B-pojačala stavljuju se tranzistori u paru, kojima su faktori strujnog pojačanja i ulazni otpori pri malim pobudnim signalima, uz iste radne uvjete, skoro jednaki. Veličina struje mirovanja određena je kompromisno između malog potroška i dopuštenog izobličenja, a daje je proizvođač. Za tranzistore  $2 \times OC 74$  ona iznosi 3 do 6 mA.

Uspoređujući sva tri spoja tranzistora može se reći da su u pogledu snage i stupnja djelovanja spoj sa zajedničkom bazom i spoj sa zajedničkim kolektorom približno jednaki. Stupanj s uzemljom bazom ima, uz jednakе uvjete rada, manja izobličenja, a i manje opterećuje izvor napajanja kad nema signala. Najveću primjenu ima ipak, zbog znatno većeg pojačanja strage, stupanj s uzemljenim emitером.

68. — Zvučnik može biti vezan sa B-pojačalom na nekoliko načina: prigušnicom sa srednjim izvodom i visokoomskim zvučnikom, visokoomskim zvučnikom sa srednjim izvodom (u tom je slučaju i  $\eta$  manji) i direktno u spoju s protuparalelnim izlaznim pojačalom. Jedan slučaj protufaznog pojačala dan je u često upotrebljavanim protuparalelnim pojačalu bez izlaznog transformatora (sl. 96). U tom je sklop zvučnik direktno spojen na pojačalo u zajednički kolektorski krug tranzistora. Za izmjenično stanje tranzistori rade paralelno, dok su za istosmjerni rad spojeni u seriji. Prednost tog sklopa je u tome, što nema prijenosnog elementa, a ujedno istosmjerna struja ne teče kroz potrošač.

Iako napon napajanja ima dvostruku vrijednost prema naponu B-pojačala, ukupna je potrošnja istosmjerne snage ista, budući da kroz tranzistore teče samo pola struje. Otpor potrošača iznosi  $\frac{R_d}{4}$ , a ukupni stupanj djelovanja nešto je veći nego u direktno spojenom zvučniku.

Ne raspolažemo li baterijom sa srednjim izvodom, možemo potrošač priključiti preko kondenzatora na masu (sl. 96 — crtkana linija). Za izmjenično stanje nije se ništa promijenilo, jer za izmjeničnu komponentu baterija predstavlja kratak spoj. Nezgodna je strana tog sklopa ta što je potrebno provoditi stabilizaciju svakog stupnja posebno.



Slika 96.

a) Protuparalelno protufazno pojačalo bez izlaznog transformatora (PPP-pojačalo), b) Komplementarno izlazno pojačalo klase B; crtkano označeni spoj vrijedi kada nema izlaznog transformatora (u tom slučaju nisu emiteri spojeni na masu)

*Komplementarno pojačalo.* Postoje dvije vrste tranzistora PNP i NPN tipa. U PNP-tranzistoru nosioci struje su šupljine, dok su u NPN-tranzistoru elektroni; znači u njima teku istosmjerne struje u međusobno suprotnim smjerovima. To omogućuje izvedbu protufaznog B-pojačala u komplementarnom spoju, za čije pobuđivanje nije potrebno imati pobudne signale pomaknute u fazi za  $180^\circ$ . Na sl. 96b prikazan je sklop pojačala s takvim parom tranzistora. Za vrijeme pozitivnog poluvala vodi NPN-tranzistor, jer je dioda emiter–baza u tom slučaju polarizirana u propusnom smjeru, dok PNP-tranzistor ne provodi, jer pozitivni poluval polarizira njegov emiterski spoj u zapornom smjeru. Za vrijeme negativnog poluvala upravo je obrnuto, PNP-tranzistor propušta dok je NPN-tranzistor zakočen.

Istosmjerna struja kolektora teče kroz serijski spoj tranzistora, ali ne teče kroz potrošač.

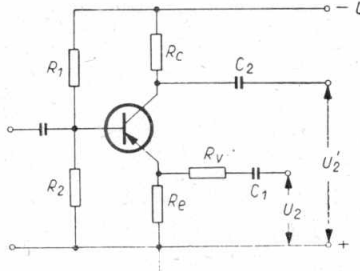
Nedostatak ovog spoja, što nijedan kraj baterije nije uzemljen može se izbjegći upotreboom baterije sa srednjim izvodom na koju se priključuje potrošač i ta se točka uzemljuje. Ovakvo pojačalo može, kao što se vidi na slici, biti izvedeno sa izlaznim ili bez izlaznog transformatora.

### Tranzistorski obrtači faze

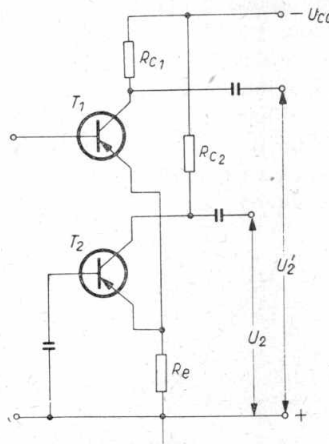
69. — Pobuđivanje izlaznog stupnja protufaznog pojačala s tranzistorima postiže se pobudnim stupnjevima koji moraju davati dovoljnu snagu za pobuđivanje tih pojačala i osigurati fazni pomak. Pobuđi-

vanje se može vršiti, što i jest čest slučaj, transformatorom sa srednjim izvodom. Ovakav je način pogodan ako želimo postići maksimalno pojačanje snage. Frekventna karakteristika u tom slučaju pri nižim frekvencijama određena je samim induktivitetom transformatora. Kako je ulazni otpor tranzistora najveći uz malu pobudu, moramo dakle u računu pobudnog transformatora uzeti u obzir ovaj otpor. To znači da induktivitet mora da bude veći nego u A-pojačalu. S obzirom na pobudu, otpor namotaja ne smije biti velik, što bi uz gornji uvjet zahtjevalo veći transformator. Radi smanjivanja utjecaja rasipnih induktiviteta pri visokim frekvencijama, oba su sekundara motana bifilarno.

Međutim, kao i u pojačalima s elektronkama, u izvjesnim su slučajevima tranzistorski obrtači\* potisnuli obrtače s transformatorom jer su manji, lakši, jeftiniji i imaju bolju frekventnu karakteristiku. Na sl. 27 prikazan je tranzistorski obrtač faze s jednakim otporima u kolektorskem i emiterском krugu, koji se često primjenjuje, a sličan je katodinskom obrtaču faze s elektronkama. Jedan napon za pobudu protufaznih tranzistora uzima se s kolektora, a drugi s emitera. Ova dva napona nisu jednaka. Ulazni otpor takova stupnja zbog nepremoštenog otpora



Slika 97.  
Obrtac faze sa jednim  
tranzistorom



Slika 98.  
Principijelna shema obrtača  
faze sa dva tranzistora

$R_e$  veoma je visok. Naime, i uz jednakе otpore  $R_c$  i  $R_e$  signal na otporu  $R_e$  bit će nešto veći, zato jer je emitorska struja ( $I_c = a_{ab} \cdot I_E$ ) veća od struje kolektora. Kako je izlazni otpor kolektora veći od izlaznog otpora smitera, potrebno je u krug veze staviti otpor  $R_V$ .

U obrtaču faze na sl. 98, izvedenom sa dva tranzistora, ulazni signal privodi se samo na bazu tranzistora  $T_1$ . Budući da je emiterski otpor zajednički za oba tranzistora, emiterска struja tranzistora  $T_1$  stvara

\* Izlaznim pojačalom iz odsjeka 68 i tranzistorskim obrtačem faze moguće je izvesti pojačalo bez transformatora.

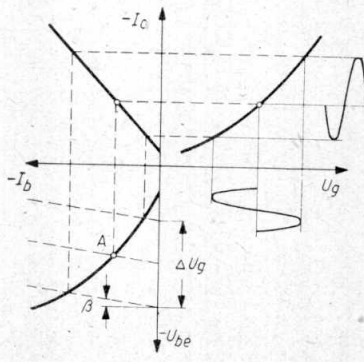
izmjenični pad napona između baze i emitera tranzistora  $T_2$ . Signal dobiven na kolektoru tog tranzistora suprotne je faze od napona na kolektoru  $T_1$ .

### Pobudivanje tranzistora

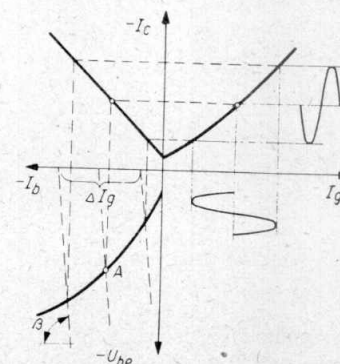
70. — Način pobudivanja u pojačalu s tranzistorima ima značajnu ulogu. Nasuprot cijevima, tranzistori imaju malen i nelinearan ulazni otpor, pa ga treba uvjek promatrati zajedno s otporom generatora, kako bi se postiglo prilagođenje uz najmanji postotak izobličenja. Postoje dva ekstremna slučaja pobude: *strujna* i *naponska*.

Ako je unutarnji otpor generatora malen prema ulaznom otporu tranzistora, možemo generator smatrati generatorom napona. Naprotiv, ako je unutarnji otpor generatora velik nasuprot ulaznom otporu, govorimo o strujnom generatoru.

Na sl. 99 prikazana je karakteristika tranzistora u spoju sa zajedničkim emiterom, i izabrana radna tačka. Pravac ulaznog dinamičkog otpora generatora  $R_g = \text{tg}\beta$ , ako je na bazu nametnut izmjenični napon, pomici se paralelno u ritmu signala oko radne tačke A. Kad je unutarnji otpor generatora veoma malen, tranzistor je naponski pobudivan; pravac radnog otpora skoro je horizontalan. Mijenja li se napon baze za  $\Delta U_g$ , doći će zbog nelinearnosti ulaznog otpora, kako vidimo na slici, do izobličenja ulazne struje, a budući da je  $i_c = a_e \cdot i_b$  nastaje i izobličenje kolektorske struje. Jedino uz veoma malu amplitudu signala ono nije veliko.



Slika 99.  
Naponsko pobudivanje  
tranzistora



Slika 100.  
Strujno pobudivanje  
tranzistora

Na sl. 100 prikazan je slučaj generatora s velikim unutarnjim otporom; radni pravac sada je skoro okomit, tranzistor je strujno pobudivan i struja se generatora mijenja za  $\Delta I_g$ . Nelinearnost ulaznog otpora

ovdje ne dolazi toliko do izražaja i zobličenja su znatno manja. Zato se većinom teži za tim da tranzistor radi sa strujnom pobudom. Međutim i kod strujnog pobudivanja dolazi do izobličenja, jer je pri većim strujama krivulja strujnog pojačanja zakriviljena, pa nastaje izobličenje izlazne struje. Ova su izobličenja ipak znatno manja nego pri naponskoj pobudi.

### Negativna reakcija

71. — Negativna se reakcija primjenjuje u tranzistorskim pojačalima za iste svrhe kao i u cijevnim pojačalima: smanjuje linearne i nelinearne izobličenja, poboljšava stabilitet pojačala, utječe na pojačanje, odnosno smanjenje ulazne i izlazne impedancije i smanjuje promjene koje nastaju zbog različitih karakteristika tranzistora, što je u tranzistorskim uredajima naročito značajno, budući da su odstupanja u karakteristikama tranzistora istog tipa vrlo velika.

Sve ove prednosti nisu međutim postignute bez ustupaka, kao što je na primjer gubitak pojačanja.

Način djelovanja negativne reakcije na svojstva pojačala znatno ovise o metodama dobivanja signala negativne reakcije iz izlaza i vraćanja na ulaz.

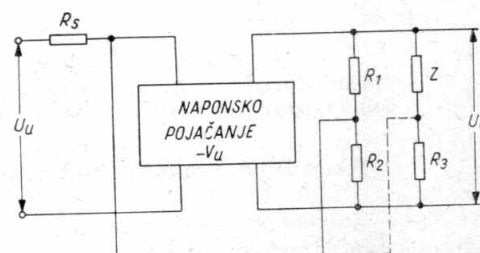
Navest ćemo osnovne vrste izvođenja negativne reakcije. To su: naponsko-naponska negativna reakcija, naponsko-strujna negativna reakcija, strujno-naponska negativna reakcija i strujno-strujna negativna reakcija.

72. — Negativna reakcija može biti dobivena iz izlaza na dva načina:

Napon negativne reakcije  $U_R$  proporcionalan je izlaznom naponu  $U_i$ ; to je naponska ili paralelna negativna reakcija. Na sl. 101 prikazan je jedan od načina dobivanja napona negativne reakcije  $U_R$  pomoću visokoomskog djelitelja napona priključena paralelno na izlaz pojačala. Otpor djelitelja ( $R_1 + R_2$ ) mora da bude mnogo veći od impedancije potrošača, da bi što manje utjecao na izlazni napon.

— Napon negativne reakcije može biti dobiven i na malom otporu  $R_3$ , priključenom u seriju s potrošačem. Proporcionalan je dakle izlaznoj struci; to je serijska ili strujna negativna reakcija. Taj je spoj prikazan na sl. 101 crtka-nom linijom.

I vraćanje napona negativne reakcije  $U_R$  na ulaz postiže se na dva načina:



*Slika 101.  
Principijelna shema dobivanja negativne reakcije iz izlaza*

— U jednom su ulazni napon  $U_u$  i napon negativne reakcije  $U_R$  paralelni; to je *naponsko ili paralelno napajana negativna reakcija*. Najjednostavnija izvedba ovakvog sklopa dana je na sl. 102a. Označimo li napon između baze i emitera sa  $U_{be}$ , možemo pisati

$$\frac{U_u - U_{be}}{R_s} + \frac{U_R - U_{be}}{R_R} = \frac{U_{be}}{R_u},$$

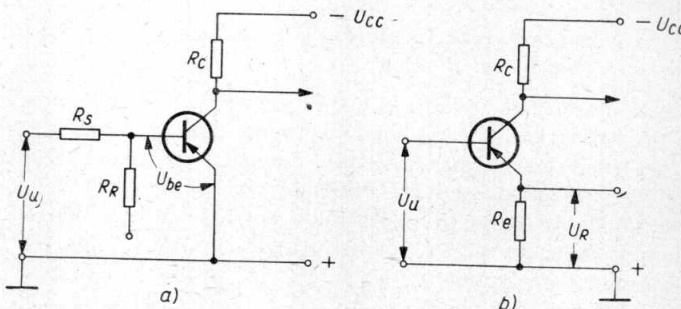
gdje je  $R_u$  ulazni otpor pojačala (paralelni spoj ulaznog otpora tranzistora i otpora stabilizacije), pa je dakle

$$U_{be} = \frac{\frac{U_u}{R_s} + \frac{U_R}{R_R}}{\frac{1}{R_s} + \frac{1}{R_R} + \frac{1}{R_u}} \quad \dots \dots \dots \quad (38)$$

proporcionalan sumi  $U_u$  i  $U_R$ , čije pak veličine ovise o otporima  $R_s$ , odnosno  $R_R$ . Reakcija će biti negativna uz uvjet da su  $U_u$  i  $U_R$  suprotna smjera.

— Napon negativne reakcije može biti priveden u seriju ulaznom naponu; to je *strujno ili serijski napajana negativna reakcija*. Karakterističan primjer pokazuje sl. 102b, gdje su  $U_u$  i  $U_R$  spojeni serijski, dok između baze i emitera djeluje njihova razlika.

Kombiniranjem ovih načina dobiju se prije navedene metode izvođenja negativne reakcije.



Slika 102.

Načini dovođenja negativne reakcije na ulaz a) paralelno negativna reakcija, b) serijska negativna reakcija

### Negativna reakcija kod jednog tranzistora

73. — Stupanj sa zajedničkim emiterom i nepremoštenim emiter-skim otporom najjednostavniji je slučaj negativne reakcije. Ovdje se radi o strujno-naponskoj negativnoj reakciji. Napon negativne reakcije, dobiven na emiterskom otporu, spojen je serijski s ulaznim signalom i povećava ulazni otpor tranzistora, jer je sada za istu struju baze  $I_b$ ,

kao u stupnju bez reakcije, potreban veći ulazni napon, i to za pad napona na emiterском otporniku.

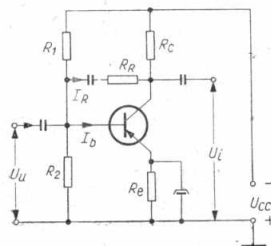
Budući da se kolektorska i emiterска struja praktički ne razlikuju, ovdje dakle s izlaznom strujom nastaje napon negativne reakcije; to je strujna negativna reakcija, koja povećava izlazni otpor pojačala. Pojednostavljenje takva stupnja iznosi

$$V_u' = \frac{V_u}{1 - \frac{V_u \cdot R_e}{a_b \cdot R_p}} \quad \dots \quad (39)$$

gdje je  $V_u$  naponsko pojačanje bez negativne reakcije, a  $V_u'$  naponsko pojačanje sa negativnom reakcijom, koje dano u uobičajenom obliku iznosi  $\frac{V_u}{1 - V_u \beta}$ . U našem je slučaju  $\beta = \frac{R_e}{a_b R_p} \approx \frac{R_e}{R_p}$ . Ulazni je otpor\* povećan za  $R_e$  ( $1 + \alpha_e$ ), pa iznosi

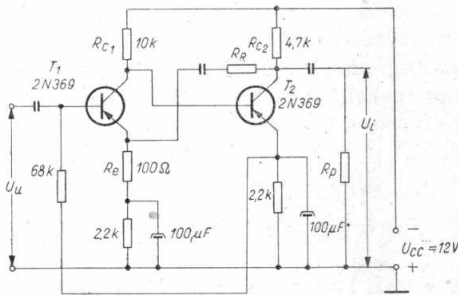
$$R_u' = R_u + R_e (1 + \alpha_e) \quad \dots \quad (40)$$

Negativna reakcija postignuta otpornikom u krugu kolektor-baza prikazana je na sl. 103. Preko otpornika  $R_b$  dovodi se u krug baze struja



Slika 103.

Negativna reakcija sa otpornikom u krugu kolektor-baza



Slika 104.

Paralelno - serijska negativna reakcija preko dva stupnja pojačala. Bez negativne reakcije uz  $R_R = \infty$  pojačanje napona  $V_u = 1400$ , ulazni otpor  $R_u = 7 \text{ k}\Omega$  izlazni otpor  $R_i = 2500 \Omega$  pri  $f = 12 \text{ kHz}$ ; uz  $R_R = 360 \Omega$ ,  $V_u = 1000$ ,  $R_u = 9 \text{ k}\Omega$  i  $R_i = 1800 \Omega$ .

\* Utjecaj nepremoštenog otpora  $R_e$  na ulazni otpor tranzistora može se vidjeti iz slijedećeg razmatranja:

Odnos struje emitera i struje baze dar je relacijom  $I_e = (1 + \alpha_e) I_b$ , dok za napon baza-emiter u tom slučaju vrijedi  $U_{be} = U_u - I_e R_e$ , gdje je  $U_u$  ulazni napon.

Ulavni otpor tranzistora jest  $R_u = U_{be}/I_b$ , dok je ulavni otpor sklopa  $R_u' = U_u/I_b$ . Odavde, dijeljenjem jednadžbe za  $U_{be}$  sa strujom  $I_b$  dobijemo da je  $R_u' = R_u + R_e (1 + \alpha_e)$ , i jasno je vidljivo da je ulavni otpor povećan za  $R_e (1 + \alpha_e)$ .

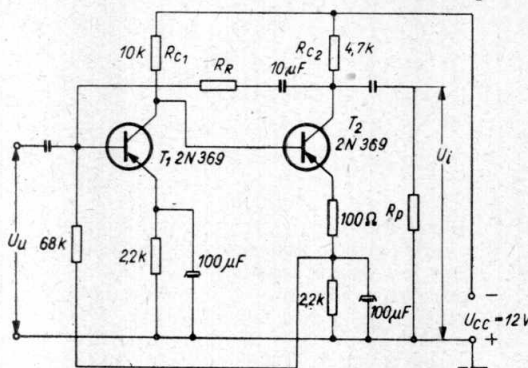
negativne reakcije, proizvedena padom napona na otporniku  $R_e$  koji je pomaknut prema ulaznom naponu za  $180^\circ$ . Ovdje se radi o naponsko-strujnoj negativnoj reakciji koja smanjuje izlazni i ulazni otpor pojačala (stabilizacija izlaznog napona je provedena, a time je dobiven mali izlazni otpor stupnja). Ulazni otpor postaje također manji, jer je za isti ulazni napon potrebna ulazna struja veća za  $I_R$ .

### Negativna reakcija preko dva stupnja pojačala

74. — Negativna reakcija provedena samo u jednom stupnju ograničena je pojačanjem takva stupnja. Mnogo je pogodnije ako je negativna reakcija provedena preko dva ili više stupnjeva. Opisat ćemo dva sklopa dvostepenog pojačala s negativnom reakcijom.

Najčešći sklop negativne reakcije preko dva stupnja vidimo na sl. 104. Budući da u dvostepenom tranzistorskom pojačalu s uzemljениm emiterom djeluje na kolektoru izlaznog tranzistora i bazi ulaznog tranzistora poluval istog predznaka, napon kolektora nije moguće dovesti direktno na bazu, jer bismo umjesto negativne reakcije dobili pozitivnu. Naprotiv, ako se napon s kolektora drugog tranzistora privede emiteru prvog, preko emiterorskog otpora baza dobije poluval suprotna predznaka, pa je sklop u negativnoj reakciji. Napon negativne reakcije iz izlaza izведен je paralelno u odnosu na izlazni napon, a serijski spojen s ulaznim naponom. Riječ je, prema tome, o paralelno-serijskoj negativnoj reakciji koja smanjuje izlazni, a povećava ulazni otpor pojačala. Na otporu  $R_e$  dobiva se reakcioni napon obaju tranzistora. Nepre-

mošteni dio emiter-skog otpora povećava, naime, također ulazni otpor pojačala, čemu se još dodaje utjecaj otpora negativne reakcije  $R_R$ . Faktor negativne reakcije  $\beta$  približno je jedank  $\frac{R_e}{R_e + R_R}$  i odavde možemo izračunati naponsko pojačanje.



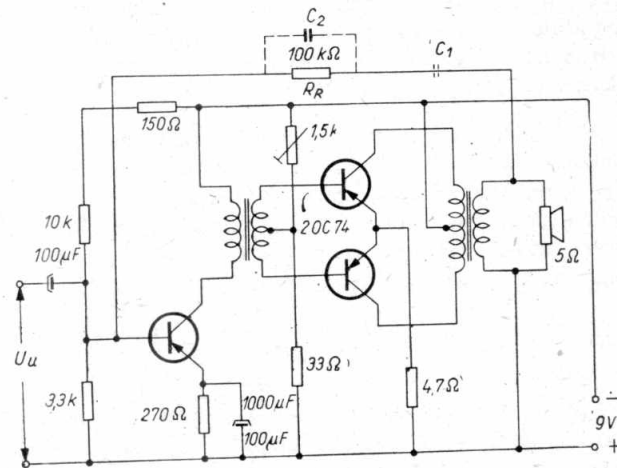
Slika 105.

Serijsko-paralelne negativne reakcije preko dva stupnja. Bez negativne reakcije uz  $R_R = \infty$ ,  $V_u = 2200$ ,  $R_u = 1850 \Omega$ ,  $R_i = 4000 \Omega$ ,  $f = 12 \text{ kHz}$ ; uz  $R_R = 11500 \Omega$ ,  $V_u = 1000$ ,  $R_u = 120 \Omega$ ,  $R_i = 4500 \Omega$

način negativne reakcije smanjuje ulazni otpor izlazni.

Na sl. 105 prikazana je serijsko-paralelna negativna reakcija preko dva stupnja pojačala. Ovaj pojačala, a povećava

75. — Budući da najveća izobličenja nastaju u izlaznom stupnju, potrebno je u petlju negativne reakcije uključiti takav stupanj. Negativna se reakcija može provesti sa sekundara ili primara transformatora. Sekundarna negativna reakcija ima, s obzirom na primarnu, više prednosti: uz isto smanjenje pojačanja postiže se veće smanjenje pri-  
gušnjeg i harmoničkog izobličenja, jer je petljom negativne reakcije obuhvaćen izlazni transformator, manji je napon bruanja, i izlazni otpor.



Slika 106.

Izlazno 1W pojačalo obuhvaćeno petljom negativne reakcije

Nezgodna je strana primjene sekundarne reakcije međutim što lako do-  
jazi do oscilacija zbog faznog zakreta koji uzrokuju rasipni induktiviteti.  
Na sl. 106 dano je izlazno protufazno pojačalo u kojem je negativna  
reakcija provedena iz sekundara izlaznog transformatora na ulaz po-  
buditog stupnja. Preko visokoomskog otpora  $R_R$  dovodi se na bazu  
pobuditog tranzistora struja negativne reakcije, proporcionalna izlaznom  
naponu. Ova negativna reakcija djeluje samo onda ako je taj stupanj  
strujno pobudivan. Kondenzator  $C_2$  sprečava nestabilnost pojačala pri  
visokim frekvencijama, dok kondenzator  $C_1$  služi za korekciju frekventne  
karakteristike pri nižim frekvencijama.

### Šum tranzistora

76. — U elektronskim uređajima šumom nazivamo neželjeni signal koji se javlja uz koristan signal. Dvije su općenite klasifikacije šumova:  
vanjski šumovi — uvjetovani atmosferskim smetnjama, iskrenjene mo-  
tora i sl., i unutarnji šumovi, koji nastaju zbog fizičkih svojstava  
upotrebljenih materijala. Šumovi u stvari ograničuju osjetljivost odgo-  
varajućeg uređaja, na primjer prijemnika ili pojačala; ako je naime  
signal slab u odnosu na šum, šum će ga maskirati.

Kvaliteta uređaja obično se izražava odnosom signal-šum na izlazu pojačala, koji se daje u decibelima i kreće se, ovisno o primjeni, između 15 dB i 60 dB i više. Isključit ćemo utjecaj vanjskih šumova i obuhvatit ćemo samo one koji nastaju u tranzistorima.

Kao i elektronke, i tranzistori unose šumove u sklopove u kojima su primjenjeni. Dok su prvi tranzistori imali u pogledu šumova slabije karakteristike, tehnologija tranzistora toliko je napredovala da se već proizvode tranzistori čiji šumovi nisu veći nego oni elektronskih cijevi. U pojačalu s niskoomskim ulazom veličine 1 kΩ šum niskofrekventnog tranzistororskog pojačala čak je manji nego u pojačalima s elektronkama.

77. — U osnovi, šumovi se tranzistora mogu svesti na ove vrsti:

— *Toplinski šum* koji se pojavljuje u otpornicima kao posljedica nepravilnog termičkog gibanja nosilaca struje u materijalu. U svakom se vodiču, pa i nespojenom, stvara naime napon šuma koji ovisi o temperaturi, širini frekventnog područja i veličini otpora  $R$ .

Veličina srednje vrijednosti kvadrata napona računa se prema formuli

$$\bar{U}_h^2 = 4 k T R \Delta f \quad \dots \dots \dots \quad (41)$$

gdje je  $k = 1,38 \cdot 10^{-23}$  Ws/°K Boltzmanova konstanta,  $R$  otpor vodiča u  $\Omega$ ,  $T$  temperatura vodiča u °K i  $\Delta f$  širina pojasa u Hz. U tranzistorima termički šum nastaje na otporu baze. Na primjer, napon šuma na otporu 1 MΩ i  $\Delta f = 4$  MHz na temperaturi 20°C iznosi 254 μV.

— Druga vrst šuma, poznata i u elektronskim cijevima, jest efekt sačme, koji kao i termički šum ima kontinuiran i jednolik frekventni spektar. On se učitjuje u fluktacijama struje kroz tranzistor, koje izazivaju neprestana kolebanja broja strujnih nosilaca između emitera, baze i kolektora, nastala zbog difuzije i rekombinacije.

— U tranzistorima je naročito značajna još jedna vrst šuma. To su šumovi iskrenja (engl. flicker), nazvani i »1/f« - šumovima, jer im je veličina obrnuto proporcionalna s frekvencijom. Napon šuma iskrenja možemo izračunati iz formule

$$\bar{U}_N^2 = k \ln \frac{f_g}{f_d} \quad \dots \dots \dots \quad (42)$$

gdje je  $k$  konstanta,  $f_g$  i  $f_d$  gornja i donja granična frekvencija promatranoj pojasa, a  $\bar{U}_N$  efektivna vrijednost napona šuma iskrenja. Proizvođači tranzistora daju podatke koji omogućuju izračunavanje  $k$ .

### Faktor šuma

78. — Kao mjerilo veličine šuma uveden je faktor šuma  $F$  i obično se daje za tranzistore koji se upotrebljavaju u predstupnjevima. Interesantan podatak za određivanje kvalitete pojačala jest odnos snage

signala prema snazi šuma dobivenog iz pojačala, koji se naziva odnosom *signal - šum*, a označava sa  $S$ . Ako su  $S_u$  i  $S_i$  ulazne i izlazne vrijednosti odnosa signal-šum, zbog šuma nastalog u pojačalu smanjiti će se  $S_i$  prema  $S_u$ . Ovo smanjenje pri određenoj frekvenciji  $f_s$  dano je pomoću faktora šuma  $F$ , koji je definiran odnosom ukupne snage  $N_{in}$  u frekventnom pojasu  $\Delta f$  kod frekvencije  $f_s$ , te izlazne snage  $N_{ir}$  u istom frekventnom području, koja rezultira od toplinskog šuma nastalog na unutarnjem otporu generatora  $R_g$ . Ako je  $V_s$  pojačanje snage, bit će  $N_{ir} = V_s N_{ur}$ , gdje je  $N_{ur}$  snaga toplinskog šuma na otporu  $R_g$ , koja ulazi u pojačalo. Kako je prema definiciji  $V_s = \frac{N_i}{N_u}$ , gdje je  $N_i$  izlazna snaga signala, a  $N_u$  ulazna, dobivamo

$$\boxed{F = \frac{N_{in}}{V_s N_{un}} = \frac{N_u/N_{un}}{N_i/N_{in}} = \frac{S_u}{S_i}} \quad \dots \quad (43)$$

*Faktor šuma je dakle jednak odnosu signal-šum na ulazu prema odnosu signal-šum na izlazu, koji su definirani za  $\Delta f$  i  $f_s$ .* U podacima provođači daju često faktor šuma koji se mjeri pri frekvenciji 1000 Hz i širini pojasa 1 Hz, a označava se sa  $F_0$ . Pored gornje definicije faktor šuma može biti izražen bilo odnosom napona, bilo odnosom kvadrata napona ili odnosom maksimalno raspoloživih snaga. (Pod maksimalno raspoloživom snagom podrazumijeva se snaga koju generator daje potrošaču u slučaju prilagođenja potrošača otporu generatora). Različite definicije faktora šuma koje se javljaju u literaturi koriste se zato, što je pojedina definicija pogodnija za određeni slučaj. Faktor šuma obično se, kao i odnos signal-šum, daje u decibelima.

Sadrži li pojačalo nekoliko stupnjeva (od kojih je svaki posebno generator šuma), čiji su faktori šuma  $F_1$ ,  $F_2$  i  $F_3$ , ukupni će faktor šuma biti

$$\boxed{F = F_1 + \frac{F_2 - 1}{V_{s1}} + \frac{F_3 - 1}{V_{s1} \cdot V_{s2}}} \quad \dots \quad (44)$$

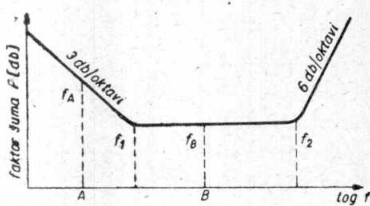
gdje su  $V_{s1}$  i  $V_{s2}$  pojačanje snage prvog i drugog stupnja. Prema formuli vidimo da je utjecaj ostalih faktora na ukupan šum malen, pa faktore šuma ostalih stupnjeva možemo, ako je  $V_{s1}$  dovoljno velik, zanemariti.

### Tranzistorski šum

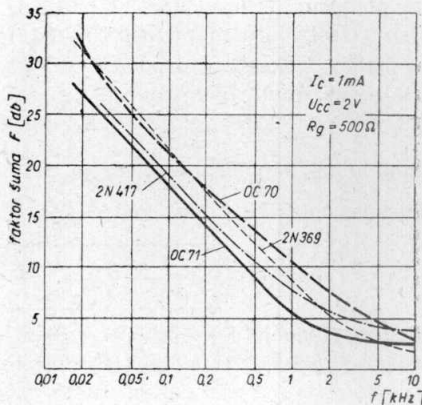
79. — Karakteristika šuma koja se može primijeniti za sva tri spoja tranzistora do frekvencije  $f_d$  ima općenito oblik prikazan na sl. 107. Tranzistorski je šum podijeljen prema frekventnom području na tri dijela.

Pri niskim frekvencijama do frekvencije  $f_1$  prevladava šum *iskrenja* ili  $1/f$ -šum, koji je obrnuto proporcionalan frekvenciji. Faktor šuma u tom području pokazuje pad približno za 3 dB po oktavi. Sl. 108, gdje

su dane karakteristike šuma za nekoliko tipova tranzistora do frekvencije  $f_1$  pokazuje međutim da taj šum varira između 3 dB i 5 dB po oktavi, pa je zakon  $1/f$  samo približan.



Slika 107.  
Spektar tranzistorskog  
šuma



Slika 108.  
Karakteristike šuma nekih tipova  
tranzistora

Iznad frekvencije  $f_1$ , koja za moderne tranzistore iznosi oko 1 kHz, »1/f« šum zanemariv je prema toplinskom šumu i efektu sačme. Granica između ta dva područja dosta je neodređena, pa frekvencija u normalnim radnim uvjetima prilično odstupa i kreće se između 1 kHz i 20 kHz, dok se za sve navedene tipove nalazi iznad 1 kHz.

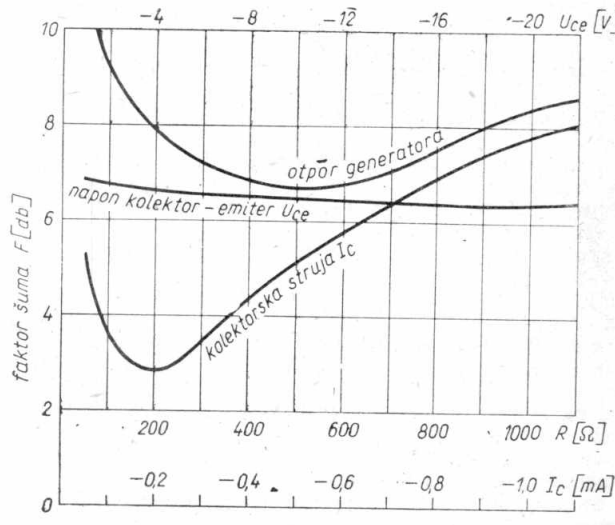
U području između frekvencija  $f_1$  i  $f_2$ , gdje  $f_2$  može iznositi od nekoliko desetaka kHz do nekoliko MHz, nivo je šuma najniži i uglavnom neovisan o frekvenciji; prevladavaju efekt sačme i toplinski šum.

Najzad pri višim frekvencijama, u području iznad  $f_2$ , efekt sačme i toplinski šum ne mijenjaju se s frekvencijom, ali se zbog smanjenja pojačanja (smanjuje se odnos signal-šum na izlazu), te zbog vremena kretanja sporednih nosilaca u području baze faktor šuma povećava.

Da bismo odredili faktor šuma nepoznatog tranzistorskog kruga i dobili karakteristiku šuma, potrebno je izmeriti faktore šuma u tačkama A i B (sl. 107). Frekvencija  $f_A$  treba da je u području šuma iskrenja, gdje su toplinski šum i efekt sačme zanemarivi, a frekvencija  $f_B$  u području između frekvencija  $f_1$  i  $f_2$ . Uz pretpostavku da faktor šuma  $f_2$  6 dB po oktavi, možemo, koristeći pri tom relaciju\*  $f_2 = \sqrt{f_{ab} \cdot f_{ae}}$ , pada u području šuma iskrenja 3 dB po oktavi, a iznad frekvencije načrtati karakteristiku šuma takva stupnja. Za komercijalne tranzistore nisu nažalost dani ovi podaci, već samo  $F_o$  ( $\Delta f = 1 \text{ Hz}$  i  $f_s = 1000 \text{ Hz}$ ). Ako je  $F > 10 \text{ dB}$ , možemo zaključiti da se radi o šumu

\*  $f_{ab}$  i  $f_{ae}$  su gornje granične frekvencije za spoj sa zajedničkom bazom, odnosno za spoj sa zajedničkim emiterom.

iskrenja, ako pak iznosi 7 dB ili manje, radi se o efektu sačme i toplinskog šuma. Faktor šuma može se izraziti i tranzistorским parametrima.



Slika 109.

Ovisnost faktora šuma o kolektorskoj struji, kolektorskem naponu i otporu generatora  $R_g$  za tranzistor 2N104

80. — Faktor šuma naglo se povećava pri višim vrijednostima kolektorskog napona  $U_c$  i kolektorske struje, dok je pri nižim vrijednostima  $U_c$  uglavnom neovisan o naponu kolektora. Isto je tako neovisan i o otporu potrošača, ali znatno ovisi o veličini pobudnog otpora generatora. Zbog toga je za postizanje minimalnog šuma u sklopu potrebno izabrati povoljne radne uvjete, znači optimalne vrijednosti za  $I_e$  i  $R_g$ .

Na sl. 109 prikazan je faktor šuma tranzistora 2N 104 u ovisnosti o emiterskoj struji  $I_e$ , kolektorskom naponu  $U_c$  i otporu generatora  $R_g$ , mjerен pri frekvenciji 12,3 kHz i širini pojasa 7 Hz. Minimalna vrijednost bit će uz struju  $I_e = 0,2$  mA, dok se iznad i ispod te vrijednosti faktor šuma povećava. Optimalna je vrijednost otpora generatora  $R_g$  oko  $500 \Omega$ , dok napon kolektora\* relativno malo utječe na veličinu faktora šuma. Za slojne tranzistore faktor šuma općenito se kreće u području od 10 dB do 30 dB, uz frekvenciju 1 kHz i  $\Delta f = 1$  Hz, dok je u području između  $f_1$  i  $f_2$  manji približno za 3 dB.

\* Utjecaj napona  $U_{ce}$  malen je zbog male vrijednosti a ovog tranzistora.

Valja naglasiti da sve tri tranzistorske konfiguracije — spojevi sa zajedničkim emiterom, zajedničkom bazom ili zajedničkim kolektorom — imaju približno istu vrijednost faktora šuma, dok je jedino spoj sa zajedničkim kolektorom u području iznad granične frekvencije nešto povoljniji.

### Pitanja

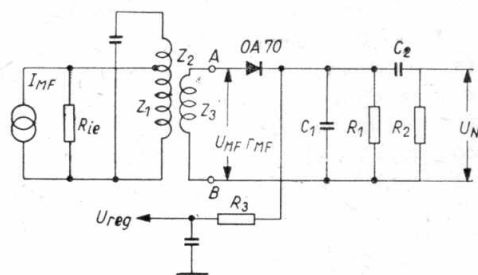
35. Kakva je razlika između statičkih i dinamičkih karakteristika tranzistora?
36. Kako se može izračunati naponsko pojačanje s faktorom strujnog pojačanja tranzistora?
37. Kod kojeg tranzistororskog spoja se postiže najveće pojačanje napona, snage, struje i zaštite?
38. Zašto spoj sa zajedničkim emiterom ima najširu primjenu. Je li to uvijek najpogodniji spoj? U koje svrhe se koriste druge konfiguracije?
39. Što određuje veličinu veznog kondenzatora u otpornom pojačalu sa RC-vezom? Zašto je vrijednost veznog kondenzatora u otpornom pojačalu sa elektronkom znatno manja nego kod pojačala s tranzistom?
40. Koji se parametri koriste pri proračunu RC-vezanih pojačala malih signalima?
41. Koji sve elementi utječu na gornju, a koji na donju graničnu frekvenciju pojačala sa RC-vezom?
42. Kako djeluje dodavanje nepremoštenog otpora u emiterski krug tranzistora?
43. Kakvi se problemi javljaju pri konstrukciji izlaznog pojačala s tranzistom?
44. Kojim se sklopom može postići veći stupanj djelovanja?
45. Do kakvih izobličenja dolazi u B-pojačalu?
46. Kakvi se obrtači faze upotrebljavaju za pobuđivanje protufaznog izlaznog stupnja?
47. Navedi načine pobuđivanja tranzistora!
48. Koja je razlika između naponsko-naponske, naponsko-strujne i strujno-strujne negativne reakcije?
49. Koja je prednost negativne reakcije preko više stupnjeva?
50. Koje se vrste šumova javljaju u tranzistorima?
51. Definiraj faktor šuma!

## Demodulatori u tranzistorskim prijemnicima

### AM demodulator

81. — Opće je pravilo da se u tranzistorskim prijemnicima upotrebljavaju kristalne (germanijeva ili silicijeva) diode za demodulaciju međufrekventnog signala. Zanemarimo li niskoomski prigušni otpor demodulatora i mali međufrekventni signal, vidimo da je demodulatorski stupanj potpunosti isti kao u prijemnika s elektronkama (AM-amplitudno moduliran signal).

Demodulatorski spoj prikazan na sl. 110 pokazao se vrlo pogodnim za primjenu. Demodulacija se vrši preko diode OA 70, koja mora ujedno da osigura snagu potrebnu za automatsku regulaciju pojačanja. Izlaz posljednjeg međufrekventnog tranzistora (OC 169) prikazan je kao strujni izvor unutarnjeg otpora  $R_{ie}$ . Dioda je opterećena uobičajenim  $RC$ -članom ( $R_1-C_1$ ). Niskofrekventni napon, dobiven na otporniku  $R_1$ , odvodi se preko kondenzatora  $C_2$  i otpornika  $R_2$  u krug baze niskofrekventnog tranzistora. Ulasak demodulatora označen je tačkama A i B. Međufrekventni titrajni krug prigušen je otporom demodulatora  $r_{MF}$ , dok je  $U_{MF}$  modulirani međufrekventni napon. Otpornik  $R_1$  predstavlja opteretni otpor za istosmjernu struju, ali ne i za izmjeničnu. Vrijednost otpora  $R_1$  određuje međutim oblik krivulje koja prikazuje prigušni otpor demodulatora  $r_{MF}$  kao funkciju diodnog napona  $U_{MF}$ , i njegova vrijednost treba da bude uglavnom neovisna o nivou signala, tako da je i opterećenje posljednjeg međufrekventnog stupnja konstantno. Bez posebnih mjera to je moguće samo za određenu vrijednost  $R_1$ . Kako je u tranzistorskim prijemnicima taj otpor općenito malen, konstantnost se otpora  $r_{MF}$  postiže davanjem prednapona diodi. Radni otpor za izmjeničnu struju, ako zanemarimo reaktancije frekventno ovisnih elemenata  $C_1$  i  $C_2$ , bit će paralelan spoj otpornika  $R_1$ ,  $R_2$  i  $R_3$  i ulaznog otpora tranzistora  $R_u$ , dakle je manji nego za istosmjernu struju. Pri tom je  $R_3$  otpornik za regulaciju. Teškoće s kojima se susrećemo pri izvedbi demodulatora nalaze se u svojstvima tranzistorskih pri-



Slika 110.  
SHEMA DEMODULATORA

jemnika. Ulazni je otpor niskofrekventnog tranzistora niskoomski i iznosi samo nekoliko kilooma, ovisno o radnoj tački i tipu tranzistora. Osim toga prijemnik radi s niskim pogonskim naponom (uvjetovanim veličinom i ekonomičnošću aparata), tako da međufrekventni signal iznosi od 50–400 mV.

Kod izvedbi demodulatora postavljeni su ovi zahtjevi:

- demodulator mora niskofrekventnom pojačalu da daje dovoljnu snagu;
- potrebno je da ima dobar stupanj djelovanja (odnos niskofrekventne snage prema dovedenoj međufrekventnoj);
- mora da ima prigušni otpor  $r_{MF}$  neovisan o veličini međufrekventnog signala;
- treba da omogući prijenos signala s većim stupnjem modulacije;
- treba da radi sa što manjim faktorom izobličenja.

### Prilagođenje

82. — Da bismo spriječili preveliko prigušenje međufrekventnog titrajnog kruga i omogućili maksimalno prenošenje snage potrebno je, kao i prije, izvesti prilagođenje impedancije, tj. uz dati tranzistor i titrajni krug postići što veći međufrekventni napon, a prema tome i veću snagu na ulazu u demodulator

$$N_0 = I_{MF}^2 \left[ \frac{a-1}{a} \right]^2 \left| \frac{r_{MF}}{\frac{1}{n} + \frac{n r_{MF}}{R_{ec}}} \right|^2 \quad \dots \quad (45)$$

gdje je  $n = \frac{z_1}{z_3}$  i  $a = \frac{Q_O}{Q_p}$  (faktor kvalitete neopterećenog kruga,  $Q_p$  — faktor kvalitete opterećenog kruga).

Maksimalni prijenos snage postiže se uz uvjet, da je prijenosni odnos

$$n = \sqrt{\frac{R_{ie}}{r_{MF}}}$$

Iz jednadžbi\*

$$r_{MF} \approx \frac{R_1}{2 \eta_{ec}} \quad \dots \quad (46)$$

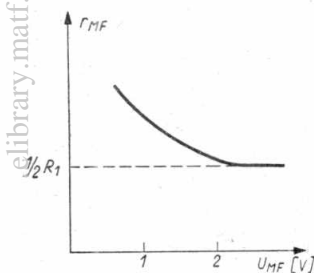
gdje je  $\eta_{ec}$  istosmjerni stupanj djelovanja, i

$$r_{MF} = \frac{U_{MF}}{2I} [1 + 91 \alpha^2 + 0,0045 \alpha^4 + \dots]$$

i dijagrama na sl. 111 očigledna je ovisnost prigušnog otpora demodulatora o međufrekventnom naponu i otporniku za istosmjernu struju  $R_1$ . Na nižim međufrekventnim naponima, to jest u području koje se

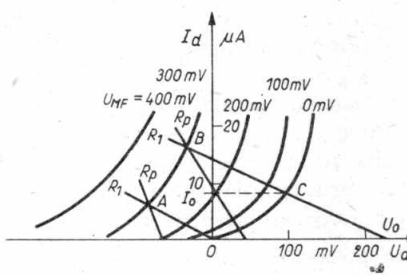
\* Kod malih ulaznih signala (oko 50 mV) vrijednost za  $r_{MF}$  u omima vrijeđi približna relacija  $r_{MF} = 0,025 I_d$ , gdje je  $I_d$  struja diode u amperima.

koristi u tranzistorskim prijemnicima, te su promjene znatne i utječu na selektivnost i širinu pojasa međufrekventnog pojačala, te na prenošenje snage. Kod većih vrijednosti napona  $U_{MF} > 2$  veličina je prigušnog otpora demodulatora  $r_{MF}$ , uz opteretni otpor od nekoliko desetaka kilooma  $r_{MF} \approx \frac{R_1}{2}$ , dok je uz signal ispod 50 mV ona dana nagibom tangente u presjecištu pravca opteretnog otpornika  $R_1$  i ispravljačke karakteristike diode, (sl. 112).



Slika 111.

Ovisnost prigušnog otpora demodulatora o međufrekventnom naponu



Slika 112.

Ispravljačke karakteristike demodulatora sa diodom OA70 kod malog međufrekventnog signala

Da bi se uz što manje izobličenje omogućio što veći stupanj modulacije, dioda OA-70 dobiva preko otpornika  $R_1$ ,  $R_8$  i  $R_9$  prednapon 0,2 V u propusnom smjeru, sl. 120.

Na sl. 112 dane su ispravljačke karakteristike germanijeve diode OA 70 za područja visokofrekventnog napona od 0—400 mV.

Na tom su području ispravljačke karakteristike nejednoliko razmaknute. Radni otpor za izmjeničnu komponentu sastoji se, ako zanemarimo frekventno ovisne elemente od paralelnog spoja unutarnjeg otpora tranzistora  $R_u$  i,

$$R_P = \frac{R_1 R_2 R_3}{R_1 R_2 + R_1 R_3 + R_2 R_3} = 3,3 \text{ k}\Omega$$

Pogledajmo najprije rad demodulatora bez prednapona diode!

Uz pretpostavljenu radnu tačku A i  $U_{MF} = 300 \text{ mV}$  možemo ići na stupanj modulacije samo do 30%, jer će uz dati  $R_p$  kod većeg stupnja modulacije doći do rezanja vrhova signala. Uz prednapon na diodi pravac radnog otpora  $R_1$  pomaknut će se udesno za vrijednost prednapona, pa uz isto opterećenje i  $U_{MF}$  ne dolazi do rezanja vrhova ni pri stopostotnoj modulaciji. Kako je prigušni otpor demodulatora uz male signale dan nagibom tangente na karakteristici, može se pogodno odabranim prednaponom diode i otpornikom  $R_2$  postići to da

je  $r_{MF} \approx \frac{1}{2} R_1$  uglavnom neovisan o međufrekventnom naponu  $U_{MF}$ .

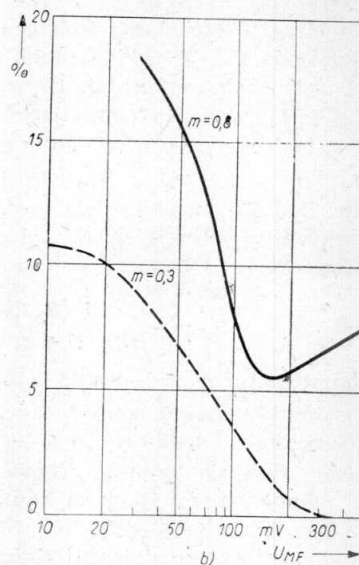
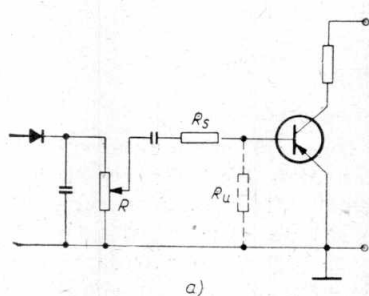
Maksimalni stupanj modulacije, kod kojeg je izobličenje još zane-marivo, ovisi o odnosu otpora  $R_p$  i otpora  $R_1$ , dakle o  $\frac{R_p}{R_1}$  i o unutarnjem otporu generatora  $R_g$ .

Ovisnost stupnja modulacije o ovim veličinama dana je približnom formulom

$$m_{\max} = 1 - \frac{\eta_{cc} (1 - R_p/R_1)}{1 + 2\eta_{cc} R_g/R_2}. \quad \dots \quad (47)$$

Iz ovoga se vidi da će  $m_{\max}$  biti veće uz veće vrijednosti  $R_p$  i  $R_g$ . Veća se vrijednost  $R_g$  postiže spajanjem posljednjeg međufrekventnog tranzistora s demodulatorom preko jednostavnog titrajnog kruga. Otpor za izmjeničnu struju može biti povećan spajanjem niskofrekventnog stupnja i demodulatora s transformatorom, ili negativnom reakcijom, na primjer nepremoštenim emiterškim otporom. Češće se međutim primjenjuje sklop prikazan na sl. 113a, gdje je otpor  $R_s$  spojen u seriji s ulazom tranzistora. Otpor za izmjeničnu struju demodulatora povećan je dakle i iznosi  $\frac{(R_s + R_u) \cdot R}{R_s + R_u + R}$ .

Ako je otpor  $R_s$  velik u odnosu na ulazni otpor tranzistora  $R_u$ , detektor je u stvari izvor konstantne struje koji poboljšava linearnost pojačala. Međutim, s druge strane dolazi na tom otporu do gubitka snage.



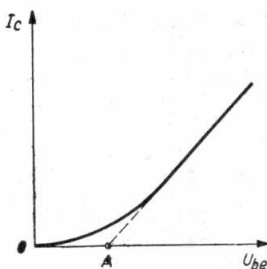
Slika 113.

- a) Povećanje ulaznog otpora tranzistora postiže se dodavanjem otpornika  $R_s$ , b) Ovisnost faktora izobličenja demodulatora o međufrekventnom naponu uz stupanj modulacije kao parametar

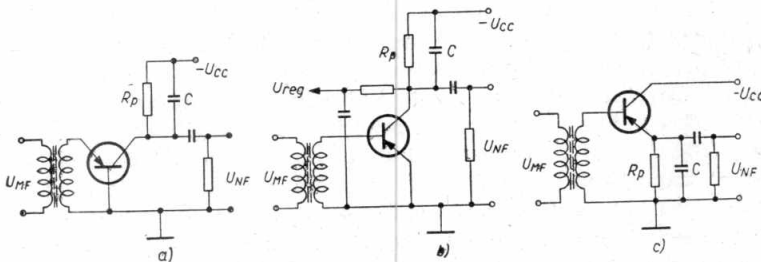
83. — Za dobru reprodukciju niskofrekventnog signala potrebno je da signal, koji dolazi na niskofrekventni ulaz pojačala, bude što manje izobličen. Razlozi zbog kojih nastaje nelinearno izobličenje u demodulatoru već su spomenuti — nejednoliki razmaci ispravljačkih karakteristika, što osobito dolazi do izražaja kod većeg stupnja modulacije, i položaj radnog pravca  $R_p$ . Zbog toga je regulacija glasnoće izvedena na način prikazan na sl. 113a. Najpogodniji bi slučaj bio uz  $R_p = R_2$ , to jest faktor izobličenja bi kod nižih nivoa glasnoće bio manji. Ali zbog otpornika u krugu regulacije i otpornika u emiteru taj se slučaj ne može postići. Kako je međufrekventni napon na demodulatoru između 50 i 250 mV, prednapon na diodi odabran je tako da je izobličenje u tom području najmanje. Važno je napomenuti da visokofrekventni naponi ne smiju pasti ispod 50 mV, jer u tom slučaju dolazi do kvadratne detekcije, gdje su izobličenja znatno veća. Uz male signale faktor je izobličenja zbog toga približno jednak četvrtini stupnja modulacije, no već iznad četrdesetpostotne modulacije veći je od deset posto. Na sl. 113b mjerjenjem su dobivene krivulje ovisnosti izobličenja o međufrekventnom naponu za različite stupnjeve modulacije.

### Tranzistorски demodulator

84. — U nekim su slučajevima promjene amplitude ulaznog signala veoma velike i diodni demodulator ne daje dovoljnu snagu za efikasnu automatsku regulaciju pojačanja. Istosmjerno pojačalo potrebno za tu svrhu može se izbjegći upotreboom demodulatora s tranzistorima. U takvim demodulatorima ispravljačko djelovanje vrši dioda emiter-baza. Na sl. 114, gdje je dana prijenosna karakteristika tranzistora,  $U_A$  označava prednapon diode koji je za germanijeve tranzistore veoma malen, a ponekad može biti i jednak nuli. Demodulatorima s tranzistorima dobiveno je u spoju sa zajedničkim emiterom i zajedničkom bazom kao na sl. 115a



Slika 114.  
Prijenosna karakteristika tranzistora



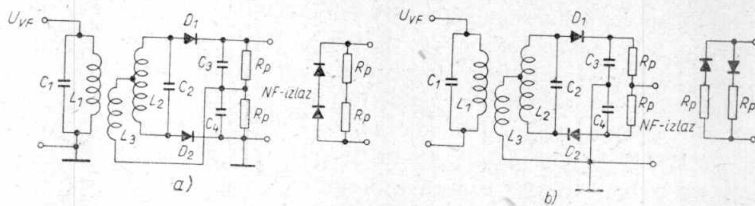
Slika 115.  
Tranzistorски detektori a) u spoju sa zajedničkom bazom,  
b) zajedničkim emiterom c) zajedničkim kolektorom

i 115b, istosmjerno pojačanje u kolektorskem krugu. Sklop s tranzistorom u spoju sa zajedničkim kolektorom nema naponsko pojačanje, ali se zbog male izlazne impedancije i malog izobličenja signala primjenjuje u specijalnim slučajevima. Krug za automatsku regulaciju pojačanja (ARP) prikazan je samo za tranzistor u spoju sa zajedničkim emiterom, a lako se izvodi i za druge spojeve. Izobličenja demodulatora tranzistora obično su veća od onih kod dioda, pa stoga nemaju veću primjenu.

### FM demodulator

85. — Demodulator FM signala (frekventno moduliran signal) veoma je važan dio FM prijemnika. Kao i u AM prijemu (amplitudno moduliran signal), demodulator mora i u FM prijemu da izdvoji tonfrekventne signale iz moduliranog visokofrekventnog vala.

Zbog prednosti koje imaju u odnosu na ostale FM demodulatore, danas se isključivo koriste demodulator faznog kuta i ratio-detektor. Upoznat ćemo se ukratko s njihovom primjenom u tranzistorским prijemnicima. Diode u diskriminatorima germanijeve su diode, kojih se dinamički kapacitet mijenja malo s promjenama ulaznog signala (diode OA 172 i OA 79). One su uvijek izabrane u parovima, pa su im električke karakteristike slične. Ipak, da bi se smanjila odstupanja u karakteristikama, stavljaju se u seriju s diodama mali otpori (od 100 do 300  $\Omega$ ).



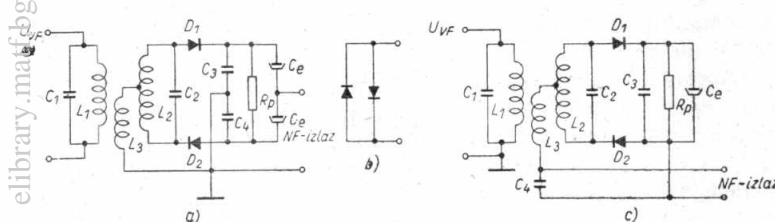
Slika 116.

a) Shema faznog diskriminatora i ekvivalentan krug za NF izlazni otpor, b) shema ratio detektora i ekvivalentni NF krug

Na sl. 116a i 116b prikazan je spoj ratio-detektora i faznog diskriminatora. Primarni se napon prenosi bez faznog pomaka u diskriminatorski krug preko svitka  $L_3$ , koji je čvrsto vezan s primarnim svitkom. Osjetljivosti oba sklopa, uz manje vrijednosti ulaznog signala, uglavnom su iste; pri višim nivoima međutim fazni je diskriminator mnogo osjetljiviji. No nezgodna mu je strana velika osjetljivost na amplitudne promjene signala. Signal koji dolazi u fazni diskriminator mora dakle da bude potpuno amplitudno ograničen. Do najveće primjene ratio-detektora došlo je zahvaljujući upravo činjenici da osim dobrih svojstava faznog diskriminatora (lako ugađanje i jeftina izvedba), posjeduje on i svojstvo ograničavanja amplituda visokofrekventnog signala. Osjetljivost ratio-detektora može se povećati izvedbom prikazanom na sl. 117a, u kojoj serijski spojeni elektrolitski kondenzatori premoštavaju otpor-

nik  $R_p$ . Na taj je način smanjen niskofrekventni izlazni otpor diskriminatora. Ova shema vrijedi i za nesimetrični sklop. Ograničavanje amplituda u ratio-detektoru bolje je uz konstantan prigušni otpor diode  $r_{MF}$ . To se i ovdje postiže davanjem pozitivnog prednapona diodama.

Na sl. 118 prikazan je praktički spoj ratio-detektoru i pobudnog stupnja.

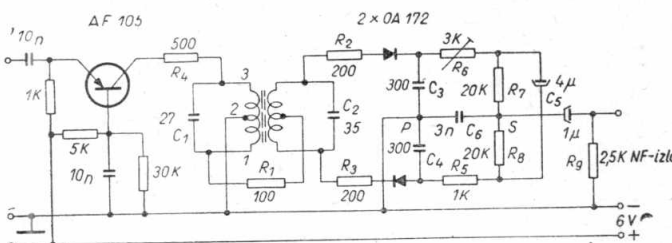


Slika 117.

- a) Simetrični ratio-detektor, b) niskofrekventni izlaz, c) nesimetrični ratio-detektor

U međufrekventnom stupnju pojačala koji napaja ratio-detektor potpuno se iskorištava pobudno područje tranzistora, dakle tranzistor radi kao pojačalo velikog signala.

Pobudni stupanj izведен ovdje s tranzistom AF 105 radi u spoju sa zajedničkom bazom uz emitersku struju 0,6 mA. Opteretni otpor



Slika 118.  
Ratio-detektor s pobudnim stupnjem

treba da u slučaju prilagođenja bude približno  $7 \text{ k}\Omega$ . Da bi se osiguralo što bolje ograničenje amplitude visokofrekventnog signala, sumarni istosmjerni napon na elektrolitskom kondenzatoru  $C_5$  treba da budu što viši.

I jedan i drugi zahtjev postižu se odvojcima na zavojnici primarnog titrajnog kruga, u odnosu 2 : 3. Dakle samo se jedan dio zavojnice nalazi u krugu kolektora, a s određenom veličinom kapaciteta  $C_1$  postiže se  $R_p = 7 \text{ k}\Omega$ .

Primarni napon prenosi se s dijela svitka  $L_{1-8}$  u krug demodulatora preko otpornika  $R_1$ . Niskofrekventni napon uzima se s tačaka

$S$  i  $P$ , dok kondenzator  $C_6$ , koji je u stvari priključen paralelno na ulaz, služi za sruštanje visokih tonova.

To ćemo shvatiti odmah iz ovog izlaganja. Najveći dio šuma u prijemniku leži u području iznad 5 kHz. Kod FM-prijema upravo su u tom području korisni signali malih amplituda, pa će se uz signale viših frekvencija čuti i šum. Ovo se rješava jednostavnim načinom: u odašiljaču se prije modulacije izdižu visoki tonovi (preemphasis), a u prijemniku će nakon demodulacije visoki tonovi biti na isti način srušteni (deemphasis).

Otpornik  $R_4$  u kolektorskom krugu služi i ovdje za sprečavanje skoka napona (vidi odsjek 95). Uz napon napajanja 6V može se postići efektivna vrijednost kolektorskog izmjeničnog napona najviše 3,5 V. Znači da nije potrebno posebno ograničenje međufrekventnog napona. Otpornik  $2,5 \text{ k}\Omega$  predstavlja ulazni otpor niskofrekventnog stupnja.

### Pitanja

52. Kako se izvodi demodulatorski spoj u tranzistorskim prijemnicima? Zašto se taj sklop razlikuje od onog u prijemniku sa elektronkama?
53. Zašto ratio-detektor ima veću primjenu nego drugi FM-demodulatori?

### Visokofrekventna tranzistorska pojačala

#### Međufrekventno tranzistorско појачало

86. — Ponašanje tranzistora pri visokim frekvencijama opisano je u odsjeku 28. gdje je dana i njegova ekvivalentna shema.

U tranzistorskim prijemnicima najčešće se primjenjuju visokofrekventna pojačala u međufrekventnim stupnjevima. Promatranja su u međufrekventnom i visokofrekventnom pojačalu ista, ali je potrebno spomenuti da je u visokofrekventnom pojačalu frekventno područje šire, tranzistor radi blizu granične frekvencije, pa su i uvjeti kritičniji nego u međufrekventnom pojačalu.

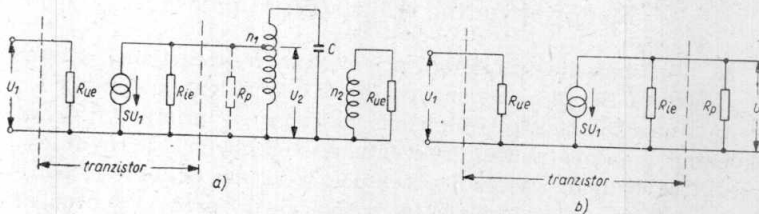
Pojačanje snage po stupnju pada s porastom frekvencije, tako da u blizini granične frekvencije nema istu vrijednost kao za međufrekvenciju. Pored toga dolazi i do frekventno ovisnog povratnog djelovanja izlaza na ulaz, što može dovesti do oscilacije stupnja, ukoliko se ne provede neutralizacija.

Izvedba međufrekventnog pojačala ovisi o traženoj selektivnosti, pojasnoj širini, osjetljivosti i stabilnosti, a to je pak uvjetovano primjenjenim međufrekventnim titrajnim krugovima. O tome da li su upotrebljeni pojasci filtri ili jednostavni titrajni krugovi, ovisi selektivnost i potrebna osjetljivost pojačala. S pojascim filtrom u kritičnoj vezi širina je pojasa znatno povećana prema onoj u jednostavnom titrnom krugu uz istu selektivnost, ali je zato s međufrekventnim pojascim filtrom pojačanje manje. Kvalitetniji prijemnici grade se općenito s pojascim filtrima, dok se minijaturni prijemnici i prijemnici slabijeg kvaliteta grade s jednostavnim titrajnim krugovima.

Međufrekventno pojačalo s jednostavnim titrajskim krugom

87. — Međufrekventno pojačalo mora da daje što veće pojačanje, uz potrebnu selektivnost i određenu širinu pojasa. Ako se radi o tranzistoru kao elementu međufrekventnog pojačala, treba da se uzmu u obzir njegova svojstva. To je u prvom redu razlika između ulaznog i izlaznog otpora, kao i to da su te vrijednosti male prema rezonantnom otporu titravnog kruga. Uz to, kao i kod međufrekventnog pojačala s elektronkama, moramo voditi računa o ulaznom i izlaznom kapacitetu, koji se pribrajaju kapacitetu titravnog kruga, i o utjecaju unutarnjeg otpora tranzistora na kvalitet kruga, a time i na selektivnost i širinu pojasa pojačala. Zbog velike ovisnosti karakterističnih veličina o emiter-skoj struji potrebno je također stabilizirati radnu tačku i izvesti temperaturnu stabilizaciju.

Svojstva međufrekventnog stupnja mogu se promatrati na nadomjesnoj shemi tranzistora, sl. 119a. Ta shema vrijedi u slučaju kad nema povratne veze, to jest kad je izvršena neutralizacija. Kako tranzistor troši za pobudu snagu, potrebno je raditi s pojačanjem snage. Maksimalno pojačanje dobije se uz idealno prilagođenje, to jest ako je otpor potrošača jednak unutarnjem otporu izvora. Uz poznate karakteristične



Slika 119.

- a) Nadomjesna shema međufrekventnog stupnja sa titrajnim krugom,  
b) nadomjesna shema optimalnog prilagođenja snage

veličine tranzistora (ulazni otpor  $R_{ue}$ , izlazni otpor  $R_{ie}$  i strmina  $S^*$ ) može se za slučaj na sl. 119b izračunati pojačanje snage. Određivanjem jednadžbe za snagu dobije se

$$\text{Ulagana snaga} \quad N_u = \frac{U_1^2}{R_{ue}} \quad \dots \quad (48)$$

$$\text{Izlazna snaga} \quad N_i = \frac{U_2^2}{R_p} \quad \dots \quad (49)$$

Budući da je kolektorska struja  $i_c = SU_1$ , ona na opteretnom otporu  $R_p$  i  $R_{ie}$  daje napon  $U_2$ . Uz  $R_p = R_{ie}$  dobije se na  $R_p$  optimalna snaga. Tada je pojačanje snage

$$V_s = \frac{|S|^2 R_{ie} R_{ue}}{4} \quad \dots \quad (50)$$

Za ovaj je slučaj pojačanje snage ovisno samo o karakteristikama tranzistora. Optimalno pojačanje snage u realnom slučaju, sl. 119a, dobit će se prilagođenjem otpora ulaznog i izlaznog kruga, koje se izvodi pomoću odvojaka na zavojnici titrajnog kruga potrebnog za postizanje određene širine pojasa i selektivnosti. Kako i sam krug ima gubitke predstavljene paralelnim otporom  $R_0$ , tranzistor neće svu snagu dovesti potrošaču, već će se jedan dio trošiti u titrajnom krugu, i pojačanje se prema jednadžbi (50) ne može postići.

Prilagođenje izlaznog otpora  $R_{ie}$  prvog tranzistora na ulazni otpor drugog izvodi se prijenosnim odnosom, pri čemu vrijedi

$$\frac{R_{ie}}{n_{s1}^2} = \frac{R_{ue}}{n_{s2}^2}$$

\* Strmina  $S$  jest vodljivost dana odnosom izlazne struje prema ulaznom naponu uz kratko spojene izlazne stezaljke. Označava se još i sa  $y_{21}$  i  $y_{fe}$ .

gdje je  $n_1$  odnos broja zavoja odvojka kolektora prema ukupnom broju zavoja, a  $n_2$  odnos sekundarnog odvojka prema ukupnom broju.

Kako oba transformirana otpora leže paralelno rezonantnom otporu titrajnog kruga, smanjuju mu faktor kvalitete. Rezonantni će otpor prema tome biti jednak njihovoj paralelnoj kombinaciji

$$R = \frac{R_0 + R'}{R_0 R'}$$

gdje je  $R_0$  rezonantni otpor neopterećenog kruga, a

$$R' = \frac{1}{2} \frac{R_{ie}}{n^2_1}$$

Iz gornje jednadžbe dobije se prijenosni odnos

$$\boxed{n^2_1 = \frac{1}{2} \frac{R_{ie}}{R} \left( 1 - \frac{R}{R_0} \right)} \quad \dots \quad (51)$$

Vidimo da je  $R_p = n^2 R$  opteretni otpor tranzistora. Prema tome će pojačanje snage biti

$$\boxed{V_s = \frac{S^2}{4} R_{ie} \cdot R_{ue} \left( 1 - \frac{R}{R_0} \right)^2} \quad \dots \quad (52)$$

Poznato je da je uz konstantan kapacitet kruga širina pojasa  $B$  obrnuto proporcionalna rezonantnom otporu, pa se jednadžba za pojačanje može pisati

$$\boxed{V_s = \frac{S^2}{4} R_{ie} \cdot R_{ue} \left( 1 - \frac{B_0}{B_1} \right)^2} \quad \dots \quad (53)$$

gdje je  $B_0$  širina pojasa samog kruga, a  $B_1$  željena širina pojasa. Dakle, s priključenim titrajnim krugom pojačanje se snage smanjuje za faktor

$$\left( 1 - \frac{B_0}{B_1} \right)^2$$

Ako je prijenosni odnos jednak jedinici, može se izračunati kapacitet kruga

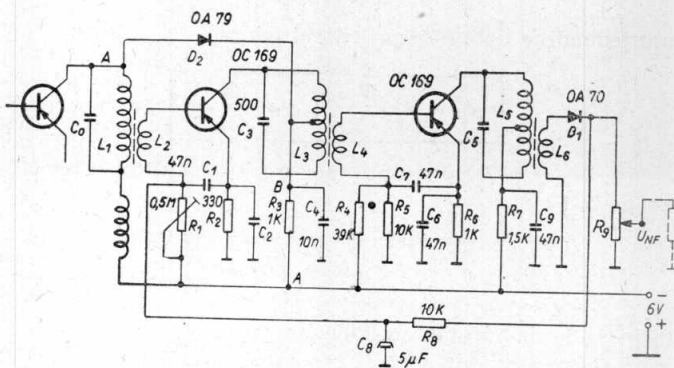
$$\boxed{C = \frac{1}{R_{ie} \cdot B_1 \left( 1 - \frac{B_0}{B_1} \right)}} \quad \dots \quad (54)$$

Sastoji li se međufrekventno pojačalo od više stupnjeva, pojasna širina  $B_1$  dobiva se iz ukupne širine pojačala  $B_{uk}$ .

$$B_1 = \frac{B_{uk}}{\sqrt[n]{\sqrt[2]{2} - 1}}$$

gdje je  $n$  broj međufrekventnih krugova.

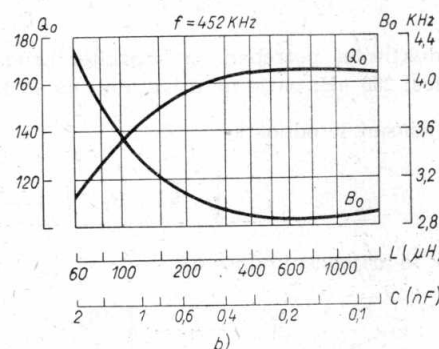
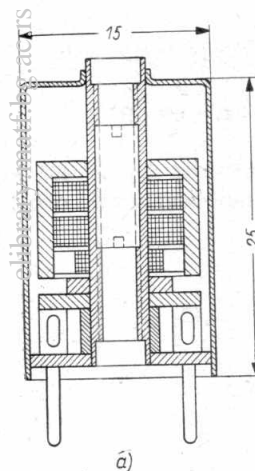
88. — Na sl. 120 izvedeno je dvostepeno međufrekventno pojačalo s tranzistorima OC169, koje sadrži tri međufrekventna titrajna kruga. Pomoću sekundarnih zavojnica  $L_2$ ,  $L_4$  i  $L_6$  izvedeno je prilagođenje otpora između ulaznih i izlaznih krugova ovih tranzistora i diode demodulatora. Da bi se smanjilo prigušenje krugova, izvedeno je odvojcima na zavojnicama drugog i trećeg titrajnog kruga prilagođenje izlaznog otpora tranzistora i rezonantnih otpora titrajnih krugova. Korištenjem relativno velikih kapaciteta međufrekventnih titrajnih krugova ( $C_0$ ,  $C_3$ ,  $C_5$ ) i upotreboom drift-tranzistora pojačalo radi tako stabilno da neutralizacija nije potrebna.



Slika 120.

Dvostepeno međufrekventno pojačalo s tranzistorima OC169; međufrekvencije 452 kHz i dvostrukom automatskom regulacijom pojačanja

Pojačalo ima međufrekvenciju 452 kHz. Oba stupnja stabilizirana su djeliteljem napona baze i otporom u krugu emitera. Visokofrekventni krug baze, odnosno kolektora, spojen je preko kondenzatora  $C_1$ ,  $C_4$ ,  $C_7$  i  $C_9$  na masu, dok su otpori emitera premošteni konzatorima  $C_2$  i  $C_6$ . Budući da su krugovi baze i kolektora niskoomski, kondenzatori za blokiranje vrše fazna zakretanja koja mogu dovesti do nestabilnog rada pojačala. Takve se pojave mogu odstraniti pokusnim biranjem vrijednosti tih kapaciteta. Na prvi stupanj dovodi se bazi napon regulacije, dok drugi ima fiksani prednapon. Međufrekventni »transformatori« izvedeni su kao titrajni krugovi kako bi se dobilo što veće pojačanje, jer su gubici u njima manji nego kod pojasnih filtera. Međutim zbog male konstrukcije aparata može doći do povratne veze između antenskog i posljednjeg međufrekventnog kruga, zbog čega dolazi do osciliranja na pojedinim frekvencijama unutar valnog područja. Da bi se smanjilo rasipno magnetsko polje upotrebljavaju se međufrekventni krugovi s lončastom jezgrom, npr. tipa D 21A (Vogt). Izvedba kruga pokazana je na sl. 121a. Namotaj smješten u utore potpuno je oklopljen feritnim loncem. Visokopermeabilnom jezgrom unutar zavojnice



Slika 121.

a) Medufrekventni titrajni krug D21A (Vogt), b) Dijagrami prikazuju obisnost faktora kvalitete  $Q_o$  i širine pojasa  $B_o$  o induktivitetu i kapacitetu

Za primjer na slici izvest će-  
mo proračun:

Tranzistor OC 169 u spoju me-  
dufrekventnog pojačala ima  
ove podatke:

$$\text{strmina } S = 30 \text{ mA/V}$$

$$\text{ulazni otpor } R_{ue} = 1,6 \text{ k}\Omega$$

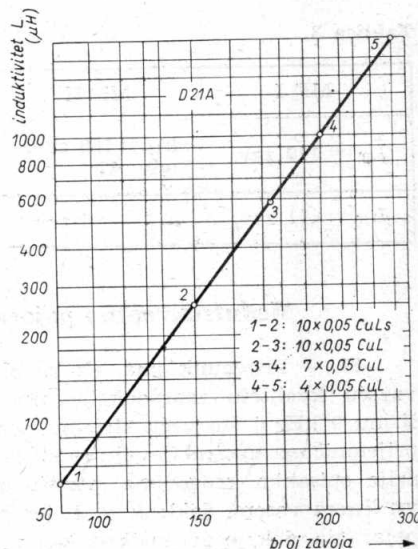
$$\text{izlazni otpor } R_{ie} = 18 \text{ k}\Omega$$

$$\text{ulazni kapacitet } C_{ue} = 90 \text{ pF}$$

$$\text{izlazni kapacitet } C_{ie} = 5 \text{ pF}$$

Kod dvostepenog pojačala  
sa tri titrajna kruga širine po-  
jasa  $B_{uk} = 6 \text{ kHz}$ , širina po-  
jasa svakog stupnja jest

$$B_1 = \frac{B_{uk}}{\sqrt{\frac{n}{\sqrt{2}-1}}} = 11,8 \text{ kHz}$$



Slika 121.  
c) dijagram namatanja

Faktor je kvalitete zavojnice, uz kapacitet 500 pF,  $Q_0 = 160$ , pa će pojasna širina biti

$$B_0 = \frac{f_{MF}}{Q_0} = \frac{452}{160} \approx 3 \text{ kHz}$$

što možemo očitati i na dijagramu na slici. Pojačanje snage jest:

$$V_s = \frac{S^2}{4} R_{ie} \cdot R_{ue} \left( 1 - \frac{B_0}{B_1} \right)^2 \approx 3400 \approx 35 \text{ dB}$$

Induktivitet potreban uz kapacitet kruga 500 pF kod  $f_{MF} = 452$  kHz iznosi 250  $\mu\text{H}$ , pa je na dijagramu na sl. 121c očitani broj zavoja oko 156.

Prijenosni je odnos  $n_1$

$$n_1 = \sqrt{R_{ei} \pi B_1 C \left( 1 - \frac{B_0}{B_1} \right)} = 0,42$$

dok je prijenosni odnos  $n_2$

$$n_2 = \sqrt{\frac{R_{ue}}{R_{ie}}} n_1 = 0,04$$

Proračun prvog i trećeg međufrekventnog kruga izvodi se na isti način, samo što se mora računati s drugačijim otporima kod prilagođenja. U tablici 3 dani su podaci za zavojnice međufrekventnih krugova.

Oznake u tablici odnose se na prijemnik prikazan u shemi sl. 147

**Tablica 3**

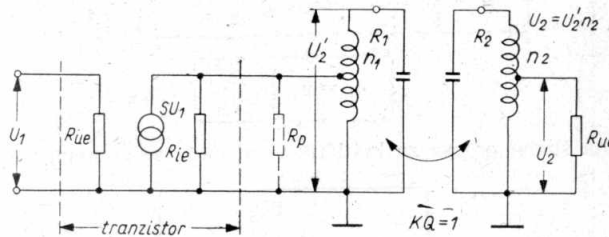
MF I	MF II	MF III	žica
$L_0 = 110$ zav.	$L_{11} = 156$ zav. odv. 67 „	$L_{13} = 156$ zav. odv. 40 „	V. F. pleten. $10 \times 0,05$
$L_{10} = 11$ zav.	$L_{12} = 6$ zav.	$L_{14} = 30$ zav.	CuLS 0,1

### Međufrekventno pojačalo s pojasnim filtrom

89. — Prijemnik ima, uz dovoljno veliku selektivnost, zadovoljavajući kvalitetu reprodukcije ako krivulja rezonancije ima pojasnu širinu 9 kHz i što veću strminu bokova (selektivnost). U kvalitetnijim prijemnicima upotrebljavaju se stoga pojasni filtri s kojima se, nasuprot prije opisanim krugovima, postižu ovi zahtjevi. Oni su obično vezani kritičnom vezom, dakle  $k = 1$ , jer potkritična veza unosi veće gubitke pojačanja, dok je pri nadkritičnoj vezi teže ugađanje krugova.

Optimalno pojačanje snage i ovdje je postignuto prilagođenjem ulaznog i izlaznog otpora, odvojcima na titrajnim krugovima. Prema

sl. 122 to će biti kad je  $\frac{R_{ie}}{n_1^2} = \frac{R_{ue}}{n_2^2}$ , gdje su  $n_1$  i  $n_2$  prijenosni odnosi zavoja.



Slika 122.

Nadomjesna shema MF-stupnja s pojasmnim filtrom i izvedenim prilagodenjem izlaznog otpora  $R_{ie}$  prethodnog stupnja na ulazni otpor  $R_{ue}$  slijedećeg stupnja

Primarni krug prigušen je dakle izlaznim otporom tranzistora prethodnog stupnja, a sekundarni krug ulaznim otporom slijedećeg stupnja, tako da je radni otpor primarnog kruga  $R = \frac{R_{ie} \cdot R_{01}}{R_{ie} + n_1^2 R_{01}}$ , gdje je  $R_{01}$ , rezonantni otpor neopterećena kruga. Odavde izlazi potreban prijenosni odnos

$$n_1^2 = \frac{R_{ie}}{R} \left( 1 - \frac{R}{R_{01}} \right)$$

Promatrajući međufrekventni pojasmni filter onako kao i jednostavne titrajne krugove za optimalno pojačanje snage, dobivamo formulu

$$\boxed{V_s = \frac{|S|^2 R_{ue} R_{ie}}{4} \left( 1 - \frac{R}{R_{01}} \right)} \quad \dots \quad (55)$$

$R$  je paralelni spoj rezonantnog otpora  $R_{01}$  neopterećena kruga i prenesenog izlaznog otpora  $n_1 R_{ie}$ .

Budući da su rezonantni otpori proporcionalni faktoru kvalitete kruga, formula (55) dobiva konačan oblik

$$\boxed{V_s = \frac{|S|^2}{4} R_{ue} R_{ie} \left( 1 - \frac{Q}{Q_0} \right)} \quad \dots \quad (56)$$

Ako se umjesto pojedinačnog titrajnog kruga upotrijebi kao vezni član pojasmni filter s jednakim krugovima i kritičnom vezom, prijenosni je odnos  $\sqrt{2}$  puta veći kod pojasnog filtra nego kod samog kruga, jer se uz isto pojačanje širina pojasa povećala za  $\sqrt{2}$ . U slučaju kritične veze, uz

uvjet da su oba kruga jednaka, radni je otpor pojasnog filtra za polovinu manji od pogonskog otpora primarnog kruga, pa je

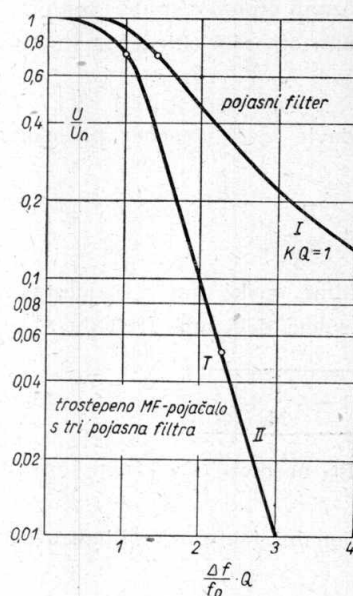
$$n_1 = \sqrt{\sqrt{2} C \pi B_1 R_{ie} \left( 1 - \frac{B_0}{B_1} \right)} \quad \dots \quad (57)$$

$$n_2 = n_1 \sqrt{\frac{R_p}{R_{ie}}} \quad \dots \quad (58)$$

a potrebna širina pojasa za kritičnu vezu nađe se pomoću formule

$$B_1 = \sqrt[4]{\frac{B_{uk}}{\frac{n}{\sqrt{2}} - 1}} \quad \dots \quad (59)$$

Ako nije poželjno povećanje pojasne širine filtra, tada se mora povećati pogonski faktor kvalitete kruga. U ovom su slučaju važni i faktori kvalitete neopterećena kruga.



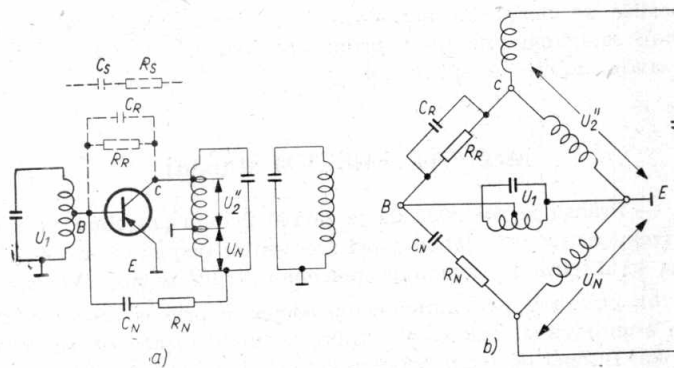
Slika 123.  
Pojsna širina i selektivnost  
MF pojačala

Za proračun pojasne širine i selektivnosti višestepenog pojačala koristi se sl. 123. Na apscisu je nanesen normirani nesklad  $\frac{\Delta f}{f_0} = Q$ .

Q je opet pogonski faktor kvalitete kruga, a  $\Delta f$  odstupanje od rezonantne frekvencije  $f_0$ . Ordinat pokazuje odnos napona  $U/U_0$ . Krivulja I vrijedi za pojasi filter sa dva kruga u kritičnoj vezi. Krivulja II dobije se iz krivulje I ako se naponski odnos  $U/U_0$ , koji odgovaraju normiranom neskladu, podignu na treću potenciju. Odatle možemo izračunati selektivnost i pojasnju širinu za međufrekventno pojačalo sa tri jednakata pojasa filtra.

90. — Da bi se izbjegla nesimetrija rezonantne krivulje stupnja međufrekventnog pojačala, potrebno je takav stupanj neutralizirati. Na sl. 124 prikazan je neutralizirani stupanj za tranzistor sa zajedničkim emiterom. Zbog bolje preglednosti dan je i mosni spoj. Elementima neutralizacije dovodi se u krug baze struja iste jačine kao i struja povratnog djelovanja, ali u protufazi. U podacima za tranzistore obično se daju vrijednosti otpora i kapaciteta povratnog djelovanja u paralelnom spaju.

emiterom. Zbog bolje preglednosti dan je i mosni spoj. Elementima neutralizacije dovodi se u krug baze struja iste jačine kao i struja povratnog djelovanja, ali u protufazi. U podacima za tranzistore obično se daju vrijednosti otpora i kapaciteta povratnog djelovanja u paralelnom spaju.



Slika 124.

a) Neutralizirani stupanj pojačala, b) Zbog bolje preglednosti nacrtan je i mosni spoj

Međutim u praksi se zbog odvajanja istosmjerne komponente koristi serijski spoj, pa se elementi moraju proračunati

$$R_S = \frac{R_R}{1 + \omega^2 C^2 R^2} \quad \text{i} \quad C_S = C_R + \frac{1}{\omega^2 C^2 R^2 R}$$

Veličine napona \$U\_2''\$ i \$U\_N\$ određuju, s elementima povratnog djelovanja, veličinu otpora neutralizacije. Budući da su naponi proporcionalni brojevima zavoja, za elemente neutralizacije vrijedi

$$\frac{R_N}{R_S} = \frac{n_n}{n_1} \quad \text{i} \quad \frac{C_N}{C_S} = \frac{n_1}{n_n}$$

Upotreba oba elementa neutralizacije nužna je samo u stupnju s velikim pojačanjem, dok je u stupnju s manjim pojačanjem dovoljno staviti kapacitet \$C\_N\$. Nažalost, potpuna se neutralizacija ne može postići, jer kapacitet povratnog djelovanja ovisi o naponu kolektora, pa prema tome i o naponu baterije, znači o radnim uvjetima tranzistora. Zbog odstupanja u karakteristikama tranzistora i povratno se djelovanje mijenja od tranzistora do tranzistora, pa se u praksi provodi neutralizacija koja odgovara tranzistorima sa srednjim povratnim djelovanjem. Veličina kapaciteta iznosi oko 10 pF. Prilagođenje titrajnog kruga tranzistoru može se izvesti i s kapacitivne strane. Prednost je tog sklopa što ne zahtijeva izvode na zavojnicama, pa se mogu koristiti standardni međufrekventni transformatori. Nezgodno je to što je potrebno paralelno napajanje preko otpornika \$R\$ koji povećava prigušenje titrajnog kruga, pa prema tome smanjuje pojačanje. Budući da ovi stupnjevi rade s malim naponom, to ne uzrokuje veće teškoće.

Pojasni filtri grade se sa jezgrama prikazanim na sl. 121a. Namotaj je potpuno obuhvaćen feritnim loncem, pa je magnetsko pobudno polje malo i nije više dovoljno za vezanje zavojnica kruga. Potrebna

veza postiže se dodatnim namotajem sa hladnog kraja sekundarnog kruga koji se namata na tijelo primarnog kruga, ili kapacitetom. Broj veznih zavoja dobije se ispitivanjem.

### Međufrekventni FM stupanj

91. — Praksa je pokazala da je za FM prijem potrebno, uz najvišu tonsku frekvenciju, prenijeti najveći frekventni pomak, dakle  $\pm 75$  kHz, pa je za kvalitetnu reprodukciju potrebna širina pojasa oko 200 kHz.

Širina pojasa u prijemnicima određena je prvenstveno međufrekventnim stupnjevima, dok ostali stupnjevi malo utječu na selektivnost prijemnika. Budući da cijeli prijemnik ima širinu oko 200 kHz, pojedini će stupnjevi imati veću širinu, između 300 kHz i 400 kHz. To znači da je potrebno, poveća li se broj stupnjeva, u odgovarajućoj mjeri smanjiti Q svakog pojedinog kruga, želimo li da širina pojasa ostane ista.

Veća širina pojasa zahtijeva i višu frekvenciju nego u AM-prijemu. Koju ćemo međufrekvenciju moći izabrati ovisi o nekoliko uvjeta:

- Pri višim su frekvencijama titrajni krugovi jače prigušeni, veći je utjecaj izlaznog i ulaznog kapaciteta.
- Pojačanje tranzistora ograničeno je prema višim frekvencijama.
- Potrebno je nastojati da zrcalna frekvencija bude izvan prijemnog područja (87,5 MHz—100 MHz).
- Uz nižu međufrekvenciju odstupanje u karakteristikama tranzistora manje je kritično.

Na osnovu ovih razloga usvojene međufrekvencije za UKV-prijemnik jesu 10,7 MHz i 6,75 MHz.

92. — Promatranja provedena u AM pojačalima mogu se u cijelosti primjeniti i na FM pojačalima, sve do pobudnog stupnja za ratio-detektor. Ovisno o vrsti spoja tranzistora određuju se ulazni i izlazni otpori. Gotovo je pravilo jedino to da tranzistor pred ratio-detektorem radi u spoju sa zajedničkom bazom.

Usporedimo međufrekventna pojačala od 10,7 MHz u spoju sa zajedničkom bazom i u spoju sa zajedničkim emiterom! Spoj sa zajedničkom bazom ima izvjesne prednosti:

- Kapacitet kolektor-emiter, tj. kapacitet povratnog djelovanja, manji je u spoju baze nego u spoju emitera, iznosi 0,5 pF prema 2 pF uz iste radne uvjete, na primjer  $U_{ce} = 6$  V i  $I_c = 0,5$  mA. Zbog toga je utjecaj povratnog djelovanja manji, tako da u slučaju neutralizacije, ako je ona uopće i nužna, nije potrebno uzimati u obzir odstupanja u karakteristikama tranzistora.
- Promjene ulaznog otpora u spoju baze znatno su manje nego u spoju emitera, iznose /samo nekoliko postotaka prema +100% do -50%. Ulazni je otpor, naime, u spoju baze praktički jednak recipročnoj vrijed-

nosti strmine, a kako je međufrekvencija relativno niska u odnosu na graničnu frekvenciju tranzistora, na primjer za tranzistore OC 614 i OC 170 iznosi 30 MHz, a za OC 169 je 15 MHz, utjecaj strmine još uvijek je neznatan.

— Zbog manjeg kapaciteta povratnog djelovanja stabilnost je počala u spoju baze, uz jednak pojačanje napona po stupnju, nekoliko puta veća nego u spoju emitera.

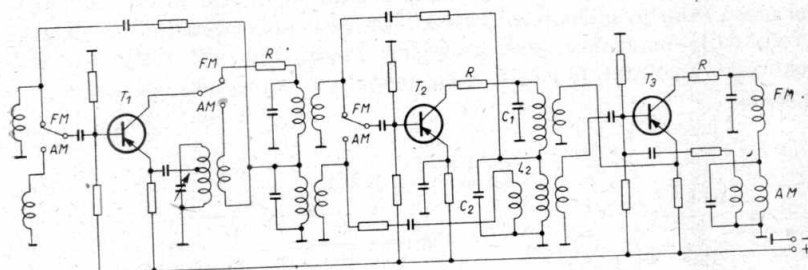
I stupanj sa zajedničkim emiterom ima međutim izvjesne prednosti.

— To je prvenstveno veće pojačanje napona, koje je oko tri puta veće nego u spoju baze, i veći ulazni otpor:  $500 \Omega$  prema  $50 \Omega$ .

— Postizanje veće selektivnosti omogućeno je slabom vezom između sljedećeg stupnja i pojasnog filtra, čime se pojačanje može dovesti sve do vrijednosti pojačanja u spoju baze. Slabom vezom smanjuje se u istim i utjecaj promjena ulaznog otpora, i omogućuje dobra neutralizacija. Za proračun može se tada uzeti srednja pogonska dobrota krugova

$$Q = \sqrt{Q_1 \cdot Q_2}.$$

Stabilnost pojačala sa zajedničkim emiterom može se poboljšati upotrijebi li se umjesto 10,7 MHz međufrekvencija 6,75 MHz.



Slika 125.  
MF-pojačalo AM/FM prijemnika

Na sl. 125 prikazana je principijelna shema međufrekventnog pojačala koje je predviđeno za AM-prijem i FM-prijem. Tranzistor  $T_3$  radi za AM-prijem u spoju sa zajedničkim emiterom, a za FM-prijem u spoju sa zajedničkom bazom. Neutralizacija je provedena samo u slučaju AM-prijema; ako se međutim koriste drift-tranzistori, kao OC 169, može ona i ovdje biti izbjegнута. Tranzistor  $T_2$  radi i za AM-prijem i za FM-prijem u spoju sa zajedničkim emiterom, pa je stoga potrebno u oba slučaja provesti neutralizaciju. Nezgodna je strana ovog sklopa ta što je u MF pojačalu potreban preklopnik, pa se koriste drukčije izvedbe.

### Kombinirani međufrekventni stupnjevi

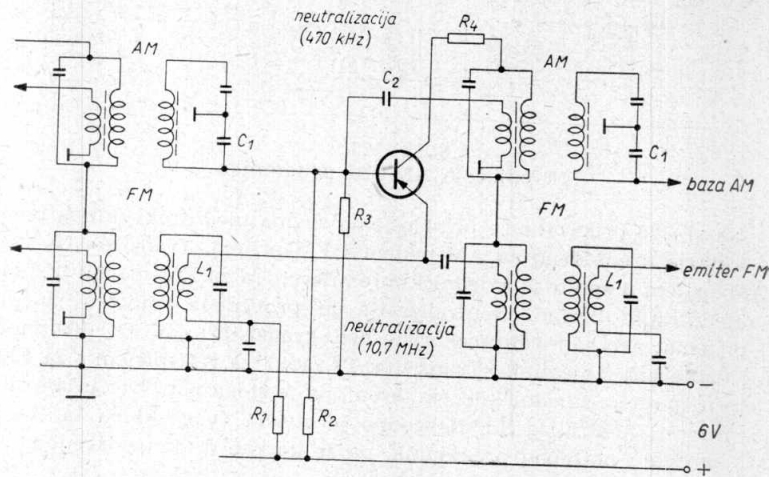
93. — Prijemnici koji imaju samo UKV područje grade se vrlo rijetko. Zbog ekonomičnosti kombinira se u pravilu nekoliko valnih područja, koja obuhvaćaju i AM-prijem i FM-prijem. U AM-prijemu

širina pojasa prijemnika, dopuštena međunarodnom konvencijom, iznosi 9 kHz, a međufrekvencija se nalazi između 452 kHz i 482 kHz, dok je širina pojasa u FM prijemu znatno veća, 200 kHz, a međufrekvencija 10,7 MHz. Dvije različite međufrekvencije zahtijevaju, jasno, i različite titrajne krugove. To se može izvesti tako da se i za AM prijem i za FM prijem izvedu odvojeni kanali, no takva je izvedba prilično skupa, pa se umjesto nje izvode kombinirani međufrekventni spojevi.

Kompletan će prijemnik prema tome izgledati ovako:

- Stupnjevi za miješanje AM-a i FM-a su odvojeni, FM osim toga ima i ulazno visokofrekventno pojačalo.
- Međufrekventni titrajni krugovi vezani su seriski
- Demodulacija se vrši odvojeno. Iz posljednjeg međufrekventnog stupnja dolazi signal ili na FM demodulator ili na AM demodulator.
- Niskofrekventni stupnjevi su zajednički.

Da bi se izbjeglo prespajanje u međufrekventnim titrajnim krugovima, oni se spajaju u seriju. U FM prijemu kapacitet je AM titrajnog kruga tako velik da predstavlja kratak spoj za međufrekventni FM signal, dok svitak kruga od 10,7 MHz kratko spaja AM međufrekvenciju na masu. Ako je za spojeve potrebno provesti neutralizaciju, isto bi tako prespajanje neutralizacijske grane pri mijenjanju AM i FM područja pogoršalo stabilitet pojačala zbog parazitnih kapaciteta preklopnika i dovoda.



Slika 126.

Kombinirani AM/FM međufrekventni stupanj. Za AM (470 kHz) tranzistor radi u spoju sa zajedničkim emiterom, a za FM (10,7 MHz) u spoju sa zajedničkom bazom

Na sl. 126 prikazana je izvedba kombiniranog međufrekventnog stupnja, gdje tranzistor za AM prijem (470 kHz) radi u spoju sa zajed-

ničkim emiterom, a za 10,7 MHz u spoju sa zajedničkom bazom. Svitak  $L_1$ , koji sačinjava krug za 10,7 MHz, a sastoji se od 1—2 zavoja, predstavlja za 470 kHz kratak spoj. Kapacitet\*  $C_1$  služi za prilagođenje ulaznog otpora tranzistora sekundarnom krugu AM pojasnog filtra. Preko kapaciteta  $C_1$ , čija veličina iznosi 10 nF, baza je tranzistora uzemljena za frekvenciju 10,7 MHz.

Otpornik  $R_4$  sprečava skok napona u kolektorskom krugu. Naime, u titrajnog se krugu može upotrijebiti samo mali kapacitet, 15—40 pF, a kako porastom izmjeničnog napona kolektora raste i dinamički kapacitet kolektora, rezonantna se frekvencija titrajnog kruga pomiče prema nižim frekvencijama. Ugađanjem prijemnika prema nižem području povišuje se rezonantna frekvencija kruga, zbog smanjenja izmjeničnog napona kolektora, i time se naglo izazvani pad napona čuje uz prijemni signal kao prasak.

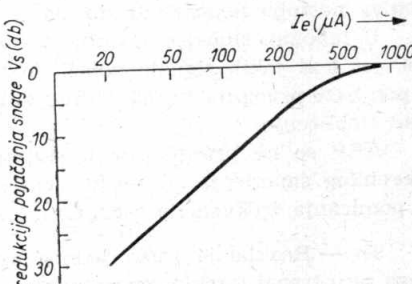
Praktička vrijednost otpora  $R_4$  iznosi u prednjim MF stupnjevima 250  $\Omega$ , dok se u posljednjem kreće oko 500  $\Omega$ .

### Automatska regulacija pojačanja

94. — Potrebna velika osjetljivost prijemnika zahtijeva provođenje automatske regulacije pojačanja u visokofrekventnom dijelu prijemnika, kako kod prejakog ulaznog signala ne bi došlo do preuzbude.

U prijemnicima s cijevima automatska je regulacija pojačanja (ARP) postignuta s elektronkom koja ima promjenljivu strminu. U tranzistorima takav element nažalost ne postoji, pa treba da se primijene drugi načini. Ipak, i u tranzistorskim prijemnicima, kao i u elektronskim, pojačanje je napona regulirano pomakom radne tačke.

Uobičajen je način ARP promjenom struje emitera. Iako ova promjena izaziva promjenu ostalih tranzistor-skih veličina, ulaznog i izlaznog otpora, smanjuje emiter-ske struje općenito smanjuje pojačanje. Na sl. 127 prikazan je utjecaj struje emitera na pojačanje snage visokofrekventnog tranzistora. U jedno-stavnijim je prijemnicima dovoljna ARP prvog međufrekventnog stupnja. Princip je



Slika 127.  
Krivulja na slici prikazuje ovisnost pojačanja snage  $V_s$  o struci emitera za drift tranzistor 2N247

\* Veza titrajnog kruga na ulazni krug slijedećeg tranzistora može se izvesti i na kapacitivnoj strani. Ulazni otpor slijedećeg stupnja transformiran u titrajni krug, dan je relacijom  $R_u' = \left( \frac{C_1 + C_2}{C_1} \right)^2 R_u$ , gdje je  $R_u$  ulazni otpor tranzistora  $C_1$  i  $C_2$  serijski spojeni kapaciteti kruga.

rada te metode ovaj: napon regulacije uzima se s demodulatorske diode i njegova vrijednost u PNP-tranzistorima mora da bude pozitivna, kako bi djelovao protivno negativnom naponu baze. Time se smanjuju napon i struja baze i struja emitera, što pak uzrokuje smanjenje pojačanja stupnja. Što je signal na demodulatoru veći, to će i napon regulacije biti veći.

Shema na sl. 120 prikazuje često upotrebljavani spoj regulacije. Napon regulacije odvodi se s demodulatorske diode (OA 70) preko  $R_8 C_8$  — filtra na bazu tranzistora  $T_1$  (OC 169), koji u stanju mirovanja dobiva stalан prednapon preko otpornika  $R_1 — R_8 — R_9$ .

U stupnju gdje je provedena stabilizacija kolektorske struje potrebno je za regulaciju mnogo više snage nego u nestabiliziranom stupnju.

Da bismo postigli dobru stabilizaciju snagom dobivenom iz demodulatora, istosmjerna stabilizacija kolektorske struje ne smije da bude prevelika. Dakle, veličina kolektorskog otpora ne smije prijeći određenu vrijednost. I veličina otpora regulacije  $R_8$  predstavlja kompromisno rješenje: veći otpor smanjuje djelovanje regulacije, a malen prigušuje demodulatorski krug. ARP je efikasnija kad se koriste tranzistori s većim faktorom strujnog pojačanja. Često se događa da demodulator ne daje dovoljno snage za regulaciju. U tom se slučaju veće pojačanje istosmjernog napona potrebnog za regulaciju postiže upotrebom istosmjernog pojačala iza detektora. Za tu se svrhu može upotrijebiti prvi stupanj niskofrekventnog pojačala, koje je ujedno izmjenično i istosmjerno pojačalo. Nedostatak je opisanog načina regulacije pojačanja u tome, što se smanjivanjem napona baze povećava ulazni i izlazni otpor tranzistora u kojem je regulacija provedena. Veći ulazni otpor manje prigušuje prethodni titrajni krug i povećava faktor kvalitete, pa kod prijema jakih stanicica nastupa nepoželjno sužavanje propusnog područja.

U mnogim slučajevima nije dovoljna regulacija samo jednog stupnja, jer kod jakih signala dolazi do prezbude stupnja za miješanje i napon baze prvog međufrekventnog stupnja postaje tako velik da nastaje jako izobličenje.

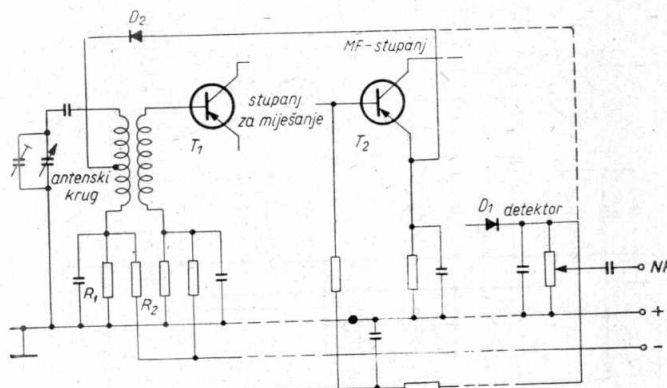
ARP se ne primjenjuje u stupnju za miješanje, budući da zbog prevelikog smanjenja emitterske struje može doći do prekida oscilacije ili pomicanja frekvencije oscilatora.

95. — Regulacija samo jednog stupnja ne zadovoljava potpuno i stoga se u tranzistorskim prijemnicima ovaj način često kombinira s drugima. Jedan je od njih mijenjanje gušenja međufrekventnog titrajnog kruga pomoću promjenljiva otpora, na primjer germanijevih dioda, čiji je unutarnji otpor jako ovisan o istosmjernom naponu.

Promotrimo rad takve regulacije! Povećanjem amplitudne visokofrekventnog signala povećava se signal na demodulatoru, napon baze tranzistora  $T_1$  (sl. 120) postaje pozitivniji, i time se smanjuje struja emitera i kolektora, kao i pojačanje stupnja. U kolektorskom je krugu tranzistora  $T_1$  (OC 169)-vezan otpor  $R_8$ , na kojem se prilikom regulacije vrše znatne promjene napona. Sada je tranzistor  $T_1$  u stvari i istosmjerno

pojačalo. Napon regulacije za diodu može se uzimati s otpora  $R_3$  ili s emiterorskog otpora. Druga je dioda  $D_2$  (OA 79) vezana između tačaka A i B. Dok nema signala, ili dok su oni vrlo mali, otpornikom se  $R_1$  napon tačaka A i B tako odabere da je dioda spojena u zapornom smjeru. Veličina ovog napona kreće se od 0,5 V do 1 V. U ovom je slučaju otpor diode tako velik da dioda ne prigušuje titrajni krug. Pri jakom signalu ti se odnosi međutim mijenjaju. Uz velik signal na detektoru struja je baze, a time i struja kolektora, mala, pa napon tačke B postaje negativniji, a dioda vodljivom, i sa svojim malim otporom prigušuje titrajni krug. Otpor diode, a prema tome i gušenje kruga, varira s istosmjernim naponom tako da se pri većim signalima smanjuje i uzrokuje veće gušenje kruga. Otpor pojedinih vrsti dioda kreće se u području regulacije između  $1 \text{ M}\Omega$  i  $100 \Omega$ . Izmjenični međufrekventni napon na titrajnom krugu koji je premošten diodom ne smije ipak da bude prevelik, kako zbog nelinearne karakteristike diode ne bi došlo do intermodulacionog izobljeđenja koje može nastati između dva susjedna signala.

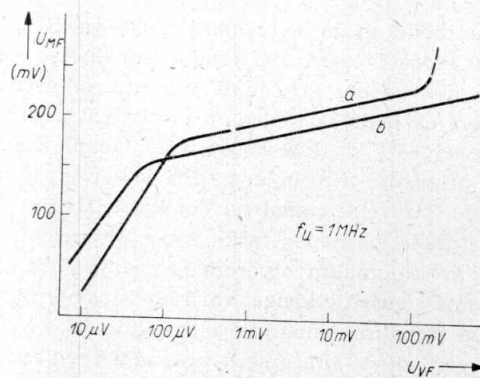
Regulacija stupnja za miješanje postignuta je na sličan način — gušenjem ugođenog antenskog kruga diodom, kojoj se kod određenog nivoa signala smanjuje otpor. Shematski je takva izvedba prikazana na sl. 128. Napon diode određen je otporima u djelitelju napona  $R_1 - R_2$ , a



Slika 128.

Shematski prikaz ARP u stupnju za miješanje. Istosmjerne snage regulacije dobivene u detektoru pojačana je u prvom MF-tranzistoru, čija se radna tačka mijenja promjenom struje baze

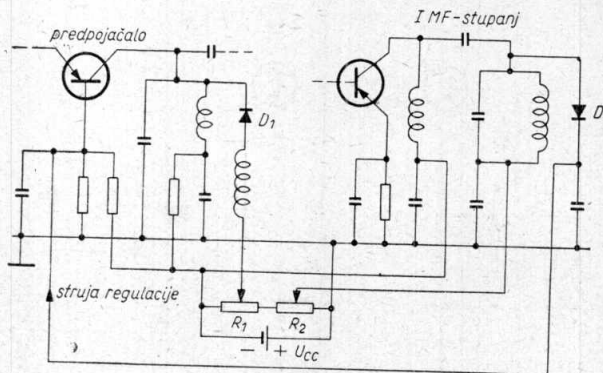
napon regulacije dovodi se demodulatorom (vidi crtanu liniju) koji je, ako njegova veličina nije dovoljna, pojačan u istosmjernom pojačalu. Korištenjem prvog međufrekventnog tranzistora u ovu svrhu izbjegnuto je dodavanje još jednog tranzistora.



Slika 129.

ARP u prijemniku. Krivulja a dobivena je uz provedenu regulaciju samo prvog MF-stupnja; b) regulacija je dvostruka: djeluje na ulazni i prvi MF-stupanj

prikazan na sl. 130. Ugodenom titrajnom krugu u kolektoru prvog međufrekventnog stupnja paralelno je spojena dioda  $D_1$  koja dobiva prednapon preko djelitelja napona  $R_1 - R_2$ . Dioda djeluje kao regulacioni ispravljač, čija struja regulira visokofrekventno prepojačalo. Paralelno s ti-



Slika 130.

ARP u FM-prijemniku. Dioda  $D_1$  spojena je paralelno ugodenom titrajnom krugu u kolektoru prepočala. Dioda dobiva prednapon preko djelitelja  $R_1R_2$  i djeli se na način prikazan na slici 128. Struja regulacije dobivena je iz diode  $D_2$

trajnim krugom u kolektoru ovog tranzistora vezana je druga dioda  $D_1$ , čiji je napon također određen otporima  $R_1$  i  $R_2$ . Nivo je ovog napona reguliran strujom koja djeluje na bazi prvog tranzistora. Dioda  $D_1$  sprečava dolaženje prejakog signala u stupanj za miješanje.

Dijagram na sl. 129 prikazuje krivulje regulacije. U slučaju dvostrukе regulacije ARP je još djelotvorna za visokofrekventni napon iznad 1 V. Ako se regulira samo prvi međufrekventni stupanj, već se s ulaznim signalom većim od 50 mV onemogüće ispravan prijem.

*Regulacija u FM krugovima.* I u UKV prijemniku poduzete su mjere da bi se spriječilo preopterećenje uz jake signale. Takav je sklop

**Pitanja**

54. Kako se mijenja pojačanje snage tranzistora s porastom frekvencije?
55. Kakove su izvedbe tranzistorских međufrekventnih transformatora?
56. Zašto se MF-pojačalo u kvalitetnijem prijemniku izvodi sa pojasnim filterom?
57. Da li je kod svih tranzistora u MF-pojačalu neophodna neutralizacija?
58. Navedi prednosti i mane međufrekventnog pojačala za FM-prijemnik izведенog s tranzistorima u spolu sa zajedničkim emiterom!
59. Na koji se način izvode kombinirani AM-FM međufrekventni dio prijemnika?
60. Navedi načine kojima se vrši automatska regulacija pojačanja u prijemnicima!



## Tranzistorski stupnjevi za miješanje

### Tranzistorski oscilatori

96. — Kao i elektronke, i tranzistori se mogu primjenjivati u oscilatorima. Pri konstrukciji tranzistorskih oscilatora susrećemo se sa sličnim problemima kao i kod elektronki. To se ne očituje samo u analogiji različitih vrsti spojeva cijevnih i tranzistorskih oscilatora, već i u određivanju uvjeta osciranja i frekvencije oscilatora.

Vrlo je važna činjenica, o kojoj moramo voditi računa pri izvedbi tranzistorskih oscilatora, da pri višim frekvencijama parametri tranzistora nisu realne veličine, već kompleksne, tj. ovisne o frekvenciji. Zbog toga je, radi li se uz više frekvencije, potrebno uzeti u obzir fazni pomak i smanjenje faktora strujnog pojačanja, a isto tako i reaktivne komponente ulazne i izlazne impedancije. Temperaturna stabilizacija treba da se provede naročito brižljivo prema jednom od načina prikazanih u prijašnjim odsjecima.

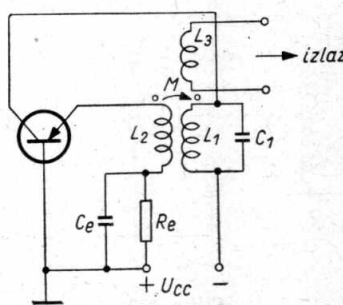
Analiza oscilatora normalno je podijeljena u dva dijela: određivanje stanja u kojem dolazi do oscilacije i određivanje frekvencije.

Uvjet za osciranje ispunjen je i ovdje uz  $V_i \beta = 1$ , gdje je  $V_i$  strujno pojačanje.

Frekvencija oscilatora određena je titračnim krugom ili  $RC$ -elementima u krugu pozitivne povratne veze. Budući da se u prijemnicima koriste isključivo oscilatori s titračnim krugom, obradit ćemo ukratko nekoliko spojeva.

97. — Na sl. 131 prikazan je oscilator s usklađenim titračnim krugom u kolektoru i tranzistorom u spoju sa zajedničkom bazom.

Povratna veza u krugu emitera ostvarena je transformatorskim spojem između namotaja  $L_1$  i  $L_2$  ( $L_1$  i  $L_2$  su čvrsto vezani). Svitak  $L_1$  sačinjava s kondenzatorom  $C_1$  titračni krug, koji je u stvari kolektorski operativni otpor. Transformatorska veza ujedno omogućuje prilagođenje emitera na titračni krug. Da bi se pri višim frekvencijama izbjegao fazni pomak unutar tranzistora, frekvencija titračnog kruga treba da je mala prema graničnoj frekvenciji tranzistora.

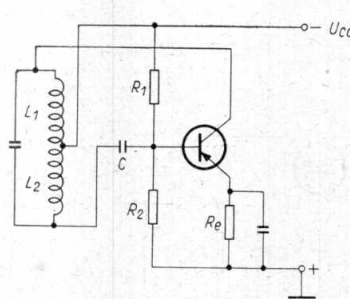


Slika 131.

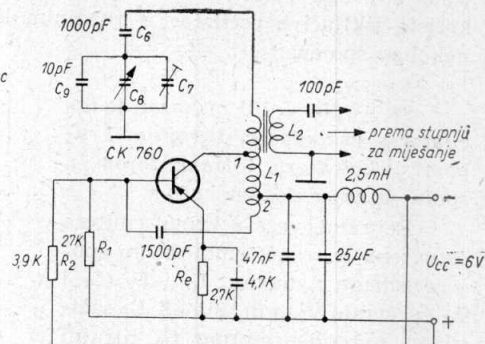
Principijelna shema oscilatora sa titračnim krugom u kolektoru s tranzistorom u spoju sa zajedničke baze

U tom je spoju opterećenje titrajnog kruga minimalno zbog ovih razloga: titrajni krug spojen je u seriju s kolektorom, spoj s uzemljenoj bazom ima veliku izlaznu impedanciju i potrošač je preko slabo vezanog namotaja  $L_3$ , ili u seriji s malim kapacitetom, spojen na kolektor. U ovim su uvjetima frekventna stabilnost i čistoća valnog oblika vrlo dobri. Frekvencija oscilatora, određena elementima titrajnog kruga, izračunava se iz izraza  $\omega_0^2 = \frac{1}{L_1 C_1}$ , a uvjet za osciliranje u slučaju slabe veze između emitera ispunjen je uz  $\omega_0 M > R_u/Q \cdot a_b$ .  $M$  označava među-induktivitet između namotaja,  $R_u$  efektivnu ulaznu impedanciju tranzistora, a  $Q = \frac{R_p}{\omega_0 L}$ , gdje je  $R_p$  paralelno priključen otpor titrajnog kruga. U slučaju čvrste veze između namotaja  $L_1$  i  $L_2$  taj uvjet jest  $V_u \frac{z_2}{z_1} > 1$ , gdje je  $V_u$  naponsko pojačanje tranzistora.

98. — Oscilator, kojeg je principijelna shema prikazana na sl. 132, u stvari verzija prije opisanog oscilatora, samo sada za tranzistor u spoju sa zajedničkim emiterom — jest Hartleyev oscilator. Napon dobi-ven na dijelu zavojnice  $L_2$  privodi se preko kapaciteta  $C$  bazi i na taj je način postignuta pozitivna reakcija. Frekvencija oscilatora dana je sa  $\omega_0^2 = \frac{1}{LC}$ , gdje je  $L = L_1 + L_2 + 2M$ , dok je uvjet za osciliranje u slučaju slabe veze ispunjen uz  $\omega_0 M > R_{ue}/Q a_e$ , gdje je  $R_{ue}$  ulazni otpor tranzistora. U slučaju čvrste veze između zavojnica uvjet za osciliranje treba da je ispunjen uz  $V_u Z_2/Z_1 > 1$ .



Slika 132.  
Hartleyev oscilator



Slika 133.  
Praktički primjer Hartleyeva  
oscilatora sa tranzistorom  
CK760

Na sl. 133 dana je shema takva oscilatora s tranzistorom CK 760. Dio napona oscilatora dobi-ven na dijelu zavojnice  $L_1$  vraća se preko kon-  
denzatora od 1500 pF na bazu tranzistora — to je, dakle, put pozitivne

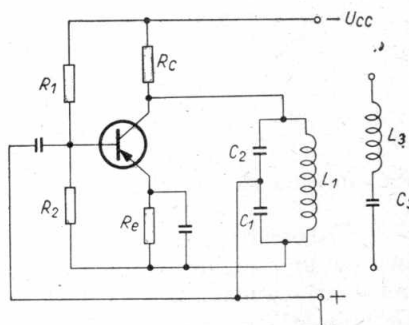
reakcije. Kolektor je preko odvojka transformacijom na niže spojen s titravnim krugom i na taj je način postignuto prilagođenje impedan- cije tranzistora i titravnog kruga, i smanjen utjecaj kolektorskog kapa- citeta na stabilan rad oscilatora. Kondenzatori  $C_6$  i  $C_7$  jesu trimer i padić-kondenzator, a služe za ugadanje oscilatora i postizanje jednolikog podjeda između ulaznog i osculatorskog kruga. Namotaj  $L_2$  koristi se za priključivanje potrošača. Radna tačka i temperaturna stabilizacija pro- vedenе su otporima  $R_1$ ,  $R_2$  i  $R_e$ .

99. — Na sl. 134 prikazan je tranzistorski Colpittsov oscilator. Na- pon pozitivne reakcije dobiva se iz kapacitivnog djelitelja napona, koji s induktivitetom  $L_1$  sačinjava titrjni krug, i privodi se bazi. Fre- kvencija je oscilatora određena rezonantnom frekvencijom kruga  $\omega_0^2 = \frac{1}{L_1 C_s}$ , gdje je  $C_s = \frac{C_1 C_2}{C_1 + C_2}$ , dok za uvjet osciliranja vrijedi približno  $V_u C_1/C_2 > 1$ .

Otporima  $R_1$ ,  $R_2$ ,  $R_e$  i  $R_C$  od- redena je radna tačka i provedena stabilizacija sklopa.

Zamijenimo li induktivnu granu u Colpittsovom oscilatoru serijskim titravnim krugom koji se sastoji od induktiviteta  $L_3$  i ka- paciteta  $C_3$ , dobijemo Clappov os- cilator. Frekvencija oscilatora  $\omega_0$  nalazi se nešto iznad rezonantne frekvencije serijskog kruga, a uz veće vrijednosti  $C_1$  i  $C_2$  nasuprot  $C_3$  gotovo je jednaka rezonantnoj frekvenciji  $\omega_s$ .

Ovim je stupnjem, za razliku od ostalih, postignuta veća stabilnost rada. Relativno velike vrijednosti  $C_1$  i  $C_2$  čine utjecaj kolektorskog ka- paciteta zanemarivo malenim, a osim toga potpuno odstranjuju utjecaj kolektorske struje na frekvenciju oscilatora. Promjene izlaznog ka- piteta stoga relativno malo utječu na frekvenciju oscilatora.



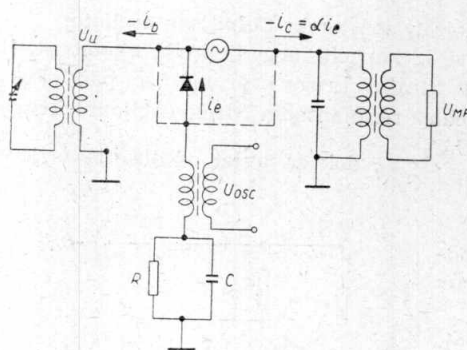
Slika 134.  
Colpittsov oscilator i modifikacija  
dana za Clappov oscilator

### Miješanje u tranzistorskim prijemnicima

100. — Budući da tranzistor ima samo jednu upravljačku elektrodu, u tranzistorskim prijemnicima, za razliku od prijemnika s elektron- kama u kojima je miješanje multiplikativno, imamo aditivno miješanje. Ulazni signal iz antenskog kruga i signal oscilatora serijski su vezani između emitera i baze. Kako je za miješanje potreban nelinearan element, zahvaljujući upravo takvoj karakteristici u krugu emiter-baza kori- sti se tranzistor za aditivno miješanje. Principijelna shema prikazana je na sl. 135. Suma ulaznog i osculatorskog napona dovedena na diodu

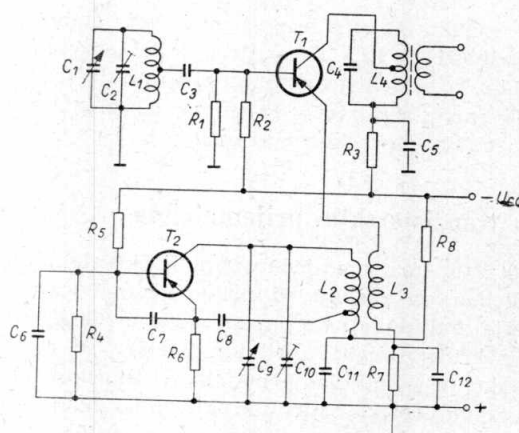
sadrži i međufrekventnu komponentu koja je pojačana i izdvojena na selektivnom titrajnom krugu. Preko  $RC$ -člana s velikom vremenskom konstantom u emiterском krugu dobiva emiterška dioda prednapon, čija je vrijednost približno jednaka veličini oscilatorskog napona.

Pojačanje u stupnju dobije se na ovaj način: međufrekventna struja diode  $-i_c = \alpha_b \cdot i_e$  (gdje je  $\alpha_b$  približno jednak jedinici) stvara na velikom otporu međufrekventnog kruga veći napon u kolektorskog kruga.



Slika 135.  
Principijelna shema stupnja za miješanje

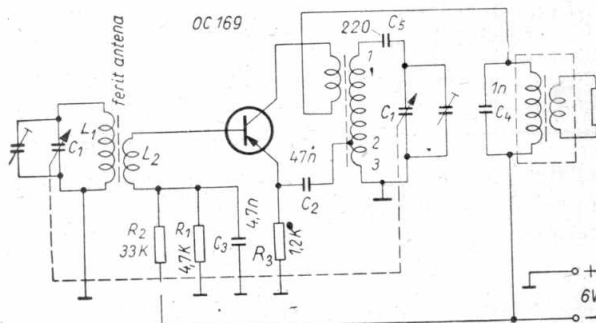
se u samooscilirajućem stupnju za miješanje ARP ne može provesti, budući da bi zbog smanjenja emiterke struje moglo doći do »seljenja« frekvencije oscilatora, ili do prekida oscilacija. Nasuprot ovoj prednosti međutim u takvu je sklopu potreban veći broj elemenata, i veća je potrošnja istosmjerne struje.



Slika 136.  
Stupanj za miješanje s posebnim oscilatorom

Na sl. 136 vidimo sklop stupnja za miješanje sa dva tranzistora. Tranzistor  $T_2$  radi kao oscilator u Hartleyevu spoju, i induktivno je vezan s emiterškim krugom tranzistora za miješanje, čija je radna tačka u nelinearnom dijelu karakteristike, pa dolazi do detekcije signala. Radna je tačka stabilizirana otporima  $R_5-R_8$ . Usprkos navedenim nedostacima ipak se zbog jeftinije izvedbe mnogo više koristi stupanj sa jednim tranzistorom.

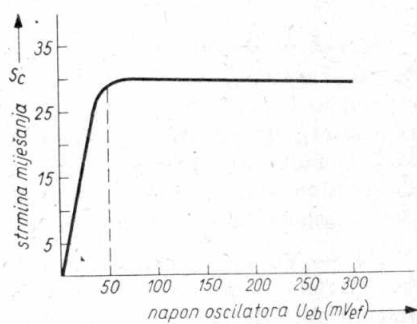
102. — Samooscilirajući stupanj za miješanje (OC 169) za srednjovalno i dugovalno područje, prikazan na sl. 137, ima široku primjenu u prijemnicima. Između baze i emitera djeluje suma ulaznog visokofrekventnog i osculatorskog napona, i oba se istovremeno pojačavaju. Za ulaznu frekvenciju tranzistor radi kao pojačalo s uzemljenim emiterom, tj. u spoju najboljih svojstava pojačanja. Oscilator je pak izведен s induktivnom povratnom vezom u spoju sa zajedničkom bazom. Baza je, naime, preko kondenzatora  $C_3$  i sekundarne zavojnice na feritnom štalu uzemljena za frekvenciju oscilatora.



Slika 137.  
Samooscilirajući stupanj za miješanje (SV, DP)

Da bi se osigurao rad oscilatora i stabilnost frekvencije, povratna je veza ostvarena spajanjem emitera preko niskoomskog odvojka na titrarni krug oscilatora, koji na taj način nije prigušen malim otporom emitera. S otpornicima  $R_1$ ,  $R_2$  i  $R_3$  određena je radna tačka i izvedena stabilizacija. Otpornik  $R_3$  premošten je kondenzatorom  $C_2$ , kako bi se izbjeglo smanjenje pojačanja izmjenične struje je padding-kondenzator.

Promjena strmine miješanja  $S_c$ , ovisna o naponu oscilatora, dana je za tranzistor OC 170 ( $I_e = 1 \text{ mA}$ ,  $f_u = 540 \text{ kHz}$ ,  $f_{os} = 1 \text{ MHz}$ ,  $f_{MF} = 460$ ) dijagramom na sl. 138. Sličan tok krivulje vrijedi i za ostale tranzistore. Strmina se miješanja iznad 50 mV malo povećava, pa je stoga potrebno oscilator tako dimenzionirati, da mu je napon veći od 50 mV. Da bi prijemnik radio jednoliko, potrebno je da se nakon oscilatora unutar određenog valnog područja ne mijenja mnogo.



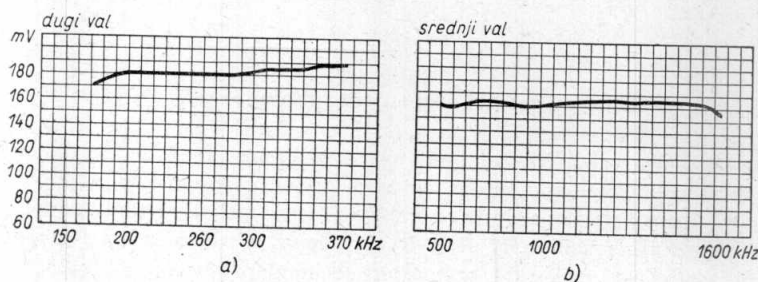
Slika 138.  
Strmina miješanja mijenja se s naponom oscilatora

Pri dimenzioniranju treba isto tako paziti da napon oscilatora ne bude prevelik, što bi zbog viših harmonika moglo na izvjesnim frekvencijama dovesti do osciliranja čitavog stupnja, ali ne smije da bude ni premalen, jer na nižim naponima baterije može doći do prekida oscilacija. Brojevi zavoja i vrst žica oscilatorskih zavojnica srednjeg i dugog vala dani su u tablici 4, a odnose se na prijemnik prikazan u shemi sl. 147.

**Tablica 4.**

SV	$L_5$ (1—3) 105 zav. (2—3) 5 „	$L_7 : 20$ zavoja	VF pleten. $10 \times 0,05$
DV	$L_6$ (1—3) 237 zav. (2—3) 10 „	$L_8 : 9$ zavoja	žica Cu L S 0,1

Napon oscilatora mjerен uz napon baterije 6V dan je dijagramom na sl. 139. Vidi se da je amplituda oscilatorskog napona približno konstantna unutar cijelog valnog područja.



*Slika 139.*  
Promjena napona oscilatora s frekvencijom unutar područja srednjeg i dugog vala

Praksa je pokazala da kondenzator  $C_3$  koji uzemljuje sekundarnu antensku zavojnicu znatno utječe na ulazni i izlazni otpor tranzistora. Povećanjem kapaciteta  $C_3$  ulazni se i izlazni otpor povećavaju, a iznad određene vrijednosti izlazni otpor postaje negativan, i prema tome raste pojačanje miješanja. Primjenjuje li se ARP, kondenzator  $C_3$  treba da bude pažljivo odabran, kako ne bi došlo do osciliranja stupnja. Utvrđeno je da se najpovoljnija vrijednost kondenzatora kreće oko 5 nF.

103. — Veoma važne veličine tranzistora, potrebne za određivanje radnih uvjeta samooscilirajućeg stupnja za miješanje, jesu: strmina miješanja  $S_c$ , ulazni otpor tranzistora uz frekvenciju ulaza i izlazni otpor tranzistora za međufrekvenciju.

Svojstva stupnja za miješanje određena su pojačanjem miješanja  $V_{sc}$ , koje je dano odnosom snaga dobivenih na ulaznom otporu prvog međufrekventnog tranzistora prema snazi koju antenski krug daje

stupnju za miješanje. Zanemarimo li povratno miješanje i prilagođenje ulaza, pojačanje je miješanja u idealnom slučaju dano izrazom

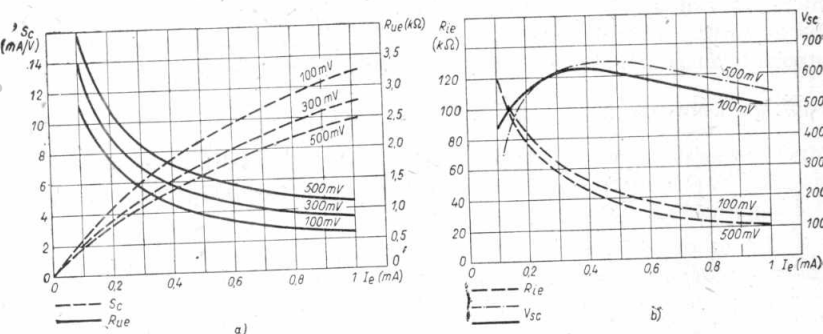
$$V_{sc} = \frac{S_c^2 \cdot R_{ue} R_{ie}}{4} \quad \dots \dots \quad (60)$$

Uzmemo li u obzir gubitke u titrajnim krugovima, bit će

$$V_{sc} = \frac{S_c^2 R_{ue} R_{ie}}{4} \left( 1 - \frac{B_0}{B_1} \right) \quad \dots \dots \quad (61)$$

gdje je  $B_0$  širina pojasa neopterećena titrajnog kruga, a  $B_1$  pogonska širina kruga.

Veličina  $S_c$ ,  $R_{ue}$  i  $R_{ie}$  ovisne su o radnoj tački, pri čemu emiter-ska struja i napon oscilatora najjače utječu na njih, a prema tome i na pojačanje miješanja. Sl. 140 pokazuje ovisnost strmine miješanja  $S_c$ , ulaznog otpora  $R_{ue}$ , izlaznog otpora  $R_{ie}$  i pojačanja miješanja titračnog tranzistora, o emiterskoj struji, s oscilatorskim naponom kao parametrom.



Sl. 140.

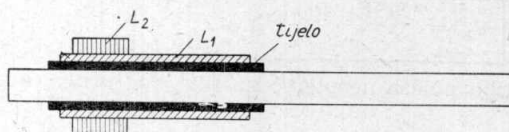
- a) Krivulje na slici pokazuju kako se mijenja strmina miješanja  $S_c$  i ulazni otpor  $R_{ue}$  tranzistora sa strujom emitera  $I_e$  uz napon oscilatora kao parametar, b) Krivulje se odnose na pojačanje miješanja  $V_{sc}$  i izlazni otpor  $R_{ie}$  uz iste uvjete kao i gore

parametrom. Mjerena su vršena pri frekvenciji  $f_u = 1\text{MHz}$  i  $f_{MF} = 470\text{kHz}$ , uz  $U_c = 6\text{V}$ . S porastom emiterske struje raste i strmina miješanja, a smanjuje se izlazni i ulazni otpor. Vidi se da veličina napona oscilatora nije kritična za optimalno pojačanje  $V_{sc}$ , ali je ulazni otpor tranzistora jako ovisan o njoj. Struja emitera djeluje i na nivo šuma. Uz veće struje šum raste, dok je najniži za vrijednost struje između 0,3–0,5 mA. Pojačanje miješanja kreće se za prikazani sklop na srednjem valu od 32 dB do 35 dB, a od 34 dB do 37 dB na dugom valu.

104. — U tranzistorskim je prijemnicima vrlo dobre rezultate pokazao prijem pomoću feritne antene, čiji induktivitet čini s promjenljivim kondenzatorom ulazni titrajni krug. Svrlja je usklađenog kruga

na feritnom štapu da što više primljene energije prenese na ulazni krug tranzistora.

Feritna antena djeluje u stvari kao okvirna antena, ali je zbog toga što je malena mnogo pogodnija za smještaj u prijemnik. Sastoji se od feritnog štapa, čije dimenzije ovise o primjeni. Na štalu su namotane zavojnice koje s ulaznim kondenzatorom čine titrajni krug, sl. 141.

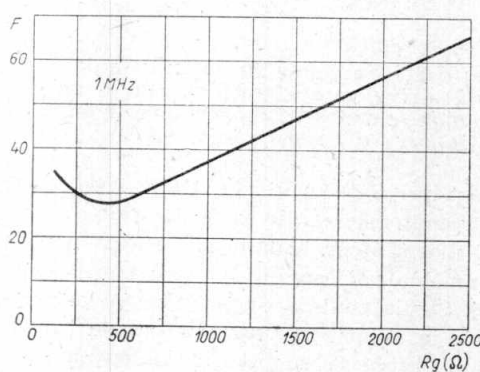


Slika 141.  
Feritni štap sa ulaznim krugom

Svojstva feritne antene prikazana su ili efektivno-apsorpcionom površinom (odnos primljene energije prema odaslanoj), ili njenom efektivnom visinom. Da bi se dobila što veća snaga, a time i što veći napon na ulazu tranzistora, mora se otpor isijavanja antene prilagoditi ulaznom otporu tranzistora. Ulagani titrajni krug mora stoga da ima što manje gubitke. Dobiveni prijenosni odnos jest  $n = \sqrt{\frac{R_u}{R_a}}$ , gdje je  $R_u$  ulazni otpor tranzistora za miješanje, mjerjen pri frekvenciji ulaznog signala (za SV  $f_u = 1 \text{ MHz}$ ), a  $R_a$  dinamički otpor ulaznog kruga za istu frekvenciju.

Pri dimenzioniranju ulaznog kruga moramo međutim, uz prilagođenje ulaznog otpora tranzistora na rezonantni otpor titrajnog kruga,

što je potrebno za maksimalan prijenos snage, voditi računa i o tome da taj prijenos dobijemo s najpovoljnijim odnosom signal-šum. Dijagram na sl. 142 pokazuje ovisnost faktora šuma o otporu izvora za tranzistor OC 170 u stupnju za miješanje, i frekvenciji 1 MHz. Faktor šuma  $F$  određen je tipom tranzistora i unutarnjim otporom izvora koji je priključen tranzistoru. Transformacijom antenskog kruga na  $500 \Omega$  postiže se u našem slučaju najniži nivo šuma. Ulagani se



Slika 142.  
Faktor šuma  $F$  u stupnju za miješanje ovisi o unutarnjem otporu generatora. Krivulja na slici mjerena pri frekvenciji 1 MHz dana je za tranzistor OC170  
krug veže s bazom prvog tranzistora induktivno ili kapacitivno.

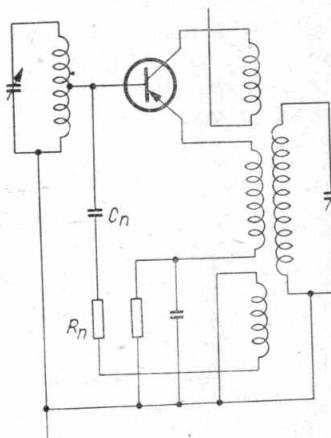
U tranzistorskim stupnjevima postoji problem *povratnog miješanja*, tj. dio međufrekventnog signala vraća se u ulazni krug i miješa s frekvencijom oscilatora i ulaza. Posljedica toga je promjena karakteristike tranzistora; ulazni i izlazni otpor raste, a prema tome i pojačanje snage, pa može doći do oscilacija na međufrekvenciji. Smanjenjem broja zavoja sekundarne zavojnice na feritnom štapu, te promjenom kapaciteta  $C_2$  i  $C_3$ , smanjuje se i utjecaj povratnog djelovanja.

Budući da je tranzistorski prijemnik malih dimenzija, u donjem području srednjeg vala i gornjem području dugog vala dolazi zbog *povratne veze* između zadnjeg međufrekventnog kruga i feritne antene do oscilacija i nesimetrije propusne krivulje međufrekvencije (vidi odsjek 88). Ispravnim smještajem dijelova, oklapanjem i uzemljenjem, mora se povratna veza smanjiti ili ukloniti.

Zbog velikog kapaciteta prvog međufrekventnog titrajnog kruga (sl. 137) kolektor je bez odvojka priključen na krug. Podaci za prvi međufrekventni transformator dani su u tablici 3. Prijenosni odnos za prilagođenje otpora dobije se iz izraza  $n = \sqrt{\frac{R_{ue}}{R_{ie}}}$  gdje je  $R_{ue}$  ulazni otpor prvog međufrekventnog tranzistora.

### Stupanj za miješanje u kratkovalnom prijemniku

105. — U kratkovalnim prijemnicima upotrebljava se isti spoj za miješanje. Za tu se svrhu koriste tranzistori s višom graničnom frekvencijom (OC 614 i OC 170). Pri višim frekvencijama međutim, strmina više nije realna veličina, fazni joj se kut povećava, pa je već iznad 16 MHz teško izvesti stabilan oscilator. Budući da frekvencija signala leži u području kratkog vala vrlo blizu frekvenciji oscilatora, ulazni krug predstavlja impedanciju za osculatorsku frekvenciju, tako da dolazi do povlačenja frekvencije oscilatora. To dolazi naročito do izražaja pri višim frekvencijama kratkovalnog područja, gdje je i fazni kut strmine veći. Da bi se utjecaj antenskog kruga na rad oscilatora smanjio potrebno je, kao i u međufrekventnom stupnju, provesti neutralizaciju (vidi odsj. 90). To je postignuto na način prikazan na sl. 143. S dodatnog se namotaja u krugu kolektora uzima napon oscilatora fazno zaokrenut za  $180^\circ$  i preko  $C_N - R_N$  člana dovodi bazi. Neutralizacijom je smanjeno povlačenje oscilatora.



Slika 143.

Shema kratkovalnog samooscilirajućeg stupnja za miješanje. S dodatnog namotaja u krugu kolektora uzima se napon oscilatora fazno zaokrenut za  $180^\circ$  i preko  $C_N - R_N$  člana dovodi bazi. Neutralizacijom je smanjeno povlačenje oscilatora.

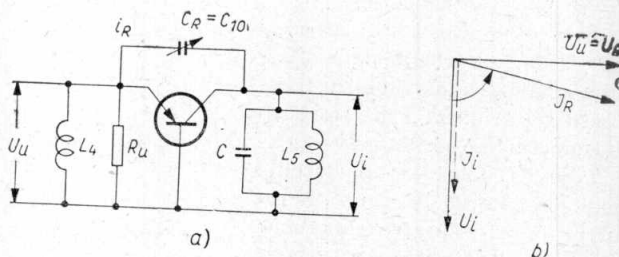
članova neutralizacije  $R_n$  i  $C_n$  ( $10 \Omega$ ,  $100 \text{ pF}$ ) dovodi se na bazu tranzistora. Kako su elementi povratnog djelovanja frekventno ovisni, moramo neutralizaciju provesti u sredini područja, i to tako da je napon baze sveden na najmanju moguću vrijednost.

Pored toga potreba ARP-a daleko je veća u kratkovalemnom području nego u području srednjeg ili dugog vala. Stoga se ispred stupnja za miješanje, gdje nije moguće provođenje regulacije, primjenjuje visokofrekventno prepojačalo.

### UKV stupanj za miješanje

106. — Pri visokim frekvencijama na UKV području radio-difuznog programa (87,5—100 MHz) ne mogu se više upotrijebiti obični spojevi oscilatora, jer strmina u tom području frekvencije nije više realna veličina, nego ima fazni pomak otprilike od  $90^\circ$ . Odmah će biti jasno da je za ovu svrhu najpogodniji spoj sa zajedničkom bazom. U tom je spoju naime povratno djelovanje pozitivno, dok je u spoju sa zajedničkim emiterom na ovom području frekvencija ono negativno, tako da je u spoju baze moguće osciliranje sa sasvim malim amplitudama, a u spoju emitera to se ne može ostvariti.

Kad u spoju baze ne bi bilo faznog pomaka strmine, izlazni bi i ulazni naponi morali da budu u fazi, i u tom slučaju ne bi bio potreban nikakav element za zakretanje. Međutim zbog faznog pomaka strmine on je ipak nužan. Spajanjem kondenzatora između kolektora i emitera unutarnje, (sl. 144a), povratno djelovanje, dovoljno je povećano, tako da je ispunjen uvjet osciliranja. To ćemo najlakše shvatiti prema vektorskom prikazu na sl. 144b.



Slika 144.

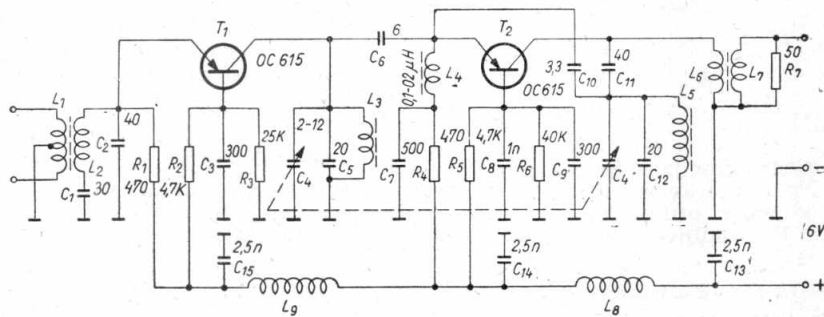
- a) UKV stupanj za miješanje, b) vektorski prikaz faznih odnosa

Označimo ulazni napon između emitera i baze sa  $U_u$ . Napon  $U_u$  izaziva u kolektorskem krugu struju koja zbog faznog kuta strmine ostaje za ulaznim naponom oko  $90^\circ$ . U slučaju rezonancije nastat će uslijed struje  $I_i$  na titrajnem krugu istofazni napon  $U_i$ . Taj napon

tjera kroz kapacitet  $C_R$  i ulazni otpor tranzistora struju reakcije  $I_R$  koja je skoro u fazi s ulaznim naponom, uz pretpostavku da je ulazni otpor realna veličina i mnogo manji od kapacitivnog otpora kondenzatora  $C_R$ . Dakle i napon proizведен na ulazu strujom  $I_R$  ima isti fazni kut kao i struja. Kako to u praksi nije slučaj, eventualne se razlike faznog kuta mogu korigirati induktivitetom  $L_4$ , koji je tako odabran da kompenzira kapacitivni otpor ulazne impedancije.

Razlike faznog kuta strmine nastale zbog odstupanja u karakteristikama tranzistora mogu se izbjegići ako je  $L_4$  promjenljiv. Induktivitet  $L_4$  čini međutim dio međukruga preko kojeg je visokofrekventni predstupanj vezan sa samooscilirajućim stupnjem za miješanje, pa je promjena  $L_4$  nepoželjna. Stoga je umjesto variabilnog  $L_4$  bolje upotrijebiti promjenljivi  $C_R$ , to više što se  $L_4$  može mijenjati u užim granicama samo za faktor 2, dok  $C_R$  naprotiv možemo mijenjati i za faktor 5. Veličina napona oscilatora mjerena između emitera i mase treba da bude oko 100 mV.

107. — Samooscilirajući UKV stupanj za miješanje, prikazan na sl. 145, radi i za ulaznu frekvenciju u spoju sa zajedničkom bazom, koji se ovdje primjenjuje zato što je ulazni otpor u spoju baze na UKV području veći nego u stupnju sa zajedničkim emiterom ( $37 \Omega$  prema  $25 \Omega$ ). Neutralizacija provedena na KV području ovdje se ne može upotrijebiti zbog malog ulaznog otpora (jako prigušenje kruga). No to i nije nužno, budući da zbog malog napona oscilatora (100 mV) i relativno velike razlike između prijemne i oscilatorske frekvencije ne dolazi do štetnog zračenja oscilatora i međusobnog djelovanja ulaznog i oscilatorskog kruga.



Slika 145.  
Shema tranzistororskog UKV tunera s tranzistorima OC615

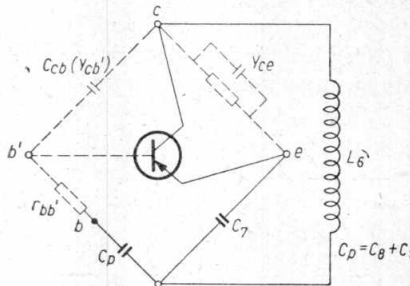
Svitak  $L_5$  predstavlja s promjenljivim kondenzatorom  $C_4$  i kondenzatorom  $C_{12}$  ugođeni krug oscilatora.

Zavojnica  $L_4$  spojena na ulazu promjenljivog induktiviteta od 0,1 do 0,2  $\mu\text{H}$  služi za određivanje amplitude oscilatora. Ugađanje se

vrši u sredini frekventnog područja oscilatora i uz sniženi napon baterije. Kako  $L_4$  djeluje i na frekvenciju oscilatora, treba da se na kraju područja vrši korektura induktivitetom  $L_5$ .  $L_4$  predstavlja za međufrekvenciju kratak spoj, pa je djelotvorni kapacitet, koji zajedno sa  $L_6$  čini međufrekventni titrajni krug, jednak paralelnom spoju kapaciteta  $C_{11} = 40 \text{ pF}$  i kapaciteta kolektor-baza, čija vrijednost iznosi  $2 \text{ pF}$  uz  $f = 10,7 \text{ MHz}$ . Svitak  $L_7$  služi za prilagođenje izlaznog otpora stupnja za miješanje i ulaznog otpora prvog međufrekventnog stupnja predočenog otporom  $R_7$ .

Otporima  $R_4$ ,  $R_5$  i  $R_6$  određena je istosmjerna radna tačka, dok je kapacitetima  $C_7$ ,  $C_8$  i  $C_9$  baza za visoku frekvenciju uzemljena.

108. — *Neutralizacija*. Kao i u sklopovima za miješanje s elektronikama (kapacitet anoda-rešetka), i u tranzistorima dolazi preko kapaciteta kolektor-baza do negativne reakcije za međufrekvenciju, koja smanjuje unutarnji otpor tranzistora, pa je time međufrekventni titrajni krug jako prigušen. Kapacitet  $C_{cb}$  ( $\gamma_{cb'}$ ) određen je izborom tranzistora i na njega se ne može utjecati. Upotreboom mosnog spoja međutim njegov se utjecaj može kompenzirati ili prekompenzirati pozitivnom reakcijom, tako da dobivamo *neutraliziran* ili *preneutraliziran* stupanj. Osnovni princip neutralizacije u mosnom spoju sastoji se u tome da se napon u jednoj dijagonali mosta ne pojavljuje u drugoj.



Slika 146.

Neutralizacija stupnja za miješanje za međufrekvenciju  $10,7 \text{ MHz}$ .  $r_{bb}$ , je otpor priključka baze ( $10 - 15$ ,  $\gamma_{ce}$  vodljivost kolektor-emiter

-baza  $C_{cb}$  ( $\gamma_{cb'}$ ) i vodljivost kolektor-emiter ( $\gamma_{ce}$ ). Otpornike  $R_4$ ,  $R_5$  i  $R_6$  možemo zbog male vodljivosti zanemariti, dok je za međufrekvenciju svitak  $L_4$  kratak spoj.

Međufrekventni naponi sa svitka  $L_6$  ne smiju prodrijeti u drugu dijagonalu između baze  $b'$  i emitera. Taj će uvjet biti ispunjen onda, kad je most u ravnoteži

Sl. 146 pokazuje elemente međufrekventnog mosta koji služi za kompenzaciju negativne reakcije na taj način, da se između baze i emitera dovodi pozitivna reakcija.

Za generator međufrekventnog napona može se uzeti svitak  $L_6$  između kolektora i mase. Baza i emiter nisu za međufrekventni napon na masi, jer kondenzatori  $C_7$  i  $C_8 + C_9$  ne predstavljaju za međufrekvenciju kratak spoj. Tako će se kondenzator  $C_7$  naći u jednoj grani mosta, a  $C_p$  ( $C_p = C_8 + C_9$ ) u drugoj. Ostale grane predstavljaju kapacitet kolektor-

$$\frac{\gamma_{ce}}{\omega C_7} = \frac{\gamma_{cb'}}{\omega C_p + r_{bb}}$$

U slučaju ravnoteže međufrekventni krug nije više gušen kapacitetom  $C_{cb}$  ( $Y_{cb}$ ), već samo unutarnjim otporom tranzistora.

U praksi se pozitivna reakcija povećava odabiranjem kapaciteta  $C_7$  i  $C_p$ , i tako se preneutralizacijom može povećati unutarnji otpor tranzistora. Ako unutarnji otpor tranzistora iznosi u ravnoteži  $30 \text{ k}\Omega$ , on je s elementima odabranima na shemi povećan dva puta, dakle iznosi  $60 \text{ k}\Omega$  ( $I_e = 0,9 \text{ mA}$ ), čime će i gušenje kruga biti smanjeno.

*Pojačanje napona stupnjeva za miješanje* u određenoj radnoj tački računa se prema formuli

$$V_{ue} = \frac{S_c \sqrt{\left[ 2\pi C (B_1 - B_0) - \frac{1}{R_i} \right] R_e}}{2\pi C B_1} \quad \dots \quad (62)$$

gdje su  $B_1$  i  $B_0$  pojasna širina opterećena i neopterećena kruga. U našem je slučaju  $B_1 = 400 \text{ kHz}$  i  $B_0 = 120 \text{ kHz}$ . Ukupni je kapacitet međufrekventnog kruga suma kapaciteta:  $C_7 + C_{cb} = 42 \text{ pF}$ . Strmina miješanja uz emiterku struju  $0,9 \text{ mA}$  jest  $11,5 \text{ mA/V}$ , dok unutarnji otpor iznosi zbog neutralizacije  $60 \text{ k}\Omega$  za  $10,7 \text{ MHz}$ . Realni dio ulazne impedancije prvog međufrekventnog stupnja iznosi  $50 \Omega$ . Uz navedene vrijednosti pojačanje napona je oko 6,5.

*Pojačanje snage* možemo izračunati prema formuli u odsjeku 87, ili iz izraza  $V_{sc} = V_{ue}^2 \frac{R_{ue}}{R_p}$ , gdje je  $R_{ue}$  realni dio ulaznog otpora stupnja za miješanje, a  $R_p$  optereti otpor, tj. realni dio ulazne impedan- cije prvog međufrekventnog stupnja. Mjerena ulazna vodljivost pri frekvenciji  $93 \text{ MHz}$  iznosi za ovaj stupanj (28—15 j)  $mS$ , znači  $R_{ue} = 35 \Omega$ . Pojačanje je snage prema tome oko 30.

109. — U kolektorskom krugu visokofrekventnog predstupnja *visokofrekventni titrajni krug-međukrug* ugoden je na ulaznu frekven- ciju, i preko kondenzatora  $C_6$  prilagođen stupnju za miješanje. Budući da frekvencija oscilatora leži iznad prijemne frekvencije, međukrug predstavlja već velik kapacitet za ovu frekvenciju.

U slučaju maksimalnog pojačanja snage mora realni dio ulaznog otpora stupnja za miješanje, transformiran u kolektorski krug visoko- frekventnog prepojačala, da bude jednak paralelnom spoju unutarnjeg otpora  $R_i$  tranzistora  $T_1$  i otpora titrajnog kruga  $R_o$ .

Prilagođenje se postiže kapacitetom  $C_6$ , čiji kapacitivni otpor mora da bude  $x_{c6} = x_{es} + \sqrt{R_{es} R_p - R_{es}^2}$ .  $R_p$  je paralelni spoj otpora titraj- nog kruga  $R_o$  i unutarnjeg otpora tranzistora  $T_1$ , dok su  $R_{es}$  i  $x_{es}$  realni dio i imaginarni dio ulaznog otpora tranzistora prikazanog u serij- skom spoju. Sve vrijednosti odnose se na frekvenciju u sredini pri- jemnog područja (93 MHz). Uz prije dane podatke i uz  $R_o = 4 \text{ k}\Omega$  kapa- citet  $C_6$  treba da iznosi  $5,6 \text{ pF}$ .

## Visokofrekventno UKV prepojačalo

110. — Tranzistor  $T_1$  OC 615) u visokofrekventnom prepojačalu radi u spoju sa zajedničkom bazom, gdje je zbog pozitivne reakcije pojačanje veće nego u emiterском spoju. Zanimljivo je da predstupanj nije potrebno neutralizirati. Fazni kut strmine u ovom frekventnom području iznosi oko  $90^\circ$  pa zbog toga, i zbog malog kapaciteta povratnog djelovanja, dolazi do pozitivne reakcije (vidi odsjek 106). Ta pozitivna reakcija povećava unutarnji i izlazni otpor tranzistora približno za 40%. Rezonantni otpor međukruga u kolektoru tranzistora  $T_1$  iznosi uz priključen samooscilirajući stupanj za miješanje ( $T_2$ ) približno  $1,5 \text{ k}\Omega$ , dok je unutarnji otpor tranzistora  $T_2$  oko  $10 \text{ k}\Omega$ , pa povećanje ulaznog otpora neznatno utječe na pojačanje stupnja, budući da postoji potprilagodenje. Pozitivna reakcija povećava i ulazni otpor tranzistora, pa u slučaju da je provedeno prilagodenje na ulazu s induktivitetima  $L_1$  i  $L_2$  i kondenzatorima  $C_2$  i  $C_3$  dobiva se veće pojačanje snage. Radna tačka tranzistora  $T_1$  određena je otporima  $R_1$ ,  $R_2$  i  $R_3$ , tako da struja emitera iznosi oko  $1,4 \text{ mA}$ . Uz ovu veličinu emiterске struje postignuto je najveće pojačanje i najpovoljniji odnos signal-šum. Povećanjem struje postiglo bi se doduše veće pojačanje, ali zato lošiji odnos signal-šum.

Baza je uzemljena kondenzatorom  $C_3$ . Svitak  $L_3$  čini s promjenljivim kondenzatorom  $C_4$  i kondenzatorom  $C_5$  titrajni krug-međukrug u kolektoru i predstavlja radni otpor ovog stupnja. Veličina kapaciteta  $C_5$  odabrana je tako da se može obuhvatiti cijelo UKV područje.

*Priklučivanje antene* na ulaz visokofrekventnog predstupnja vrši se preko ulaznog titrajanog kruga, koji je usklađen na srednju prijemnu frekvenciju. Otpor zračenja antene prilagođuje se s transformatorom  $L_1$  i  $L_2$  i oba kapaciteta  $C_1$  i  $C_2$ , koji sačinjavaju ulazni titrajni krug, ulaznom otporu tranzistora. Prilagođenje s kondenzatorima  $C_1$  i  $C_2$  omogućuje izvedbu zavojnice većeg induktiviteta, budući da se pri malim induktivitetima teško dobiva tačan odvojak na zavojnici. Prednost kapacitivnog prilagodenja je i ta da su viši harmonici oscilatora preko kapaciteta  $C_1$  spojeni na masu.

Realni dio ulaznog otpora predstupnja koji nije neutraliziran povećan je u datoj radnoj tački od  $37 \Omega$  otprilike na  $52 \Omega$ , pa je prijenosni odnos uz otpor antene  $60 \Omega$

$$n_{\text{ant}} = \sqrt{\frac{R_{\text{ue}}}{R_a}} = \sqrt{\frac{52}{60}} = 0,93$$

Mijenjajući odnose kapaciteta kod prilagodenja ne smije se zaboraviti da kapaciteti  $C_1$  i  $C_2$  čine dio titrajanog kruga, pa im ukupna vrijednost mora da ostane ista. Čvrstom vezom između zavojnica  $L_1$  i  $L_2$  postignuto je jednoliko pojačanje u cijelom prijemnom području, uz povoljan odnos signal-šum i na krajevima područja. Da bi se održala što čvršća veza između zavojnica  $L_1$  i  $L_2$  one su motane bifilarno. Na krajeve svitka

$L_1$  priključuje se antena otpora isijavanja  $240 \Omega$ , a između odvojka i mase antena otpora  $60 \Omega$ .

Pojačanje napona određuje se prema formuli pojačanja napona stupnja za miješanje u odsjeku 108, samo što je u ovom slučaju  $S = 17$  mA/V,  $C = 33 \text{ pF}$ ,  $B_1 = 3,4 \text{ MHz}$ ,  $B_0 = 1,2 \text{ MHz}$   $R_i = 10 \text{ k}\Omega$  i realni dio izlaznog otpora tranzistora  $T_2$   $R_o = 35 \Omega$ . Vrijednosti  $B_0$  i  $B_1$  odnose se na frekvenciju 93 MHz.

### UKV tuner (tjuner)

111. — Kao što smo vidjeli, UKV prijemnik obavezno ima visokofrekventno pojačalo ispred stupnja za miješanje (sl. 145). Ova su dva stupnja kombinirana u posebnu jedinicu, kojoj je i u našem jeziku zadran engleski naziv *tuner* (čitaj tjuner). Za ugradnju ovog stupnja postoje, uz postignut dobitak pojačanja, i drugi razlozi. Prvo, oscilator je odijeljen od antene, pa je isijavanje znatno smanjeno. Drugi je razlog u potiskivanju šuma. Naime, u stupnju za miješanje šum je jači, pa da bi se postigao povoljniji odnos signal-šum, potrebno je da korisni signal na ulazu tog stupnja bude što veći.

Zbog stabilnog rada nikakva se prespajanja ne vrše na titrajnim krugovima (kao u AM prijemniku), već samo u dovodima napona i u međufrekventnom krugu. Negativan pol izvora napajanja u tuneru obično je uzemljen, i titrajni su krugovi spojeni direktno na šasiji. Dovodenje pozitivnog pola baterije vrši se prigušnicama  $L_8$  i  $L_9$  koje s kapacitetima  $C_{13}$ ,  $C_{14}$  i  $C_{15}$  sačinjavaju filtre za sprečavanje povratnog djelovanja međufrekvencije.

Ukupno naponsko pojačanje tunera od antene do izlaza jest:  $V_{uT} = 16,35$ , a pojačanje snage  $V_{ST} = 320$ .

### Ovisnost elemenata o temperaturi

112. — Pri višim frekvencijama valja veliku pažnju obratiti izboru ugrađenih elemenata: otpornicima, zavojnicama i kondenzatorima. Specijalnom izvedbom (bifilarno namatanje) smanjuju se štetni kapacitet i induktivitet otpora. Što su zavoji međusobno više razmaknuti i što je manji promjer zavojnice, to je štetni kapacitet manji. Motani kondenzatori posjeduju znatne induktivitete dovodnih žica i folija, koji kod pojedinih frekvencija kompenziraju kapacitet kondenzatora, a uz to su i gubici u papirnim kondenzatorima znatni. Zato se na UKV području koriste isključivo keramički kondenzatori. Oni su podijeljeni u dvije grupe: keramički kondenzatori velikog kapaciteta koji su upotrebljeni za filtriranje, i kondenzatori u titrajnim krugovima u kojima je naročito važno temperaturno vladanje. Na primjer, kondenzatori  $C_1$  i  $C_2$  obično su keramički pločasti kondenzatori, tako odabrani da s induktivitetom dovoda čine serijski rezonantni krug na frekvenciji 100 MHz.

113. — Posebnu pažnju treba obratiti *temperaturnoj ovisnosti elemenata* upotrebljenih u tuneru, a napose u oscilatoru. Pomicanje frekvencije oscilatora određuju promjene vrijednosti elemenata u titrajnog krugu, prvenstveno kondenzatori i zavojnice, a dakako i unutarnji kapaciteti tranzistora. Uzroci tome mogu biti različiti: promjene temperature, starenje itd. Najznačajniji je uzrok svakako promjena temperature.

Da bi se pomicanje frekvencije smanjilo potrebno je poduzeti odgovarajuće mјere.

Kondenzatori i zavojnice imaju u pravilu pozitivan temperaturni koeficijent ( $\alpha_0 T = \frac{\Delta C}{C T}$ ), temperaturni koeficijent pokazuje koliko će se promijeniti kapacitet poveća li se temperatura za  $1^{\circ}\text{C}$ , tj. povlašćenjem temperature snizuje se rezonantna frekvencija titrajnog kruga. Kombiniranjem elemenata s različitim temperaturnim koeficijentom možemo dobiti potreban temperaturni koeficijent.

Tako na primjer za serijsku kombinaciju kondenzatora vrijedi

$$\alpha_s = \frac{C_1 \alpha_2 + C_2 \alpha_1}{C_1 + C_2}$$

a za paralelnu

$$\alpha_p = \frac{C_1 \alpha_1 + C_2 \alpha_2}{C_1 + C_2}$$

Kombiniranjem kondenzatora koji imaju određen temperaturni koeficijent možemo dobiti potreban koeficijent kondenzatora  $C_{13} : \alpha_{13} = -650 \cdot 10^{-6}/^{\circ}\text{C}$ . Tako stabiliziran oscilator praktički je neovisan o temperaturi u području od  $-20^{\circ}\text{C}$  do  $50^{\circ}\text{C}$ .

Drugi važni faktor o kojem ovisi frekvencija oscilatora jest *napon napajanja*. Promjenom napona baterije mijenja se *dinamički* kapacitet unutar tranzistora, a time i frekvencija oscilatora. Uz promjenu napona za 30% frekvencija se mijenja za više od 0,5 MHz. U slučaju da je upotrebljen izvor kojem se jako mijenja napon napajanja (autoprijemnik) potrebno je provesti stabilizaciju napona s tranzistorom.

### Pitanja

61. Koja su dva općenita tipa tranzistorskih oscilatora? Koje su vrste slične sklopovima sa elektronikama?
62. Nacrtaj shemu stupnja za miješanje! Zašto je kolektor gotovo uvijek spojen preko odvojke na medufrekventni transformator?
63. Zašto je u kratkovalnim prijemnicima u stupnju za miješanje potrebna neutralizacija?
64. Kakav se spoj za miješanje koristi na UKV području?
65. O čemu ovisi strmina miješanja? Kako je definirana?
66. Definiraj pojačanje miješanja? Da li se  $R_{ue}$ ,  $R_{ie}$  i  $S_c$  mijenjaju s promjenom radne tačke?

67. Zašto se spoj sa zajedničkom bazom najviše upotrebljava na UKV području u oscilatorskim spojevima? Nacrtaj vektorski prikaz struje i napona u takvu oscilatoru!
68. Čime se mogu korigirati razlike u faznim kutevima strmine u stupnju nastale zbog odstupanja u karakteristikama tranzistora?
69. Zašto u UKV stupnju za miješanje nije potrebna neutralizacija?
70. Zbog čega se provodi neutralizacija stupnja za miješanje za medijum?
71. Šta je to preneutralizacija?
72. Koji elementi su kritični u izvedbi tunera?
73. Kada je potrebno provesti stabilizaciju napona napajanja?



## Tranzistorski prijemnici

### Općenito o tranzistorskim prijemnicima

114. — Osim malo izuzetaka tranzistorski prijemnici u većini slučaja su konstruirani su prema superheterodinskom principu. Slično kao i prijemnici s elektronkama tranzistorski prijemnici sadrže stupanj za miješanje, oscilator, međufrekventno pojačalo, niskofrekventno pojačalo i izlazni stupanj.

Budući da im je napon napajanja nizak a impedancije relativno male, struje su dosta velike i dimenzioniranje dijelova mora se promatrati s ove strane.

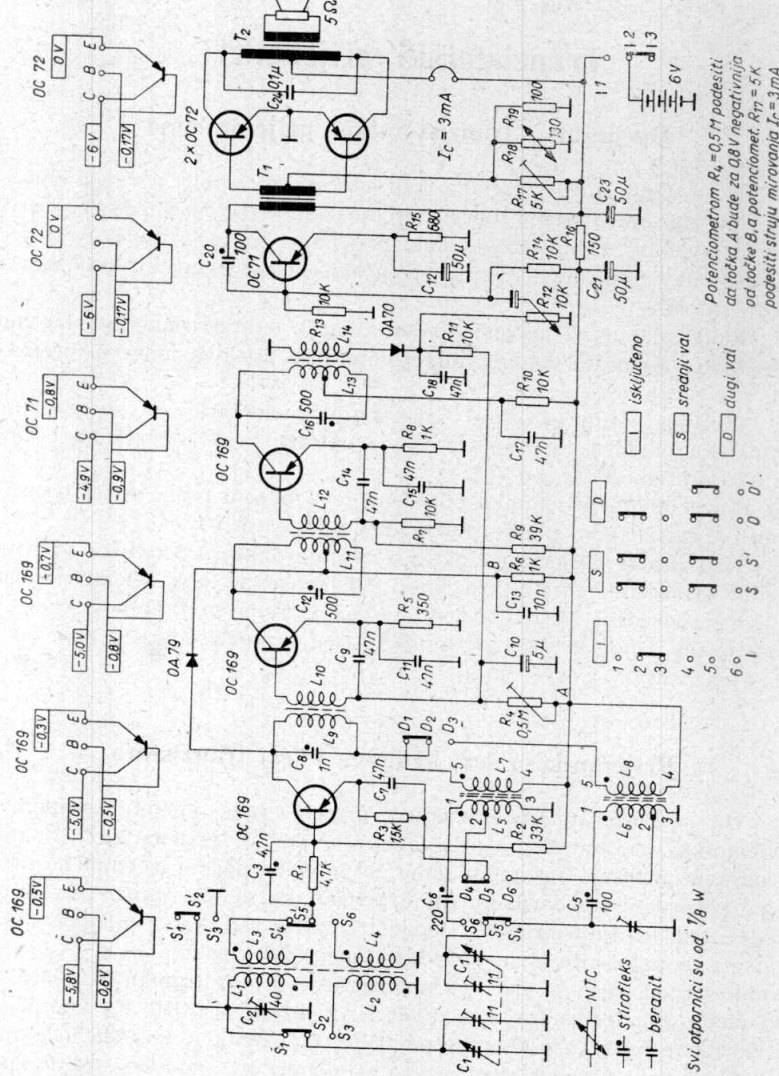
Nabrojeni stupnjevi koji sačinjavaju prijemnik već su posebno obrađeni u predašnjim odsjecima, a za opisane vrste prijemnika bit će ukratko protumačeni.

Konstrukcija prijemnika određena je u prvom redu, selektivnošću, osjetljivošću, širinom pojasa, napon napajanja itd.

Selektivnost prijemnika ovisi o broju i faktoru kvalitete upotrebљenih visokofrekventnih krugova i MF-krugova. Ipak selektivnost je uglavnom određena MF pojačalom, budući da se ne upotrebljava više VF predstupanj. Izlazna snaga prijemnika ovisi o izvedbi izlaznog pojačala i tipu tranzistora.

### Prijemnik sa šest krugova i šest tranzistora

115. — Pošto što smo razmotrili principe rada pojedinih stupnjeva prijemnika, upoznat ćemo se i s konstrukcijom prijemnika. Pri tom se naravno moramo ograničiti samo na pojedine načine izvedbi. Najprije ćemo govoriti o standardnom spoju prijemnika sa šest tranzistora, dvije diode i šest titrajnih krugova. Jedan tranzistor radi kao *samooscilirajući stupanj* za miješanje, dva u *međufrekventnom dijelu*, a tri u *niskofrekventnom* (od kojih su pak dva upotrebljena u protufaznom B-pojačalu). Od dioda jedna služi za *demodulaciju*, a druga za ARP. Za napajanje su potrebne četiri štap-baterije po 1,5 V. Prijemnik je izведен u tehniči štampanih spojeva čime je povećana ekonomičnost, smanjena težina aparaata, a ima dva valna područja. Shema aparata pokazana je na sl. 147. Stupanj za miješanje izведен je aditivno u samoscilirajućem spoju (vidi odsjek 100). Ulazni stupanj sastavljen je od promjenljiva kondenzatora  $C_1$  i zavojnice na feritnom štalu ( $L_1, L_2$ ). Taj krug prilagođen je pomoću sekundarne zavojnice ( $L_3, L_4$ ) ulaznom otporu tranzistora. Željeno



Sjöka 117

Shema dvovalnog tranzistorskog prijemnika »Vikend« (SV, DV) »Radioindustrija Zagreb«

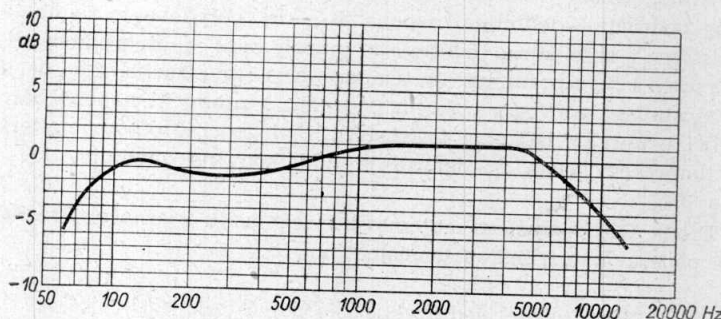
valno područje uključuje se preklopnikom sa tri položaja, dok se tipkom »I« isključuje aparat. Tranzistor za miješanje OC 169 radi kao oscilator s uzemljenom bazom i induktivnom povratnom vezom koja je postignuta zavojnicama  $L_5$  i  $L_7$  za srednji, a sa  $L_6$  i  $L_8$  za dugi val. Kolektor tranzistora OC 169 dobiva istosmjerni napon preko zavojnice prvog međufrekventnog transformatora i reakcijske zavojnice oscilatora uključenog valnog područja. Djeliteljem napona  $R_1 - R_2$  određena je radna tačka tranzistora, i stabiliziran istosmjerni napon baze, a otpornikom  $R_3$  u emiterском krugu postignuta je temperaturna stabilizacija, tako da je uz to čvaj stupanj neovisan u širem području o promjeni napona baterije i razlici u karakteristikama tranzistora. Prilagodenje otpora emiterског i osculatorskog kruga postignuto je odvojkom na zavojnici  $L_5$ , odnošno  $L_6$ .

Dioda OA 79 služi za automatsku regulaciju glasnoće. Prednapon diode podešava se trimer-potenciometrom  $R_4$ .

116. — *Dvostepeno međufrekventno pojačalo* izvedeno je kao i stupanj za miješanje s tranzistorima OC 169 i sadrži tri međufrekventna kruga (vidi odsjek 88). Pomoću sekundarnih zavojnica  $L_{10}$ ,  $L_{12}$  i  $L_{14}$  izvedeno je prilagođenje otpora u krugu baza ovih tranzistora i diode demodulatora. Da bi se smanjilo prigušenje krugova, odvojcima na zavojnicama drugog i trećeg međufrekventnog kruga izvedeno je prilagodenje izlaznog otpora tranzistora. Korištenjem relativno velikih vrijednosti kapaciteta međufrekventnog titrajnog kruga ( $C_8$ ,  $C_{16}$ ,  $C_{12}$ ), i upotrebo tranzistora OC 169, pojačalo radi tako stabilno da neutralizacija nije potrebna.

117. — *Demodulator i niskofrekventno pojačalo*. Demodulacija se vrši germanijevom diodom OA 70. Demodulacioni napon dobiven na potenciometru  $R_{12}$  za regulaciju glasnoće dovodi se na ulaz niskofrekventnog pojačala, dok se dio tog napona odvodi na bazu prvog međufrekventnog tranzistora za automatsku regulaciju. U prijemniku je izведен uobičajeni niskofrekventni dio, koji se sastoji od pobudnog stupnja izvedenog s tranzistorom OC 71 i protutaktogn pojačala s tranzistorima  $2 \times$  OC 72. Izlazno pojačalo radi u klasi B, čime je postignut veći stupanj korisnog djelovanja, a opterećenje je baterije neznatno kad nema signala. U tvorničkim se podacima preporučuje takav izbor radne tačke da teče određena struja mirovanja. Na taj je način izbjegnuto povećano nelinearno izobličenje koje nastaje zbog različitih karakteristika tranzistora unutar para, ili kad je pojačalo pobuđivano malim signalom. Propisano ukupna kolektorska struja od 3 mA za tranzistore  $2 \times$  OC 72 može se regulirati otpornikom  $R_{17}$ . Radi dobivanja što veće korisne snage odabrana je temperaturna stabilizacija sa NTC otpornikom  $R_{18}$  i djeliteljem napona. Da bi se dobila linearna promjena otpora s temperaturom, stavljen je NTC otporniku paralelni otpornik  $R_{19}$ . Izlazna snaga kod pune pobude jest 250 mW. Tranzistor OC 71 vezan je transformatorom prijenosnog odnosa  $1 : (2,13 + 2,13)$  na ulaz izlaznog stupnja.

Zbog smanjenja rasipnog induktiviteta namotaji su motani bifilarno. Izlazni transformator prijenosnog odnosa 7,3:1, potreban za prilagođenje impedancije, napaja trovatni zvučnik. Pojačanje snage niskofrekventnog stupnja za 50 mW iznosi 64 dB. Frekventna karakteristika niskofrekventnog pojačala dana je na sl. 148. Filtarski članovi  $R_{16}$ — $C_{21}$



*Slika 148.*  
Prigušna karakteristika niskofrekventnog dijela prijemnika

i  $C_{23}$ ,  $R_6$ — $C_{13}$  i  $R_{10}$ — $C_{17}$  služe za sprečavanje galvanske reakcije. Konačno, na sl. 149 i 150 vidimo izgled jednog tvorničkog tranzistorskog prijemnika.

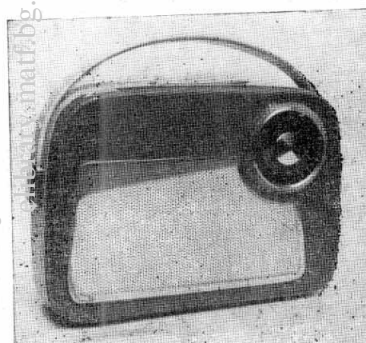
### Ultrakratkovredni i srednjevalni prijemnik sa devet tranzistora

118. — Kao slijedeći opisat ćemo kombinirani AM—FM super sa devet tranzistora, jedanaest FM titračnih krugova i sedam AM krugova (sl. 151).

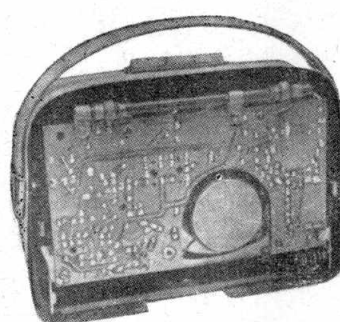
Budući da na UKV području tranzistori rade blizu granične frekvencije, za pojačanje je potrebno više tranzistora nego u prijemnom AM dijelu.

UKV dio do ratio-detektora sastoji se od tunera kojeg čine visokofrekventno predpojačalo i stupanj za miješanje (dva tranzistora OC 615), i međufrekventnog pojačala koje, uključivši i pobudni stupanj ratio-detektora, ima tri tranzistora OC 614.

Za AM prijemni dio potreban je samoskilirajući stupanj za miješanje i dvostepeno međufrekventno pojačalo, tj. samo tri tranzistora. Prijemnik je dakle tako izведен da se od ova tri tranzistora u FM prijemu međufrekventnog pojačala jedan upotrebljava u srednjevalnom području kao samooskilirajući stupanj za miješanje, a dva za međufrekventno pojačanje 460 kHz. Ovom su izvedbom izbjegnuta prespajanja u UKV tuneru.



*Slika 149.*  
Tranzistorski prijemnik  
»Arena«

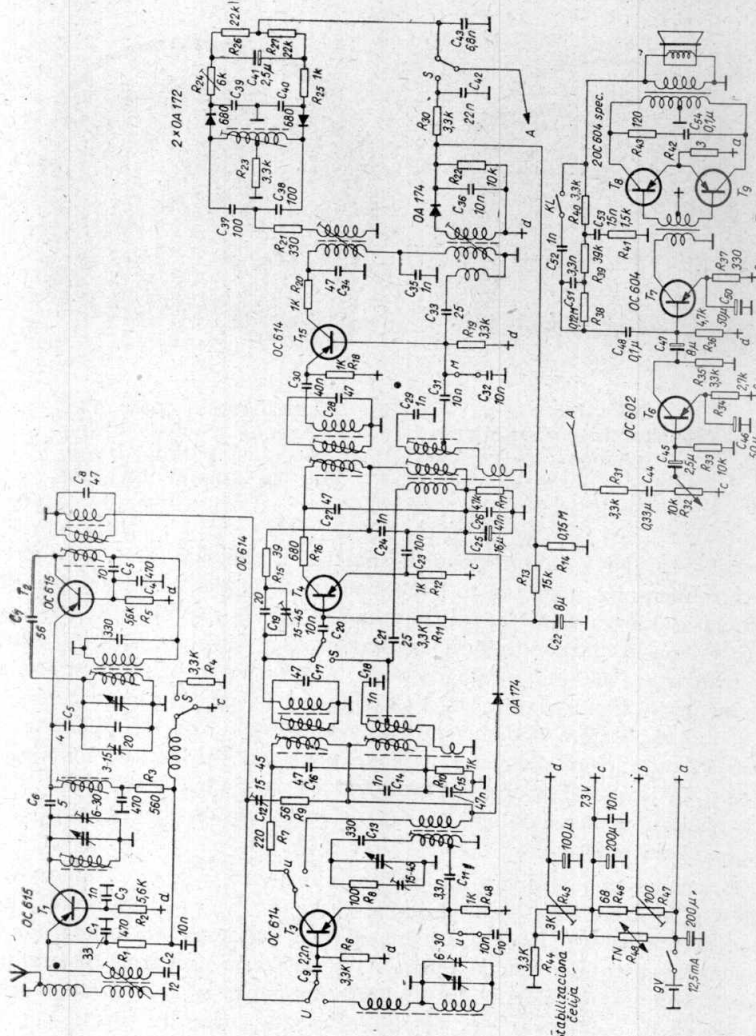


Tranzistorski prijemnik  
»Arena« pogled straga.  
Na slici vidimo izvedbu  
sa štampanim spojima

119. — O UKV tuneru govorili smo već u odsjeku 111. Uzvodni krug visokofrekventnog pojačala u UKV području ugoden je u sredini FM područja, dakle za 93 MHz. Kapacitetima  $C_1$  i  $C_2$  izvršeno je prilagodjenje antene i ulaznog otpora tranzistora za potrebnu širinu pojasa. Oba tranzistora OC 615 u tuneru rade u spoju sa zajedničkom bazom. Baze su preko kondenzatora  $C_3$  i  $C_4$  spojene na masu. Kondenzator  $C_4$  ima s induktivitetom vodova serijsku rezonanciju oko 100 MHz. Tranzistor  $T_1$  nije neutraliziran i njegovo povratno djelovanje poboljšava antenski prijenos. U njegovu kolektoru leži uskladen visokofrekventni krug, na koji je kapacitetom  $C_6 = 5 \text{ pF}$  vezan emiter samooscilirajućeg stupnja za miješanje.

Pojačanje napona ovog sklopa otprilike je 2,5, dok je ukupno pojačanje oko 25. Kondenzatorom  $C_7$  oscilatorski je titrani krug vezan s kolektorom tranzistora  $T_2$ , koji ujedno djeluje kao kapacitet prvog međufrekventnog titravnog kruga. Pozitivna je reakcija oscilatora postignuta kondenzatorom  $C_5$ . Varijabilni induktivitet služi za određivanje optimalnog rada oscilatora, pri čemu se mogu korigirati fazni pomaci strmine nastali zbog odstupanja u karakteristikama tranzistora.

120. — Međufrekventno FM pojačalo i demodulator. Međufrekventno pojačalo sastoji se od tri tranzistora OC 614 vezana međufrekventnim pojasnim filtima. Prva dva stupnja rade u spoju sa zajedničkim emiterom, a pobudni stupanj u spoju sa zajedničkom bazom. Dok ovaj stupanj ne zahtijeva neutralizaciju, prva se dva moraju neutralizirati, i to



Ultrakratkovlani i srednjevalni prijemnik sa devet tranzistora, jedanaest FM i sedam AM krugova

Slika 151.

Ultrakratkovlani i srednjevalni prijemnik sa devet tranzistora, jedanaest FM i sedam AM krugova

se postiže elementima  $R_9$ ,  $R_{15}$  i  $C_{12}$ ,  $C_{19}$ . Veličina napona neutralizacije dobije se kapacitivnim djeliteljima napona  $C_{14}$  -  $C_{16}$  i  $C_{24}$  -  $C_{27}$ . Kapacitet prvog međufrekventnog filtra uglavnom je kondenzator  $C_7$ , koji istovremeno spaja kolektor tranzistora  $T_1$  s krugom oscilatora. U kolektorskim krugovima tranzistora  $T_3$ ,  $T_4$ ,  $T_5$  nalaze se otpornici  $R_7$ ,  $R_{16}$ ,  $R_{20}$  koji pri pobudi tranzistora smanjuju djelovanje nastalo promjenama kolektorskih kapaciteta na međufrekventne krugove. Pojačani međufrekventni signal dovodi se s tranzistora  $T_5$  ratio-detektoru s diodama OA 174. Niskofrekventni napon na balansnim otporima  $R_{26}$  i  $R_{27}$  dovodi se preko sklopke na regulator glasnoće  $R_{32}$  niskofrekventnog pojačala (tačka A).

121. — *AM dio prijemnika.* (Preklopnik se nalazi u položaju S.) *Samooscilirajući stupanj za miješanje.* Prvi međufrekventni stupanj radi i kao samooscilirajući stupanj za miješanje za srednji val. Pri tom se baza spaja preko preklopnika s odvojkom ulaznog titrajnog kruga, koji za antenu upotrebljava feritni štap. Prespajanje se vrši i u izlaznom krugu i u bazi tranzistora  $T_4$ . Oscilator radi u spoju sa zajedničkom bazom (vidi odsjek 101). Otpornik 100 omu u kolektorskem krugu, se-rijski spojen s trimerom, služi za dobivanje jednolikog napona oscilatora unutar prijemnog područja.

122. — *Međufrekventno pojačalo.* Međufrekventni signal iz stupnja za miješanje dovodi se bazi tranzistora  $T_4$ . Prilagođenje ulaznog i izlaznog otpora ovih stupnjeva postizava se odvojkom na sekundarnoj zavojnici pojasnog filtra. Ako je potrebna neutralizacija, ona se provodi sa svitka za neutralizaciju primarnog kruga preko  $C_{21}$  i  $C_{33}$  na bazu. Posljednji međufrekventni tranzistor  $T_5$  spojen je preko međufrekventnog titrajnog kruga s demodulatorskom diodom. Napon za ARP odvodi se preko otpornika  $R_{13}$  na bazu tranzistora  $T_4$ . Ovdje je također provedena ARP prigušnjem prvog međufrekventnog kruga diodom OA 174. Regulacijom nastaje i pad napona na otporu  $R_{17}$  s kojim je spojena dioda, pa uz veliku amplitudu ona postaje vodljivom i prigušuje prvi AM međufrekventni krug.

123. — *Niskofrekventno pojačalo.* Niskofrekventno pojačalo sastoji se od prepojačala (OC 602), pobudnog stupnja (OC 604) i protufaznog B-pojačala s tranzistorima ( $2 \times$  OC 604 spec.), koje daje izlaznu snagu oko 700 mW. U niskofrekventnom dijelu provedena je negativna reakcija od sekundara izlaznog transformatora na ulaz pobudnog stupnja (vidi odsjek 75). Preklopnik KL služi za promjenu boje tona.

124. — *Određivanje radne tačke.* Kako je poznato, za vrijeme upotrebe pada napon baterije i time dolazi do smanjenja pojačanja i izobličenja u reprodukciji. Zato je potrebno provesti stabilizaciju radne tačke odnosno napona baze, čime se dobije i neovisnost emiterске struje o

naponu baterije. To se postiže stabilizacijskom čelijom ili selenskom diodom. Ako je npr. selenska dioda spojena preko otpora s baterijom, kroz nju će teći struja proporcionalna pogonskom naponu. Zbog nelinearnosti karakteristike diode promjene su pada napona na diodi manje nego promjene pogonskog napona. Ako takav stabilizirani napon napaja bazu tranzistora, stabilizirana je i struja emitera. U prijemniku na shemi, sl. 151, svi stupnjevi dobivaju stabiliziran napon baza-emiter. Stabilizacija ovog napona provedena je stabilizacijskom čelijom 1,5 V, koja je preko otpornika  $R_{44}$  spojena s baterijom. Baze tranzistora spojene su s potrebnim naponima preko odgovarajućih otpora. Prijemnik se napaja s baterijom 9 V i u stanju mirovanja troši struju oko 12 mA. Relativno visok pogonski napon uzima se zato jer UKV oscilator radi dobro tek iznad 5 V.

## A B E C E D N O K A Z A L O

Prvi broj označuje stranicu, drugi (u zagradi) odsjek

**A**

- A — pojačalo 97 (103), 365 (386), 593
- AB — pojačalo 143 (152)
- aditivno miješanje 253 (264), 641
- akceptor (primalac) 530
- amplitudna modulacija 376 (398)
- analiza harmonička 102 (109)
- prema Fourieru 102 (109)
- anodna izmjenična struja 45 (44)
- neutralizacija 360 (380)
- snaga 99 (106), 363 (383)
- anodni ispravljač 149 (156)
- izmjenični napon 46 (45)
- otpor 41 (40)
- anodno-naponska modulacija 380 (402)
- antena, antifeding 398 (419)
  - automobilска 319 (337)
  - dipol. visinska 398 (420)
  - faktor skraćivanja antene 386 (407)
  - Fuchsova 392 (413)
  - (jednožična) sa završnim kapacitetom 398 (419)
  - Marconijeva 392 (407)
  - poluvalni stup 399 (421)
  - prijemna za kratke valove 336 (354)
  - za kratkovalne odašiljače 392 (409)
  - za ultrakratkovalne odašiljače 419 (441)
- antenska veza induktivna 337 (355)
- kapacitivna 337 (355)
- antensko pojačalo 188 (198)
- antifejding-antena 402 (419)
- audion 151 (159)
- zapornim poljem 448 (475)
- sa zaštitnom rešetkom 181 (189), 339 (358)

- automatska regulacija pojačanja 618, 633—637
- automatsko ugađanje motorom 300 (316)
  - ugađanje oštirine 303 (318)
- automobilска antena 319 (337)
- automobilski prijemnik 318 (335)

**B**

- Barkhausen-Kurzov titraj: 433 (460)
- baterijski prijemnik 309 (323)
- baterijsko žarenje 39 (38)
- baza 533, 534, 540
- bežična telefonija 431 (457), 446 (477), 451 (478)
- bežični promet komercijalni 501 (431)
  - pomorski 501 (431)
  - željeznički 501 (431)
- bežično mjerjenje visine 450 (476)
- boja zvuka 64 (65)
- B-pojačalo 97 (103), 142 (151), 366 (387), 596
- bruanje, modulacija bruanjem 231 (244)
  - napon bruanja 19 (16)

**C**

- Centimetarski valovi 451 (478)
- Clappov oscilator 641
- Colpittsov spoj 340 (368)
- Colpittsov oscilator 641
- C-pojačalo 97 (103), 366 (387)

**Č**

- Čelične elektronke 238 (251)

**D**

- Decibel [dB] 557  
 decimetarski valovi 432 (458)  
 —, modulacija 445 (473)  
 —, prijemnik 447 (474)  
 —, primjena 450 (476)  
 —, proizvođenje 433 (459)  
 Delonov spoj 27 (25)  
 demodulacija 149 (156)  
 demodulator 149 (156), 613—630, 659,  
 661  
 detekcija frekventno moduliranih  
 titraja 513  
 difuzni kapacitet 556  
 dinamička karakteristika 42 (41),  
 577, 578  
 — strmina 42 (41), 56 (56)  
 dinamički kapacitet 654  
 dinamički otpor 594, 596  
 diodni ispravljač 158 (166)  
 dipol 336 (354), 388 (409)  
 — Hertzov 392 (409), 393 (415)  
 — visinski 398 (420)  
 direktna veza 584, 585  
 direktni prijemnik 178 (185)  
 disipacija 542, 592  
 diskriminatori 513  
 dobrota elektronke 58 (58)  
 donor (davalac) 530  
 doseg ultrakratkih valova 413 (433),  
 414 (434)  
 drift-tranzistor 537, 631  
 dugme-elektronka 433 (459)  
 duodioda 161 (169)  
 duodioda-trioda 162 (169)  
 dvotaktni ispravljač 21 (17)

**E**

- Efekt naknadnog žarenja 445 (472)  
 — sačme 66 (68), 184 (193), 608, 610  
 eksponencijalna heksoda 208 (220)  
 — karakteristika 206 (218)  
 — pentoda 206 (218)  
 električka skretnica 87 (93)  
 elektrolitska srednja vrijednost 19  
 (15)  
 elektroni u magnetskom polju 439  
 (465)  
 elektronka čelična 238 (251)  
 — Habanova 441 (470)  
 — izlazna 96 (102)  
 — kao element pojačala 47 (46)  
 — malena 331 (348)  
 elektronka s magnetskim poljem  
 433 (459), 438 (464)

- s magnetskim poljem s razre-  
 zanom anodom 443 (470)  
 — sa zapodnim poljem 433 (459),  
 433 (460)  
 —, šum elektronke 66 (68), 184 (193)  
 — za moduliranje 379 (401)  
 — za pomak 306 (322)  
 elektronska veza 351 (370)  
 elektrostrikcija 353 (372)  
 eliminator brušanja 35 (32)  
 emiter 533, 534, 540  
 emiterски kondenzator 588  
 emisija rešetke, termička 78 (82)

**F**

- Faktor gubitaka transformatorskog  
 lima 15 (10)  
 — izobličenja 103 (110), 105 (112)  
 — modulacije 230 (243)  
 — modulacije ukrštavanjem 233  
 (246)  
 — pojačanja 58 (57)  
 — rasipanja 93 (98)  
 — reakcije 167 (173)  
 — skraćivanja antene 386 (407)  
 — stabilizacija 564  
 — strujnog pojačanja  $\alpha$  539, 543,  
 552, 559, 561, 588  
 — šuma 608, 648  
 — ukrštene modulacije 233 (246)  
 fazna modulacija 507  
 fazni diskriminator 514, 618  
 fazni kut strmine 652  
 fazni pomak 580, 581  
 fejding kratki 329 (345)  
 fejding-regulacija automatska 211  
 (221)  
 feritna antena 645, 646  
 filter interferentni 128 (138), 280  
 (296)  
 —, međufrekventni 280 (296)  
 filter pojasi, induktivni 199 (209)  
 —, induktivno-kapacitivni 202 (212)  
 —, kapacitivni 202 (212)  
 filterski spoj 29 (26), 71 (75)  
 — s prigušnicom 29 (27), 31 (29)  
 — s otporima 32 (31)  
 filter tipkala 375 (397)  
 — za zrcalne frekvencije 281 (297)  
 FM-demodulator 618  
 Fourierova analiza 103 (109)  
 frekvencija, izobličenje 74 (77)  
 — konstantnost frekvencije 352  
 (371)  
 —, umnažanje frekvencija 361 (381),  
 419 (440)  
 frekventna karakteristika 587

frekventna modulacija 376 (398),  
 503, 505  
 frekventni modulatori 511  
 frekventno područje za kratkoval-  
 ne amatere 334 (350)  
 frekventno područje za kratkoval-  
 ne razglasne stанице 334 (350)  
 Fuchsova antena 392 (413)

**G**

Galvanometrička srednja vrijed-  
 nost 19 (15)  
 galvanska reakcija 71 (74)  
 generator Habannov 443 (470)  
 germanij 528  
 Graetzov spoj 26 (24)  
 granična frekvencija 74 (77), 536,  
 557, 584, 585, 587, 588  
 — izlaznog stupnja 121 (130)  
 — otpornog pojačala 74 (82), 77 (81)  
 — pojačala s prigušnicom 81 (85)  
 — pojačala s transformatorom 86  
 (90), 89 (94)  
 granični otpor 369 (390)  
 gubici kolektora 542, 592, 593  
 gubici u namotaju 14 (9)  
 — uslijed histerez 15 (9)  
 — uslijed vrtložnih struja 14 (9)

**H**

h-parametri 551, 554, 584, 590, 592  
 Habannova elektronika 443 (470)  
 Habannov generator 443 (470)  
 Habannovi titraji 444 (471)  
 harmonička analiza 103 (109)  
 — serija (elektronki) 241 (254)  
 harmonički nadtitraji 103 (109)  
 Hartleyev oscilator 640  
 Hartleyev spoj 350 (367)  
 Heisingova modulacija 380 (402)  
 hedsoda regulaciona 208 (220)  
 — za miješanje 267 (281), 269 (283)  
 Hertzov dipol 388 (409), 393 (415)  
 hiperbola snage 542, 593, 594  
 histereza 12 (7)  
 Huth-Kühnov spoj 350 (369), 393  
 (438)

**I**

Indeks modulacije 506  
 indikator sa sjenom 222 (236)  
 — tinjalica 222 (236)

— uglađanja 221 (234)  
 interferentni titraji 253 (264)  
 ionska struja rešetke 78 (82)  
 isijavanje topline 451 (479)  
 ispravljač diodni 158 (166)  
 — dvotaktni 21 (17)  
 — jednotaktni 14 (13)  
 — s bakrenim oksidulom 25 (22)  
 — selenov 26 (23)  
 — suhi 25 (22)  
 ispravljačica plinom punjena 23  
 (20)  
 — s visokim vakuumom 17 (13)  
 — tinjava 24 (21)  
 izjednačenje opterećenja 372 (394)  
 izlazna elektronika 96 (102)  
 — snaga 96 (102)  
 izlazne karakteristike 540, 541, 548  
 izlazni otpor 583, 644  
 izlazni stupanj 96 (102)  
 — stupanj s pentodom 113 (120)  
 — stupanj s triodom 108 (116)  
 — transformator 97 (104), 122 (131)  
 izmjenični napon praznog hoda  
 (neopterećene elektronke) 56 (55)  
 — napon rešetke 46 (44)  
 izobličenje, faktor izobličenja 103  
 (110), 105 (112)  
 — frekvencija 74 (77)  
 — linearno 74 (77)  
 — modulacije 230 (243)  
 — nelinearno 102 (108)  
 — oblika 102 (108)  
 — prohvata (zbog promjene pro-  
 hvata) 100 (107)  
 izolatori 527  
 izvor smetnji 65 (66)

**J**

Jednadžba za samoužbuđenje 168  
 (173)  
 Jednotaktni ispravljač 18 (13)

**K**

Kapacitet anoda-rešetka 77 (80)  
 — elektronke 76 (80)  
 — kolektor-baza 650  
 — povratnog djelovanja 652  
 — rešetka-anoda 76 (80)  
 — rešetka-katoda 76 (80)  
 — spojeva (spojnih žica) 77 (81)  
 — štetni 77 (81)  
 karakteristika dinamička 42 (41)

— kratkog spoja elektronke 42 (40)  
 — modulacije 378 (400), 380 (401),  
 381 (402), 383 (404)  
 — radna 42 (41), 67 (70)  
 — statička 42 (41)  
 — usmjerne antene 395 (417)  
 katoda, povratno žarenje 445 (472)  
 — prividna, virtualna 209 (220)  
 katodna modulacija 264 (277)  
 katodni otpor 69 (72)  
 klizni napon druge rešetke 208 (219)  
 koercitivna sila 12 (7)  
 kolektor 533, 534, 540  
 kolektorska snaga 563  
 kombinirani tonovi 104 (111)  
 komercijalni bežični promet 411  
 (431)  
 komplementarno pojačalo 599  
 korektor izobličenja 87 (93), 94 (100),  
 127 (131)  
 kovalentna veza 528  
 kratki fejding 329 (345)  
 kratkovalni odašiljač 411 (431)  
 kratki valovi, prijem 329 (345)  
 kristal-titraji 353 (372)

**krivulja magnetiziranja** 12 (7), 13 (8)  
 — modulacije 378 (400), 380 (401),  
 381 (402), 383 (404)

**KV** stupanj za miješanje 647  
 kvarcov kristal 353 (372)  
 kvazioptički valovi 413 (433)

**L**

Lecherov sistem 419 (441) 435 (461),  
 443 (469)  
 legirani lim, transformatorski 86  
 (91)  
 limiter 517  
 linearno izobličenje 74 (77)

**M**

**Magnetron** 439 (464)  
 maksimalna kolektorska struja 593  
 maksimalni kolektorski napon 593  
 Marconijeva antena 386 (407)  
 materijalno-geometrijska konstanta 570, 571  
 međufrekvencija 256 (268), 259 (271),  
 259 (272), 260 (273)  
 međufrekventni filter 280 (296)  
 — pojasnji filter 203 (215), 284 (301)

— titraji 253 (263)  
 međufrekventno pojačalo 283 (301),  
 293 (310), 621—633, 659, 661, 663  
 međukrug 651, 652  
 megaperm 86 (91)  
 Messa-tranzistor 537  
 metarski valovi, primjena 431 (456)  
 —, proizvodnje 415 (435)  
 meteorološki odašiljač 410 (431)  
 miješanje 639, 654  
 mikrovalovi 451 (478)  
 mjerjenje visina, bežično 450 (476)  
 modulacija brujanjem 231 (244)  
 — Heisingova 380 (402)  
 —, izobličenje 229 (242)  
 —, katodna 264 (277)  
 —, na rešetki, naponska 378 (400)  
 —, na rešetki, strujna 379 (401)  
 —, odašiljača 376 (398)  
 —, stupanj modulacije 230 (243)  
 —, ukrštavanjem 233 (245)  
 —, zapornom rešetkom 383 (403)  
 modulatorka 379 (401)  
 modulirana telegrafija 330 (347),  
 371 (392), 376 (398)  
 moduliranje decimetarskih valova  
 445 (473)  
 mrežna prigušnica 30 (28)  
 mrežni transformator 7 (2)  
 —, proračun 15 (11)  
 multiplikativno miješanje 266 (280)  
 mumetal 86 (91)

**N**

N-germanij 530  
 nadomjesna shema elektronke 56  
 (55)  
 nadtitraji 102 (109)  
 nadvalovi 102 (109)  
 napon brujanja 19 (16)  
 — regulacije 212 (223), 213 (225)  
 — šuma 283 (299)  
 — uzbudni 53 (52)  
 — zasićenja 541, 592, 594  
 — za popravljanje ugadanja 303  
 (319)  
 — zaslonske rešetke, klizni 235  
 (249), 209 (219)  
 naponska modulacija na rešetki  
 378 (400)  
 — negativna reakcija 565  
 — pobuda 602  
 — protureakcija 130 (139)

- reakcija 603—607
- naponsko pojačanje 53 (52)
- nečujno ugađanje 219 (231)
- negativna reakcija 75 (79), 129 (139), 296 (312)
  - naponska 129 (139)
  - strujska 132 (142)
  - negativni otpor 200 (176)
- temperaturni koeficijent 527, 570
- nelinearna izobličenja 598
- nelinearno izobličenje 102 (108)
- nemodulirana telegrafija 330 (347), 371 (392)
- Nesteov spoj 177 (184)
- neutralizacija 196 (207), 558, 628, 629, 650
  - anodna 360 (380)
  - rešetkina 361 (380)
  - neutrodinski spoj 196 (207)
- niskofrekventna izlazna pojačala 592
- niskofrekventni transformator 83 (88)
- niskofrekventno pojačalo 63 (63), 659, 663
  - malih signala 584
  - otporno 67 (69)
  - s prigušnicom 79 (83)
  - s transformatorom 82 (87)
  - tranzistorско 577
- NPN-tranzistor 533, 599
- NTC-otpornik 570, 598, 659

**O**

- Obrać faze 600, 601
- odašiljač kratkih valova 411 (431)
  - meteorološki 411 (431)
  - , modulacija odašiljača 376 (398)
  - , stupanj iskoristivosti 365 (386)
  - s elektronikama 347 (365)
  - s iskristem 451 (479)
  - upravljan kvarcom 356 (376), 357 (377), 358 (378)
  - veliki 400 (422)
- odnos signal—šum 608, 609
- ograničivač 517
- oktoda 270 (286)
- optimalno područje regulacije 276 (292)
- oscilator 253 (263)
- oscilator s kvarcom 356 (376)
- osiguranje avionskog prometa 411 (431)
  - pomorskog prometa 431 (456), 470 (476)
  - ostatak napona 110 (118)

- struje 111 (118)
- oština rezonancije 192 (203), 195 (205)
  - , ugađanje oštine 221 (233)
  - , ugađanje oštine automatsko 303 (318)
- otpor granični 369 (390)
  - katodni 69 (72)
  - negativni 171 (176)
  - šuma 283 (209)
  - šuma elektronke 283 (299)
  - valni 393 (414)
  - zvučnika 114 (127)
- otporno pojačalo 67 (69)
  - niskofrekventno 67 (69), 536
  - otpor uredoks 37 (35)
  - otporka, uredoks i željezo u vodiku 37 (35)
    - , željezo u vodiku 36 (34)

**P**

- P-germanij 530, 537
- paralelna rezonancija kod transformatora 90 (96), 341 (360)
- pentoda eksponencijalna 206 (218)
- permaloj 86 (91)
- piezoelektrički efekt 353 (372)
- ples elektrona, električki 434 (460), 436 (462)
- PN-spoj 530, 531, 533, 563
- PNP-tranzistor 533, 599
- početni napon 214 (225)
- područje frekvencija kratkovremenih razglasnih odašiljača 334 (350)
- frekvencija odašiljača kratkovremnih amatera 334 (350)
- regulacije, optimalno 276 (292)
- uzbudivanja 61 (61)
- pogonski predstupanj 144 (154)
- pojačalo, A-pojačalo 97 (103), 135 (145), 365 (386)
  - , AB-pojačalo 143 (152)
  - , B-pojačalo 97 (103), 142 (151), 366 (387)
  - , C-pojačalo 97 (103), 366 (387)
  - međufrekventno 284 (301), 289 (304)
  - niskofrekventno 63 (63)
  - otporno 67 (69)
  - snage 96 (102), 139 (150), 294 (310)
  - s prigušnicom 79 (83)
  - s transformatorom 82 (87)
  - visokofrekventno 183 (191)
  - visokofrekventno aperiodsko 188 (179), 343 (362)

pojačalo visokofrekventno s transformatorom 194 (204)  
 — visokofrekventno sa zapornim krugom 191 (200)  
 pojačanje elektronke 47 (46)  
 — miješanja 270 (284), 644, 645  
 — napon 581, 582, 651, 653  
 — naponsko 54 (52)  
 — snage 581, 651, 653  
 — strujno 53 (51)  
 pojasni filter induktivni 199 (209)  
 — induktivno-kapacitivni 203 (214)  
 — kapacitivni 204 (212)  
 — međufrekventni 203 (215), 284 (301)  
 pojni vod prilagođeni 393 (414), 394 (415)  
 — ugođeni 389 (410)  
 poluautomatski prednapon rešetke 70 (73)  
 poluvlani stup 399 (421)  
 poluvodiči 527  
 pomak frekvencije 306 (321)  
 postupak izvlačenja 535  
 — legiranja 535  
 potencijalna barijera 531  
 povratna veza 165 (170)  
 povratno djelovanje 549, 550, 552, 555  
 povratno djelovanje anode 49 (48), 53 (52)  
 — miješanje 647  
 — žarenje katode 445 (472)  
 pozitivni temperaturni koeficijent 654  
 prebacivanje frekvencije 270 (282)  
 predmagnetiziranje transformatora 87 (93)  
 prednapon rešetke 46 (44)  
 — automatski 70 (73)  
 predselekcija 280 (296)  
 prekidanje oscilacija 170 (175)  
 — reakcije 169 (175)  
 preostala struja kolektora 542, 547, 561, 592, 594  
 preostali napon 99 (105)  
 prepojačanje 281 (298), 281 (308)  
 prigušnica, filterski spoj 29 (27), 32 ° (30)  
 — mrežna 30 (28)  
 — titrarna 416 (436)  
 prijemnik automobilski 218 (235)  
 — baterijski 309 (323)  
 — na principu transponiranja 253 (263), 344 (364)  
 — pučki 178 (186), 180 (188), 181 (189), 311 (326)  
 — refleksni 242 (255)  
 — s jednim krugom 178 (185)

prijemnik sa šest tranzistora i dvije diode 657  
 prijemnik s više krugova 185 (194)  
 — sa superregeneracijom 427 (451), 429 (454)  
 — super 253 (263), 344 (364)  
 — za decimetarske valove 447 (474)  
 — za frekventnu modulaciju 521  
 — za kratke valove 337 (356)  
 — za metarske valove 421 (444)  
 prijenosna vodljivost 555  
 prijenosne karakteristike 598  
 prijenosni odnos 9 (3)  
 prilagodni otpor 84 (89)  
 —, najpovoljniji 101 (107), 109 (117), 110 (118), 115 (123)  
 prilagođeni pojni vod 393 (414), 394 (415)  
 prilagođivanje otpora 84 (89), 98 (104)  
 — zvučnika 118 (130)  
 prividna (virtuelna) katoda 209 (220)  
 prividno (pseudo-) prigušenje 192 (203)  
 promet bežični komercijalni 411 (431)  
 proizvođenje titraja pomoću elektronke 165 (170)  
 proračun mrežnog transformatora 15 (11)  
 protufazno A-pojačalo 135 (145), 142 (152)  
 — B — pojačalo 142 (151)  
 protufazno pojačalo 596  
 protuparalelni pojačalo 599  
 pučki prijemnik 182 (185), 180 (188), 181 (189), 311 (326)

## R

Radna karakteristika 42 (41), 67 (70)  
 — strmina 42 (41)  
 — tačka 46 (44), 60 (60), 559, 579, 589  
 radni pravac 550, 589  
 rasipanje, faktor rasipanja 92 (98)  
 — transformatora 91 (97)  
 rasipna rezonancija 93 (99), 341 (360)  
 rasipni induktivitet 91 (97)  
 ratio-detektor 518, 618, 630  
 razmah faze 506  
 — frekvencije 505  
 RC-veza 584  
 reakcija 165 (170)  
 —, faktor reakcije 167 (173)  
 —, galvanska 71 (74)  
 —, negativna 75 (79), 129 (139), 302 (312)

— negativna naponska 130 (139)  
 — negativna strujna 132 (142)  
 refleksni prijemnik 242 (255)  
 reflektor 397 (418)  
 regulacija fejdinga 211 (221)  
 — fejdinga, automatska 211 (221)  
 — jakosti zvuka, automatska 211 (221)  
 — jakosti zvuka prema karakteristici uha 249 (261)  
 — jakosti u visokofrekventnom dijelu 201 (216)  
 — krivulja regulacije 273 (288)  
 — optimalno područje 276 (292)  
 unaprijed 218 (230), 294 (311)  
 unatrag 218 (230)  
 regulator boje tona 124 (133)  
 regulatorka 36 (34)  
 rekombinacija 532, 535  
 remanencija 12 (7)  
 rezonancija rasipna 93 (99)  
 — rasipnog induktiviteta 341 (360)  
 rezonantna prigušnica 416 (436)  
 rešetka, demodulacija rešetkom 151 (159)  
 — modulacija na rešetki 378 (400)  
 —, prednapon rešetke 45 (44)  
 rešetkina neutralizacija 360 (380)

**S**

samooscilirajući stupanj za miješanje 640, 649, 663  
 Samouzbudjenje elektronke 165 (170), 348 (366)  
 sat s kvarcom 452 (371)  
 Schnellov spoj 176 (183), 338 (356)  
 selekcija tonska 341 (359)  
 selektivnost 627, 628  
 selenska dioda 664  
 selenski ispravljač 26 (23)  
 serijska rezonancija kod transformatora 88 (93), 93 (99)  
 silicij 528  
 sinhroni vibrator 326 (344)  
 sistem paralelnih žica 419 (441), 435 (461), 443 (469)  
 skretnica električka 87 (93)  
 slojni tranzistor 533, 536  
 smanjenje prigušenja 170 (176)  
 smetnje, izvor smetnji 65 (66)  
 — uslijed tipkanja 375 (397)  
 snaga izlazna 96 (102)  
 spoj filtra 29 (26), 71 (75)  
 — s reakcijom 173 (180)  
 spoj sa zajedničkim emiterom 540, 542, 562

spoj sa zajedničkom bazom 540, 542, 561, 652  
 spoj sa zajedničkim kolektorom 540  
 spoj superheterodinski 262 (274)  
 — u tri tačke 349 (367), 416 (436)  
 — za prepojačavanje 281 (298), 291 (308)  
 — za superponiranje 262 (274)  
 — za transponiranje 262 (274)  
 — za udvostručivanje napona 27 (25)  
 spojevi reakcioni 173 (180)  
 — za miješanje, noviji 267 (281) 269 (283), 271 (286), 275 (290)  
 — za miješanje, stariji 262 (274)  
 srednja vrijednost, galvanometrička 19 (15)  
 — prijenosnog vala (za telefoniju) 384 (406)  
 stabilizacija radne tačke 564—574  
 stabilizacijska čelija 664  
 statička karakteristika 42 (40)  
 — strmina 42 (41)  
 stepen modulacije 507  
 strmina 555, 622, 643  
 strmina dinamička 42 (41), 56 (56)  
 — miješanja 270 (285)  
 — statička 42 (41)  
 strmine miješanja 643, 644, 645, 648  
 struja baze 541  
 — emitera 541  
 — kolektora 541  
 strujna negativna reakcija 566  
 — pobuda 602  
 strujna protureakcija 132 (142)  
 strujno pojačanje 53 (51), 582  
 stupanj djelovanja 594  
 stup-antena 399 (421)  
 stupanj iskoristivosti elektronke 100 (106)  
 — iskoristivosti odašiljača 365 (386)  
 — modulacije 230 (243)  
 stupnjevi za miješanje 639—654  
 suhi ispravljač 25 (22)  
 super-prijemnik 253 (263), 344 (364)  
 — s jednim područjem 260 (273)  
 — u kovčegu 314 (331)  
 — veliki 291 (307)  
 superheterodinski spoj 262 (274)  
 superregeneraciona frekvencija 426 (453)  
 — reakcija 427 (451)  
 superregeneracioni titraji 427 (451)  
 svjetlosna telefonija 451 (480)

**S**

- Štedni spoj (za anodnu struju) 402 (327)  
 štetni kapacitet 77 (81)  
 šum elektronke 66 (68), 184 (193)  
 šum iskrenja ( $1/f$ -šum) 607, 609, 610  
 šum, napon šuma 283 (299)  
 — tranzistora 607—611  
 — uslijed razdiobe struje (u elektronki) 283 (300)  
 — otpor šuma 283 (299)  
 — toplinski 65 (67) 184 (193)  
 šumni otpor elektronke 282 (299)  
 šupljina 529, 531, 532

**T**

- T-parametri 555, 584, 590, 591  
 tačkasti tranzistor 533  
 telefonija bežična 431 (457), 450 (477), 451 (478)  
 — svjetlosna 451 (480)  
 telegrafija modulirana 330 (347), 371 (392), 376 (398)  
 — nemodulirana 331 (347), 371 (392)  
 temperatura okoline 563  
 — spoja 563  
 temperaturna ovisnost elemenata 653  
 — povratna reakcija 559  
 temperaturni koeficijent 570, 572, 654  
 termička nestabilnost 561, 570  
 — ravnoteža 563  
 termistor 565  
 tinjalica-indikator 222 (236)  
 tinjalica-ispravljačica 24 (21)  
 tipkanje odašiljača 371 (392)  
 — rešetkinog kruga, zaporno 374 (395)  
 rešetkinog kruga, zaporno 374 (395)  
 — u anodnom krugu 372 (393)  
 titraji drugog reda 366 (387)  
 — Habanovi 440 (471)  
 — interferentni 253 (264)  
 — kristala 353 (372)  
 — međufrekventni 253 (263)  
 — prvog reda 365 (386)  
 toplinski otpor 563  
 — šum 65 (67), 184 (193), 608, 610  
 toplinski šum 65 (67), 184 (193)  
 toplinsko isijavanje 451 (479)  
 transformator izlazni 97 (104), 122 (131)  
 — mrežni 7 (2)  
 — niskofrekventni 83 (88)  
 —, predmagnetiziranje 87 (93)

- , rasipanje 91 (97)  
 — visokofrekventni 194 (204)  
 — za prilagođenje 122 (131)  
 transformatorska veza 584  
 transformatorski lim za mrežne transformatore 14 (9)  
 — za niskofrekventne transformatore 86 (91)  
 transformatorsko pojačalo 82 (87)  
 tranzistor kao pojačalo 539, 573  
 tranzistor s površinskom barijerom 536  
 tranzistorski oscilatori 639  
 trioda-heksoda 274 (289)  
 tuner 653, 661  
 turmalinsko upravljanje 418 (440)

**U**

- Udvostručivanje napona 27 (25)  
 ugadanje jednim dugmetom 183 (192), 253 (263), 277 (293)  
 — kratkovremenog prijemnika 333 (350)  
 — nečujno 219 (231)  
 — oštrene 221 (233)  
 — oštrene automatsko 303 (318)  
 — pojasevima 334 (351)  
 ugođeni pojni vod 389 (410)  
 ukrštena modulacija 233 (245)  
 UKV stupanj za miješanje 648—654  
 UKV tuner 653, 661  
 ulazne karakteristike 542, 602  
 ulazni otpor tranzistora 549, 551, 583, 590, 644  
 ultradinski spoj 262 (274)  
 ultrakratki valovi 413 (432)  
 —, antene 419 (441)  
 ultrakratkovredni i srednjevalni prijemnik 660  
 umnažanje frekvencija 361 (381), 418 (440)  
 univerzalni prijemnik 298 (314)  
 —, žarenje 38 (36)  
 unutarnja vodljivost tranzistora 549, 551, 552  
 unutarnji otpor tranzistora 547, 551, 583  
 uredaj za naknadno ugadanje 306 (322)  
 usmjerna antena 337 (354), 395 (416)  
 — s reflektorom 397 (418)  
 uzbudni napon 53 (51)  
 uzbudivanje strano 348 (366), 359 (379)  
 — turmalinom 418 (440)

**V**

- Valni otpor 393 (414)
- valovi centimetarski 451 (478)
  - decimetarski 432 (458)
  - metarski 415 (435)
  - ultrakratki 413 (432)
  - vezé elektronska 351 (370)
  - kritična 200 (210)
  - ratkriticna 200 (210)
  - potkriticna 200 (210)
  - vezne frekvencije 200 (210)
- vezni kapacitet 587
- vibrator 39 (37), 324 (341)
- virtuelna (prividna) katoda 209 (220)
- visinska dipolna antena 398 (420)
- visokofrekventna tranzistorska pojačala 621—637
- visokofrekventni transformator 194 (204)
- visokofrekventno pojačalo 183 (191)
- visokofrekventno UKV prepojačalo 652
- vodiči 527
- vremenska konstanta 75 (78)
- vrijeme putovanja elektrona 331 (348)

**Y**

- Y-parametri 554

**Z**

- Zapor protiv reakcije 71 (74)
- (filtr) protiv ultrakratkih valova 250 (261)
- za 9 kHz 124 (138)
- zaštitni namotaj 17 (12)
- Zener dioda 565
- Zeppelin antena 392 (412)
- zrcalna frekvencija 257 (269)
- zvučnik, otpor 118 (127)

**Z**

- Žarenje baterijsko 39 (38)
- istosmjernom strujom 35 (33)
- izmjeničnom strujom 34 (32)
- željezni lim za mrežne transformatore 14 (9)
- za niskofrekventne transformatore 86 (91)
- žir-elektronke 433 (459)

# S A D R Ž A J

## **I. Opskrba energijom uređaja s elektronkama**

	Stranica
Mrežni transformator . . . . .	7
Ispravljač s elektronkom . . . . .	17
Suhi ispravljači . . . . .	25
Filtarski spojevi . . . . .	28
Spojevi za žarenje elektronki . . . . .	34

## **II. Niskofrekventno pojačalo**

Radna karakteristika . . . . .	41
Elektronka kao pojačalo . . . . .	45
Izračunavanje pojačanja struje i napona . . . . .	51
Izbor radne tačke . . . . .	60
Općenito o niskofrekventnim pojačalima . . . . .	63
Otporno niskofrekventno pojačalo . . . . .	67
Frekventne karakteristike otpornog pojačala . . . . .	74
Niskofrekventno pojačalo s prigušnicom . . . . .	79
Niskofrekventno pojačalo s transformatorom . . . . .	82
Ovisnost o frekvenciji transformatorskog pojačala . . . . .	86
Općenito o izlaznom stupnju niskofrekventnog pojačala . . . . .	96
Faktor izobličenja . . . . .	102
Jednostavni izlazni stupanj s triodom . . . . .	108
Jednostavan izlazni stupanj s pentodom . . . . .	113
Najpovoljnije prilagođenje zvučnika . . . . .	118
Reguliranje boje tona i korekcija izobličenja . . . . .	124
Niskofrekventna negativna reakcija . . . . .	129
Protufazno A-pojačalo . . . . .	135
Protufazno B-pojačalo . . . . .	142

**III. Demodulatori**

	Stranica
Ānodni demodulator . . . . .	149
Demodulacija rešetkom . . . . .	151
Diiodni demodulator . . . . .	158

**IV. Povratna veza ili reakcija**

Princip povratne veze . . . . .	165
Radni uvjeti pri samouzbuđenju . . . . .	167
Smanjivanje prigušenja pomoću reakcije . . . . .	170
Važniji spojevi s reakcijom . . . . .	173
Direktni prijemnik sa jednim krugom . . . . .	178

**V. Visokofrekventno pojačalo**

Općenito o pojačalima visoke frekvencije . . . . .	183
Aperiodsko visokofrekventno pojačalo . . . . .	188
Visokofrekventno pojačalo sa zapornim krugom . . . . .	190
Visokofrekventno pojačalo s transformatorskom vezom . . . . .	194
Pojasni filter . . . . .	199
Regulacija jakosti zvuka u visokofrekventnom pojačalu . . . . .	205
Automatska regulacija fejdina i jakosti zvuka . . . . .	211
Odgodenja regulacija fejdina i jakosti zvuka . . . . .	215
Optički indikator za ugađanje . . . . .	221
Izobličenja modulacije i modulacija brujanjem . . . . .	229
Modulacija ukrštavanjem . . . . .	233
Klizni napon zaslonske rešetke . . . . .	235
Celične elektronke . . . . .	238
Refleksni prijemnici . . . . .	242
Način gradnje i rad direktnog prijemnika s dva titrajna kruga i pet elektronki . . . . .	245

**VI. Prijemnici sa superponiranjem**

	Stranica
Bit superponiranja . . . . .	253
Izbor međufrekvencije . . . . .	256
Stariji sklopovi za miješanje . . . . .	262
Multiplikativno miješanje . . . . .	265
Moderne miješalice . . . . .	269
Usklađivanje oscilatora . . . . .	277
Poboljšanje predselekcije . . . . .	280
Šum ulaznog spoja . . . . .	282
Međufrekventno pojačalo . . . . .	284
Super sa šest krugova i pet elektronki . . . . .	286
Super sa šest elektronki i sedam krugova . . . . .	291
Još neke primjedbe o superima . . . . .	298

**VII. Baterijski prijemnici**

Općenito o baterijskim prijemnicima . . . . .	309
Nekoliko primjera baterijskih prijemnika . . . . .	311
Automobilski prijemnik . . . . .	318
Vibrator . . . . .	324

**VIII. Prijemnici za kratke valove**

Općenito o prijemu kratkih valova . . . . .	329
Ugađanje prijemnika za kratke valove . . . . .	333
Najvažnije izvedbe prijemnika za kratke valove . . . . .	336

**IX. Odašiljači**

Općenito o odašiljačima . . . . .	347
Najjednostavniji spojevi odašiljača . . . . .	349
Odašiljači upravljeni kvarcovim kristalom . . . . .	352
Odašiljač sa stranim uzbudivanjem . . . . .	359

	Stranica
Umnjačanje frekvencija . . . . .	361
O radu elektronke u odašiljaču . . . . .	365
Tipkanje odašiljača . . . . .	371
Moduliranje odašiljača . . . . .	376
Najvažnije vrste antena za odašiljanje . . . . .	386
Spoj i način gradnje velikog odašiljača . . . . .	400
Glavna područja upotrebe kratkih, srednjih i dugih valova . . . . .	411

## **X. Odašiljači i prijemnici na ultrakratkim valovima**

Bit ultrakratkih valova . . . . .	413
Proizvođenje metarskih valova . . . . .	415
Primanje metarskih valova . . . . .	421
Najvažnija područja primjene metarskih valova . . . . .	431
Općenito o decimetarskim valovima . . . . .	432
Način rada elektronke sa zapornim poljem . . . . .	433
Način djelovanja elektronke s magnetskim poljem . . . . .	438
Primanje decimetarskih valova . . . . .	447
Glavna područja primjene decimetarskih valova . . . . .	450
Centimetarski valovi i mikrovalovi . . . . .	451
<b>Odgovori na pitanja</b> . . . . .	<b>455</b>
<b>Rješenje zadataka</b> . . . . .	<b>469</b>

## **DODATAK UZ I DIO**

### **Frekventna modulacija**

Uvod . . . . .	503
Frekventni modulatori . . . . .	511
Detekcija frekventno moduliranih titraja . . . . .	513
Opis ultrakratkovalnog prijemnika za frekventnu modulaciju . . . . .	521

### **Fizikalne osnove tranzistora**

Poluvodiči . . . . .	527
Kristalna struktura . . . . .	528
Dodavanje kemijskih primjesa, N-germanij, P-germanij . . . . .	529

PN-spoj . . . . .	530
Slojni tranzistor. Tranzistorsko djelovanje . . . . .	533
Tehnološki postupak dobivanja tranzistora . . . . .	535
Tranzistor kao pojačalo . . . . .	538

**Tranzistorske karakteristike**

Uvod . . . . .	539
Izlazne karakteristike tranzistora . . . . .	540
Ulavne karakteristike . . . . .	542
Faktor strujnog pojačanja, unutarnji otpor, ulazni otpor, povratno djelovanje . . . . .	543
<b>Nadomjesne sheme i parametri tranzistora</b>	
h-parametri . . . . .	551
Y-parametri . . . . .	554
Nadomjesna shema tranzistora pri visokim frekvencijama . . . . .	556
<b>Određivanje radne tačke i utjecaj temperature na rad tranzistora</b> . . . . .	559
Ovisnost tranzistorskih spojeva o temperaturi . . . . .	561

**Stabilizacija radne tačke**

Faktor stabilizacije . . . . .	564
Stabilizacija naponskom reakcijom — otpornikom između kolek- tora i baze . . . . .	565
Stabilizacija strujnom negativnom reakcijom — otpornikom u emiteru . . . . .	566
Stabilizacija djeliteljem napona baze i otpornikom u emiteru . .	568
Stabilizacija strujnom i naponskom negativnom reakcijom . . . . .	570
Stabilizacija radne tačke nelinearnim elementima . . . . .	570
Negativna reakcija istosmjerne struje preko nekoliko stupnjeva pojačala . . . . .	574

**DODATAK UZ II DIO****Niskofrekventna tranzistorska pojačala**

Radna karakteristika . . . . .	577
Tranzistor kao pojačalo . . . . .	578
Pojačanje napona i snage . . . . .	581
Uspoređenje tranzistorskih spojeva . . . . .	582
Niskofrekventna pojačala malih signala . . . . .	584
Otporno niskofrekventno pojačalo . . . . .	586

Frekventna karakteristika . . . . .	587
Niskofrekventna izlazna pojačala . . . . .	592
A-pojačalo . . . . .	593
B-pojačalo . . . . .	596
Tranzistorски obrtači faze . . . . .	600
Pobudivanje tranzistora . . . . .	602
Negativna reakcija . . . . .	603
Negativna reakcija kod jednog tranzistora . . . . .	604
Negativna reakcija preko dva stupnja pojačala . . . . .	606
Šum tranzistora . . . . .	607
Faktor šuma . . . . .	608
Tranzistorski šum . . . . .	609

### **Demodulatori u tranzistorskim prijemnicima**

AM demodulator . . . . .	613
Prilagodenje . . . . .	614
Tranzistorски demodulator . . . . .	617
FM demodulator . . . . .	618

### **Visokofrekventna tranzistorска појачала**

Međufrekventno tranzistorско појачало . . . . .	621
Međufrekventno појачало с jednostavnim titrajnim krugom . . . . .	621
Međufrekventno појачало с појасним филтром . . . . .	626
Međufrekventni FM stupanj . . . . .	630
Kombinirani međufrekventni stupnjevi . . . . .	631
Automatska regulacija појачања . . . . .	633

### **Tranzistorски stupnjevi za miješanje**

Tranzistorски oscilatori . . . . .	639
Miješanje u tranzistorskim prijemnicima . . . . .	641
Stupanj za miješanje u kratkovalnom prijemniku . . . . .	647
UKV stupanj za miješanje . . . . .	648
Visokofrekventno UKV prepojačalo . . . . .	652
UKV tuner (tijuner) . . . . .	653
Ovisnost elemenata o temperaturi . . . . .	653

### **Tranzistorски prijemnici**

Općenito o tranzistorskim prijemnicima . . . . .	657
Prijemnik sa šest krugova i šest tranzistora . . . . .	657
Ultrakratkovalni i srednjevalni prijemnik sa devet tranzistora . . . . .	660

Znak: 317 S

Izdanje:

Dr WALTER DAUDT  
**RADIO-TEHNIKA**

II DIO

Naslov originala:

**FUNKTECHNIK**

Teil II

Preveli:

Ing. ROMAN GALIĆ

Prof. dr ing. TIHOMIL JELAKOVIĆ

Ing. VJEKOSLAV MUŽINIĆ

Izdavač:

**TEHNIČKA KNJIGA**

Zagreb, Jurišićeva 10

Uredništvo srednjoškolskih udžbenika

Glavni urednik:

**ZVONIMIR VISTRIČKA**

Urednik edicije:

**IVAN UREMOVIĆ**

Tehnički urednik:

**ŽARKO PAVUNIĆ**

Tisak:

**ŠTAMPARIJE VJESNIK, ZAGREB**

Tisak dovršen:

**SRPNJA 1963.**